

Original Article

Serum levels of Insulin-like growth factor-1 (IGF-I) as an indicator associated with aerobic and anaerobic fitness assessment in adolescent boys

Ramin Amirsasan^{1*}, Mostafa Armanfar¹, Javad Hesari²

¹ Department of Exercise Physiology, Faculty of Physical Education and Sport Science, University of Tabriz, Tabriz, Iran

² PhD candidate, Department of Exercise Physiology, Faculty of Physical Education and Sport Science, University of Tabriz, Tabriz, Iran

³ Department of Food Science and Technology, Faculty of Agriculture, University of Tabriz, Tabriz, Iran

*Corresponding author; E-mail: amirsasan@tabrizu.ac.ir

Received: 22 July 2017 Accepted: 12 August 2017 First Published online: 7 September 2019

Med J Tabriz Uni Med Sciences Health Services. 2019 October- November; 41(4):7-16

Abstract

Background: Insulin-like growth factor -1 (IGF-I) has a variety of roles, But the abundance of scientific evidence indicates that it is a metabolic biomarker associated with indicators of physical fitness and health. The present study examined the relationship between serum levels of IGF-I and aerobic fitness, anaerobic capacity and body fat percent, systolic, and diastolic blood pressure before and after the eight weeks of high intensity intermittent training (HIIT) in adolescent boys.

Methods: In this experimental study, 22 adolescent boys in a randomly and double-blinded design were allocated in two equal groups: HIIT group (N=11) and control group (N=11). Training programs were conducted 3-4 times per week for 8 weeks. The HIIT program consisted of 6-8 running sprints (30-60 seconds) with a 3.5-4 min recovery. Mentioned indicators assessments were performed 18-24 hours pre and post intervention.

Results: IGF-1, Maximum Oxygen uptake ($\text{VO}_{2\text{max}}$), Peak Power Output (PPO) and mean power output (MPO) were significantly higher after 8 week HIIT than the pre-exercise training evaluations ($P < 0.001$). Fatigue index and body fat percent decreased in HIIT trial after 8 week HIIT ($P < 0.001$). Also, there was a significant positive correlation between IGF-I changes and aerobic fitness, anaerobic and body fat percentage. However, Systolic and diastolic blood pressure did not change significantly after the training period ($P > 0.05$).

Conclusion: The IGF-I can be used as an indicator to assess the fitness of adolescent boys.

Keyword: Aerobic Fitness, Anaerobic Fitness, Insulin-Like Growth Factor -1, Body Fat Percentage, Adolescent Boys

How to cite this article: Amirsasan R, Armanfar M, Hesari J. [Serum levels of Insulin-like growth factor-1 (IGF-I) as an indicator associated with aerobic and anaerobic fitness assessment in adolescent boys]. Med J Tabriz Uni Med Sciences Health Services. 2019 October- November; 41(4):7-16. Persian.

مقاله پژوهشی

سطوح سرمی عامل رشد شبه انسولینی-۱ (IGF-I) به عنوان نشانگر مرتبط با ارزیابی آمادگی هوایی و بیهوایی پسران نوجوان

رامین امیرسازان^{*}، مصطفی آرمان فر^۱، جواد حصاری^۲

^۱ گروه فیزیولوژی ورزشی، دانشکده تربیت بدنی و علوم ورزشی، دانشگاه تبریز، تبریز، ایران
^۲ دانشجوی دکتری، گروه فیزیولوژی ورزشی، دانشکده تربیت بدنی و علوم ورزشی، دانشگاه تبریز، تبریز، ایران
^۳ گروه صنایع غذایی، دانشکده کشاورزی، دانشگاه تبریز، تبریز، ایران
^{*} نویسنده مسؤول؛ ایمیل: amirsasan@tabrizu.ac.ir

دریافت: ۱۳۹۶/۴/۲۱ پذیرش: ۱۳۹۶/۵/۲۱ انتشار برخط: ۱۳۹۸/۶/۱۶
مجله پزشکی دانشگاه علوم پزشکی و خدمات بهداشتی - درمانی تبریز. مهر و آبان ۱۳۹۸؛ ۴۱(۴):۷-۱۶

چکیده

زمینه: عامل رشد شبه انسولینی-۱ (IGF-I) نقش‌های متنوعی دارد، اما شواهد علمی نشان می‌دهد که یک نشانگر زیستی مرتبط با شاخص‌های آمادگی جسمانی و سلامتی است. از این‌رو، مطالعه حاضر به بررسی تاثیر و رابطه بین غلظت IGF-I و آمادگی هوایی (VO_{2max})، بیهوایی، فشار خون سیستولی، دیاستولی و درصد چربی پسران نوجوان، قبل و بعد از هشت هفته تمرین تناوبی شدید (HIIT) می‌پردازد.

روش کار: در این مطالعه نیمه‌تجربی، ۲۲ پسر نوجوان (۱۵-۱۷ ساله) انتخاب و پس از همگنسازی بر اساس سن، غلظت IGF-I و میزان آمادگی هوایی به صورت تصادفی در دو گروه کنترل (n=۱۱) و HIIT (n=۱۱) جایگزین شدند. سپس، هشت هفته (هر هفته ۳-۴ جلسه) تمرین HIIT را اجرا کردند که هر جلسه تمرین شامل ۸-۶ تکرار دویلان ۳۰-۶۰ ثانیه‌ای با شدت تمام و ۴-۳/۵ دقیقه استراحت بین هر تکرار بود. در نهایت، مقادیر هر یک از شاخص‌های فوق‌الذکر، ۲۴ ساعت قبل و پس از مداخله تمرینی اندازه‌گیری شد.

یافته‌ها: پس از هشت هفته تمرین HIIT، مقادیر IGF-I اکسیژن مصرفي بیشینه (PPO) و میانگین توان بیهوایی (VO_{2max}) (MPO) نسبت به دوره قبل از تمرینات افزایش (P<0.001) و شاخص خستگی طی آزمون RAST و درصد چربی به طور معنی‌داری کاهش یافت (P<0.001). همچنین، همبستگی و رابطه مثبت معنی‌داری بین میزان تغییرات IGF-I و تغییرات آمادگی هوایی، بیهوایی و درصد چربی بدنی مشاهده شد. با این حال، فشار خونی سیستولی و دیاستولی پس اتمام دوره تمرینی تغییر معنی‌داری نشان نداد (P>0.05).

نتیجه‌گیری: بر اساس نتایج مطالعه حاضر به نظر می‌رسد IGF-I می‌تواند به عنوان شاخصی برای ارزیابی آمادگی بدنی پسران نوجوان مورد استفاده قرار گیرد.

کلید واژه‌ها: آمادگی هوایی، آمادگی بیهوایی، عامل رشد شبه انسولینی-۱، درصد چربی، پسران نوجوان

نحوه استناد به این مقاله: امیرسازان ر، آرمان فر م، حصاری ج. سطوح سرمی عامل رشد شبه انسولینی-۱ (IGF-I) به عنوان نشانگر مرتبط با ارزیابی آمادگی هوایی و بیهوایی پسران نوجوان. مجله پزشکی دانشگاه علوم پزشکی و خدمات بهداشتی - درمانی تبریز. ۱۳۹۸؛ ۴۱(۴):۷-۱۶.

حق تأثیف برای مؤلفان محفوظ است.

این مقاله با دسترسی آزاد توسط دانشگاه علوم پزشکی و خدمات بهداشتی - درمانی تبریز تحت مجوز کریپتو کامنز (http://creativecommons.org/licenses/by/4.0) منتشر شده که طبق مفاد آن هرگونه استفاده تنها در صورتی مجاز است که به اثر اصلی به نحو مقتضی استناد و ارجاع داده شده باشد.

مقدمه

همواره پس از تمرینات ورزشی این روند مشاهده نشده است (۵). بسیاری از محققان، با بررسی تاثیر انواع پروتکل‌های ورزشی مختلف بر فعالیت IGF-I/GH، افزایش معنی دار آن را گزارش کرده‌اند. ولی نتایج تحقیقات در مورد IGF-I دارای اختلافاتی است. مطالعات افرایش (۶)، کاهش (۷) و عدم تغییر (۸) مقدار IGF-I به دنبال فعالیت و تمرینات ورزشی را گزارش کرده‌اند. برخی مطالعات برای بررسی تاثیر دو نوع فعالیت ورزشی کوتاه‌مدت (۲۵ دقیقه) بیشینه و فعالیت میان‌مدت (۴۰ دقیقه) با ۷۰–۸۰ درصد بار بیشینه نتیجه گرفته‌اند که GH و IGF-I کل در هر دو نوع فعالیت افزایش معنی دار داشته است. همچنین، تمرینات با شدت پایین منجر به افزایش قابل توجه فعالیت محور-GH/IGF-I نمی‌گردد و تمرینات تناوبی شدید (HIIT) موجب بیشترین افزایش غلظت و فعالیت عوامل هورمونی این محور رشدی گردیده است. چندین مطالعه گزارش کرده‌اند که برای دستیابی به افزایش معنی دار IGF-I سرمی باید شدت تمرینات بالاتر از آستانه لاكتات بوده و مدت زمان آن نیز برای تحريك کافی باشد. از جمله این مطالعات می‌توان به پژوهش Felsing و همکاران اشاره نمود که با بررسی تاثیر انجام وله‌های یک، پنج و ده دقیقه‌ای فعالیت ورزشی با میزان بارکاری ثابت با شدت بالا (بالاتر از LT) یا شدت پایین (کمتر از LT) بر پاسخ و سطوح استراحتی GH، انسولین، گلوكز، لاكتات، پپروات، ابی‌نفرین و نوراپی‌نفرین مردان سالمندان ۳۵ ساله گزارش نمودند که سطوح GH افزایش چشمگیری پس از تمرینات با شدت کم (پایین‌تر از LT) پیدا نمی‌کند. نتایج مقایسه وله‌های ۱۰ دقیقه‌ای فعالیت شدید با فعالیت با شدت پایین نشان داد که غلظت لاكتات، ابی‌نفرین و نوراپی‌نفرین غلظت آن‌ها در گروه تمرین شدید بالاتر بوده است. همچنین، اگرچه غلظت لاكتات پس از فعالیت ورزشی شدید ۵ دقیقه‌ای افزایش یافت، اما غلظت GH تنها پس از وله ۱۰ دقیقه فعالیت ورزشی شدید به طور معنی داری افزایش یافت و به مقادیر اوج خود رسید. محققان این مطالعه پیشنهاد کردنده که به نظر می‌رسد انجام حداقل ۱۰ دقیقه فعالیت ورزشی شدید (بالاتر از LT) برای دستیابی به افزایش معنی دار غلظت GH در گرددش ضروری است (۹). بنابراین، می‌توان نتیجه گرفت که برای دستیابی به افزایش معنی دار غلظت این عوامل هورمونی باید از تمرینات ورزشی با شدت بالاتر از آستانه لاكتات یا تمرینات تناوبی شدید (HIIT) استفاده نمود.

به علاوه، مقادیر پایه IGF-I با توده عضله و آمادگی کودکان پیش از سن بلوغ، نوجوانان، و بزرگسالان ارتباط دارد (۱۰). در مقابل، شواهد بسیاری وجود دارد که در کودکان و نوجوانان هر دو، برخلاف انتظار، حتی دوره‌های نسبتاً کوتاه فعالیت ورزشی هوایی (۵ هفته) می‌تواند به کاهش مقادیر پایه

مبناً اصلی رشد و نمو طی دوران کودکی و نوجوانی محور هورمون رشد/عامل رشد شبه انسولینی-۱ (GH/IGF-I) است. هورمون رشد پس از تولید توسط هیووفیز قدامی از طریق گردش IGF-I خون به کبد و سایر بافت‌های محیطی متقل شده و به تولید IGF-I منجر می‌شود. بخش عمده آثار این محور از طریق IGF-I روی می‌دهد. IGF-I یک عامل آنابولیک و پلیوتروپیک است که موجب رشد بافتی می‌شود. در واقع، IGF-I میانجی اصلی اثرگذاری GH بر سلول‌ها می‌باشد که رشد نظام‌مند بدن را تحريك کرده و باعث نمو و رشد تقریباً تمامی سلول‌های بدن به ویژه عضلات اسکلتی، مفاصل، استخوان‌ها، کلیه، کبد، سلول‌های عصبی و سایر اندام‌های بدن می‌شود. رثتیک، چرخه شبانه‌روزی، سن، جنسیت، عوامل تغذیه‌ای، بیماری و نیز فعالیت ورزشی، سایر عوامل موثر بر محور GH/IGF-I مستند (۱, ۲).

در سطح سلولی، IGF-I دارای آثار آنابولیک، میتوژنیک، متابولیک و افزایش تمایز بافتی است، در حالی که در سطح کل بدن به عنوان یک نشانگر مهم تعديل کننده آمادگی جسمانی و سازگاری با تمرینات ورزشی، هایپرتروفی عضلانی، چگالی مواد معدنی استخوان، تغییرات ترکیب بدنشی، عملکرد شناختی و ابتلاء به سرطان شناخته می‌شود. شواهد علمی قابل توجهی از مطالعات پایه، کاربردی، بالینی و همه‌گیرشناختی به دست آمده است که IGF-I در تمامی فرآیندهای فوق‌الذکر نقش اساسی را دارد است. از دیدگاه کاربردی، استفاده از اندازه‌گیری غلظت IGF-I احتمالاً می‌تواند به عنوان شاخصی ارزشمند برای ارزیابی وضعیت سلامتی، آمادگی جسمانی، متابولیک و بیماری استفاده شود (۳). با این حال، تا زمان افزایش اطلاعات و درک کامل چگونگی IGF-I (IGF-I) IGF-I (IGFBP-1) در چندین IGF-I تام، IGF-I (IGFBP-1) آزاد، ایزوفرم‌های IGF، پروتئین پیوندی (IGFBP) و غیره بر عملکرد فیزیولوژیکی، مشخص نمی‌باشد که کدام یک از این اجزا باید اندازه‌گیری شده و مورد تجزیه و تحلیل قرار گیرند. همچنین، این مسئله که IGF-I در چندین کمپارتمان مختلف بدن (مانند خون، بزاق، مایع میان بافتی، عضله، استخوان و بافت عصبی) موجود گردیده است تا روش نمونه‌گیری بین مطالعات متفاوت و متنوع باشد. همچنین، در مواردی بسیاری نتایج به دست آمده از مطالعات مبهم و حتی در برخی موارد متناقض است (۴).

مطالعات بسیاری به وضوح نشان داده‌اند که تمرینات ورزشی می‌تواند به افزایش رشد بافتی منجر شود و بسیاری از فواید سلامتی افراد ورزیده‌تر، ریشه در افزایش آثار آنابولیک GH و IGF-I دارد، زیرا افراد آماده‌تر، مقادیر سرمی GH و IGF-I بیشتری دارند. از این‌رو، به نظر می‌رسد که افزایش آمادگی بدنشی ناشی از تمرین به افزایش IGF-I سرمی منجر می‌شود، اما در تمام آزمون‌ها و تمرینات طراحی شده برای افزایش IGF-I

غلظت IGF-I و $VO_{2\max}$ و توان بی‌هوای اوج در دو گروه همسان ۱۱ نفره تمرین HIIT و کنترل (بدون فعالیت) جایگزین شدند. پیش از شروع تمرینات توصیه‌هایی در مورد متعادل بودن و عده‌های غذایی و خواب شبانه کافی (۸-۹ ساعت) به آزمودنی‌ها و والدین شان داده شد.

همه این افراد با هدف آشناسازی و افزایش آمادگی اولیه در یک برنامه تمرین تداومی هوایی (با شدت ۶۵-۶۰ درصد ضربان قلب ذخیره به مدت ۳۰-۴۵ دقیقه، ۳ جلسه در هفته) به مدت دو هفته شرکت کردند. سپس آزمودنی‌ها در هشت هفته تمرین HIIT شرکت کردند. هر جلسه تمرین HIIT شامل ۱۰ دقیقه گرم کردن (شامل حرکات کششی، درجا زدن و حرکات جنبشی)، ۶-۸ تکرار دویدن ۳۰-۶۰ ثانیه‌ای با شدت تمام و ۳/۵-۴ دقیقه استراحت بین هر تکرار و بخش بازگشت به حالت اولیه بود. در طی برنامه تمرینی تناوبی شدید تعداد تکرار دویدن ۳۰ ثانیه‌ای با شش تکرار شروع شده پس از چهار هفته به ۴۵ ثانیه و در نهایت در دو هفته نهایی تمرینات به شش الی هشت تکرار ۶۰ ثانیه‌ای گردید. طی هر جلسه تمرینی ابتدا ۳-۴ تکرار دویدن با تمام توان با ۳/۵ دقیقه استراحت بین هر تکرار اجرا شد و سپس آزمودنی‌های نوجوان ۵ دقیقه استراحت داشته و ۳-۴ تکرار دویدن با تمام توان بعدی را اجرا نمودند (۱۴). رژیم غذایی روزانه آزمودنی‌ها طی دوره تحقیق (با استفاده از پرسشنامه‌ی یادآمد تغذیه‌ای ۲۴ ساعته) کنترل شد. همه آزمودنی‌های در حین تمرینات بدنی هیچ محدودیتی در رابطه با دسترسی و نوشیدن آب نداشتند. خون‌گیری ۱۸-۲۴ ساعت قبل و پس از تمرینات (ساعت ۸-۹ صبح روز بعد) انجام شد. نمونه‌گیری‌ها به مقدار ۳-۴ میلی‌لیتر خون از ورید آنثه کوریتیال (بدون افزودن ماده ضد انعقاد جهت جداسازی سرم) انجام شد. تمام نمونه‌های خونی بعد از لخته شدن در دمای محیط، برای جداسازی سرم در دستگاه سانتریفیوژ قرار گرفتند. نمونه‌های سرمی تا زمان اندازه‌گیری غلظت IGF-I در دمای ۸-۱۰ درجه سانتی‌گراد نگهداری شدند. در نهایت غلظت IGF-I سرمی (ng/ml) با استفاده از کیت Diasorin ساخت کشور ایتالیا با استفاده از دستگاه اتوآنالایزر و به روش کمی لومیننس اندازه‌گیری شدند. به منظور ارزیابی توان بی‌هوایی و اکسیژن مصرفی بیشینه به ترتیب از آزمون Bruce RAST و RAST استفاده شد. برای اجرای آزمون RAST، پسران نوجوان مسافت ۳۵ متر را ۶ نوبت و با حداقل سرعت ممکن دویدند و بین هر مرحله فعالیت، ۱۰ ثانیه استراحت داشتند. زمان هر مرحله با استفاده از زمان‌سنج در دو طرف خط شروع و پایان، ثبت شد و افراد در نقطه پایان مجددًا مرحله بعدی دویدن را آغاز کردند (۱۵). همچنین، درصد چربی با استفاده از دستگاه Inbody ساخت کشور کره جنوبی اندازه‌گیری شد. آزمون‌های کولموگروف-اسمیرنوف، ویلک-شاپیرو و لوین برای تعیین وضعیت توزیع و همگنی واریانس‌ها و از آزمون تحلیل

استراحتی IGF-I منجر شود (۱۱). برای مثال، مطالعه Eliakim و همکاران در پسران نوجوان با میانگین سنی تقریباً ۱۶ سال با بررسی تاثیر ۵ هفته تمرین ورزشی است مقامی که گاهی با تمرینات با وزنه همراه بود، کاهش مقادیر IGF-I را گزارش کردند (۱۲). با این حال، برخی مطالعات نشان داده‌اند که پاسخ IGF-I به تمرینات ورزشی دارای دو مرحله است که در ۴-۵ هفته ابتدایی تمرینات کاهش و سپس با تداوم تمرینات غلظت آن افزایش می‌یابد. از این‌رو به نظر می‌رسد مدت زمان تمرینات باید بیشتر از ۴-۵ هفته باشد (۱۰).

همچنین، باید خاطر نشان شود که تاثیر تمرینات HIIT در دوره اوج سرعت قدری (PHV) بر رابطه بین سطح سرمی IGF-I به عنوان شاخص‌های ارزیابی سطح سلامتی با متغیرهای آنتروپومتریک و آمادگی هوایی و بی‌هوایی پسران نوجوان تاکنون مطالعه‌ای صورت نگرفته است. بنابراین، تحقیقی که در راستای تعیین تاثیر و رابطه بین IGF-I و شاخص‌های مرتبط با سلامتی و آمادگی به در مورد نوجوانان سودمند به نظر می‌رسید. از این‌رو، مطالعه حاضر با هدف بررسی رابطه بین سطح سرمی IGF-I با متغیرهای آنتروپومتریک و آمادگی هوایی و بی‌هوایی پسران نوجوان صورت گرفت.

روش کار

در مطالعه حاضر از میان دانش‌آموزان پسر نوجوان غیرفعال و نابالغ شهر خرم‌آباد، پس از شرح کامل موضوع، اهداف و روش تحقیق و پرسش و پاسخ‌های متعدد، با در نظر گرفتن معیارهای سن، غلظت IGF-I و شاخص‌های پیکرسنجدی شامل قد و وزن، با تکمیل فرم رضایت آگاهانه والدین و پرسشنامه سلامتی، آزمودنی‌های سالم و واحد شرایط با در نظر گرفتن امکان انصاف داوطلبین تعداد ۲۲ نفر انتخاب شدند. سپس، آزمودنی‌ها با حضور در محل آزمایشگاه فیزیولوژی ورزشی شاخص‌های قد، وزن، چین‌های پوستی و پهنه‌ای استخوانی آزمودنی‌ها اندازه‌گیری شد. همچنین، وضعیت بلوغ آزمودنی‌ها با استفاده از سن تقویمی، مقیاس تائز، پرسش‌نامه خود اظهاری وضعیت بلوغ (تظاهرات جسمانی) و هنجارهای مربوط به میزان IGF-I طی مراحل مختلف زندگی مورد بررسی قرار گرفت تا از نابالغ بودن آزمودنی‌ها اطمینان حاصل شود (۱۳). بر اساس نتایج به دست آمده از بررسی مراحل بلوغ (توسط سن تقویمی، مقیاس تائز و هنجارهای مربوط به میزان IGF-I) هیچ یک از آزمودنی‌ها مراحل بلوغ را طی نکرده بودند و همگی نابالغ (مراحل III و IV تائز) بودند.

به علاوه، غلظت IGF-I و آمادگی هوایی ($VO_{2\max}$)، توان بی‌هوایی اوج، میانگین توان بی‌هوایی و شاخص خستگی و فشار خون سیستولی، دیاستولی و درصد چربی پسران نوجوان اندازه‌گیری شد. در ادامه آزمودنی‌ها به صورت تصادفی و بر اساس

HIIT نشان می‌دهد که مقادیر $\text{VO}_{2\text{max}}$ ، توان بیهوایی اوج، میانگین توان بیهوایی و IGF-I نسبت به دوره قبل از تمرینات افزایش معنی‌داری داشته است (نمودار ۱ و ۲). همچنین، درصد چربی و میزان شاخص خستگی طی آزمون RAST در گروه تمرینات HIIT نسبت به آزمون اجرا شده طی دوره پیش آزمون به طور معنی‌داری کاهش یافت ($P < 0.001$). همچنین، همبستگی معنی‌داری به میزان تغییرات IGF-I با آمادگی هوایی، آمادگی بیهوایی، شاخص خستگی و درصد چربی وجود داشت. با این حال، فشار خونی سیستولی و دیاستولی پس اتمام دوره تمرینی تغییر معنی‌داری نشان نداد ($P = 0.05$). همچنین، در گروه تمرینات HIIT کاهش وزن بدن روی داد، اما این تغییرات نسبت به پیش دوره پیش از تمرینات معنی‌دار نبود ($P = 0.05$).

واریانس (۲×۲) برای ارزیابی تغییرات درون و بین گروهی و از آزمون همبستگی برای ارزیابی رابطه بین شاخص‌های اندازه‌گیری شده استفاده شد. داده‌ها با استفاده از نرم‌افزار SPSS نسخه ۱۸ در سطح $P < 0.05$ تجزیه و تحلیل شدند.

یافته‌ها

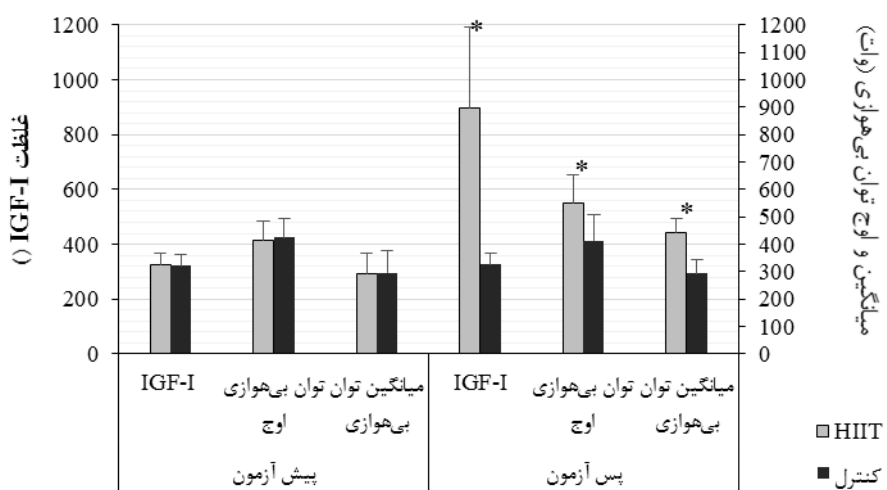
در جدول شماره ۱ مشخصات پیکرشناختی آزمودنی‌ها ارائه شده است. همچنین، در جدول ۲ مقادیر متغیر وابسته در هر دو گروه ذکر شده است. نتایج مربوط به میزان تغییرات اکسیژن مصرفی بیشینه، توان بیهوایی اوج، میانگین توان بیهوایی، شاخص خستگی، درصد چربی و IGF-I قبل و بعد از تمرینات HIIT با استفاده از آزمون تحلیل واریانس مکرر (۲×۲) در گروه

جدول ۱: مشخصات آنתרופومتریک و فیزیولوژیک آزمودنی‌ها (هر گروه ۱۱ نفر)

انحراف استاندارد	میانگین	شاخص‌ها
۰/۶	۱۵/۶	سن (سال)
۱۵/۱	۶۲/۷	وزن (کیلوگرم)
۳/۹	۱۶۹	قد (سانتی‌متر)

جدول ۲: تغییرات آمادگی هوایی، بیهوایی، فشار خون سیستولی، دیاستولی و IGF-I قبل و بعد از تمرینات HIIT (هر گروه ۱۱ نفر)

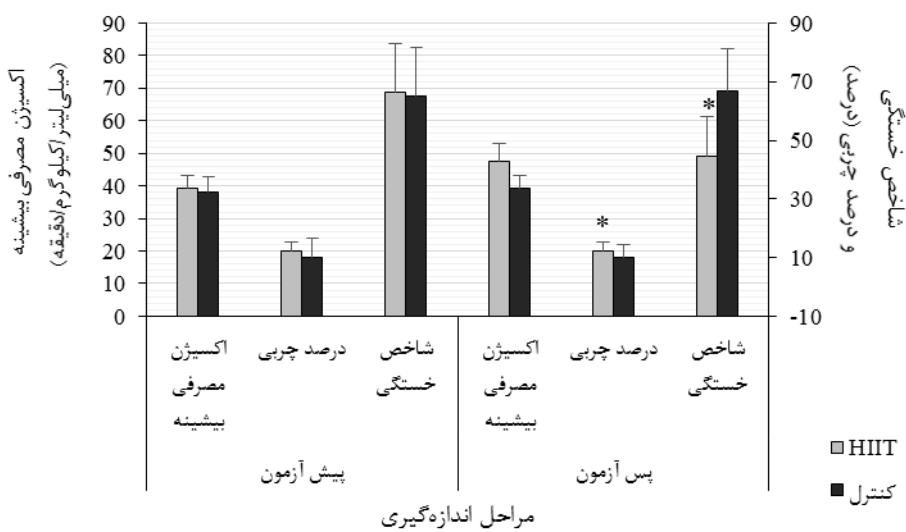
معنی‌داری	بعد از تمرینات	قبل از تمرینات	گروه	متغیر
$<0.001^*$	$225/9 \pm 48/2$	$221/8 \pm 44/1$	کنترل	عامل رشد شبه انسولینی-۱ (ng/ml)
	$897/9 \pm 292/6$	$321/8 \pm 41/7$	HIIT	اکسیژن مصرفی بیشینه ($\text{ml} \cdot \text{min}^{-1} \cdot \text{kg}^{-1}$)
$<0.001^*$	$39/2 \pm 4/7$	$38/2 \pm 4/3$	کنترل	درصد چربی (%)
	$47/4 \pm 5/6$	$39/2 \pm 3/9$	HIIT	توان بیهوایی اوج (وات)
$<0.001^*$	$18/1 \pm 4/38$	$17/9 \pm 6/03$	کنترل	میانگین توان بیهوایی (وات)
	$15/6 \pm 3/7$	$19/8 \pm 4/72$	HIIT	شاخص خستگی (درصد)
$<0.001^*$	$412/22 \pm 96/26$	$425/5 \pm 70/23$	کنترل	فشار خون سیستولی (میلی‌متر جیوه)
	$551 \pm 10/4/8$	$414/6 \pm 70$	HIIT	(میلی‌متر جیوه)
$<0.001^*$	$293/9 \pm 51/17$	$295/2 \pm 7/48$	کنترل	فشار خون دیاستولی (میلی‌متر جیوه)
	$443/14 \pm 49/87$	$291/14 \pm 83/18$	HIIT	(میلی‌متر جیوه)
$<0.001^*$	$69/15 \pm 12/54$	$67/53 \pm 15/32$	کنترل	دور کمر (سانتی‌متر)
	$49/11 \pm 13/01$	$68/6 \pm 15/43$	HIIT	*
۰/۹۷۹	$82/3 \pm 8/63$	$81/4 \pm 7/74$	کنترل	تفاوت معنی‌دار بین گروهی
	$79/9 \pm 7/11$	$80/2 \pm 6/51$	HIIT	
۰/۶۴۷	$122/6 \pm 8/34$	$121/7 \pm 8/74$	کنترل	
	$120/9 \pm 8/27$	$119/4 \pm 5/51$	HIIT	
۰/۹۳۷	$82/9 \pm 8/25$	$82/7 \pm 6/74$	کنترل	
	$79/9 \pm 7/61$	$83/9 \pm 7/61$	HIIT	



مراحل اندازه‌گیری

نمودار ۱: تغییرات IGF-I توان بی‌هوای اوج و میانگین توان بی‌هوای در دو گروه تمرینی

* معنی داری درون گروهی در سطح ($P < 0.05$).



نمودار ۲: تغییرات اکسیژن مصرفی بیشینه، درصد چربی و شاخص خستگی در دو گروه تمرینی

* معنی داری درون گروهی در سطح ($P < 0.05$).

بحث

در راستای افزایش غلظت IGF-I پس از تمرینات تنایی شدید، بسیاری از محققان، افزایش معنی دار غلظت عوامل هورمونی مرتبط با رشد پس از انواع مختلف تمرینات ورزشی گزارش کرده‌اند. برای مثال، در راستای افزایش آمادگی هوایی و بی‌هوایی پس از تمرینات HIIT مطالعات بسیاری از جمله Cocks و همکاران افزایش $\text{VO}_{2\text{max}}$ مردان غیرفعال را پس از تمرینات HIIT (۴-۶ آزمون وینگیت، ۳ مرتبه در هفته) گزارش کرده‌اند (۱۶). همچنین، در مطالعه دیگری کوک و همکاران گزارش کردند

یافته‌های پژوهش حاضر نشان داد که هشت هفته HIIT موجب افزایش $\text{VO}_{2\text{max}}$ ، توان بی‌هوای اوج و میانگین توان بی‌هوایی و کاهش درصد چربی و شاخص خستگی شده است. در راستای این تغییرات میزان IGF-I سرمی افزایش یافته است. از طرفی یافته‌های مطالعه حاضر نشان داد که قبل و پس از تمرینات HIIT همبستگی معنی داری بین عامل هورمونی مرتبط با رشد و شاخص‌های آمادگی هوایی و بی‌هوایی وجود دارد و این همبستگی پس از هشت هفته تمرین HIIT افزایش یافته است.

به علاوه، Eliakim و همکاران با بررسی پاسخ محور GH/IGF-I طی ۲۰، ۳۰ و ۶۰ دقیقه پس از آزمون بیهوایی وینگیت در پسران و دختران جوان فعال افزایش غلظت و فعالیت هورمون‌های این محور را گزارش کردند (۲۰). نتایج نمونه‌های بافتی گرفته شده در برخی مطالعات حیوانی یا انسانی مربوط به IGF-I نشان داده است که، ممکن است تغییرات پلاسمایی بیانگر تغییرات آن در سطح بافتی (به ویژه بافت عضلانی) نباشد، یا حداقل نمایان شدن آن در گرددش خون به زمان بیشتری نیاز داشته باشد. به همین دلیل، در این مطالعه به منظور به حداقل رساندن این تاثیر تأثیر فعالیت ورزشی بر پاسخ ۱۸–۲۴ ساعته IGF-I به تمرین تنابوی شدید مورد ارزیابی قرار گرفته است. همچنین، به دلیل اثرات اتوکرینی، پاراکرینی و اندوکرینی IGF-I و تاثیر فرآیندهای آنابولیک و کاتابولیک بر سطوح IGF-I است، انتظار می‌رود تغییرات غلظت IGF-I در گرددش خون نیز نمود پیدا کند (۲۱).

چندین مطالعه مقطعی با بررسی رابطه بین غلظت IGF-I در گرددش و آمادگی هوایی (ارزیابی شده از طریق اکسیژن مصرفی بیشینه) گزارش کرده‌اند که تمرینات ورزشی احتمالاً غلظت IGF-I در گرددش را افزایش می‌دهد. با این حال، برخی مطالعات نیز عدم تاثیر این نوع تمرینات بر شاخص‌های فیزیولوژیک (IGF-I) و آمادگی هوایی و بیهوایی را گزارش نموده‌اند. برای مثال Bickham و همکاران نتوانستند تغییر معنی‌داری در $\text{VO}_{2\text{max}}$ پس از اجرای برنامه تمرینی تنابوی بیهوایی دوییدن در طول ۶ هفته (۱۴–۳۰) تکرار از دوهای ۵–۱۵ ثانیه‌ای با شدت ۹۰–۱۰۰ درصد را نشان دهند (۲۲). از جمله دلایل ناهمسوبی نتایج با مطالعه حاضر می‌توان به تفاوت در نوع آزمودنی اشاره نمود، به نحوی که آزمودنی‌های مطالعه حاضر افراد پسران نوجوان غیرفعال بودند که دارای بالاترین ظرفیت بالقوه برای دستیابی به بالاترین بهبود ممکن در هر یک از شاخص‌های فوق الذکر هستند. علاوه بر این، بیشتر مطالعاتی که نتوانسته‌اند بهبود آمادگی هوایی و بیهوایی پس از تمرینات HIIT را نشان دهند عموماً از جلسات تمرینات بسیار کوتاه مدت (۱۵–۱۵ ثانیه‌ای) یا آنکه مداخله تمرینی کمتر از این مطالعات کمتر از ۲ هفته طول کشیده است. در حالی که وله‌های تمرینی مطالعه حاضر بین ۳۰–۶۰ ثانیه بوده و مدت اجرای تمرینات نیز هشت هفته بوده است. همچنین، کوتاه بودن مدت زمان ریکاوری غیرفعال استفاده بین وله‌های تمرینی ممکن است ریکاوری دستگاه هوایی را ممکن است چراکه در این زمان تا حد قابل توجهی کلیرانس اسید لاتکیک و ستر مجدد کراتین فسفات روی می‌دهد. به علاوه، تعداد تناوب‌های اجرا شده، زمان بندی بین آخرین جلسه تمرینی و پس آزمون و متفاوت بودن تغذیه بین مطالعات مختلف نیز ممکن است تاثیرگذار باشد (۲۳).

مطالعات بسیاری نشان داده‌اند که تمرینات HIIT موجب بهبود آمادگی قلبی-عروقی و آمادگی بیهوایی و نیز در مدت زمان

که ۴ هفته تمرین HIIT با بار ثابت (در ۲۰۰ درصد توان بیشینه) موجب افزایش $\text{VO}_{2\text{max}}$, PPO, MPO گردید (۱۷).

همچنین در راستای، یافته‌های پژوهش حاضر مبنی بر افزایش غلظت IGF-I پس از تمرینات ورزشی شدید (بالاتر از آستانه لاكتات) با نتایج برخی مطالعات از جمله Tourinho, Hejazi و همکاران، هبرت و همکاران، باقری و همکاران و گرگوری و همکاران همسو می‌باشد. در راستای نتایج مطالعه حاضر، Hejazi در مطالعه خود نشان داد که هشت هفته HIIT شامل ۲–۸ وله در تمرین دوچرخه‌سواری با شدت بیشینه موجب افزایش معنی‌دار غلظت IGF-I پسران جوان گردیده است. همچنین، نتایج مطالعه باقري و همکاران نشان داد که هشت هفته تمرین با شدت بالا در آب (سه جلسه یک ساعته در هفته با شدت ۷۰ تا ۸۰ درصد ضربان قلب بیشینه) موجب افزایش غلظت سرمی IGF-I کودکان ۹ تا ۱۱ ساله پسر گردیده است.

با توجه به نتایج فوق و آگاهی از این مطلب که اندازه پاسخ خطی GH و IGF-I به شدت فعالیت ورزشی بستگی دارد، در برخی مطالعات تاکید شده است که شدت مورد نیاز برای فرآخوان افزایش GH و IGF-I باید بالاتر از آستانه لاكتات باشد (۱۸). در این راستا، الایکیم و همکاران با بررسی تاثیر ۱۰ وله فعالیت ۲ دقیقه‌ای روی چرخ کارسنج با بار بالاتر از آستانه بیهوایی با یک دقیقه استراحت بین هر وله در کودکان و نوجوانان چاق افزایش ترشح IGF-I را گزارش کردند. این محققان استدلال کردند که افزایش غلظت این عوامل هورمونی ناشی از افزایش ترشح ایونفرین و نوراپی‌نفرین و تحريك فعالیت نورون‌های مرکزی ادرنرژیک و به دنبال آن تحريك ترشح هورمون محرك ترشح هورمون رشد (GHRH) یا کاهش ترشح سوماتوستاتین است (۱۲).

عوامل اصلی موثر بر افزایش IGF-I در پاسخ به فعالیت ورزشی به طور کامل شناخته نشده‌اند، با این حال سازوکار عمومی افزایش رهاش IGF-I کبدی در پاسخ به افزایش ترشح GH ناشی از تمرینات ورزشی است. محققان بر این باورند که علاوه بر افزایش مقدار GH به عنوان محرك اصلی ترشح IGF-I بعد از فعالیت‌های ورزشی شدید، شدت (بالاتر از آستانه لاكتات)، نوع انقباض عضلانی، تعداد تکرار و مدت زمان استراحت بین وله‌های تمرینی عوامل اثرگذار هستند. همچنین، افزایش غلظت لاكتات خون یکی از دلایل افزایش ترشح GH پس از اجرای تمرینات ورزشی بیان شده است. به نظر می‌رسد اتکای بیشتر به دستگاه انژری بیهوایی و افزایش غلظت برخی فرآورده‌های سوخت و سازی مانند نیتریک اکساید (NO) و اسید لاتکیک طی تمرینات HIIT شده که می‌تواند با تحريك گیرنده‌های متابولیک و اثرگذاری بر هیپوتالاموس، در نهايیت باعث افزایش آزاد شدن GH از هیپوفیز قدامی شود (۱۹).

موجب افزایش فعالیت و غلظت آنزیم‌های درگیر در بتا-اکسیداسیون و همچنین افزایش سطوح ناقلین انتقال چربی به درون عضله میتوکندری اسکلتی می‌گردد که به نوبه خود به افزایش اکسیداسیون چربی برای تولید انرژی منجر می‌شود (۲۹). با این حال، این نکته باید خاطر نشان شود که افزایش، کاهش و عدم تغییر در IGF-I در گردش برای تمرينات و فعالیت ورزشی حاد و طولانی مدت گزارش شده است و چنین یافته‌های مبهم و حتی متناقضی موجب گردیده است تا دستیابی به یک نتیجه‌گیری قطعی دشوار باشد.

نتیجه‌گیری

نتایج این مطالعه نشان می‌دهد که در کنار سایر روش‌های ارزیابی سطح سلامتی و آمادگی جسمانی، به نظر می‌رسد استفاده از غلظت IGF-I ممکن است روش مناسبی برای ارزیابی سطح سلامتی و آمادگی جسمانی پسران نوجوان نابالغ باشد. با این حال، به نظر می‌رسد برای تعیین کپارتمان اندازه‌گیری نمونه و این که کدامیک از مولفه‌های هر یک از این هورمون‌ها اندازه‌گیری شود به انجام تحقیقات بیشتری نیاز است.

قدرتانی

مطالعه حاضر حاصل پایان‌نامه دانشجویی دکتری در دانشکده تربیت بدنی و علوم ورزشی دانشگاه تبریز می‌باشد. از تمام افرادی که در این تحقیق همکاری کرده‌اند، تقدیر و تشکر به عمل می‌آید.

ملاحظات اخلاقی

پروتکل این مطالعه در کمیته پژوهشی دانشگاه علوم پزشکی تبریز استان آذربایجان شرقی به شماره مرجع IR.TBZMED.REC.1396.258 تأیید رسیده است.

منابع مالی

منابع مالی این طرح تحقیقاتی توسط نویسنده‌گان تأمین شده است.

منافع متقابل

مؤلف اظهار می‌دارد که منافع متقابلی از تالیف یا انتشار این مقاله ندارد.

مشارکت مؤلفان

۱. ر. اس به عنوان استاد راهنما در انتخاب موضوع، طراحی پروتکل، تحلیل نتایج و تدوین مقاله مطالعه و ۲. م. آ انتخاب موضوع، طراحی پروتکل، اجراء تحلیل نتایج و تدوین مقاله مطالعه و ۳. ج. ح در طراحی و اجرای پروتکل تحقیق نقش داشتند، همچنین، استاد راهنما و مشاور مقاله نسخه نهایی تهیه شده توسط م. آ راخوانده و تأیید کرده‌اند.

کمتری باعث بهبود وضعیت ترکیب بدن می‌گردد. در این راستا، Whyte و همکاران کاهش مقدار و درصد چربی و وزن بدن را پس از یک مداخله تنها ۲ هفته‌ای HIIT (شامل اجرای ۴-۶ وینگیت با فواصل استراحتی ۴/۵ دقیقه) گزارش نمودند (۲۴). همچنین، Tjonna و همکاران با بررسی تاثیر ۱۲ هفته تمرينات HIIT (۴ × ۴ دقیقه با فواصل استراحتی ۳ دقیقه‌ای) روی مردان و زنان میانسال به ترتیب کاهش ۷ و ۸ درصدی چربی زیرپوستی و چربی ناحیه شکمی را گزارش کردند (۲۵). Chicharro و همکاران نشان دادند که بعد از ۳ هفته تمرينات IGF-I کل افزایش یافته و IGF-I در گردش کاهش یافته است. از طرفی در تمرينات مزمن تغییرات ناشی از تمرين در ترکیب بدنی و تعادل منفی کاری می‌تواند غلظت IGF-I را تنظیم کند که می‌تواند یکی از سازوکارهای احتمالی کاهش درصد چربی متعاقب تمرينات HIIT و افزایش اکسیداسیون چربی باشد (۲۶). در راستای تأیید این فرضیه، یک مطالعه نشان داده است که جلسات تمرينات HIIT موجب کاهش و در برخی موارد مهار گلیکوزنولیز بی هوایی و افزایش بازسازی ATP از طریق افزایش تجزیه PCR و ذخایر تری آسیل گلیسرول درون عضلانی گردیده است (۲۷). همچنین، در برخی مطالعات افزایش گلیسرول در گردش حین تمرينات HIIT در زنان و مردان دوچرخه سوار تمرين کرده نشان داده‌اند که در راستای تأیید افزایش انتقال و استفاده از اسیدهای چرب آزاد طی یک وهله تمرين HIIT است. به علاوه، در برخی مطالعات بیان شده است که فعالیت ورزشی HIIT اکسیداسیون ۲۴ ساعته چربی را همانند تمرينات تداومی هوایی تحت تاثیر قرار دهد. یکی دیگر از دلایل افزایش اکسیداسیون چربی پس از تمرينات HIIT افزایش غلظت آنزیم‌های اکسایشی است (۲۸). سایر سازوکارهای بیان شده شامل نقش احتمالی افزایش کاتکولامین‌ها طی و پس از تمرين HIIT است که می‌تواند افزایش اکسیداسیون چربی پس از جلسه تمرين ورزشی HIIT را تحت تاثیر قرار دهد. افزایش هورمون رشد و متعاقب آن IGF-I پس از یک وهله تمرين HIIT مشاهده شده است که ممکن است در افزایش اکسیداسیون چربی پس از این نوع تمرينات ورزشی سهیم باشد (۲۹، ۲۸).

به علاوه، بر اساس شواهد موجود در وهله‌های ورزشی حاد، فعالیت ورزشی تداومی هوایی با شدت متوسط موجب افزایش اتکا به اکسیداسیون چربی طی فعالیت ورزشی می‌گردد، در حالی که فعالیت ورزشی HIIT عمده‌تاً باعث افزایش اکسیداسیون چربی در دوره پس از فعالیت ورزشی می‌شود. این مسئله نیز می‌تواند تأییدکننده نتایج مطالعه حاضر در راستای افزایش IGF-I در ۲۴-۱۸ ساعته پس از فعالیت ورزشی شدید باشد. همچنین، این سازوکارها موجب افزایش استفاده از چربی برای تولید انرژی در دوره ریکاوری تمرينات HIIT می‌شود. همچنین، تمرينات HIIT

References

- Carter-Su C, Schwartz J, Argetsinger L S. Growth hormone signaling pathways. *Growth Horm IGF Res* 2016; **28**: 11-15. doi: 10.1016/j.ghir.2015.09.002
- Kawai M. Role of GH/IGF-1 in bone growth and bone mass. *Handbook of nutrition and diet in therapy of bone diseases*: Wageningen Academic Pub, 2016; PP: 2674-82. doi: 10.3920/978-90-8686-823-0_6
- Nindl B C, Pierce J R. Insulin-like growth factor I as a biomarker of health, fitness, and training status. *Med Sci Sports Exerc* 2010; **42**(1): 39-49. doi: 10.1249/MSS.0b013e3181b07c4d
- Nindl B C. Insulin-like growth factor-I as a candidate metabolic biomarker: military relevance and future directions for measurement. *J Diabetes Sci Technol* 2009; **3**(2): 371-376. doi: 10.1177/193229680900300220
- Nindl B C, Alemany J A, Tuckow A P, Kellogg MD, Sharp MA, Patton JF. Effects of exercise mode and duration on 24-h IGF-I system recovery responses. *Med Sci Sports Exerc* 2009; **41**(6): 1261-1270. doi: 10.1249/MSS.0b013e318197125c.
- Rubin M R, Kraemer W J, Maresh C M, Volek J S, Ratamess N A, Vanheest J L, et al. High-affinity growth hormone binding protein and acute heavy resistance exercise. *Med Sci Sports Exerc* 2005; **37**(3): 395-403. doi: 10.1249/01.mss.0000155402.93987.c0
- Widdowson W M, Healy M-L, Sönksen PH, Gibney J. The physiology of growth hormone and sport. *Growth Horm IGF Res* 2009; **19**(4): 308-319. doi: 10.1016/j.ghir.2009.04.023.
- Eliakim A, Nemet D, Zaldivar F, McMurray R G, Culler F L, Galassetti P, et al. Reduced exercise-associated response of the GH-IGF-I axis and catecholamines in obese children and adolescents. *J Appl Physiol* 2006; **100**(5): 1630-1637. doi: 10.1152/japplphysiol.01072.2005
- Felsing N E, Brasel J, Cooper D M. Effect of low and high intensity exercise on circulating growth hormone in men. *J Clin Endocrinol Metab* 1992; **75**(1): 157-162.
- Nindl B C, Alemany J A, Kellogg M D, Rood J, Allison S A, Young A J, et al. Utility of circulating IGF-I as a biomarker for assessing body composition changes in men during periods of high physical activity superimposed upon energy and sleep restriction. *J Appl Physiol* 2007; **103**(1): 340-346. doi: 10.1152/japplphysiol.01321.2006
- Bar-Or O, Rowland T W. *Pediatric exercise medicine: from physiologic principles to health care application*: Human Kinetics; 2004.
- Eliakim A, Brasel J A, Mohan S, Wong WLT, Cooper D M. Increased physical activity and the growth hormone-IGF-I axis in adolescent males. *Am J Physiol Regul Integr Comp Physiol* 1998; **2**(1): R308-R314. doi: 10.1152/ajpregu.1998.275.1.r308
- Rasmussen A R, Wohlfahrt-Veje C, de Renzy-Martin K T, Hagen C P, Tinggaard J, Mouritsen A, et al. Validity of self-assessment of pubertal maturation. *Acad Pediatr* 2015; **15**(1): 86-93. doi: 10.1542/peds.2014-0793
- Siahkouhian M, Khodadadi D, Shahmoradi K. Effects of high-intensity interval training on aerobic and anaerobic indices: Comparison of physically active and inactive men. *Sci & Spor* 2013; **28**(5): e119-e125. doi: 10.1016/j.scispo.2012.11.006
- Andrade V, Zagatto A, Kalva-Filho C, Mendes O, Gobatto C, Campos E, et al. Running-based anaerobic sprint test as a procedure to evaluate anaerobic power. *Int J Sports Med* 2015; **36**(14): 1156-1162. doi: 10.1055/s-0035-1555935.
- Cocks M, Shaw C S, Shepherd S O, Fisher J P, Ranasinghe A M, Barker T A, et al. Sprint interval and endurance training are equally effective in increasing muscle microvascular density and eNOS content in sedentary males. *J Physiol* 2013; **591**(3): 641-656. doi: 10.1113/jphysiol.2012.239566.
- Cocks M, Shaw C S, Shepherd S O, Fisher J P, Ranasinghe A, Barker T A, et al. Sprint interval and moderate-intensity continuous training have equal benefits on aerobic capacity, insulin sensitivity, muscle capillarisation and endothelial eNOS/NAD (P) Hoxidase protein ratio in obese men. *J Physiol* 2015. doi: 10.1113/jphysiol.2014.285254.
- Hejazi S M. Effects of High Intensity Interval Training on Plasma Levels of GH and IGF-I. *Health Sciences* 2017; **6**(4): 55-59.
- Zinner C, Wahl P, Achtzehn S, Reed J, Mester J. Acute hormonal responses before and after 2 weeks of HIT in well trained junior triathletes. *Int J Sports Med* 2014; **35**(4): 316-322. doi: 10.1055/s-0033-1353141.
- Eliakim A, Nemet D, Most G, Rakover N, Pantanowitz M, Meckel Y, et al. The Effect of Gender on the GH-IGF-I Response to Anaerobic Exercise in Young Adults. *J Strength Cond Res* 2014. doi: 10.1519/JSC.0000000000000605.
- Eliakim A, Scheett T P, Newcomb R, Mohan S, Cooper D M. Fitness, Training, and the Growth Hormone→ Insulin-Like Growth Factor I Axis in Prepubertal Girls 1. *J Clin Endocrinol Metab* 2001; **86**(6): 2797-2802. doi: 10.1210/jcem.86.6.7560
- Bickham D, Le Rossignol P. Effects Of High-Intensity Interval Training On The Accumulated Oxygen Deficit of Endurance-Trained Runners. *Journal of Exercise Physiology* 2004; **7**: 40-47.
- Tourinho Filho H, Pires M, Puggina E, Papoti M, Barbieri R, Martinelli C. Serum IGF-I, IGFBP-3 and ALS concentrations and physical performance in young swimmers during a training season. *Growth Horm IGF Res* 2017; **32**: 49-54. doi: 10.1016/j.ghir.2016.12.004.
- Whyte L J, Gill J M, Cathcart A J. Effect of 2 weeks of sprint interval training on health-related outcomes in sedentary overweight/obese men. *Metabolism* 2010; **59**(10): 1421-1428. doi: 10.1016/j.metabol.2010.01.002

25. Tjonna A, Stolen T, Bye A, Volden M, Slordahl S, Odegard R, et al. Aerobic interval training reduces cardiovascular risk factors more than a multtreatment approach in overweight adolescents. *Clin Sci* 2009; **116**: 317-326. doi: 10.1042/CS20080249.
26. Chicharro J, López-Calderon A, Hoyos J, Martin-Velasco A, Villa G, Villanua M, et al. Effects of an endurance cycling competition on resting serum insulin-like growth factor I (IGF-I) and its binding proteins IGFBP-1 and IGFBP-3. *Br J Sports Med* 2001; **35**(5): 303-307. doi: 10.1136/bjsm.35.5.303
27. Gaitanos G C, Williams C, Boobis L H, Brooks S. Human muscle metabolism during intermittent maximal exercise. *J Appl Physiol* 1993; **75**(2): 712-719. doi: 10.1152/jappl.1993.75.2.712
28. Trapp E, Chisholm D, Freund J, Boutcher S. The effects of high-intensity intermittent exercise training on fat loss and fasting insulin levels of young women. *Int J Obes* 2008; **32**(4): 684-691. doi: 10.1038/sj.ijo.0803781.
29. Saris W, Schrauwen P. Substrate oxidation differences between high-and low-intensity exercise are compensated over 24 hours in obese men. *Int J Obes* 2004; **28**(6): 759-765. doi: 10.1038/sj.ijo.0802631

Diagnostic value of C- reactive protein and white blood count in patients with suspicious appendicitis

Shiva Pakzad¹, Mehryar Nahaei^{1*}, Siamak Farzaneh¹, Rahim Mahmodlou¹, Masoumeh Pourjabali²

¹Department of General Surgery, Imam Khomeini Medical Center, Urmia University of Medical Sciences, Urmia, Iran

²Department of Pathology, Imam Khomeini Medical Center, Urmia University of Medical Sciences, Urmia, Iran

*Corresponding author; E-mail: mhr_nahaei@yahoo.com

Received: 6 February 2019 Accepted: 17 April 2019

Med J Tabriz Uni Med Sciences Health Services. 2019 October- November; 41(4):17-24

Abstract

Background: Acute appendicitis is one of the most common causes of emergency surgeries, but sometimes the physicians face difficulties in proper diagnosis and management. Counting white blood cells and (CRP) C-reactive protein were important factors along with related clinical symptoms. The purpose of this study was evaluate the diagnostic value of these two factors in the diagnosis of acute appendicitis.

Methods: In this descriptive study patients with abdominal pain suspected of acute appendicitis were examined. In patients who received the results of clinical examinations and other diagnostic procedures (sonography, CT scan, etc.) to prove Acute appendicitis was ambiguous and non-determinant, and the score of Alvarado 6-4, a blood sample was taken for checking WBC, CRP and PMN, and was immediately sent to the lab. The laboratory kit used for the above measurements belonged to Bio System Reagents & Instrument Barcelona-Spain, and the sensitivity of this test was 0.15 mg / L according to the Bio System brochure. CRP>10 mg / L and PMN> 70%, WBC> 10000 / cu mm positive were considered.

Results: A total of 251 patients with appendicitis with mean age of 26.48 ± 10.5 years were studied. Alvaro criteria in patients with acute appendicitis 3.95 ± 0.22 and 4.9 ± 0.27 in patients with normal appendix ($P = 0.5$). The result of the pathology were normal in 102 (40.6%) cases, acute appendicitis in 91 cases (36.3%), and aphthous aphastics in 58 cases (23.1%). And, 88 (35.1%) patients had normal WBC and 163 (64.9%) cases had WBC levels more than 10,000 Cumm. Also, 50 patients (19.9%) had normal CRP but in 201 cases (80.1%) the CRP was higher than 10 mg/L. WBC had a sensitivity, specificity, positive predictive value, and negative predictive value of 69.12 %, 59%, 16.19% and 52.27%, respectively in diagnosis of acute appendicitis. CRP had a sensitivity, specificity, positive predictive value, and negative predictive value of 69.12 %, 59%, 16.19% and 52.27% respectively in diagnosis of acute appendicitis.

Conclusion: By measuring CRP and white blood cell count, a negative appendectomy can be reduced along with a clinical examination.

Keyword: Appendicitis, Leukocytosis, White Blood Cells, CRP, Surgery, Acute Abdomen

How to cite this article: Pakzad Sh, Nahaei M, Farzaneh S, Mahmodlou R, Pourjabali M. [Diagnostic value of C- reactive protein and white blood count in patients with suspicious appendicitis]. Med J Tabriz Uni Med Sciences Health Services. 2019 October- November; 41(4):17-24. Persian.

مقاله پژوهشی

ارزش تشخیصی پروتئین واکنشی C و شمارش گلبول های سفید خون در بیماران مشکوک به آپاندیسیت حاد

شیوا پاکزاد^۱, مهریار نهائی^{*}, سیامک فرزانه^۱, رحیم محمودلو^۱, معصومه پورجلی^۲

^۱ گروه جراحی عمومی، بیمارستان امام خمینی، دانشگاه علوم پزشکی ارومیه، ارومیه، ایران

^۲ گروه آسیب شناسی، بیمارستان امام خمینی، دانشگاه علوم پزشکی ارومیه، ارومیه، ایران

* نویسنده مسؤول؛ ایمیل: mhr_nahaei@yahoo.com

دریافت: ۱۳۹۷/۱۱/۱۷ پذیرش: ۱۳۹۸/۱/۲۸

مجله پژوهشی دانشگاه علوم پزشکی و خدمات بهداشتی - درمانی تبریز. مهر و آبان ۱۳۹۸؛ ۴۱(۴):۲۴-۱۷

چکیده

زمینه: آپاندیسیت حاد یکی از شایعترین علل جراحی‌های اورژانس می‌باشد، ولی گاه پیچیدگی‌ها و تفاوت‌های موجود در نحوه بروز آن باعث به اشتباه افتادن مجروب‌ترین پزشکان می‌شود. شمارش گلبول‌های سفید و C-reactive protein (CRP) از مدت‌ها قبل به منظور کمک به تصمیم‌گیری در کنار علامت بالینی در آپاندیسیت به کار گرفته شده‌اند. هدف مطالعه حاضر تلاش برای ارایه‌ی نظریه واحد نسبت به تاثیر اندازه‌گیری این عوامل در تشخیص موارد آپاندیسیت حاد می‌باشد.

روش کار: در این مطالعه، ۲۵۱ نفر از بیماران مراجعه کننده با درد شکم مشکوک به آپاندیسیت حاد توسط یک دستیار ارشد جراحی معاینه شدند. از بیمارانی که نتیجه معاینات بالینی و روش‌های تشخیصی دیگر (سونوگرافی، سی‌تی‌اسکن و غیره) جهت اثبات آپاندیسیت حاد در آن‌ها مبهم و غیرتعیین‌کننده بود و امتیاز آواردو ۶-۴ داشتند، یک نمونه خون جهت چک CRP، WBC و PMN گرفته شده و بلافاصله به آزمایشگاه فرستاده شد. کیت آزمایشگاهی مورد استفاده برای سنجش‌های فوق متعلق به شرکت Bio system Reagents & Instrument Barcelona-Spain (Bio system Reagents & Instrument Barcelona-Spain) می‌باشد و حساسیت این تست براساس بروشور کیت شرکت Bio system $\text{WBC} > 10000 \text{cells/l}$, $\text{PMN} > 10 \text{ mg/L}$, $\text{CRP} > 10 \text{ mg/L}$ مثبت در نظر گرفته شدند.

یافته‌ها: در این مطالعه کاربردی توصیفی ۲۵۱ بیمار مبتلا به آپاندیسیت با میانگین سنی بیماران ۵۸/۰±۱۰/۰ سال بررسی شدند. معیارهای آواردو در بیماران با آپاندیسیت حاد $435 \pm 0/22$ و در بیماران با آپاندیس طبیعی $409 \pm 0/27$ بود ($P=0/05$). نتیجه پاتولوژی در ۱۰۲ نفر (۴۰/۶٪) آپاندیس نرمال، ۹۱ مورد (۳۶/۳٪) آپاندیسیت حاد و ۵۸ نفر (۲۳/۱٪) آپاندیسیت پرفوره گزارش شده بود. نفر ۸۸ (۳۵/۱٪) از بیماران تحت مطالعه WBC نرمال داشتند و در ۱۶۳ نفر (۶۴/۶٪) سطح WBC بیشتر از 10000 cells/l بود. ۵۰ بیمار (۱۹/۹٪) CRP نرمال و در ۲۰۱ مورد (۸۰/۱٪) CRP بیشتر از 10 mg/L بود.

WBC جهت تشخیص آپاندیسیت حاد دارای حساسیت $69/2\%$, ویژگی $59/0\%$, ارزش اخباری مثبت $64/19\%$ و ارزش اخباری منفی $52/27\%$ بود.

جهت تشخیص آپاندیسیت حاد دارای حساسیت $90/6\%$, ویژگی $35/29\%$, ارزش اخباری مثبت $67/16\%$ و ارزش اخباری منفی $28/0\%$ بود.

نتیجه‌گیری: با اندازه‌گیری CRP و شمارش گلبول‌های سفید خون در کنار معاینه بالینی می‌توان از میزان آپاندیسیت با نتیجه منفی کاست.

کلید واژه‌ها: آپاندیسیت، لکوسیتوز، گلبول‌های سفید، CRP، جراحی، شکم حاد

نحوه استناد به این مقاله: پاکزاد ش، نهائی م، فرزانه س، محمودلو ر، پورجلی م ارزش تشخیصی پروتئین واکنشی C و شمارش گلبول‌های سفید خون در بیماران مشکوک به آپاندیسیت حاد. مجله پژوهشی دانشگاه علوم پزشکی و خدمات بهداشتی - درمانی تبریز. ۱۳۹۸؛ ۴۱(۴):۲۴-۱۷.

حق تأليف برای مؤلفان محفوظ است.

این مقاله با دسترسی آزاد توسط دانشگاه علوم پزشکی و خدمات بهداشتی - درمانی تبریز تحت مجوز کریپتو کامنز (Creative Commons License) آزاد است. این مقاله می‌تواند در صورتی مجاز است که به اثر اصلی به نحو مقتضی استناد و ارجاع داده شده باشد.

مقدمه

در معاینه شکم تندنس و گارдинگ خفیف در ربع تحتانی راست شکم مشهود است. در آزمایشات در اغلب موارد لکوسیتوز خفیف (۱۰۰۰۰ تا ۱۸۰۰۰) با ارجحیت سلول های پلی مورفونوکلئر در آپاندیسیت حاد غیر عارضه دار وجود دارد و شمارش بالاتر از ۱۸۰۰ شک به عوارض آپاندیسیت به خصوص پروفوراسیون و آبسه را مطرح می کند (۱). از سونوگرافی به عنوان اولین وسیله تشخیصی کمکی در بیمارانی که تشخیص آپاندیسیت در آنها مبهم و دو پهلو است استفاده می شود (۵). از سی تی اسکن نیز برای تشخیص آپاندیسیت حاد استفاده می شود (۹-۸).

برخی اقدامات پاراکلینیک می تواند در تشخیص آپاندیسیت کمک کننده باشد که از آن جمله می توان به افزایش تعداد گلبول های سفید خون (WBC) و سطح CRP اشاره کرد (۱۰). Eriksson و همکاران نشان داده اند که اندازه گیری آن در تشخیص مواردی که از نظر بالینی و معاینات با شک و تردید همراه است، می تواند از انجام آپاندکتومی منفی باشد (۱۱).

پروتئین CRP توسط کبد در پاسخ به ضایعه بافتی ساخته می شود. غلظت این عامل در ۸ ساعت پس از ضایعه بافتی افزایش می یابد و سپس در مدت ۲۴-۴۸ ساعت به حد اکثر می رسد و تا زمانی که عفونت یا ضایعه بافتی ادامه دارد، همچنان بالا باقی می ماند. پس از این که روند بیماری فروکش نمود، در طی مدت کوتاهی (۴-۷ ساعت) غلظت سرمی این عامل کاهش پیدا می کند (۱۵-۱۸). اندازه گیری سریع CRP در اغلب مراکز به راحتی صورت می گیرد. برخی مطالعات نشان داده اند که اندازه گیری CRP می تواند با دقت بالا وجود آپاندیسیت را اثبات نماید. از سوی دیگر در برخی مطالعات نیز نشان داده شده است که به کار گیری این فاکتور در کنار سایر فاکتورهای التهابی و یافته های بالینی قادر است دقت تشخیصی را تا حد بسیار بالایی افزایش دهد؛ با این حال هنوز توافق نظر کلی در این مورد موجود نمی باشد (۱۵).

اندازه گیری سریع CRP در اغلب مراکز به راحتی صورت می گیرد. برخی مطالعات نشان داده اند که اندازه گیری CRP می تواند با دقت بالا وجود آپاندیسیت را اثبات نماید. از سوی دیگر در برخی مطالعات نیز نشان داده شده است که به کار گیری این فاکتور در کنار سایر فاکتورهای التهابی و یافته های بالینی قادر است دقت تشخیصی را تا حد بسیار بالایی افزایش دهد؛ با این حال هنوز توافق نظر کلی در این مورد موجود نمی باشد (۱۵).

شمارش گلبول های سفید و CRP از مدت ها قبل به منظور کمک به تصمیم گیری در کنار عالیم بالینی در آپاندیسیت به کار گرفته شده اند. اما این آزمون ها نیز در بسیاری از شرایط التهابی دیگر که تقلید کننده آپاندیسیت حاد می باشند، نتایج غیر طبیعی دارند و اختصاصی نمی باشند (۱۹-۲۱). هر چند که مطالعات انجام شده در بالغین نشان داده است که نتایج نرمال این آزمون های تشخیصی

از زمانی که Reginald Fitz Heber واقعیت آپاندیسیت حاد را کشف نمود و به پراکنده گی موجود در بین نظریات مربوط به فیزیوپاتولوژی و درمان این بیماری پایان داد ۱۱۰ سال می گذرد (۱). ولی هنوز هم آپاندیسیت حاد یکی از مشکلات تشخیصی علم پزشکی محسوب می شود. با وجود این که آپاندیسیت حاد یکی از شایع ترین بیماری های جراحی می باشد، ولی گاه پیچیدگی ها و تفاوت های موجود در نحوه بروز آن باعث به اشتباه افتادن مجروب ترین پزشکان می شود. تشخیص آپاندیسیت حاد بر اساس یافته های حاصل از شرح حال و معاینه فیزیکی بیمار انجام می گیرد، اما وجود اشکال غیر طبیعی آپاندیسیت حاد خصوصاً در اطفال، زنان جوان، افراد مسن و کسانی که آنتی بیوتیک مصرف کرده اند، باعث می شود که هنوز هم در ۱۵-۳۰ درصد موارد جراحی های انجام شده آپاندیس های بدون التهاب خارج شوند. برآورده شده است که تنها در حدود ۵۵ درصد از موارد آپاندیسیت حاد، عالیم و نشانه های بیماری و نحوه بروز آنها طبق الگوی کلاسیک می باشد (۱-۳). علاوه بر این، بیماری های زیادی وجود دارند که عالیمی همانند آپاندیسیت حاد ایجاد می کنند و تمام این عوامل باعث شده اند که تشخیص آپاندیسیت حاد مشکل متقاضی باشد. به موازات پیشرفت های حاصل آمده در علم پزشکی و ابداع وسایل تشخیص مدرن، استفاده از آنها در تشخیص آپاندیسیت حاد هم مورد آزمایش قرار گرفته است ولی هنوز هیچ یک از این ابزارهای تشخیصی قادر به تشخیص و یا رد صد در صد این بیماری نمی باشد (۲).

این بیماری شایع ترین علت شکم حاد جراحی است بطوری که ۷٪ از مردم در طول زندگی خود به علت ابتلای به آپاندیسیت حاد به آپاندکتومی احتیاج پیدا می کنند (۴). بیشترین میزان بروز بیماری در اواخر دهه دوم و سوم زندگی است و شیوع در مردان اندکی نسبت به زنان بیشتر است (۵). تشخیص آپاندیسیت حاد با ترکیبی از شرح حال و معاینات فیزیکی و با کمک تست های آزمایشگاهی و مطالعات رادیولوژیکی صورت می گیرد (۶). در این بیماری بیماران علائم متفاوتی را از خود نشان می دهند. این نوع تظاهرات موجب می گردد که طیف تشخیص افتراقی گسترده شده و در نتیجه تاخیر یا اشتباه تشخیصی، میزان عوارض و حتی مرگ و میر افزایش یابد. درد شکم، تهوع، استفراغ و بی اشتہابی از جمله مهم ترین عالیم آپاندیسیت هستند (۴).

علائم آپاندیسیت حاد می تواند در بسیاری از بیماری های شکمی مانند گاستریت، لنفادنیت شکمی، عوارض کیست تخدان در زنان، سالپیتریت حاد، عفونت های روده ای و انگلی، سنگ کلیه و عفونت های ادراری مشاهده شود. که بسیاری از بیماری های فوق الذکر نیاز به جراحی ندارند و یا ناخواسته تحت عمل جراحی غیر ضروری قرار می گیرند (۷).

انکوباتور ۳۷ درجه قرار داده شد. سپس ۱۰ میکرولیتر از آن برداشته و بر روی رآژین CRP اضافه نمودیم و بلافالصله محلول محلول‌های ذکر شده داخل کووت دستگاه توربیدومتر ریخته شد و سپس در طول موج ۵۴۰ نانومتر با زمان تاخیر ۱۰ ثانیه جذب نوری اندازه‌گیری شد و در حال همین فرآیند بر روی یک نمونه استاندارد نیز جهت کنترل تکرار شد. سپس با استفاده از فرمول زیر مقدار CRP محاسبه شد.

Patient _CRP= delta OD_{test}/delta_{standard} *

Standard _Concentration کیت آزمایشگاهی مورد استفاده برای سنجش‌های فوق متعلق به شرکت Bio system Reagents & Instrument Barcelona-Spain اساس بروشور کیت شرکت Bio system ۰/۱۵ میلی‌گرم در لیتر بود. نمونه‌های بافت بیمارانی که به آپاندکتومی منجر شد، جهت بررسی هیستوپاتولوژی (استاندارد طلایب) به آزمایشگاه فرستاده شد و جواب آن در چک لیست ثبت شد. مقادیر عددی WBC، CRP و PMN بر اساس نتیجه نهایی به دست آمده بیماری، وجود یا عدم وجود آپاندیسیت، مورد آنالیز آماری قرار گرفت. همچنین آزمایشات در یک مرکز و توسط یک فرد انجام شد و نتیجه پاتولوژی نیز توسط یک متخصص تفسیر شد. در پایان داده‌های چک لیست وارد نرمافزار آماری شده و با استفاده از نرمافزار SPSS21 آنالیز شد.

یافته‌ها

در این مطالعه کاربردی توصیفی ۲۵۱ بیمار مبتلا به آپاندیسیت بررسی شدند. ۱۴۵ نفر (۵۷/۸٪) مذکر و ۱۰۶ نفر (۴۲/۲٪) مومن بودند. میانگین سنی بیماران ۲۶/۴۸±۱۰/۵۸ سال بود (حداکثر ۶۲ و حداقل ۶ سال و میانه سنی ۲۵ سال بود). در این مطالعه معیارهای آلواردو براساس عالیم، شیفت درد، بی‌اشتهاای، تهوع یا استفراغ، نشانه‌ها از جمله تندرس RLQ، ریبان‌تندرنس و تب و مقادیر آزمایشگاهی و ... در بیماران با آپاندیسیت حاد برابر ۴/۳۵±۰/۲۲ و در بیماران با آپاندیس طبیعی ۴/۰۹±۰/۲۷ بود طبق آزمون آماری T-test تفاوت معناداری بین میانگین معیارهای آلواردو در آپاندیس حاد و طبیعی وجود ندارد ($P=0/05$). نتیجه پاتولوژی آپاندیس در ۲۵۱ بیمار که تحت آپاندکتومی قرار گرفتند، بدین صورت بود: ۱۰۲ نفر (۴۰/۶٪) آپاندیس نرمال، ۹۱ مورد (۳۶/۳٪) آپاندیسیت حاد و در ۵۸ نفر (۲۳/۱٪) آپاندیسیت پرفوره بود. میانگین WBC در بیماران با آپاندیسیت حاد ۱۳۱۹۴/۴۶±۹۷۷/۴۳ میلی‌لیتر و در بیماران با آپاندیس نرمال، ۱۰۲۵۴/۳۵۹۷/۰۳ میلی‌لیتر و در بیماران با آپاندیسیت پرفوره ۱۲۶۷۰/۸۳۴±۴۲۱۰/۰۴ میلی‌لیتر بود. آزمون آماری ANOVA تفاوت معناداری را بین WBC در بیماران با آپاندیسیت حاد، نرمال و پرفوره نشان داد ($P=0/001$). آزمون آماری ANOVA در مقایسه

حتی در شرایطی که عالیم به نفع آپاندیسیت می‌باشد، می‌تواند این تشخیص را تا حد زیادی زیر سؤال ببرد و به میزان ۲۵٪ از آپاندکتومی‌های غیر ضروری بکاهد (۲۲). در چند مطالعه ارزش مارکرهای التهابی در آپاندیسیت حاد بزرگسالان بررسی شده و نتایج ناهمگونی در قدرت پیشگویی کنندگی این مارکرهای اثبات یا رد کردن بیماری به دست آمده است. در این مطالعات حساسیت لکوسیتوز در تشخیص آپاندیسیت حاد بین ۵۲ تا ۹۶ درصد، حساسیت شیفت به چپ آن (نوتروفیلی) بین ۳۹ تا ۹۶ درصد و حساسیت CRP بین ۶۰ تا ۸۶/۸ درصد تخمین زده شده است (۲۳-۲۵). در بررسی Groonroos و همکاران در مورد بالغین که در تایید نتایج مطالعات فوق بود، نشان داده شد که لکوسیتوز بهترین فاکتور التهابی منفرد برای بررسی موارد غیرعارضه دار و زور درس معروفی شد (۲۶). و همچنین یک مطالعه دیگر که در مورد تشخیص آپاندیسیت در کودکان بود، نیز فاکتورهای التهابی مثل لکوسیتوز و افزایش سطح CRP، نقش مهمی داشتند (۲۷).

در ایران نیز برخی مطالعات به بررسی نقش CRP و تعداد WBC‌ها در تشخیص آپاندیسیت حاد پرداخته‌اند، بطوری که در برخی از آنها به نقش قابل توجه این عوامل در تشخیص آپاندیسیت حاد تأکید شده است و در مقابل در عده‌ای دیگر نیز اشاره شده که اندازه‌گیری این موارد کمک چندانی در تشخیص آپاندیسیت نمی‌کند ولی بطور کلی تأکید شده است که بررسی این عوامل در کنار یافته‌های بالینی بیمار بالاترین ارزش تشخیصی را دارد و در تشخیص موارد مثبت دقت بالایی دارد (۲۸-۳۰).

با توجه به وجود اختلاف نظرهایی در باره تاثیر اندازه‌گیری WBC و CRP در تشخیص آپاندیسیت حاد، هدف مطالعه حاضر تلاش برای ارایه‌ی نظریه واحد نسبت به تاثیر اندازه‌گیری این عوامل در تشخیص موارد آپاندیسیت حاد می‌باشد.

روش‌کار

در طی زمان مطالعه، تمامی بیماران مراجعه کننده با درد شکم مشکوک به آپاندیسیت حاد توسط یک دستیار ارشد جراحی معاینه شدند. از بیمارانی که نتیجه معاینات بالینی و روش‌های تشخیصی دیگر (سونوگرافی، سی‌تی اسکن و غیره) جهت اثبات آپاندیسیت حاد در آن‌ها مبهم و غیرتعیین کننده بود و امتیاز آلواردو ۴-۶ داشتند، یک نمونه خون جهت چک CRP، WBC و PMN گرفته شده و بلافالصله به آزمایشگاه فرستاده و مقادیر عددی آن‌ها در چک لیست ثبت شد.

$WBC > 10000/\text{cu mm}$, $PMN > 70\%$ و $CRP > 10 \text{ mg/L}$ مثبت در نظر گرفته شدند. نحوه اندازه‌گیری CRP در بدو ورود ۲ میلی‌لیتر نمونه خون وریدی بیماران اخذ و سرم آن جدا گردید. یک میلی‌لیتر رآژین CRP (آنتی‌بادی منوکلونال CRP سوار شده روی ذرات لاتکس) داخل لوله آزمایش ریخته و سرم رآژین داخل

ویژگی ۵۹٪، ارزش اخباری مثبت ۶۴/۱۹٪ و ارزش اخباری منفی ۵۲/۲۷٪ می‌باشد. CRP جهت تشخیص آپاندیسیت حاد دارای حساسیت ۹۰/۶٪، ویژگی ۳۵/۲۹٪، ارزش اخباری مثبت ۶۷/۱۶٪ و ارزش اخباری منفی ۲۸٪ می‌باشد.

بحث

آپاندیسیت حاد هنوز یکی از شایع‌ترین علل جراحی‌های اورژانس است که مورتالیتی حدود ۳٪ دارد و در صورت پرفسوراسیون به حدود ۶٪ می‌رسد در موارد پرفسوراسیون چندین وضعیت تهدید کننده حیات مانند پریتونیت باکتریال، سپسیس، آبشه‌های شکمی ممکن است ایجاد شود که در صورت عدم درمان، مورتالیتی آن به ۸۰ درصد می‌رسد. برای کاهش مورتالیتی یک تشخیص به موقع و مداخله جراحی ضروری است. دقت تشخیص بالینی در آپاندیسیت حاد بین ۷۶ درصد تا ۹۲ درصد است (۱۰). میزان اشتباہ در تشخیص آپاندیسیت حاد در مردان ۹/۳ درصد و در زنان ۲۳/۲ درصد است (۱۱).

میانگین WBC نشان داد در بیماران با آپاندیسیت حاد و پرفوره میانگین WBC تفاوت معناداری ندارد. در صورتی که در بیماران با آپاندیسیت حاد و پرفوره میانگین WBC با بیماران که آپاندیس نرمال بود تفاوت معناداری دارد. میانگین CRP در بیماران با آپاندیسیت حاد $34/41 \text{ mg/dl} \pm 34/24$ و در بیماران با آپاندیس نرمال، $15/9 \text{ mg/dl} \pm 6/35$ و در بیماران با آپاندیسیت پرفوره $26/42 \text{ mg/dl} \pm 7/56$ بود. آزمون آماری Anova تفاوت معناداری را بین CRP در بیماران با آپاندیسیت حاد، نرمال و پرفوره نشان داد. آزمون آماری ANOVA در مقایسه میانگین CRP نشان داد در بیماران با آپاندیسیت حاد و پرفوره و نرمال با یکدیگر تفاوت معناداری دارد. در بیماران با آپاندیسیت پرفوره میانگین CRP بیشتر از آپاندیسیت حاد و نرمال می‌باشد ($P=0.001$). در حالت کلی ۱۴۹ مورد (۵۹٪) آپاندیسیت حاد یا پرفوره و ۱۰۲ مورد (۴۰٪) آپاندیس نرمال بود. ۸۸ نفر (۳۵٪) از بیماران تحت مطالعه WBC نرمال داشتند و ۱۶۳ نفر (۶۴٪) سطح WBC بیشتر از ۱۰۰۰۰ Cumm بود. ۵۰ بیمار نرمال و در ۲۰۱ مورد (۸۰٪) CRP بیشتر از 10 mg/L بود. جهت تشخیص آپاندیسیت حاد دارای حساسیت ۶۹/۱۲٪.

جدول (۳-۴): میانگین و انحراف معیار WBC

P.value	میانگین \pm انحراف معیار	متغیر
۰/۰۰۱	$1394/46 \pm 977/43$	آپاندیسیت حاد
	$1054/08 \pm 3597/03$	آپاندیس طبیعی
	$12670/73 \pm 4210/04$	آپاندیسیت پرفوره

جدول (۴-۴): میانگین و انحراف معیار CRP

P.value	میانگین \pm انحراف معیار	متغیر
۰/۰۰۱	$30/24 \pm 34/41$	آپاندیسیت حاد
	$15/9 \pm 6/35$	آپاندیس طبیعی
	$26/42 \pm 7/56$	آپاندیسیت پرفوره

جدول (۴-۵) : حساسیت و ویژگی WBC در مقایسه با نتایج پاتولوژی

جمع کل	آپاندیسیت حاد	WBC
منفی	مثبت	
(۱۰۰/۱) ۱۶۳	(۳۶/۸) ۶۰	(۶۳/۲) ۱۰۳
(۱۰۰/۱) ۸۸	(۴۷/۷) ۴۲	(۵۲/۳) ۴۶
(۱۰۰/۱) ۲۵۱	(۴۰/۹) ۱۰۲	(۵۹/۴) ۱۴۹
		مجموع کل

جدول (۴-۶): حساسیت و ویژگی CRP در مقایسه با نتایج پاتولوژی

جمع کل	آپاندیسیت حاد	CRP
منفی	مثبت	
(۱۰۰/۱) ۲۰۱	(۳۲/۸) ۶۶	(۶۷/۲) ۱۳۵
(۱۰۰/۱) ۵۰	(۳۲/۸) ۳۶	(۲۸/۰) ۱۴
(۱۰۰/۱) ۲۵۱	(۴۰/۹) ۱۰۲	(۵۹/۴) ۱۴۹
		مجموع کل

آپاندیسیت حاد کمک کننده باشد (۱۰). بر این اساس یافته‌های مطالعه ما نیز نشان داد میانگین WBC در بیماران با آپاندیسیت حاد ۱۳۱۹۴/۴۶ \pm ۹۷۷/۴۳ میلی لیتر و در بیماران با آپاندیس نرمال، ۱۰۲۵۴/۰۸۵ \pm ۳۵۹۷/۰۳ میلی لیتر و در بیماران با آپاندیسیت پرفوره ۱۲۶۷۰/۳۴ \pm ۴۲۱۰/۰۴ میلی لیتر می‌باشد. همانگونه که مشاهده می‌شود بیمارانی که آپاندیسیت حاد و پرفوره دارند میانگین گلبول‌های سفید در مقایسه با بیماران با آپاندیس طبیعی افزایش داشته است. بنابراین، شمارش گلبول‌های سفید خون در بیمارانی که معیارهای آلواردو ۴-۶ می‌باشد می‌تواند یک آزمون مفید جهت تشخیص آپاندیسیت حاد باشد. پروتئین CRP که توسط کبد در پاسخ به ضایعه بافتی ساخته می‌شود غلاظت این عامل در ۸ ساعت پس از ضایعه بافتی افزایش می‌یابد و سپس در مدت ۲۴-۴۸ ساعت به حد اکثر می‌رسد و تا زمانی که عفونت و یا ضایعه بافتی ادامه دارد، همچنان بالا باقی می‌ماند و پس از فروکش نمودن روند بیماری در طی مدت کوتاهی غلظت سرمی CRP کاهش می‌یابد. یافته‌های مطالعه ما در بیماران با آپاندیسیت حاد نشان داد میانگین سطح سرمی CRP در بیماران با آپاندیسیت حاد ۳۰/۲۴ \pm ۳۴/۴۱ mg/dl و در بیماران با آپاندیس نرمال، ۹/۱۵ \pm ۳/۶۵ mg/dl و در بیماران با آپاندیسیت پرفوره ۹/۶ \pm ۵/۴۲ \pm ۲/۲۶ mg/dl بود. سطح سرمی در بیماران با آپاندیسیت حاد و پرفوره به طور چشمگیری در مقایسه با بیماران با آپاندیس نرمال افزایش داشته است (P<۰/۰۵). بنابراین، با در نظر گرفتن نتایج پاتولوژی در تشخیص آپاندیسیت حاد و نرمال و با در نظر گرفتن سطح سرمی پروتئین CRP، که در مطالعه ما حساسیت ۰/۶٪ و ویژگی ۳۵/۳۹٪ و ارزش اخباری مثبت ۰/۹۷٪ را جهت تشخیص آپاندیسیت حاد، داشت، اندازه‌گیری سطح سرمی CRP برای کاهش آپاندیسیت حاد، مفید و قابل اعتماد می‌باشد. در مطالعه‌ای که Asfar و همکاران (۱۶) در کویت با هدف بررسی تاثیر CRP در کاهش موارد منفی آپاندیسیت حاد انجام دادند، ۷۸ بیمار وارد مطالعه شدند، میزان CRP در بیمارانی که آپاندیسیت حاد داشتند در مقایسه با بیماران که آپاندیسیت حاد نداشتند بالاتر بود. حساسیت و اختصاصیت CRP سرم به ترتیب ۰/۹۳/۶٪ و ۰/۸۶/۶٪ بود که با نتایج مطالعه ما همسو می‌باشد و تایید کننده میزان CRP جهت تعیین آپاندیسیت حاد و کاهش آپاندیسیت غیر ضروری می‌باشد. در مطالعه ما CRP با ارزش اخباری منفی ۰/۲۸٪ نشان دهنده این مطلب می‌باشد که با اندازه‌گیری CRP کمتر احتمال تشخیص آپاندیسیت حاد، به طور نرمال است. در مطالعه‌ای که توسط Sarmast Shoshtari و همکاران (۲۹) در سال ۲۰۰۶ در بیمارستان امام خمینی و گلستان دانشگاه جندی‌شاپور صورت گرفت، از ۹۸ بیمار فقط در ۹ مورد آپاندیسیت حاد (با توجه به میزان CRP نرمال) تشخیص داده شده بود که با نتایج مطالعه ما از نظر ارزش تشخیص CRP در آپاندیسیت حاد و کاهش آپاندیسیت غیر ضروری همسو می‌باشد. درصد خطای با اندازه‌گیری CRP کمتر

اهمیت مارکرهای التهابی در تشخیص آپاندیسیت حاد به طور دقیق روشن نشده است. این مطالعه با هدف تعیین ارزش مقادیر پروتئین واکنش C (CRP) به همراه گلبول‌های سفید خون انجام گرفت. آپاندیس شایع‌ترین علت شکم حاد جراحی است و ۰/۷٪ از مردم در طول زندگی خود به علت ابتلای به آپاندیسیت حاد به آپاندیسیت احتیاج پیدا می‌کنند (۴). بیشترین میزان بروز در اوآخر دهه دوم و سوم زندگی است و شیوع در مردان اندکی نسبت به زنان بیشتر است (۵). در مطالعه ما نیز ۱۴۵ نفر (۵۷/۸٪) از بیماران مذکور و ۱۰۶ نفر (۴۲/۲٪) مونث بودند. آپاندیس در مردان نسبت به زنان با بیشترین درصد مشاهده گردید و میانگین سنی بیماران مراجعه کننده با علاوه آپاندیس ۲۶/۴۸ \pm ۱۰/۵۸ سال بود.

در مطالعه Ayrik و همکاران (۲۶) نیز ۵۵٪ افراد مذکور دچار آپاندیسیت حاد بودند و میانگین سنی حدود ۴۰ سال بود که با نتایج مطالعه ما از نظر جنس بیماران و این که شیوع آپاندیسیت در دهه دوم و سوم زندگی می‌باشد، همخوانی دارد.

در مطالعه ما نتایج پاتولوژی در ۵۹/۴٪ مورد آپاندیسیت حاد تشخیص داده شده بود (۳۶/۳٪ حاد و ۲۳/۱٪ پرفوره). در مطالعه Kelly و همکاران (۴۱) نیز ۵۷/۳٪ از بیماران مبتلا به آپاندیسیت حاد مرد و میانگین سنی آنها ۲۳/۷ سال بود و در پاتولوژی ۴۶۱ مورد (۶۹/۶٪) شواهد آپاندیسیت رویت شد که با نتایج مطالعه ما از نظر جنس و میانگین سن و نتایج پاتولوژی بیماران تحت آپاندیسیت همسو می‌باشد. در این مطالعه از معیار آلواردو برای تشخیص آپاندیس طبیعی و غیرطبیعی استفاده شد. میانگین معیار آلواردو در بیماران با آپاندیسیت حاد برابر ۰/۲۲ و در بیماران با آپاندیس طبیعی ۰/۲۷ بود. با توجه به این که امتیاز آلواردو بالای ۷ نشان دهنده احتمال بالای آپاندیسیت حاد و نیاز به جراحی می‌باشد و در این مطالعه معیار آلواردو بیماران ۴-۶ بوده لذا ما در این مطالعه پروتئین واکنشی C (CRP) و شمارش گلبول‌های سفید خون در بیماران مشکوک به آپاندیسیت حاد را اندازه‌گیری نمودیم، تا بیمارانی را که نیاز به جراحی آپاندیسیت حاد را ارائه دارند تشخیص داده و آپاندیسیت منفی را تا حد امکان کاهش دهیم. در مطالعه Kelly و همکاران (۲۵) میزان CRP بالای ۵۵/۶ با آپاندیسیت حاد همراه بود که در نهایت نتیجه‌گیری نمودند CRP بالا و نسبت نوتروفیل به لنفوسيت بالا از موارد آپاندیسیت حاد می‌باشد که طول مدت بستره و عوارض بعد از عمل بیشتری را در پی خواهد داشت. این یافته‌ها با نتایج مطالعه ما از نظر افزایش سطح سرمی CRP در بیماران با آپاندیسیت حاد و پرفوره همسو می‌باشد و تفاوت مطالعه ما با مطالعه Kelly و همکاران در بررسی طول مدت بستره و عوارض بعد از جراحی در بیماران با آپاندیسیت حاد و پرفوره می‌باشد که نیاز به مطالعات بیشتر با در نظر گرفتن طول مدت بستره و عوارض بعد از عمل می‌باشد. اقدامات پاراکلینیک از آن جمله افزایش تعداد گلبول‌های سفید خون (WBC) و سطح CRP می‌تواند در تشخیص

آپاندکتوومی شوند بنابر این با اندازه‌گیری CRP و شمارش گلبول‌های سفید خون در کنار معاینه بالینی می‌توان از آپاندکتوومی منفی کاست.

قدرتانی

از کلیه‌ی بیماران محترم که در این مطالعه شرکت نمودند و از پرسنل پرتلایش آزمایشگاه‌های بیمارستان امام خمینی (ره) ارومیه که در انجام آزمایش‌های سروولوژیک و پاتولوژی همکاری نمودند صمیمانه تشکر و قدردانی می‌گردد. این مقاله مستخرج از پایان‌نامه‌ی تخصصی سیامک فرزانه بشماره پایان‌نامه‌ی ۳۰۶۰-۳۲-۰۹-۹۶ می‌باشد.

ملاحظات اخلاقی

تمام اطلاعات بیمار بی‌اسم وارد شد و از تمام بیماران رضایت‌نامه کتبی برای مشارکت در مطالعه اخذ شد. اجرای طرح فوق مشکل اخلاقی نداشت. با این وجود رضایت‌نامه کتبی از بیماران گرفته شد. نام و مشخصات بیماران محفوظ ماند. در طول اجرای طرح، کدهای ۲۶ گانه اخلاقی رعایت گردیدند. پروتکل این مطالعه در کمیته‌ی اخلاق در پژوهش دانشگاه علوم پزشکی ارومیه، استان آذربایجان غربی به شماره مرجع IR.umsu. rec.1396.۲۵۱ به تایید رسیده است.

منابع مالی

منابع مالی ندارد.

منافع متقابل

نویسنده‌گان این مقاله اظهار می‌دارند که منافع متقابلی از تالیف یا انتشار این مقاله وجود ندارد.

مشارکت مولفان

ش. پ، م. ن و همکاران طراحی، اجرا و تحلیل نتایج مطالعه را به عهده داشته، مقاله را تالیف نموده و نسخه‌ی نهایی آن را خوانده و تایید کرده‌اند.

می‌شود. Khan و همکاران (۲۸) در سال ۲۰۰۴ در مطالعه خود در ویشاو مقادیر نقطه برش CRP را با منحنی ROC بررسی نمودند که تیتر غلظت CRP از ۹/۵ میلی‌گرم از روز دوم به بیش از ۱۷ میلی‌گرم در روز سوم افزایش داشت، اگرچه ما در مطالعه خود میزان CRP بیماران را در زمان مراجعه بررسی نمودیم و میزان CRP در روزهای دوم و سوم اندازه‌گیری نشده است، توصیه می‌شود در بیمارانی که مشکوک به آپاندیسیت هستند سطح CRP به مدت سه روز اندازه‌گیری شود و در صورت افزایش سطح CRP آپاندکتوومی صورت گیرد. بنابراین مطالعه ما از این نظر که CRP به عنوان پارامتر مهم و مشخص جهت تشخیص آپاندیسیت حاد قابل اعتماد است با مطالعه Khan و همکاران که CRP را یک پارامتر مهم جهت تشخیص آپاندیسیت حاد معرفی نمودند، همسو می‌باشد. با ثبت شمارش گلبول‌های سفید در بیماران با تشخیص پاتولوژی آپاندیسیت حاد نتایج بررسی شده نشان داد، WBC با حساسیت ۶۹/۱۲٪ و ارزش اخباری منفی ۵۲/۲۷٪ قادر به تشخیص آپاندیسیت حاد و غیر حاد می‌باشد. این واحد پاراکلینیکی در مقایسه با CRP که در تشخیص آپاندیسیت حاد و غیر حاد دارای ارزش اخباری ۲۸٪ و حساسیت ۹۰/۶٪ می‌باشد، ارزش تشخیصی کمتری دارد و احتمال این که آپاندیسیت حاد به طور اشتباه نرمال تشخیص داده شود با استناد به شمارش گلبول‌های سفید بیشتر می‌باشد. Stefanutti و همکاران (۲۷) نیز ارزش WBC در تشخیص آپاندیسیت حاد در بچه‌ها را بسیار کم عنوان نمودند و با اینکه طرز فکر که به عنوان یک آزمایش کمک‌کننده به تشخیص آپاندیسیت حاد در بچه‌ها باید صرف نظر کرد، همسو می‌باشد. Buyukbese و همکاران (۳۰) در سال ۲۰۱۶ نشان دادند که سطح CRP با حساسیت ۹۸/۷٪ و اختصاصیت ۷۱/۳٪ در تشخیص آپاندیسیت حاد در کودکان کمک‌کننده بود و با توجه به حساسیت و اختصاصیت سطح CRP در مطالعه ما، می‌توان از این شاخص به عنوان یک مارکر مفید جهت تشخیص آپاندیسیت حاد در بزرگسالان و کودکان جهت کاهش آپاندکتوومی‌های غیر ضروری استفاده نمود.

نتیجه‌گیری

با توجه به این واقعیت که احتمال دارد بیماری‌های زیادی که عالی‌می همانند آپاندیسیت حاد ایجاد می‌کنند به طور اشتباه منجر به

References

- Rosemart A, Kozar J I, Rosly N. Appendix. In: Schwartz SI. Principles of Surgery. 7th ed. New York, McGraw-Hill, 1999; PP: 1383-1393.
- Ellis H, Nathanson L K. Appendix and appendectomy. In: Maingot R, Zinner MJ, Schwartz SI. Maingot's Abdominal Operations. 10th ed. Stanford, CT: Appleton & Lange, 1997; PP: 1191-227.
- Ferguson C M. Appendix. In: Morris PY, Wood WC. Oxford Textbook of Surgery. 2nd ed. Oxford University Press, 2000; PP: 1539-1543.
- Jaffe B, Berger D. The appendix. Brunicardi F, Anderson D, Biliar T. Schwartz's Principles of Surgery. 8th ed. New York, McGraw-Hill. PP: 1125-1131.

5. Lally K, Cox C, Andrassy R. Appendix. Beauchamp R, Evers B, Mattox K. *Sabiston textbook of surgery*. Philadelphia, Elsevier Saunders, 2004; PP: 1381-1388. doi : 10.1089/sur.2004.5.319
6. Ho HS. Appendectomy. Wilmore D W, Cheung L Y, Harken A H. *ACS Surgery principles & practice*. New York, American College of Surgeons/WebMD Pub, 2002; PP: 815-819.
7. Brunicard F C. *Schwartz's principles of surgery*. 8th ed. New York, McGraw-Hill, 2005; PP: 1120.
8. Ellis H, Nathanson L. Appendix and appendectomy. Zinner M, Schwartz S. *Maingot's Abdominal Operations*. USA, Prentice hall, 1997; PP: 1191-1196.
9. Olmi S, Magnone S, Bertolini A, Croce E. Laparoscopic versus open appendectomy in acute appendicitis: a randomized prospective study. *Surg Endosc* 2005; **19**: 1193-1195. doi : 10.1007/s00464-004-2165-8
10. Gurleik E, Gurleyik G, Unalmis̄er S. Accuracy of serum CRP measurement in diagnosis of acute appendicitis compared with surgeon clinical Impression. *Dis Colon Rectum* 1995; **38**(12): 1270-1274.
11. Eriksson D-Scand. The diagnostic value of repetitive preoperative analyses of CRP and WBC in patients with suspected acute appendicitis. *Gastroenteritis* 1994; **29**(12): 1145-1149.
12. Malani P N. Mandell, Douglas, and Bennetts Principles and Practice of Infectious Diseases. *JAMA: The Journal of the American Medical Association* 2010; **304**(18): 2067-2068. doi: 10.1001/jama.2010.1643
13. Falk G, Fahey T. C-reactive protein and community-acquired pneumonia in ambulatory care: systematic review of diagnostic accuracy studies. *Family Practice* 2009; **26**(1): 10-21. doi: 10.1093/fampra/cmn095
14. Puren A J, Feldman C, Savage N, Becker P J, Smith C. Patterns of cytokine expression in community-acquired pneumonia. *Chest Journal* 1995; **107**(5): 1342-1349. doi : 10.1378/chest.107.5.1342
15. Albu E, Miller B M, Choi Y. Diagnostic value of C-reactive protein in acute appendicitis. *Dis Colon Rectum* 1994; **37**(1): 49-51.
16. Asfar S, Safar H, Khoursheed M, Dashti H, al- Bader A. Would measurement of C-reactive protein reduce the rate of negative exploration for acute appendicitis? *JR Coll Surg Edinb* 2000; **45**(1): 21-24.
17. Shakhatreh H S. The accuracy of C-reactive protein in the diagnosis of acute appendicitis compared with that of clinical diagnosis. *Med Arh* 2000; **54**(2): 109-110.
18. Bhopal F G, Ahmed B SH, Ahmed M, Sarwar Khan J, Mehmood N, et al. Role of TLC and C-Reactive Protein in the diagnosis of Acute Appendicitis. *J Surg Pakistan* 2003; **8**(2): 7-14.
19. Grönroos J M. Do normal leucocyte count and C-reactive protein value exclude acute appendicitis in children? *Acta Paediatr* 2001; **90**(6): 649-651. doi : 10.1111/j.1651-2227.2001.tb02428.x
20. Paajanen H, Mansikka A, Laato M, Kettunen J, Kostiainen S. Are serum inflammatory markers ages dependent in acute appendicitis? *J Am Coll Surg* 1997; **184**(3): 303-308.
21. Dalal I, Somekh E, Bilker-Reich A, Boaz M, Gorenstein A, Serour F. Serum and peritoneal inflammatory mediators in children with suspected acute appendicitis. *Arch Surg* 2005; **140**(2): 169-173. doi: 10.1001/archsurg.140.2.169
22. Grönroos J M, Grönroos P. Leukocyte count and C-reactive protein in the diagnosis of acute appendicitis. *Br J Surg* 1999; **86**(4): 501-504. doi: 10.1046/j.1365-2168.1999.01063.x
23. Harswick C, Uyenishi A A, Kordick M F, Chan S B. Clinical guidelines, computed tomography scan, and negative appendectomies: a case series. *Am J Emerg Med* 2006; **24**(1): 68-72. doi: 10.1016/j.ajem.2005.07.015
24. Eldar S, Nash E, Sabo E. Delay of surgery in acute appendicitis. *Am J Surg* 1997; **173**(3): 194-198. doi: 10.1016/s0002-9610(96)00011-6
25. Kelly M E, Khan A, Riaz M, Bolger J C, Bennani F, Khan W, et al. The Utility of Neutrophil-to-Lymphocyte Ratio as a Severity Predictor of Acute Appendicitis, Length of Hospital Stay and Post-operative Complication Rates. *Dig Surg* 2015; **32**(6): 459-463. doi: 10.1159/000440818
26. Ayrik C, Karaaslan U, Dağ A, Bozkurt S, Toker I, Demir F. Predictive clue of leucocyte count, neutrophil percent and C-reactive protein concentration “cut-off value” on the diagnosis of appendicitis. *Ulus Travma Acil Cerrahi Derg* 2016; **22**(1): 76-83. doi: 10.5505/tjtes.2015.91112
27. Stefanutti G, Sabatti M, Gobbi D, Ghirardo V, Gamba P G. Values of white blood cell count in the diagnosis of acute appendicitis. *Pediatr Med Chir* 2002; **24**(5): 368-373.
28. Khan M N, Davie E, Irshad K. The role of white cell count and C-reactive protein in the diagnosis of acute appendicitis. *J Ayub Med Coll Abbottabad* 2004; **16**: 17-19.
29. Sarmast shoshtari M H, Askarpour SH, Alamshah M, Elahi A. Diagnostic value of Quantitative crp measurement in patient with acute Appendicitis. *Pak J Med Sci July-September 2006*; **22**: 300-303.
30. Buyukbese S S, Sarac F. Diagnostic Value of White Blood Cell and C-Reactive Protein in Pediatric Appendicitis. *BioMed Research International* 2016; **16**(2): 1-6. doi : 10.1155/2016/6508619

Comparing the effects of transcutaneous electrical nerve stimulation and pharmaceutical hyoscine – promethazine compound on duration of the first phase of labor

Masoumeh Payandeh¹, Fatemeh Nahidi^{2*} , Maliheh Nasiri³, Afsaneh Fouladi⁴

¹Department of Midwifery and Reproductive Health, Faculty of Nursing and Midwifery, Shahid Beheshti University of Medical Sciences, Tehran, Islamic Republic of Iran

²Midwifery and Reproductive Health Research Center, Department of Midwifery and Reproductive Health, Faculty of Nursing and Midwifery, Shahid Beheshti University of Medical Sciences, Tehran, Islamic Republic of Iran

³Department of Biostatistics, Faculty of Paramedical, Shahid Beheshti University of Medical Science, Tehran, Iran

⁴Department of Anesthesia, Kermanshah University of Medical Sciences, Kermanshah, Iran

*Corresponding author; E-mail: f.nahidi87@gmail.com nahidi@sbmu.ac.ir

Received: 23 October 2017 Accepted: 13 January 2018 First Published online: 7 September 2019

Med J Tabriz Uni Med Sciences Health Services. 2019 October- November; 41(4):25-30

Abstract

Background: Delivery is an experience with full of stress, with pain, fatigue and fear. The fear of labor pain causes their tendency to cesarean section. It is believed that labor pain is the most painful pain experienced by human beings. This pain occurs at different stages of delivery. Labor duration is a factor affecting pregnancy outcomes and contributing to damages inflicted on mothers and their fetus. Present study was performed with aim of comparing effects of transcutaneous electrical nerve stimulation (TENS) with those of pharmaceutical hyoscine – promethazine compound on duration of the first phase of labor in 2015.

Methods: This research was done by clinical ergometric method on 84 eligible pregnant women (42 in TENS group; 42 in hyoscine – promethazine group) referring to the Martyr Chamran Hospital of Kangavar division. At the onset of active phase, medication group were injected once with 20 mg of hyoscine and 25 mg of promethazine intramuscularly simultaneously. For non – medication group, TENS device was employed, with a pair of upper electrodes being placed between L1-T10 and a pair of lower ones being placed between S2-S4 on both sides of spinal column. Two groups were tested for duration of the first phase of labor.

Results: Variables of age, body mass index(BMI), pregnancy age, dilatation of the second phase of labor and infant weight were tested in both groups showing no significant differences in this regard ($p>0.05$). In the first phase of labor, no statistically significant difference was observed between 2 groups in terms of the means of contraction number means ($p=0.23$). But during of the first phase of labor exhibited some significant difference between 2 groups ($p=0.002$); in TENS group, mean duration of the first phase was shorter than hyoscine-promethazine group.

Conclusion: compared to pharmaceutical hyoscine-promethazine compound, TENS further shortened duration of the first phase of labor; therefore, it is recommended that TENS be used to shorten labor duration.

Keyword: TENS, Hyoscine, Promethazine, The First Phase of Labor

How to cite this article: Payandeh M, Nahidi F, Nasiri M, Fouladi A. [Comparing the effects of transcutaneous electrical nerve stimulation and pharmaceutical hyoscine – promethazine compound on duration of the first phase of labor]. Med J Tabriz Uni Med Sciences Health Services. 2019 October- November; 41(4):25-30 Persian.

مقاله پژوهشی

مقایسه تاثیر تحریک الکتریکی پوست با ترکیب دارویی هیوسین-پرومتازین بر طول مرحله اول زایمان

معصومه پاینده^۱، فاطمه ناهیدی^{۱*} , ملیحه نصیری^۲، افسانه فولادی^۳

^۱ گروه مامایی و بهداشت باروری، دانشکده پرستاری و مامایی، دانشگاه علوم پزشکی شهید بهشتی، تهران، ایران
^۲ مرکز تحقیقات مامایی و بهداشت باروری، گروه مامایی و بهداشت باروری، دانشکده پرستاری و مامایی، دانشگاه علوم پزشکی شهید بهشتی، تهران، ایران
^۳ گروه آمار زیستی، دانشکده پرایزشکی، دانشگاه علوم پزشکی شهید بهشتی تهران، تهران، ایران
^{*} گروه پژوهشی، دانشگاه علوم پزشکی کرمانشاه، کرمانشاه، ایران
^{*} نویسنده مسؤول؛ ایمیل: nahidi@sbmu.ac.ir f.nahidi87@gmail.com

دریافت: ۱۳۹۶/۸/۱ پذیرش: ۱۳۹۶/۱۰/۲۲ انتشار پرخط: ۱۳۹۸/۶/۱۶
 مجله پژوهشی دانشگاه علوم پزشکی و خدمات بهداشتی - درمانی تبریز، مهر و آبان ۱۳۹۸؛ (۴)۴۱: ۲۵-۳۰

چکیده

زمینه: زایمان یک تجربه پر از استرس و همراه با درد، خستگی و ترس می‌باشد. ترسیدن افراد از درد زایمان سبب تمایل آنها به سوارین می‌گردد. اعتقاد بر این است که درد زایمان در دندهای ترین دردی است که بشر تجربه می‌کند. این درد در طول مراحل مختلف زایمان از نقاط مختلفی منشأ می‌گیرد. همچنین طول مدت زایمان از عوامل مؤثر بر نتایج حاملگی و آسیب‌های واردہ بر مادر و جنین است. مطالعه حاضر باهدف مقایسه اثر TENS (تحریک الکتریکی عصب از راه پوست) با ترکیب دارویی هیوسین-پرومتازین بر طول مرحله اول زایمان در سال ۱۳۹۵ انجام گرفت.

روش کار: این پژوهش یک مطالعه کار آزمایی بالینی دو سوکور است که در دو گروه (تنس) و گروه (هیوسین-پرومتازین) قرار گرفتند انجام شد. در شروع فاز فعل در گروه دارو ۲۰ میلی‌گرم هیوسین و ۲۵ میلی‌گرم پرومتازین به صورت یک بار تزریق توأم عضلانی تجویز شد. در گروه تنس از دستگاه تنس با دو جفت الکترود استفاده شد: به ترتیب که الکtroدهای بالایین بین L1-T10 و الکtroدهای پایینین بین S2-S4 در دو طرف ستون مهره‌ها قرار گرفتند. طول مدت مرحله اول در دو گروه مورد مطالعه قرار گرفت. برای ارزیابی نتایج تحقیق از آزمون تی تست با استفاده از نرم افزار spss استفاده شد.

یافته‌ها: نتایج نشان داد که متغیرهای سن، شاخص توده بدنی، سن بارداری، دیلاتاسیون در زمان پذیرش، طول مرحله دوم زایمان و وزن نوزاد بین دو گروه مورد مداخله تفاوت معنی داری نداشتند ($P=0.05$). میانگین طول انقباضات در مرحله اول زایمان در دو گروه از نظر آماری تفاوت معنی دار نداشت ($P=0.86$). میانگین تعداد انقباضات در دو گروه از نظر آماری تفاوت معنی دار نداشت ($P=0.23$). طول مرحله اول زایمان در دو گروه تفاوت معنی داری داشت و گروهی که مورد تحریک الکتریکی پوست قرار گرفتند میانگین طول مرحله اول زایمان کمتری نسبت به گروهی که هیوسین-پرومتازین گرفتند، داشتند ($P=0.02$).

نتیجه‌گیری: یافته‌های این مطالعه نشان داد که تنس در مقایسه با ترکیب دارویی هیوسین-پرومتازین به میزان بیشتری موجب کاهش طول مرحله اول زایمان می‌شود. لذا استفاده از آن در جهت کوتاه شدن مدت لیر توصیه می‌شود.

کلید واژه‌ها: تنس، هیوسین، پرومتازین، مرحله اول زایمان

نحوه استناد به این مقاله: پاینده، ناهیدی، ف، نصیری، م، فولادی، ا. مقایسه تاثیر تحریک الکتریکی پوست با ترکیب دارویی هیوسین-پرومتازین بر طول مرحله اول زایمان. مجله پژوهشی دانشگاه علوم پزشکی و خدمات بهداشتی - درمانی تبریز، ۱۳۹۸؛ (۴)۴۱: ۲۵-۳۰.

حق تألیف برای مؤلفان محفوظ است.
 این مقاله با دسترسی آزاد توسط دانشگاه علوم پزشکی و خدمات بهداشتی - درمانی تبریز تحت مجوز کریپتو کامنز (http://creativecommons.org/licenses/by/4.0) منتشر شده که طبق مفاد آن هرگونه استفاده تنها در صورتی مجاز است که به اثر اصلی به نحو مقتضی استناد و ارجاع داده شده باشد.

مقدمه

تأثیر استفاده از تنفس را در کاهش درد زایمان در ۱۶۷۱ بررسی کرده بودند متوجه شدند استفاده از این روش که با کمک تحریک الکتریکی پوست صورت می‌گیرد علاوه بر کاهش درد زایمان، طول مدت زایمان را نیز کاهش می‌دهد و استفاده از این شیوه هیچ‌گونه خطری را برای مادر و نوزاد در پی ندارد (۱۱). هدف از انجام این پژوهش مقایسه اثر TENS با ترکیب دارویی هیوسین-پرومتأزین بر طول مدت مرحله فعال زایمان است.

روش کار

این پژوهش یک کار آزمایی بالینی است که به منظور مقایسه اثر TENS با ترکیب دارویی هیوسین-پرومتأزین بر طول مدت مرحله اول زایمان در بیمارستان شهید چمران شهرستان کنگاور در سال ۱۳۹۵ انجام شد. مطالعه حاضر با کسب مجوز از معاونت آموزشی دانشگاه علوم پزشکی شهید بهشتی و تأیید کمیته اخلاقی این دانشگاه با شماره Ir.sbm.phnm.1394.43 و کد ثبت کار آزمایی بالینی به شماره Irct201604144317n10 و اخذ رضایت نامه کتبی از بیماران انجام گردید. حجم نمونه طبق فرمول $\frac{2}{\sigma^2} \cdot \frac{(z_{\alpha/2} + z_{\beta})^2}{(z_{\alpha/2} + z_{\beta})^2}$ در هر گروه معادل ۴۲ نفر محاسبه گردید. افراد وارد شرایط با استفاده از جدول اعداد تصادفی اعداد فرد به گروه دارو و اعداد زوج به گروه تن وارد شدند. معیارهای ورود به مطالعه شامل موارد زیر بود: نژاد ایرانی، زایمان اول یا دوم، داشتن سن ۳۵-۱۸ سال، حاملگی ترم، تک قلو و نمایش سر جنین، شروع انقباضات خودبه‌خودی، معاینه دیلاتاسیون در بد و ورود سانتی متر، داشتن تحصیلات حداقل پنجم ابتدایی، عدم مصرف داروهای ضد درد ۳ ساعت قبل و حین مطالعه، گذشت کمتر از ۶ ساعت از پارگی پرده‌ها، نداشتن تجربه استفاده از تنفس، مبتلا نبودن به بیماری صرع، عدم اعتیاد به مواد مخدر، نداشتن ضایعات پوستی یا اسکار جراحی در محل نصب الکترودها. معیارهای خروج از مطالعه شامل موارد زیر بود: انجام سزارین اورژانسی قبل از تکمیل مطالعه، بروز عوارض زایمانی مانند خونریزی واژینال در طی انجام تحقیق، عدم تمایل بیمار به ادامه تحقیق، وجود زخم یا التهاب در محل نصب الکترودها. همچنین به شرکت کنندگان فرم رضایت‌نامه اخلاق داده شد که با رضایت وارد تحقیق شوند. در شروع فاز فعال زایمانی (دیلاتاسیون ۴ سانتی متر) در گروه دارو ۲۰ میلی‌گرم هیوسین (ساخت شرکت داروسازی تهران شیمی) و ۲۵ میلی‌گرم پرومتأزین (ساخت شرکت داروسازی تهران شیمی) به صورت یک بار تزریق توانم عضلانی تجویز شد. در گروه TENS از دستگاه تنفس مدل MAXTENS2000 با دو جفت الکترود استفاده شد به ترتیبی که الکترودهای بالایی بین مهره‌های L1-T10 و الکترودهای پایینی بین مهره‌های S2-S4 که به فاصله ۷

دیلاتاسیون سرویکس یکی از فاکتورهای مهم مشخص کننده طول مرحله اول لیبر است. تعییرات نامناسب دیلاتاسیون سرویکس یکی از دلایل طولانی شدن لیبر است (۱). به طور متوسط شیوع زایمان طولانی ۳-۸ درصد بوده و این درصد در میان نخست زایمان ۳ برابر شایع‌تر از چندزایمان است (۲). درد شدید زایمان و اضطراب در مرحله فعال زایمانی می‌تواند باعث افزایش سطح کاتکول آمین و کورتیزول شده و متعاقب آن، قدرت انقباضی رحم کاهش یافته و انقباضات ناهمانگ شود و در نهایت موجب طولانی شدن زایمان شود (۳). خونریزی و عفونت با لیبر طولانی ارتباط دارند و از عللی هستند که به موربیدیتی و مورتالیتی مادر و جنین متنه می‌شوند. اتخاذ یک روش بی خطر جهت تسريع لیبر، می‌تواند مورتالیتی و موربیدیتی مادر و جنین را کاهش دهد (۱). طول مدت زایمان از عوامل مؤثر بر نتایج حاملگی و آسیب‌های وارده بـ مادر و جنین است. به طوری که با طولانی شدن بیش از حد زایمان احتمال عفونت، صدمات جسمی- عصبی و مرگ در جنین و نوزاد افزایش یافته و مادر نیز در معرض خونریزی و عفونت بعد از زایمان و آشفتگی حاصل از اضطراب، بـ خواهی و خستگی قرار می‌گیرد (۴). بر طبق مطالعه Abasi زایمان طولانی میزان مرگ و میر حوالی تولد را به ۳/۵ درصد افزایش داده است و به تنهایی علت ۸ درصد مرگ و میر مادران در کشورهای در حال توسعه را تشکیل می‌دهد (۵). از طرفی، مدت طولانی زایمان و شدت درد آن، از دلایل اصلی ترس مادران از زایمان و رو آوردن آن‌ها به انجام عمل سزارین است (۶). سزارین در مقایسه با زایمان واژینال می‌تواند سبب افزایش خطر عفونت زخم، خونریزی، عفونت دستگاه ادراری و ترومبوآمبولی در مادر شود (۷). با توجه به اینکه طولانی شدن مراحل زایمان عوارضی را برای مادر، جنین و نوزاد به همراه دارد از مدت‌ها قبل دخالت فعلی امر زایمان جهت پیشگیری از زایمان دشوار و تسريع زایمان مطرح شده است (۸). پرومتأزین، خصوصیات فارماکولوژیکی چون اثرات آنتی‌کولینرژیک و دپرسیون سیستم عصبی مرکزی نیز دارد، لذا جهت افزایش توانایی زن در تحمل درد زایمان تجویز می‌شود. با توجه به تأثیری که این دارو بر قدرت انقباضی عضلات صاف رحم و همچنین کاهش اضطراب و ترس زائو دارد، به نظر می‌رسد که کاربرد آن بر طول مدت زایمان مؤثر باشد (۷). هیوسین آن بوتیل بروماید یک آناتاگونیست موسکارینی است که به عنوان از بین برنده اسپاسم عمل می‌کند. خشکی دهان، گرگرفتگی صورت، خشکی پوست، ترس از نور، بـ اختیاری اضطراری، احتباس ادرار و بـ یوست از عوارض آن می‌باشد (۹). در موارد اختلالات توقف یا طول کشیدن دیلاتاسیون، هیوسین به طور مؤثر سبب تسريع لیبر می‌شود (۱۰). تاریخچه استفاده از تنفس در کاهش درد زایمان به اوخر دهه ۱۹۷۰ بـ برمی‌گردد. محققین با تحلیل ۱۹ مطالعه که

به وسیله پژوهشگر اندازه‌گیری و ثبت شد. برای ارزیابی نتایج تحقیق از آزمون‌های تی تست با استفاده از spss ۱۶ استفاده شد.

یافته‌ها

دو گروه از نظر سن، شاخص توده بدنی، سن بارداری، دیلاتاسیون در زمان پذیرش، طول مرحله دوم زایمان و وزن نوزاد تفاوت نداشتند ($P > 0.05$). همچنین از نظر متغیرهای سطح تحصیلات، شغل، نوع بارداری، تعداد بارداری، تعداد زایمان، تعداد فرزند زنده، علت بستری و وضعیت کیسه آب در زمان پذیرش در هر دو گروه از زنان مشابه بوده و تفاوت معنی‌داری بین آن‌ها مشاهده نشد ($P > 0.05$) (جدول ۱ نشان‌دهنده خصوصیات فردی و مامایی نمونه‌هاست). دو گروه از نظر میانگین طول انقباضات ($P < 0.05$) و میانگین تعداد انقباضات ($P < 0.05$) تفاوت نداشتند اما از نظر طول مرحله اول زایمان بین دو گروه تفاوت معنی‌دار مشاهده شد و گروهی که مورد تحریک الکتریکی پوست قرار گرفته بود میانگین طول مرحله اول کمتری نسبت به گروهی که هیوسین-پرومتأرین گرفته بودند، داشت ($P = 0.002$) (جدول ۲). پژوهشگر این مطالعه، حین مطالعه تمامی واحدهای پژوهش را از نظر بروز احتمالی عوارض جانبی بررسی نمود و هیچ عارضه جدی در دو گروه مشاهده نشد.

سانتی‌متر در دو طرف ستون مهره‌ها قرار گرفتند. دستگاه با جریان مداوم، فرکانس ۱۰۰ هرتز در دقیقه و طول موج ۲۵۰ میکرومتری تنظیم و به طور متناوب ۲۰ دقیقه روشن و ۲۰ دقیقه خاموش شد و تا زمان اتمام مرحله دوم زایمان (دیلاتاسیون ۱۰ سانتی‌متر تا خروج جنین) ادامه داشت (۱۵). تمام افراد دو گروه توسط خود پژوهشگر تحت معاينه واژینال قرار گرفتند. کلیه زنان باردار در صورت عدم پارگی خود به خود پرده‌ها، تحت عمل پارگی مصنوعی پرده‌های جنینی در دیلاتاسیون ۴ سانتی‌متر قرار گرفتند و از این نظر باهم یکسان شدند و نیز مدد جویان در هر حالتی که در طول لیبر راحت بودند، قرار گرفتند و از دادن سنتوسینون جهت تسريع زایمان خودداری شد. طول مدت مرحله اول (از لحظه پذیرش تا دیلاتاسیون ۰ سانتی‌متر) و مرحله دوم (از دیلاتاسیون ۰ سانتی‌متر تا خروج جنین) با استفاده از ساعت ثانیه شمار در هر دو گروه ثبت شد. با شروع مرحله دوم زایمان، مادر جهت انجام زایمان به اتاق زایمان منتقل شد و طول مدت این مرحله توسط پژوهشگر اندازه‌گیری و ثبت شد. در صورت بروز عوارض احتمالی ادامه مداخله قطع شد و تمام عوارض ایجاد شده در یک چک لیست ثبت شدند و در صورت بروز هریک از معیارهای خروج، نمونه از مطالعه خارج شد و نمونه دیگرین شد و در نهایت در هر گروه مورد مطالعه ۴۲ نفر حضور داشتند. نمونه‌ها تا هنگام زایمان پیگیری شدند و علاوه‌ی میانی مادر، کترول ضربان قلب جنین، معاينة واژینال و کترول انقباضات برای افراد هر دو گروه

جدول ۱: توزیع مشخصات فردی و مامایی در زنان مورد مطالعه به تفکیک گروه‌ها

متغیر	طول مرحله دوم (دقیقه)	طول مرحله اول (دقیقه)	میانگین	تحریک الکتریکی پوست	هیوسین و پرومتأرین	نتیجه آزمون
سن (سال)	۵-۴	۵-۴	۲۴/۰۵±۴/۲			
سن بارداری (حفته)	۷-۶	۷-۶	۳۹/۰±۰/۸			
دیلاتاسیون بدء پذیرش	۹-۸	۹-۸	۴/۲۱±۰/۵			
وزن نوزاد (کیلوگرم)	۱۰-۰	۱۰-۰	۳/۲±۰/۵			
طول مرحله دوم (دقیقه)	۱۰-۰	۱۰-۰	۲۶/۰±۱/۹۶			
طول مدت انقباضات (ثانیه) در دیلاتاسیون ۵-۴	۴۰-۰	۴۰-۰	۴۰/۰۳۵±۵/۵۶			
طول مدت انقباضات (ثانیه) در دیلاتاسیون ۷-۶	۴۱-۰	۴۱-۰	۴۱/۰۶۶±۴/۸۹			
طول مدت انقباضات (ثانیه) در دیلاتاسیون ۹-۸	۴۳-۰	۴۳-۰	۴۳/۰۲۱±۰/۰۳			
طول مدت انقباضات (ثانیه) در دیلاتاسیون ۱۰-۰	۴۳-۰	۴۳-۰	۴۳/۰۳۳±۵/۷۰			
تعداد انقباضات رحمی (در ۱۰ دقیقه) در دیلاتاسیون ۵-۴	۵-۶	۵-۶	۳/۰۸±۰/۷۰			
تعداد انقباضات رحمی (در ۱۰ دقیقه) در دیلاتاسیون ۷-۶	۷-۸	۷-۸	۴/۰۰±۰/۴۹			
تعداد انقباضات رحمی (در ۱۰ دقیقه) در دیلاتاسیون ۹-۸	۹-۸	۹-۸	۴/۰۲۶±۰/۰۵۸			
تعداد انقباضات رحمی (در ۱۰ دقیقه) در دیلاتاسیون ۱۰-۰	۱۰-۰	۱۰-۰	۴/۰۵۴±۰/۰۸۸			
تعداد انقباضات رحمی (در ۱۰ دقیقه) در دیلاتاسیون ۵-۴	۵-۶	۵-۶	۳/۰۸±۰/۷۰			
تعداد انقباضات رحمی (در ۱۰ دقیقه) در دیلاتاسیون ۷-۶	۷-۸	۷-۸	۴/۰۰±۰/۴۹			
تعداد انقباضات رحمی (در ۱۰ دقیقه) در دیلاتاسیون ۹-۸	۹-۸	۹-۸	۴/۰۲۶±۰/۰۵۸			
تعداد انقباضات رحمی (در ۱۰ دقیقه) در دیلاتاسیون ۱۰-۰	۱۰-۰	۱۰-۰	۴/۰۵۴±۰/۰۸۸			
تعداد انقباضات رحمی (در ۱۰ دقیقه) در دیلاتاسیون ۵-۶	۵-۶	۵-۶	۳/۰۸±۰/۷۰			
تعداد انقباضات رحمی (در ۱۰ دقیقه) در دیلاتاسیون ۷-۸	۷-۸	۷-۸	۴/۰۰±۰/۴۹			
تعداد انقباضات رحمی (در ۱۰ دقیقه) در دیلاتاسیون ۹-۸	۹-۸	۹-۸	۴/۰۲۶±۰/۰۵۸			
تعداد انقباضات رحمی (در ۱۰ دقیقه) در دیلاتاسیون ۱۰-۰	۱۰-۰	۱۰-۰	۴/۰۵۴±۰/۰۸۸			

جدول ۲: توزیع میانگین طول مرحله اول زایمان به تفکیک گروه‌ها

تیجنه آزمون	طول مرحله اول (ساعت)	گروه	متغیر	میانگین	انحراف معیار	میانگین	انحراف معیار	هیوسین و پرومتأرین
۱/۰	۳/۰۴			۴/۲۰	۰/۰۵	۴/۲۰	۰/۰۵	۰/۰۰۰
$t = -3/180$								
	$P = 0.002$							

بحث

این مطالعه وجود ندارد. به طور قطع نمی‌توانیم راجع به بی‌تأثیری تحریک الکتریکی پوست و ترکیب دارویی هیوسین-پرومتأزین اظهارنظر نماییم. آنچه مسلم است این است که با افزایش میزان دیلاتاسیون تعداد و طول انقباضات در هر دو گروه افزایش معنی دار داشته است ($P < 0.05$), اما هیچ‌یک از گروه‌ها در این افزایش نسبت به دیگری برتری نداشته است ($P > 0.05$). با توجه به نتایج مطالعه حاضر، تحریک الکتریکی پوست به عنوان یک روش مؤثر طول مدت مرحله اول زایمان را کاهش می‌دهد. امید است که یافته‌های پژوهش حاضر، بتواند در جهت رشد و ارتقاء کیفیت مراقبت‌های مامایی به کار آید. ضمناً از آنجاکه این روش درمانی از اجزاء ارتقاء این مراقبت‌ها محسوب می‌گردد، لزوم توجه به آموزش این تکنیک ساده و راحت به دانشجویان مامایی و ماماهای فارغ‌التحصیل بدیهی به نظر می‌رسد.

نتیجه‌گیری

نتیجه این مطالعه نشان داد که تحریک الکتریکی پوست موجب کاهش طول مرحله اول زایمان می‌شود. لذا استفاده از آن در جهت کوتاه شدن مدت لیر توصیه می‌شود.

قدرتانی

از کلیه همکارانی که ما را در این پژوهش یاری نمودند، همچنین از مسئولین محترم دانشگاه علوم پزشکی شهید بهشتی و بیمارستان شهید چمران کنگاور و نمونه‌های شرکت کننده در پژوهش تشکر و قدردانی می‌شود.

ملاحظات اخلاقی

پروتکل این مطالعه در کمیته پزشکی دانشگاه علوم پزشکی شهید بهشتی استان تهران به شماره مرجع Ir.sbmuh.phnm.1394.43 به تایید رسیده است.

منابع مالی

منابع مالی ندارد.

منافع متقابل

مولف اظهار می‌دارد که منافع متقابلی از تالیف یا انتشار این مقاله ندارد.

مشارکت مؤلفان

م پ و ف ن و همکاران طراحی، اجرا و تحلیل نتایج مطالعه را بر عهده داشت. همچنین مقاله را تالیف نموده و نسخه نهایی آن را خوانده و تایید کرده‌اند.

در مطالعه حاضر تنها متغیری که بین دو گروه تفاوت معنی دار داشت طول مرحله اول زایمان بود و گروهی که مورد مداخله تحریک الکتریکی پوست قرار گرفته بودند به طور میانگین مرحله اول زایمان در آن‌ها کمتر از گروهی بود که ترکیب دارویی هیوسین-پرومتأزین گرفته بودند ($P = 0.038$). این یافته مطابق بافتی مطالعه Bedwell و همکاران می‌باشد؛ این محققان در مطالعه خود به این نتیجه رسیدند که استفاده از تحریک الکتریکی پوست باعث کاهش طول مرحله اول زایمان می‌شود (۱۲). اثر داروی پرومتأزین بر کاهش طول مدت زایمان توسط برخی محققین مورد بررسی قرار گرفته است. Saatsaz و همکاران در مطالعه‌ای که در سال ۲۰۰۷ انجام دادند نشان دادند پرومتأزین باعث کاهش طول مدت زایمان می‌شود (۸). از طرف دیگر برخی محققین بر این باورند که تزریق هیوسین و پرومتأزین موجب طولانی شدن مرحله اول زایمان می‌شود. علت کاهش سرعت زایمان به دنبال تجویز این دو دارو را می‌توان به اثر اسپاسمولیتیک این داروها نسبت داد. آنتاگونیست‌های موسکارینی اثرات تحریکات خودمختار پاراسپیناتیک را بلوك می‌کنند و از رو این داروها موجب کاهش فرکانس انقباضات رحمی شده و با این مکانیسم مدت زایمان را افزایش می‌دهند (۸,۱۳). بنابراین با توجه به مطالعات پیشین هر دو نوع مداخله در مطالعه حاضر ممکن است منجر به کاهش طول زایمان شده باشند، اما این کاهش در گروه تحت مداخله با تحریک الکتریکی پوست بیشتر بوده است. از طرف دیگر ممکن است ترکیب دارویی هیوسین-پرومتأزین حتی منجر به افزایش طول مدت زایمان شده باشد. مطالعه حاضر از نظر تعداد انقباضات رحمی در طول مرحله فعال زایمان نیز تفاوتی بین دو گروه نشان نداده است. مطالعه پازنده نیز افزایش اندکی در تعداد انقباضات رحمی در اثر تحریک الکتریکی پوست نشان داد اما این افزایش چشمگیر نبوده و باعث خارج شدن الگوی انقباضات از حالت طبیعی آن نگردیده است (۱۴). ریبعی و همکاران در مطالعه‌ای که در همدان انجام دادند بیان کردند که اگرچه از نظر تئوری داروهایی مانند پرومتأزین با یکدست کردن انقباضات رحم می‌تواند زایمان را تسريع بخشد و این دارو فعالیت رحم را نه تنها کاهش نمی‌دهد بلکه مختصراً افزایش می‌دهد؛ اما نتایج مطالعه این محققین حاکی از عدم تأثیر این دارو در سیر زایمان، تعداد و شدت انقباضات رحمی است. این محققین اعلام داشتند تجویز داروهایی مثل پرومتأزین جهت بیبود سیر زایمان طبیعی در یک برآورد کلان به عنوان هدر دادن منابع تلقی می‌گردد (۱۳). در مطالعه حاضر اگرچه تفاوتی بین دو گروه از نظر تعداد و طول انقباضات رحمی در دیلاتاسیون‌های مختلف مشاهده نشده است اما این عدم تفاوت می‌تواند ناشی از همسو بودن اثر هر دو مداخله در این زمینه‌ها باشد، به دلیل اینکه گروه بدون مداخله در

References

1. Cunningham F G, Gant N F, Leveno K J. *Williams's obstetrics*. 21st ed. New York, McGraw-Hill, Medical Pub. 2011; Section 4. PP: 266,363.
2. Hamidzadeh A, Shahpourian F, Jamshidi – Orak R, Pourheydari M. Effect of LI4 acupressure on length of delivery time, some of physiologic responses and newborn's apgar scores. *Knowledje & Health Journal* 2010; **5**: 16-21. [Persian]
3. Bonica JJ. The pain of child birth. 2nd ed. Edinburgh, Appleton and Lang, 2013.
4. Roberts L, Gulliver B, Fisher J, Cloyes R G. The coping with labor algorithm: anal ternate pain assessment tool for the laboring woman. *J Midwifery & Women Health* 2010; **2**: 107-117. doi: 10.1016/j.jmwh.2009.11.002
5. Abasi Z, Abedian Z, Fadaaii A. The effect of massage on the duration of first stage labor. *Arak University Journal (Rahavard Danesh)* 2008; **11**: 63-71. [Persian]
6. Stager L. Supporting woman during labor and birth. *Midwifery Today Int Midwife* 2009-2010; **92**: 12-15.
7. Saatsaz S, Haji Ahmadi M, Basirat Z, Nazari R, Beheshti Z. Comparison effect medicine atropine-prometazin and petedine on aactive phase delivery. *Journal of Babol University of Medical Sciences* 2007; **3**: 39-42. [Persian]
8. Shahali SH, Kashanian M. Effect of acupressure at the sanyinjiao point (sp6) on the process of active phase of labor pain in nullipara's women. *Journal of Babol University of Medical Sciences* 2010; **2**: 7-11. doi: 10.3109/14767050903277662
9. Gupta B, Nellore V, Mittal S. Drotaverine hydrochloride versus hyoscine-N-butylbromide in augmentation of labor. *Int J Gynaecol Obstet* 2008; **100**(3): 244-247. doi: 10.1016/j.ijgo.2007.08.020
10. Al Qahtani N. The effect of hyoscine butyl bromide in shortening the first stage of labor: A double blind, randomized, controlled clinical trial. *Therapeutics and Clinical Risk Management* 2011; **7**: 495-500. doi: 10.2147/tcrm.s16415
11. Bedwell C, Dowswell T, Neilson J P, Lavender T. The use of transcutaneous electrical nerve stimulation (TENS) for pain relief in labor: A review of the evidence. *Midwifery* 2010; **1**: 65-69. doi: 10.1016/j.midw.2009.12.004
12. Lobo A M, Andj L. Hawkins, Obstetric Analgesia and Anesthesia. *Anesthesia Secrets* 2010; **419**. doi: 10.1016/B978-0-323-06524-5.00061-1
13. Rabiei S, Shabani M. A Comparative study of the effect of atropine and promethazine on the labor process 2001.
14. Pazandeh F. Comparison of the effect of inhalation of oxygen and nitrogen oxide mixed with electrical stimulation of nerves by skin on the intensity of active phase of labor pain in women referring to Tehran maternity hospital in 2001.
15. Aleccander G, Chappel L, Bewley S. *Midwifery practice in intrapartum care; A research base approach*. 1st ed. New York, Macmillan, 1990; PP: 80-88.

Original Article

Effect of long term use of arch support foot orthoses on walking ground reaction force asymmetry index in children with flexible flat feet: A cohort study

AmirAli Jafarnezhadgero^{1*}, Seyed Majid Alavi Mehr¹, Mahdi Majlesi²

¹Department of Physical Education and Sport Sciences, Faculty of Educational Science and Psychology, University of Mohaghegh Ardabili, Ardabil, Iran

²Department of Sport Biomechanics, Faculty of Humanities, Islamic Azad University, Hamedan Branch, Hamedan, Iran

*Corresponding author; E-mail: amirali.jafarnezhad@gmail.com

Received: 15 October 2017 Accepted: 19 December 2017 First Published online: 7 September 2019

Med J Tabriz Uni Med Sciences Health Services. 2019 October- November; 41(4):31-39

Abstract

Background: Foot orthoses are often used to correct altered gait patterns. However, effect of long term use of arch support foot orthoses on walking mechanics is not well understood. The aim of this study was to evaluate the effects of long term use of arch support foot orthoses on the asymmetry indices of ground reaction forces during stance phase of walking in male children with flexible flat feet.

Methods: Fifteen male volunteered children (with their parents' permission) with flexible flat feet were evaluated. Walking ground reaction forces and kinematic data before and after four months use of foot orthoses were recorded by force plate and Vicon motion system, respectively. Then, the asymmetry indices of ground reaction force components were calculated.

Results: The results show that asymmetry index of the medio-lateral component of ground reaction force in loading response and push off phases during pre-test were higher than 4% (normal value). Also asymmetry index of its time to peak during the mid-stance phase in the pre-test were higher than normal value. Moreover, findings did not show any significant differences in asymmetry indices of other ground reaction force components and their time to peak, impulses and vertical loading rate between pre-test and post-test conditions.

Conclusion: Despite the high asymmetry values of the peak medio-lateral component and it's time to peak in children with flexible flat feet during pre-test; long-term use of the foot orthoses did not show any significant effect on the improvement of the asymmetry index of these components. However, long-term wearing of the foot orthoses reduced asymmetry index of the peak positive free moment amplitude.

Keyword: Foot Orthoses, Arch Support, Asymmetry Index, Flat Feet

How to cite this article: Jafarnezhadgero A, Alavi Mehr S M, Majlesi M. [Effect of long term use of arch support foot orthoses on walking ground reaction force asymmetry index in children with flexible flat feet: A cohort study]. Med J Tabriz Uni Med Sciences Health Services. 2019 October- November; 41(4):31-39. Persian.

مقاله پژوهشی

اثر استفاده طولانی مدت از کفی arch support بر روی شاخص‌های عدم تقارن نیروهای عکس‌العمل زمین طی راه رفتن در کودکان با کف پای صاف منعطف: یک مطالعه کوهورت

امیرعلی جعفرنژادگرو^{*}, سید مجید علوی مهر^۱, مهدی مجلسی^۲

^۱ گروه تربیت بدنی و علوم ورزشی، دانشگاه علوم تربیتی و روانشناسی، دانشگاه حقوق اردبیلی، اردبیل، ایران
^۲ گروه تربیت بدنی و علوم ورزشی، دانشگاه ادبیات و علوم انسانی، دانشگاه آزاد اسلامی، واحد همدان، همدان، ایران
* نویسنده مسئول؛ ایمیل: amirali.jafarnezhad@gmail.com

دریافت: ۱۳۹۶/۷/۲۲ پذیرش: ۱۳۹۶/۹/۲۸ انتشار برخط: ۱۳۹۸/۶/۱۶
مجله پژوهشی دانشگاه علوم پزشکی و خدمات بهداشتی - درمانی تبریز. مهر و آبان ۱۳۹۸؛ ۴۱(۴):۳۹-۴۱

چکیده

زمینه: اورتوزهای پا اغلب برای اصلاح تغییرات الگوی راه رفتن مورد استفاده قرار می‌گیرند. با وجود این، اثرات استفاده طولانی مدت از کفی حمایت‌کننده قوس طولی داخلی بر روی مکانیک راه رفتن به خوبی مشخص نشده است. هدف این مطالعه بررسی اثر استفاده طولانی مدت از کفی حمایت‌کننده قوس طولی داخلی بر روی شاخص‌های عدم تقارن نیروهای عکس‌العمل زمین طی فاز استقرار راه رفتن در کودکان دارای کف پای صاف منعطف می‌باشد.

روش کار: ۱۵ کودک پسر دارای کف پای صاف منعطف داوطلب شدند که در این پژوهش شرکت نمایند. مقادیر نیروی عکس‌العمل زمین و گینماتیک حرکت قبل و بعد از ۴ ماه استفاده از ارتز پا به ترتیب توسط دستگاه صفحه‌نیرو و سیستم وایکان طی فاز استقرار راه رفتن ثبت شد. سپس مقادیر شاخص عدم تقارن مؤلفه‌های نیروی عکس‌العمل زمین محاسبه شد. جهت تحلیل آماری از آزمون تی زوجی استفاده شد.

یافته‌ها: نتایج نشان داد که شاخص عدم تقارن مؤلفه داخلی-خارجی نیروی عکس‌العمل زمین طی پیش‌آزمون در دو فاز پاسخ بارگیری و هل دادن و همچنین شاخص عدم تقارن زمان رسیدن به اوج آن طی فاز میانه استقرار در پیش‌آزمون بیشتر از ۴ درصد (حد نرمال) می‌باشد. یافته‌ها هیچ‌گونه اختلاف معناداری در شاخص عدم تقارن نیروهای عکس‌العمل زمین ($P > 0.05$), زمان رسیدن به اوج ($P > 0.05$), ایمپالس ($P > 0.05$) و نرخ بارگذاری ($P = 0.781$) بین دو شرایط پیش‌آزمون و پس‌آزمون نشان نداد. شاخص عدم تقارن اوج مثبت گشتاور آزاد کاهش معناداری را طی پس‌آزمون در مقایسه با پیش‌آزمون نشان داد ($P = 0.001$). ($P = 0.001$).

نتیجه‌گیری: علی‌رغم بالا بودن شاخص عدم تقارن اوج مؤلفه داخلی-خارجی نیروی عکس‌العمل زمین، زمان رسیدن به این اوج در کودکان دارای کف پای صاف طی پیش‌آزمون، استفاده طولانی مدت از کفی اثری معنی‌داری را بر بهبود شاخص عدم تقارن مؤلفه‌های نیروی عکس‌العمل زمین نشان نداد. با وجود این، استفاده طولانی مدت از کفی شاخص عدم تقارن اوج مثبت گشتاور آزاد را کاهش داد.

کلید واژه‌ها: ارتز پا، شاخص عدم تقارن، کف پای صاف.

نحوه استناد به این مقاله: جعفرنژادگرو اع، علوی مهر س، مجلسی م. بررسی اثر استفاده طولانی مدت از کفی arch support بر روی شاخص‌های عدم تقارن نیروهای عکس‌العمل زمین طی راه رفتن در کودکان با کف پای صاف منعطف: یک مطالعه کوهورت. مجله پژوهشی دانشگاه علوم پزشکی و خدمات بهداشتی - درمانی تبریز. ۱۳۹۸؛ ۴۱(۴):۳۹-۴۱

حق تأثیف برای مؤلفان محفوظ است.

این مقاله با دسترسی آزاد توسط دانشگاه علوم پزشکی و خدمات بهداشتی - درمانی تبریز تحت مجوز کریپتو کامتر (CC BY 4.0) منتشر شده که طبق مفاد آن هرگونه استفاده تنها در صورتی مجاز است که به اثر اصلی به نحو مقتضی استناد و ارجاع داده شده باشد.

مقدمه

رفتن برای محاسبه‌ی نیروهای عکس‌العمل زمین در حال افزایش است و از اهمیت ویژه‌ای برای شناسایی آسیب‌های مختلف برخوردار می‌باشد. بر اساس مطالعات بیومکانیکی، ارزیابی تقارن در طی راه رفتن از اهمیت بالایی برخوردار می‌باشد (۱۰، ۱۱). به عنوان مثال، Herzog و همکاران (۱۹۸۹) متغیرهای حاصل از دستگاه صفحه نیرو را جهت کمی نمودن شاخص عدم تقارن طی راه رفتن در افراد سالم استفاده نمودند (۱۱). این پژوهشگران نتیجه گرفتند که شاخص عدم تقارن مؤلفه‌های نیروی عکس‌العمل زمین در راه رفتن افراد سالم در دامنه‌ای بین صفر تا چهار درصد قرار دارد (۱۱). همین مطالعه نشان داد که متغیرهای نیروی داخلی-خارجی و قدامی-خلفی عکس‌العمل زمین با سطوح عدم تقارن طبیعی یا عدم تقارن پارامترهای بیومکانیکی راه رفتن نشده است (۱۲). این عکس‌العمل زمین و الکترومایوگرافی انجام نشده است (۱۲). این پژوهشگران گزارش دادند که عدم تقارن راه رفتن، اغلب با جمع‌آوری داده‌های ساده همچون متغیرهای فضایی-زمانی انجام شده و مطالعاتی که شامل تجزیه و تحلیل کمی بیومکانیک اندام تحتانی را شامل شوند، محدود می‌باشند. Arsenault و همکاران عدم تقارن فعالیت الکترومایوگرافی عضلات نعلی و راسترانی را طی حرکات انتقالی گزارش نمودند (۱۳). مطالعه دیگری فعالیت الکترومایوگرافی بین هفت جفت از عضلات اندام تحتانی سمت غالب و غیر غالب را طی یک سیکل راه رفتن در افراد سالم مقایسه کردند (۱۴). نتایج این مطالعه نشان داد که بیشترین عدم تقارن در دامنه فعالیت الکترومایوگرافی عضلات پلantar فلکسور مچ پا وجود دارد (۱۴). تقارن مفاصل در راه رفتن یک موضوع بحث برانگیز است. با این وجود، برخی مطالعات نشان دادند که عدم تقارن راه رفتن بستگی به شرایط پاتولوژی دارد. به عنوان مثال، مطالعات نشان دادند بیمارانی که دارای شرایطی مثل اختلاف طول پا (۱۵) و بیماری پارکینسون (۱۶) هستند به طور قابل توجهی عدم تقارن طی راه رفتن را نشان می‌دهند. عدم تقارن بین اندامی در مفصل زانو در کودکان با کف پای صاف حدود ۱۷ درصد و در مفصل ران حدود ۲۱ درصد بیشتر از افراد سالم بود (۱۰). عدم تقارن راه رفتن به طور معمول با ایجاد آسیب در بافت‌های بدن مرتبط است. طبق مطالعات گذشته، تفاوت‌های بین اندامی در ضخامت غضروف، سختی استخوان و قدرت عضلانی (۱۷) بین اندام غالب و غیر غالب در افراد سالم وجود دارد. این عدم تقارن‌ها در آناتومی اندام تحتانی می‌تواند منجر به تغییرات بیومکانیک مختلف در پاسخ به ارتزهای پا شود. از بین پارامترهای بیومکانیک راه رفتن، نیروهای عکس‌العمل زمین اهمیت بیشتری را به دلیل دارا بودن پایائی بالاتر دارا هستند (۱۸). نیروهای عکس‌العمل

کف پای صاف منعطف در کودکان و نوجوانان رایج است (۱). ناهنجاری‌های ساختاری و عملکردی پا، مانند کف پای صاف، ممکن است طی راه رفتن باعث ایجاد انحرافات مکانیکی اندام تحتانی شود. همچنین گوارش شده است که کف پای صاف با افزایش نیروی داخلی-خارجی عکس‌العمل زمین، ضربه و زمان رسیدن به اوج طی فاز استقرار راه رفتن همراه باشد (۲). به دلیل این که راه رفتن شامل کاپلینگ زنجیره‌ی بسته مفاصل اندام تحتانی است، تغییر در وضعیت پا می‌تواند منجر به تغییر در حرکت و نیروهای مفاصل پروگریمال شود. همچنین بیان شده است که کف پای صاف در طی راه رفتن با چرخش داخلی بیش از حد تیبیا همراه است (۳). این کاپلینگ در چرخش می‌تواند منجر به افزایش فشار بر پشتی در مفصل زانو شود (۳). علاوه بر این، کف پای صاف ممکن است با افزایش چرخش داخلی ران همراه باشد و در نتیجه باعث افزایش فشار به قسمت خارجی استخوان کشک شود (۴). محققان گزارش دادند که کودکان (۸ تا ۱۵ سال) با کف پای صاف احتمال ابتلاء بیشتری به درد و ناراحتی در ناحیه‌ی زانو، ران و کمر را در مقایسه به همسالان سالم دارا هستند (۵). علاوه بر این، گوارش شده است که کودکان (۱۱-۱۲ سال) دارای کف پای صاف در مقایسه با کودکان سالم بیشتر در معرض چرخش خارجی ران و زاویه‌ی پیشرفت به سمت خارج پا طی راه رفتن بودند (۶). بنابراین باید گزینه‌های مناسب درمان برای افرادی که دارای کف پای صاف هستند، انتخاب شود. یک شیوه‌ی درمانی غیرتهاجمی برای کف پای صاف، استفاده از اورتوز پا است. چندین مطالعه، تغییرات بیومکانیکی راه رفتن را برای افراد سالم و بیمار طی دو شرایط راه رفتن با و بدون اورتوز مورد بررسی قرار داده‌اند. به طور مثال Tang و همکاران (۲۰۱۵) نشان دادند که اورتوزها در کاهش حرکت عقب پا (rear foot) در سطح فرونتال و همچنین کاهش فشار پلاترال در بیماران بالغ دارای کف پای صاف منعطف بسیار موثر هستند (۷). اسلامی و Ferber (۲۰۱۳) با اندازه‌گیری‌های مختلف افت ناویکولار، تغییرات کینماتیکی سه‌بعدی کاپلینگ بخش جلوی پا عقب پا در افراد بالغ را طی دویلدن مورد بررسی قرار دادند و گزارش دادند که ارتزهای پا با کاهش حرکت جلوی پا در سطح فرونتال نسبت به عقب پا، به طور قابل توجهی زاویه‌ی کاپلینگ بین بخش جلوی پا عقب پا را کاهش می‌دهد (۸). بنابراین، همانطور که مطالعات فوق نشان دادند، ارتزهای پا می‌توانند روی بیومکانیک راه رفتن تأثیر بگذارند. مطالعات بسیار کمی اثر ابزار ارتودیک را روی مکانیک راه رفتن در کودکان مبتلا به کف پای صاف منعطف مورد بررسی قرار داده‌اند (۹). علاوه بر این، اطلاعات کمی در مورد چگونگی اثر ارتزهای پا بر روی شاخص عدم تقارن مؤلفه‌های نیروهای عکس‌العمل زمین طی راه رفتن وجود دارد. استفاده از تجزیه و تحلیل کلینیکی راه

دارای کف پای صاف (در این مطالعه تنها یک گروه تجربی بدون گروه کنترل وجود داشت) معروفی شدند. جهت تعیین میزان افتادگی استخوان ناوی، ارتفاع استخوان ناوی در دو وضعیت بدون تحمل وزن (در حالیکه فرد بر روی صندلی نشسته بود) و همچنین در حالت تحمل وزن (در حالت ایستاده با توزیع وزن برابر بر روی دو پا) اندازه‌گیری گردید و سپس اختلاف این دو ارتفاع محاسبه شد. معیارهای خروج از پژوهش شامل سابقه‌ی شکستگی، جراحی، بیماری‌های ارتوپدی، مشکلات عصبی عضلانی، اختلاف طول اندام بیشتر از ۵ میلی‌متر یا دارا بودن فعالیت فیزیکی سنگین طی دو روز گذشته بود. پای غالب آزمودنی‌ها توسط آزمون شوت نمودن توب مشخص گردید (۱۰). جهت شرکت در پژوهش از والدین آزمودنی‌ها رضایت‌نامه کتبی دریافت گردید. پژوهش حاضر در سال ۱۳۹۶ و در آزمایشگاه بیومکانیک ورزشی دانشگاه آزاد اسلامی واحد همدان انجام گردید. طرح پژوهش حاضر در کمیته اخلاق دانشگاه علوم پزشکی اردبیل با کد R-ARUMS-REC-1396-90 مورد تایید قرار گرفت. پژوهش حاضر منطبق با آزمایش‌های انسانی و همچنین بینیه هلسینکی در سال ۱۹۷۵ (بازبینی شده در سال ۲۰۰۸) مورد اجرا قرار گرفت. داده‌های کینماتیک با استفاده از سیستم ثبت حرکتی شامل چهار دوربین وایکن (Vicon system, Oxford Metrics, Oxford, UK) با نرخ نمونه‌برداری ۱۰۰ هرتز جمع آوری شد (۲۳). مارکرهای راه رفتن برای شناسایی دو طرف لگن، ران‌ها، ساق‌ها و پaha نصب گردید. دو صفحه نیرو (Kistler, type 9281, Kistler Instrumet AG, Winterthur, Switzerland) برای ثبت داده‌های کیتیکی و مشخص نمودن ابتدا و انتهای فاز استقرار با سرعت فرم برداری ۱۰۰۰ هرتز که با سیستم وایکون سینک بود، مورد استفاده قرار گرفت. دو صفحه نیرو در مرکز فضای کالیبره واقع شده بودند. مارکرهای منعکس‌کننده نور بر روی دو طرف بدن و بر روی قسمت‌های زیر (بر طبق چیدمان مارکر به شیوه Plug in Gait) نصب گردیدند: خارخاصره‌ای قدامی فوکانی، خارخاصره‌ای خلفی فوکانی، بخش میانی-خارجی ران، ابی‌کنده‌ی خارجی ران، بخش میانی-خارجی ساق، قوزک خارجی، پاشنه و بر روی متابراسال دوم و سوم (با توجه به استفاده از کفش توسط آزمودنی‌ها، مارکرهای پنجه و پاشنه‌های دوپا به طور مستقیم به پوست متصل نگردید و بر روی کفش قرار گرفت). در نتیجه به جای قسمت‌های آناتومیک، مارکرها در موقعیت‌های مناسب منطبق با مکان این لندرمارک‌ها بر روی کفش نصب گردیدند. علاوه بر این قبل از هر شرایط آزمایشی، آزمایش استاتیک برای شناسایی موقعیت مرکز مفصل و محاسبه‌ی بخش سیستم‌های مختصاتی گرفته می‌شد. داده‌ها در دو شرایط راه رفتن با کفش طی پیش‌آزمون و راه رفتن با کفش+کفی طی پس‌آزمون ثبت شدند. همه‌ی داده‌های کیتیک با استفاده از فیلتر باتروورث پایین‌گذر

زمین، زمان رسیدن به اوج آن‌ها، نرخ بارگذاری عمودی، ایمپالس و گشتاور آزاد جزء مهمترین متغیرهای کیتیکی هستند که می‌توانند بر روی راه رفتن اثرگذار باشند (۱۹). به عنوان مثال نشان داده شده است که نرخ بارگذاری عمودی یک متغیر مهم در سنجش بارهای اضافی وارد براحتی از عضلانی-اسکلتی اندام تحتانی است (۲۰). گشتاور آزاد گشتاور وارد براحتی پیچشی محور عمودی عبورکننده از مرکز فشار پا است و با بارهای پیچشی وارد براحتی از طرف این طی فاز استقرار راه رفتن مرتبط است و یکی از متغیرهای پیش‌بینی کننده احتمالی شکستگی ناشی از فشار (stress fracture) استخوان درشت‌نئی می‌باشد (۲۱). یکی از ویژگی‌های متمایزی که شاخص عدم تقارن نیروی عکس‌العمل زمین نسبت به سایر پارامترهای بیومکانیک دارا می‌باشد این است که نیروی عکس‌العمل زمین با شتاب ایجاد شده در مرکز جرم بدن ارتباط مستقیمی را دارا می‌باشد. بنابراین، از طریق شاخص عدم تقارن حاصل از نیروی عکس‌العمل زمین می‌توان بسیاری از ویژگی‌ها را جهت متمایز نمودن راه رفتن افراد سالم از راه رفتن پاتولوژیک استخراج نمود (۱۶). با وجود این تاکنون، اثرات طولانی مدت استفاده از ارتزهای پا بر روی شاخص‌های عدم تقارن مولفه‌های نیروی عکس‌العمل زمین مورد مطالعه قرار نگرفته است. هدف پژوهش حاضر بررسی اثر استفاده طولانی مدت از کفی حمایت‌کننده قوس طولی داخلی بر روی شاخص‌های عدم تقارن نیروهای عکس‌العمل زمین طی فاز استقرار راه رفتن در کودکان دارای کف پای صاف منعطف می‌باشد.

روش کار

پژوهش حاضر یک مطالعه کوهورت بود. تحلیل توان آماری پیش از اجرای پژوهش با استفاده از نرم‌فراز جی پاور (G*Power) نشان داد که جهت کسب توان آماری برابر با اندازه اثر برابر ۰/۷۰ در سطح معناداری ۰/۰۵ حداقل ۱۱ آزمودنی مورد نیاز می‌باشد. در این مطالعه ۱۵ کودک پسر با کف پای صاف منعطف از بین ۶۰۰ دانش‌آموز از متخبی (انتخاب تصادفی) از مدارس ناحیه ۱ و ۲ همدان به عنوان گروه آزمایشی انتخاب شدند. علت انتخاب کف پای صاف منعطف، شیوع بالای آن در کودکان و نوجوانان بود (۱). به علاوه، از آنچایی که کف پای صاف منعطف از نوع عملکردی می‌باشد، به شیوه‌های درمانی غیرتهاجمی همچون استفاده از کفی کش احتمال پاسخگویی بالاتری را دارا می‌باشد. نمونه آماری با مراجعة به مدارس انتخاب گردیدند. با توجه به پاسخ‌های بیومکانیک متفاوت در زنان و مردان در صفات مختلف حرکتی و همچنین در مفاصل مختلف (۲۲)، جهت جلوگیری از سوگیری داده‌ها توسط عامل جنسیت در این پژوهش تنها از کودکان پسر استفاده گردید. افرادی که بیشتر از ۱۰ میلی‌متر افتادگی استخوان ناوی کولار را داشتند، به عنوان افراد

گشتاور آزاد برابر با میزان گشتاور در صفحه افقی حول محور عمودی عبورکننده از مرکز فشار پا می‌باشد. در این پژوهش گشتاور آزاد به صورت زیر محاسبه می‌شود:

$$M_z = \text{گشتاور آزاد} - (F_y \times COP_x) - (F_x \times COP_y)$$

(M_z) گشتاور محور عمودی است؛ x و y مؤلفه‌های افقی مرکز فشار (COP) هستند؛ F_x و F_y مؤلفه‌های افقی نیروی عکس‌العمل زمین (GRF) هستند. سپس در منحنی گشتاور آزاد، اولین اوج (منفی؛ گشتاور دورکننده) و دومین اوج (مثبت؛ گشتاور نزدیک کننده) برای تجزیه و تحلیل آماری ثبت شدند. همه مقادیر گشتاور آزاد و نیروی عکس‌العمل زمین به ترتیب با توجه به وزن بدن و وزن بدن‌قاد نرمال شدند. کفش مورد استفاده (New Balance 759, USA) در پژوهش حاضر طی پیش و پس آزمون در همه آزمودنی‌ها یکسان بود. کفی مورد استفاده دارای بیشینه ارتفاع قوس طولی-داخلی برابر ۲۵ میلی‌متر بود. اندازه طولی کفی با توجه به اندازه پای هر فرد تعیین می‌شد. بعد از جلسه پیش آزمون در روز اول آزمودنی‌ها به مدت یک ساعت کفی را مورد استفاده قرار دادند. در روزهای بعد در ازاء هر روز یک ساعت مدت زمان استفاده از کفی افزایش پیدا می‌نمود تا این‌که در نهایت قادر باشند تا کفی را در تمام فعالیت‌های روزانه خود مورد استفاده قرار دهند. مدت استفاده از کفی ۴ ماه بود. آزمونی آماری تی همبسته جهت مقایسه داده‌ها طی دو شرایط پیش آزمون و پس آزمون استفاده شد. تمام تحلیل‌ها در سطح معنی داری 0.05 و با استفاده از نرم‌افزار SPSS نسخه ۲۲ انجام پذیرفت. جهت محاسبه اندازه اثر (d) از رابطه زیر استفاده شد:

$$\frac{\text{اختلاف میانگین دو شرایط}}{\text{میانگین انحراف استاندارد دو شرایط}} = (d)$$

یافته‌ها

میانگین سن، وزن، و قد آزمودنی‌ها به ترتیب برابر 10.3 ± 1.5 سال (بین ۸ تا ۱۲ سال)، 42.2 ± 8.1 کیلوگرم، 151.6 ± 10.7 سانتی‌متر بود.

مرتبه چهارم با برش فرکانسی 20 هرتز فیلتر شد. داده‌های کینماتیک توسط فیلتر با ترورث مرتبه چهارم و با برش فرکانسی 6 هرتز فیلتر شد. جهت پردازش داده‌های سرعت راه رفتان از نرم‌افزار Polygon Authoring Tool استفاده شد. به طور معمول، مقادیر عدم تقارن راه رفتان با مقایسه‌ی ویژگی‌های حرکت اندام راست و چپ ایجاد می‌شود. یکی از معیارهای مورد استفاده برای ویژگی‌های پارامترهای گستته، عدم تقارن راه رفتان (GA) است:

$$GA = \frac{|X_L - X_R|}{2|X_L + X_R|}$$

X_L و X_R مقادیر ویژگی‌های پارامترهای گستته است که به ترتیب از اندام چپ و راست اندازه‌گیری می‌شود. شاخص عدم تقارن در اوج مؤلفه‌های نیروی عکس‌العمل زمین در سه بعد، زمان رسیدن به اوج این مؤلفه‌ها، نرخ بارگذاری عمودی و همچنین مقادیر ایمپالس و گشتاور آزاد مورد طی دو شرایط مورد بررسی و مقایسه قرار گرفت. براساس مطالعات گذشته، درصد مقدار برش اولیه (initial cutoff) برای تعیین تقارن در مقابل عدم تقارن نیروهای عکس‌العمل زمین در این مطالعه استفاده گردید (۱۱). محورهای عمودی (z)، قدامی-خلفی (y) و داخلی-خارجی (x) را نشان می‌دهد. محور z در مؤلفه‌های نیروهای عکس‌العمل زمین برای فازهای تماس پاشنه (Down, $F_{Z_{HC}}$) (Heel contact)، نزول (Fall, $F_{Z_{DF}}$) و هل دادن (Push off) گزارش شد (۲۴). همچنین نیروهای عکس‌العمل زمین در محور y برای فازهای تماس پاشنه ($F_{y_{PO}}$) و هل دادن ($F_{y_{HC}}$) و در محور x برای فازهای تماس پاشنه ($F_{x_{HC}}$), میانه استقرار ($F_{x_{MS}}$) و هل دادن ($F_{x_{PO}}$) گزارش شد (۲۴). نرخ بارگذاری عمودی به عنوان شیب اوج اولیه منحنی نیروی عمودی عکس‌العمل زمین در نظر گرفته شد (۲۵). ایمپالس برابر با مساحت زیر نمودار نیرو-زمان می‌باشد که در واقع از حاصل ضرب نیرو در مدت زمان اعمال نیرو محاسبه می‌گردد. در پژوهش حاضر ایمپالس با استفاده از روش trapezoidal برای محورهای x و y و z به صورت زیر محاسبه شد:

$$\Delta t = \text{ایمپالس} = \left(\frac{F_1 + F_n}{2} \right) + \sum_{i=2}^{n-1} F_i$$

اوج نیروها	فاز	پیش آزمون	پس آزمون	میانگین
عمودی	تماس پاشنه	0.86 ± 0.93	0.87 ± 0.88	تماس پاشنه
میانه استقرار	هل دادن	0.61 ± 0.50	0.62 ± 0.63	هل دادن
قدمی-خلفی	تماس پاشنه	0.46 ± 0.39	0.47 ± 0.44	تماس پاشنه
داخلی-خارجی	میانه استقرار	1.71 ± 1.17	2.17 ± 2.47	میانه استقرار
	تماس پاشنه	4.25 ± 3.09	3.44 ± 2.79	تماس پاشنه
	میانه استقرار	3.21 ± 1.98	3.60 ± 2.59	میانه استقرار
	هل دادن	4.20 ± 4.33	4.24 ± 2.86	هل دادن

جدول ۲: شاخص عدم تقارن (میانگین \pm انحراف استاندارد) زمان رسیدن به اوج نیروهای عکس العمل زمین در سه محور عمودی، قدامی-خلفی و داخلی-خارجی طی فازهای مختلف استقرار در دو شرایط پیش آزمون و پس آزمون

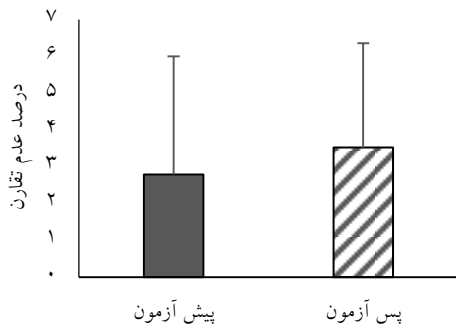
زمان رسیدن به اوج	فاز	پیش آزمون	پس آزمون	t	Sig.	اندازه اثر
	تماس باشنه	$2/06 \pm 2/53$	$2/92 \pm 2/52$	-1/141	0/273	۰/۳۴۰
	میانه استقرار	$1/74 \pm 1/02$	$2/12 \pm 1/74$	-0/695	0/498	۰/۲۷۵
	هل دادن	$0/56 \pm 0/56$	$0/71 \pm 0/51$	-0/769	0/455	۰/۲۸۰
	قدامی-خلفی	$2/93 \pm 2/21$	$2/05 \pm 1/40$	1/622	0/127	۰/۴۸۷
	میانه استقرار	$0/51 \pm 0/28$	$0/63 \pm 0/47$	-1/085	0/296	۰/۰۰۳
	داخلی-خارجی	$6/04 \pm 5/21$	$5/91 \pm 5/15$	0/067	0/948	۱/۰۱۸
	میانه استقرار	$1/49 \pm 1/64$	$1/09 \pm 0/86$	0/763	0/458	۰/۳۲۰

جدول ۳: شاخص عدم تقارن (میانگین \pm انحراف معیار) ایمپالس و گشتاور آزاد طی دو شرایط پیش آزمون و پس آزمون

متغیر	مؤلفه	پیش آزمون	پس آزمون	t	Sig.	اندازه اثر
	عمودی	$0/8 \pm 0/66$	$0/60 \pm 0/50$	1/080	0/298	۰/۳۹۶
	قدامی-خلفی	$1/05 \pm 0/91$	$1/05 \pm 1/99$	۰/۰۰۰	۱/۰۰۰	۰/۰۰۰
	داخلی-خارجی	$2/20 \pm 2/57$	$2/56 \pm 1/53$	-0/518	0/613	۰/۱۷۵
گشتاور آزاد	اوج مثبت	$6/20 \pm 6/07$	$14/39 \pm 7/27$	-3/981	۰/۰۰۱*	۱/۲۲۷
اوج منفی	اوج منفی	$3/50 \pm 3/95$	$4/41 \pm 5/61$	-0/608	0/053	۰/۱۹۰

* مطابق معناداری $P < 0.05$

شاخص عدم تقارن حداقل گشتاور آزاد این اختلاف معنادار نبود ($P > 0.05$; اندازه اثر پایین) (جدول ۳). همچنین نتایج هیچ گونه اختلاف معناداری را در شاخص عدم تقارن نرخ بارگذاری عمودی طی دو شرایط پیش و پس آزمون با میزان نشان نداد ($P > 0.05$; اندازه اثر پایین) (نمودار ۱).

نمودار ۱: شاخص عدم تقارن (میانگین \pm انحراف معیار) نرخ بارگذاری عمودی طی دو شرایط پیش آزمون و پس آزمون

پژوهش حاضر هیچ گونه اختلاف معنی داری را در شاخص عدم تقارن نیروهای عکس العمل زمین در فازهای مختلف طی پیش و پس آزمون نشان نداد ($P > 0.05$), مقادیر اندازه اثر در همه موارد در محدوده کوچک تا متوسط قرار داشت (جدول ۱). با وجود این، نتایج نشان داد که شاخص عدم تقارن مؤلفه داخلی-خارجی نیروی عکس العمل زمین طی پیش آزمون در دو فاز پاسخ بارگیری و هل دادن بیشتر از ۴ درصد می باشد (جدول ۱).

همچنین یافته های این پژوهش اختلاف معنی داری را در شاخص عدم تقارن زمان رسیدن به اوج مؤلفه های نیروهای عکس العمل زمین در فازهای مختلف طی پیش و پس آزمون نشان نداد ($P > 0.05$), مقادیر اندازه اثر در تمام موارد (به استثناء شاخص عدم تقارن مؤلفه داخلی-خارجی در طی فاز تماس پاشنه) در محدوده پائین تا متوسط بود (جدول ۲). با این وجود، نتایج نشان داد که شاخص عدم تقارن زمان رسیدن به اوج مؤلفه داخلی-خارجی نیروی عکس العمل زمین طی فاز میانه استقرار در پیش آزمون بیشتر از ۴ درصد می باشد (جدول ۲).

شاخص عدم تقارن ایمپالس در سه محور عمودی، قدامی-خلفی و داخلی-خارجی طی شرایط پیش آزمون در مقایسه با شرایط پیش آزمون هیچ گونه اختلاف معنی داری را نشان نداد ($P = 0.05$; اندازه اثر پایین) (جدول ۳). این پژوهش نشان داد که شاخص عدم تقارن حداقل گشتاور آزاد طی پیش آزمون بیشتر از ۴ درصد می باشد (جدول ۳). نتایج اختلاف معنی داری را در شاخص عدم تقارن حداقل گشتاور آزاد طی شرایط پس آزمون نسبت به پیش آزمون ($P = 0.001$; اندازه اثر بالا) (جدول ۳) نشان داد اما در

بحث

هدف پژوهش حاضر بررسی اثر استفاده طولانی مدت از کفی حمایت کننده قوس طولی-داخلی پا بر روی شاخص عدم تقارن مؤلفه های نیروی عکس العمل زمین طی فاز استقرار راه رفتن در کودکان دارای کف پای صاف منعطف بود. یافته های پژوهش حاضر نشان داد که علی رغم بالا بودن شاخص عدم تقارن اوج مؤلفه داخلی-خارجی نیروی عکس العمل زمین و زمان رسیدن

عکس‌العمل زمین به ویژه در راستای داخلی-خارجی در نتیجه استفاده طولانی مدت از کفی دچار تغییر نشد، مکانیزم احتمالی کاهش گشتاور آبداکتوری ران شامل تغییر احتمالی در بازوهای گشتاوری استند که در نتیجه استفاده از کفی حمایت‌کننده قوس رخ می‌دهند. با وجود این اثبات هر چه بهتر این موضوع نیاز به انجام پژوهش‌های بیشتر در این زمینه دارد. نتایج پژوهش حاضر هیچ‌گونه اختلاف معناداری را در نتیجه استفاده طولانی مدت (۴ ماه) از کفی در شاخص عدم تقارن مربوط به مؤلفه‌های نیروی عکس‌العمل زمین، زمان رسیدن به اوج مؤلفه‌های زمین، ایمپالس و نرخ بارگذاری عمودی در کودکان دارای کف پای صاف نشان نداد. گزارش شده است که مقادیر گشتاور پای غالب و غیرغالب در کودکان داری کف پای صاف در هنگام استفاده آنی از کفی دچار تغییرات مشابهی نمی‌شود (۱۹). اما همانطور که نتایج پژوهش حاضر نشان داد (با توجه به عدم تغییر شاخص عدم تقارن) استفاده طولانی مدت از کفی در هر دو پای غالب و غیرغالب پاسخ‌های همسانی را در مقادیر مؤلفه‌های نیروی عکس‌العمل زمین، زمان رسیدن به اوج مؤلفه‌های زمین، ایمپالس و نرخ بارگذاری عمودی ایجاد نماید. از علل احتمالی این موضوع می‌توان این نکته را ذکر نمود که گشتاور مفصلی تنها تحت تاثیر نیروهای عکس‌العمل زمین نیست که دچار تغییر می‌شود بلکه میزان فعالیت عضلات مختلف، میزان همانقباضی، و طول بازوی گشتاور از جمله موارد دیگری هستند که می‌توانند تحت تاثیر استفاده از کفی قرار گرفته و بر روی مقادیر گشتاور مفصلی اثرگذار باشند (۲۸). با وجود این، شاخص عدم تقارن اوج مثبت گشتاور آزاد در نتیجه استفاده طولانی مدت از کفی دچار کاهش شد. Jafarnezhadgero و همکاران نشان دادند که استفاده آنی از ارتز پا، منجر به کاهش شاخص عدم تقارن گشتاور دورگنده ران در کودکان دارای کف پای صاف طی مرحله استقرار راه رفتن می‌شود (۱۰). گزارش شده است که الگوی راه رفتن به طور نامتقارن انرژی زیادی را در افراد بالغ دارای همی‌پاژی مصرف می‌نماید (۲۹) و خطر سقوط را در افراد سالم‌مند افزایش می‌دهد (۳۰). بنابراین ممکن است که کاهش عدم تقارن اوج مثبت گشتاور آزاد طی راه رفتن باعث کاهش مصرف انرژی و خطر سقوط در کودکان دارای کف پای صاف منعطف شود. اما باید توجه داشت که جهت توصیه یا عدم توصیه استفاده طولانی مدت از کفی پژوهش حاضر نیاز به انجام پژوهش‌های بیشتر بر روی سایر متغیرهای بیومکانیکی همچون فعالیت عضلات، کینماتیک و کیتیک حرکت می‌باشد. پژوهش حاضر دارای محدودیت‌هایی بود که از آن جمله می‌توان به این نکته اشاره نمود که فعالیت الکتروموگرافی عضلات ثبت نشد و مورد ارزیابی قرار نگرفت. همچنین نمونه آماری پژوهش حاضر تنها شامل جنسیت مرد بود حال آنکه ممکن است، دختران دارای کف پای صاف پاسخ

به این اوج در کودکان دارای کف پای صاف طی پیش‌آزمون، استفاده طولانی مدت از کفی اثری معنی‌داری را بر بهبود شاخص عدم تقارن مؤلفه‌های نیروی عکس‌العمل زمین دارا نمی‌باشد. با وجود این، استفاده طولانی مدت از کفی شاخص عدم تقارن اوج مثبت گشتاور آزاد را کاهش داد. یافته‌های پژوهش حاضر نشان داد که مؤلفه داخلی-خارجی نیروی عکس‌العمل زمین طی فاز میانه استقرار طی پیش‌آزمون حدود ۶ درصد بود. Herzog و همکاران متغیرهای حاصل از دستگاه صفحه نیرو را جهت کمی نمودن شاخص عدم تقارن طی راه رفتن در افراد سالم استفاده نمودند (۱۱). شاخص عدم تقارن مؤلفه‌های نیروی عکس‌العمل زمین در راه‌رفتن افراد سالم در دامنه‌ای بین صفر تا چهار درصد گزارش شده است (۱۱). پژوهش‌های پیشین نشان داده است که شرایط آسیب‌دیدگی با عدم تقارن طی راه رفتن مرتبه می‌باشد (۱۶). بنابراین، با توجه به نتایج پژوهش حاضر کودکان دارای کف پای صاف در اوج مؤلفه‌های داخلی-خارجی نیروی عکس‌العمل زمین و زمان رسیدن به اوج مؤلفه‌ها دارای عدم تقارن می‌باشد. گزارش شده این صفر تا چهار درصد گزارش شده می‌باشد. این مؤلفه‌ها دارای عدم تقارن بیش از دامنه نرمال می‌باشند. گزارش شده است که متغیرهای نیروی داخلی-خارجی و قدامی-خلفی عکس‌العمل زمین دارای سطوح عدم تقارن بالایی نسبت به مؤلفه نیروی عکس‌العمل زمین هستند (۲۶). نتایج پژوهش حاضر بر روی کودکان دارای کف پای صاف با نتایج این مطالعه هم سو می‌باشد. مطالعات قبلی نشان داده است که عدم تقارن راه رفتن می‌تواند مربوط به عملکردهای مختلف اندام طی فاز استقرار باشد (۲۷). همچنین گزارش شده است که میانگین شاخص عدم تقارن گشتاورهای مفصل زانو در سه بعد در افراد با کف پای صاف حدود ۱۷ درصد بیشتر از افراد سالم بود؛ بعلاوه، میانگین شاخص عدم تقارن گشتاور ران در سه بعد در افراد با کف پای صاف حدود ۲۱ درصد بیشتر از افراد سالم بود (۱۰). با توجه به بالا بودن مقادیر شاخص عدم تقارن مؤلفه‌های نیروی عکس‌العمل زمین و زمان رسیدن به اوج آن‌ها در راستای داخلی-خارجی می‌توان بیان نمود که یکی از دلایل بالا بودن شاخص عدم تقارن گشتاورهای مفاصل زانو و ران در کودکان دارای کف پای صاف وجود عدم تقارن در مؤلفه‌های نیروی عکس‌العمل زمین است. توجیه این موضوع به این دلیل است که محاسبات گشتاور مفصلی از طریق روابط دینامیک معکوس محاسبه می‌شود، که یکی از درون‌دادهای اولیه‌ی این معادلات نیروهای عکس‌العمل زمین می‌باشد. Jafarnezhadgero و همکاران گزارش نمودند که استفاده از کفی سبب کاهش شاخص عدم تقارن گشتاور آبداکتوری ران در کودکان دارای کف پای صاف طی راه رفتن می‌شود (۱۰). از آنجایی که در پژوهش حاضر شاخص عدم تقارن نیروهای

وجود این، شاخص عدم تقارن اوج مثبت گشتاور آزاد در نتیجه استفاده طولانی مدت از کفی دچار کاهش شد.

قدرتانی

از تمامی کودکان شرکت‌کننده در پژوهش و والدین آن‌ها کمال تشکر و قدردانی را داریم.

ملاحظات اخلاقی: پروتکل این مطالعه در کمیته پژوهشی دانشگاه علوم پزشکی اردبیل به شماره مرجع R-ARUMS-REC-1396-90 تایید رسیده است.

منابع مالی: حمایت مالی از این طرح تحقیقاتی تحت شماره گرفت ۵۶۴۹ از طرف دانشگاه محقق اردبیلی صورت پذیرفته است.

منافع متقابل: منافع متقابلی از تالیف و یا انتشار این مقاله وجود ندارد.

مشارکت مؤلفان: اج، سع و همکاران طراحی، اجرا و تحلیل نتایج مطالعه را بر عهده داشت. م همچنین مقاله را تالیف نموده و نسخه نهایی آن را خوانده و تایید کرده است.

تعارض در منافع: هیچگونه موردی در ارتباط با تعارض در منافع وجود نداشت.

متفاوتی را نسبت به آنچه در پژوهش حاضر حاصل شده نشان دهنده. از دیگر محدودیت‌های پژوهش حاضر عدم وجود گروه کنترل در پژوهش بود. همچنین در پژوهش حاضر ارتفاع قوس طولی-داخلی یک مقدار ثابت را دارا بود، بنابراین انجام پژوهش‌های بیشتر با استفاده از تجویز کفی‌های با ارتفاع قوس مختلف که متناسب با قوس پای فرد طراحی گردند، مورد نیاز می‌باشد.

نتیجه‌گیری

نتایج نشان داد که شاخص عدم تقارن مؤلفه داخلی-خارجی نیروی عکس العمل زمین طی پیش‌آزمون در دو فاز پاسخ بارگیری و هل دادن و همچنین شاخص عدم تقارن زمان رسیدن به اوج مؤلفه داخلی-خارجی نیروی عکس العمل زمین طی فاز میانه استقرار در پیش‌آزمون بیشتر از ۴ درصد می‌باشد. نتایج اختلاف معنی‌داری در شاخص عدم تقارن نیروهای عکس العمل زمین در زمان رسیدن به اوج مؤلفه‌های نیروهای عکس العمل زمین در فازهای مختلف، ایمپالس در سه بعد و شاخص عدم تقارن نزدیک بارگزاری عمودی در دو شرایط پیش و پس‌آزمون نشان نداد. با

References

- Craxford A D, Minns R, Park C. Plantar pressures and gait parameters: a study of foot shape and limb rotations in children. *J Pediatr Orthoped* 1984; **4**(4): 477-481. doi: 10.1097/01241398-198408000-00018
- Farahpour N, Jafarnezhad A, Damavandi M, Bakhtiari A, Allard P. Gait ground reaction force characteristics of low back pain patients with pronated foot and able-bodied individuals with and without foot pronation. *J Biomech* 2016; **49**(9): 1705-1710. doi: 10.1016/j.jbiomech.2016.03.056
- Levinger P, Menz H B, Morrow A D, Feller J A, Bartlett J R, Bergman N R. Foot kinematics in people with medial compartment knee osteoarthritis. *Rheumatology* 2012; **51**(12): 2191-2198. doi: 10.1093/rheumatology/kes222
- Souza T R, Pinto R Z, Trede R G, Kirkwood R N, Fonseca S T. Temporal couplings between rearfoot-shank complex and hip joint during walking. *Clin Biomech* 2010; **25**(7): 745-748. doi: 10.1016/j.clinbiomech.2010.04.012
- Kothari A, Dixon P, Stebbins J, Zavatsky A, Theologis T. Are flexible flat feet associated with proximal joint problems in children? *Gait Posture* 2016; **45**: 204-210. doi: 10.1016/j.gaitpost.2016.02.008
- Twomey D, McIntosh A. The effects of low arched feet on lower limb gait kinematics in children. *Foot* 2012; **22**(2): 60-65. doi: 10.1016/j.foot.2011.11.005
- Tang SF-T, Chen C-H, Wu C-K, Hong W-H, Chen K-J, Chen C-K. The effects of total contact insole with forefoot medial posting on rearfoot movement and foot pressure distributions in patients with flexible flatfoot. *Clin Neurol and Neurosur* 2015; **129**: S8-S11. doi: 10.1016/s0303-8467(15)30004-4
- Eslami M, Ferber R. Can orthoses and navicular drop affect foot motion patterns during running? *J Sci Med Sport* 2013; **16**(4): 377-381. doi: 10.1016/j.jsams.2012.09.008
- Pauk J, Ezerskiy V. The effect of foot orthotics on arch height: prediction of arch height correction in flat-foot children. *Biocybern Biomed Eng* 2011; **31**(1): 51-62. doi: 10.1016/s0208-5216(11)70005-5
- Jafarnezhad A, Shad M M, Ferber R. The effect of foot orthoses on joint moment asymmetry in male children with flexible flat feet. *J Bodyw Mov Ther* 2017. [In press]. doi: 10.1016/j.jbmt.2017.04.007
- Herzog W, Nigg B M, Read L J, Olsson E. Asymmetries in ground reaction force patterns in normal human gait. *Med Sci Sports Exerc* 1989; **21**(1): 110-114. doi: 10.1249/00005768-198902000-00020
- Sadeghi H, Allard P, Prince F, Labelle H. Symmetry and limb dominance in able-bodied gait: a review. *Gait Posture* 2000; **12**(1): 34-45. doi: 10.1016/s0966-6362(00)00070-9
- Arsenault A B, Winter D A, Marteniuk R G. Bilateralism of EMG profiles in human locomotion. *Am J Phys Med Rehabil* 1986; **65**(1): 1-16.
- Önpuuu S, Winter DA. Bilateral electromyographical analysis of the lower limbs during walking in normal adults. *Electroen Clin Neuro* 1989; **72**(5): 429-438. doi: 10.1016/0013-4694(89)90048-5

15. Perttunen J, Anttila E, Södergård J, Merikanto J, Komi P. Gait asymmetry in patients with limb length discrepancy. *Scand J Med Sci Spor* 2004; **14**(1): 49-56. doi: 10.1111/j.1600-0838.2003.00307.x
16. Su B, Song R, Guo L, Yen C. Characterizing gait asymmetry via frequency sub-band components of the ground reaction force. *Biomed Signal Proces* 2015; **18**: 56-60. doi: 10.1016/j.bspc.2014.11.008
17. Niu W, Wang Y, He Y, Fan Y, Zhao Q. Kinematics, kinetics, and electromyogram of ankle during drop landing: A comparison between dominant and non-dominant limb. *Hum Movement Sci* 2011; **30**(3): 614-623. doi: 10.1016/j.humov.2010.10.010
18. Chockalingam N, Dangerfield P H, Rahmatalla A, Ahmed E-N, Cochrane T. Assessment of ground reaction force during scoliotic gait.. *Eur Spine J* 2004; **13**(8): 750-754. doi: 10.1007/s00586-004-0762-9
19. Jafarnezhadgero A A, Shad M M, Majlesi M. Effect of foot orthoses on the medial longitudinal arch in children with flexible flatfoot deformity: A three-dimensional moment analysis. *Gait Posture* 2017; **55**(7): 75-80. doi: 10.1016/j.gaitpost.2017.04.011de
20. Oliveira Silva D, Briani R V, Pazzinatto M F, Ferrari D, Aragão F A, de Azevedo FM. Reduced knee flexion is a possible cause of increased loading rates in individuals with patellofemoral pain. *Clin Biomech* 2015; **30**(9): 971-975. doi: 10.1016/j.clinbiom ech.2015.06.021
21. Milner C E, Ferber R, Pollard C D, Hamill J, Davis I S. Biomechanical factors associated with tibial stress fracture in female runners. *Med Sci Sport Exer* 2006; **38**(2): 323. doi: 10.1249/01.mss.0000183477.75808.92
22. Jenkins W L, Williams D B, Williams K, Hefner J, Welch H. Sex differences in total frontal plane knee movement and velocity during a functional single-leg landing. *Phys Ther Sport* 2017; **24**: 1-6. doi: 10.1016/j.ptsp.2016.09.005
23. Jafarnezhadgero A, Shad M M, Majlesi M, Zago M. Effect of kinesio taping on lower limb joint powers in individuals with genu varum. *J Bodyw Mov Ther* 2017. [In press]. doi: 10.1016/j.jbmt.2017.06.009
24. Jafarnezhadgero A A, Majlesi M, Azadian E. Gait ground reaction force characteristics in deaf and hearing children. *Gait Posture* 2017; **53**: 236-240. doi: 10.1016/j.gaitpost.2017.02.006
25. Jafarnezhadgero A A, Oliveira A S, Mousavi S H, Madadi-Shad M. Combining valgus knee brace and lateral foot wedges reduces external forces and moments in osteoarthritis patients. *Gait Posture* 2017; **59**(1): 104-110. doi: 10.1016/j.gaitpost.2017.09.040
26. Nigg B, Robinson R, Herzog W. Use of Force Platform Variables to Quantify the Effects of Chiropractic Manipulation on Gait Symmetry. *J Manip Physiol Ther* 1987; **10**(4).
27. Allard P, Lachance R, Aissaoui R, Duhaime M. Simultaneous bilateral 3-D able-bodied gait. *Hum Movement Sci* 1996; **15**(3): 327-346. doi: 10.1016/0167-9457(96)00004-8
28. Winter D A. *Biomechanics and motor control of human movement*. John Wiley & Sons; 2009.
29. Zamparo P, Francescato M, Luca G, Lovati L, Prampera P. The energy cost of level walking in patients with hemiplegia. *Scand J Med Sci Spor* 1995; **5**(6): 348-352. doi: 10.1111/j.1600-0838.1995.tb00057.x
30. Di Fabio R P, Kurszewski W M, Jorgenson E E, Kunz R C. Footlift Asymmetry During Obstacle Avoidance in High-Risk Elderly. *J Am Geriatr Soc* 2004; **52**(12): 2088-2093. doi: 10.1111/j.1532-5415.2004.52569.x

Original Article

Comparison of growth hormone and insulin-like growth factor-1 responses to high intensity and low intensity resistance training with and without blood flow restriction in adolescent male athletes

Siroos Choobineh^{ID}, Ali Akbarnejad^{ID*}, Vahidreza Kakavand^{ID}, Morteza Yari^{ID}

Department of Sports Physiology, Faculty of Physical Education and Sport Sciences, University of Tehran, Tehran, Iran

*Corresponding author; E-mail: a.akbarnejad@yahoo.com

Received: 13 May 2017 Accepted: 18 July 2017 First Published online: 7 September 2019

Med J Tabriz Uni Med Sciences Health Services. 2019 October- November; 41(4):40-48

Abstract

Background: Resistance training is the most effective way to increase muscle mass. The hormonal axis of GH-IGF-1 is considered important for the health of the musculoskeletal system in both childhood and adulthood. The purpose of this study was to compare two types of resistance training with and without blood flow restriction on GH-IGF-1 axis after the exercise.

Methods: In this study, 36 adolescent gymnast boys aged 10 to 14 years participated in a quasi-experimental research design. The subjects (mean weight 37.11 ± 8.11 kg, height 145.16 ± 11.58 cm, body mass index 17.40 ± 1.77 kg m) were randomly divided into three groups; control ($n=12$), high intensity resistance training ($n=12$), and low intensity resistance training with blood flow restriction ($n=12$). Training protocol contained three motions included leg extension, elbow flexion and bench press. Blood samples were taken before and half an hour after training.

Results: The results of inter-group showed that a GH variable after acute exercise in resistance exercise with blood flow restriction group ($p=0.195$), traditional resistance training groups ($p=0.182$), and control ($p=0.317$) was not significant; But IGF-1 variable increased significantly in blood flow restriction group ($P=0.004$). There was no significant difference between groups in levels of GH and IGF-1 ($p>0.05$).

Conclusion: One session low intensity resistance training with blood flow restriction compared to high intensity resistance training, has a similar effect on increasing serum IGF-1 in children athletes. Such as high intensity resistance exercise seems appropriate to provide hypertrophy and increased in the muscle mass.

Keyword: Adolescent, Blood Flow Restriction, Growth Hormone, IGF-1, Resistance Training

How to cite this article: Choobineh S, Akbarnejad A, Kakavand V, Yari M. [A comparison of acute growth hormone and insulin-like growth factor-1 responses to high intensity resistance training and low intensity resistance training with blood flow restriction in adolescent athlete]. Med J Tabriz Uni Med Sciences Health Services. 2019 October- November; 41(4):40-48. Persian.

مقاله پژوهشی

مقایسه پاسخ هورمون رشد و عامل رشد شبه انسولین-۱ به دو نوع تمرین مقاومتی با و بدون محدودیت جریان خون در پسران ورزشکار نوجوان

سیروس چوبینه^۱، علی اکبرنژاد^{۲*}، وحیدرضا کاکاوند^۳، مرتضی یاری^۴

گروه فیزیولوژی ورزشی، دانشکده تربیت بدنی و علوم ورزشی دانشگاه تهران، تهران، ایران

*نویسنده مسؤول؛ ایمیل: a.akbarnejad@yahoo.com

دریافت: ۱۳۹۶/۲/۲۳ پذیرش: ۱۳۹۶/۴/۲۷ انتشار پرخط: ۱۳۹۸/۶/۱۶
مجله پزشکی دانشگاه علوم پزشکی و خدمات بهداشتی - درمانی تبریز. مهر و آبان ۱۳۹۸؛ ۴۱(۴): ۴۰-۴۸.

چکیده

زمینه: تمرین مقاومتی به عنوان موثرترین روش برای افزایش توده عضلانی شناخته شده و محور هورمونی GH-IGF-1 در هر دو دوره کودکی و بزرگسالی برای سلامت سیستم اسکلتی - عضلانی مهم در نظر گرفته شده است. هدف از پژوهش حاضر مقایسه پاسخ هورمون رشد و عامل رشد شبه انسولین-۱ به دو نوع تمرین مقاومتی با و بدون محدودیت جریان خون پس از یک جلسه فعالیت ورزشی بود.

روش کار: به این منظور ۳۶ پسر زیمناستیک کار ۱۰ تا ۱۴ ساله در یک طرح تحقیق نیمه تجربی شرکت کردند. آزمودنی‌ها (با میانگین وزن $37/11 \pm 8/11$ کیلوگرم، قد $145/11 \pm 16/58$ سانتی‌متر، شاخص توده بدن $17/40 \pm 17/40$ کیلوگرم بر مترمربع) به طور تصادفی به سه گروه ۱۲ نفره تمرین مقاومتی شدت بالا، تمرین مقاومتی کم شدت همراه با محدودیت جریان خون و کترل تقسیم شدند. تمرین شامل سه حرکت بازشدن زانو، خم‌شدن آرنج و پرس سینه بود. نمونه‌های خونی قبل و نیم ساعت بعد از اجرای تمرین گرفته شد. سنجش مقدار هورمون رشد و فاکتور رشد شبه انسولینی-۱ به وسیله روش رادیو ایمunoassay و دستگاه کامپکتیر صورت گرفت. از آزمون آماری تی وابسته برای بررسی نتایج درون گروهی و از آنالیز واریانس یکراهه برای بررسی نتایج بین گروهی استفاده شد.

یافته‌ها: نتایج درون گروهی نشان داد که پس از یک و هله فعالیت ورزشی متغیر GH در هیچ یک از گروه‌های مقاومتی شدت بالا ($P=0/182$)، مقاومتی انسدادی ($P=0/195$) و کترل ($P=0/317$) معنی دار نشد، لیکن متغیر IGF-1 تنها در گروه مقاومتی انسدادی ($P=0/004$) افزایش معنی دار داشت. همچنین نتایج بین گروهی نشان داد در مقادیر GH و IGF-1 تفاوت معنی‌داری بین گروه‌ها وجود نداشت ($p>0/05$).

بحث و نتیجه گیری: فعالیت مقاومتی کم شدت همراه با مداخله محدودیت جریان خون در مقایسه با فعالیت مقاومتی شدت بالا، تاثیر بیشتری در بیان IGF-1 در کودکان ورزشکار داشت، لذا این شیوه تمرینی به جهت سازگاری‌های عضلانی ناشی از محور هورمونی GH-IGF-1، همانند تمرینات مقاومتی شدت بالا مناسب بنظر می‌رسد.

کلید واژه‌ها: تمرین مقاومتی، نوجوان، محدودیت جریان خون، هورمون رشد، عامل رشد شبه انسولین-۱

نحوه استناد به این مقاله: چوبینه س، اکبرنژاد، کاکاوند و ر، یاری م. مقایسه پاسخ هورمون رشد و عامل رشد شبه انسولین-۱ به دو نوع تمرین مقاومتی با و بدون محدودیت جریان خون در پسران ورزشکار نوجوان. مجله پزشکی دانشگاه علوم پزشکی و خدمات بهداشتی - درمانی تبریز. ۱۳۹۸؛ ۴۱(۴): ۴۰-۴۸.

حق تأثیف برای مؤلفان محفوظ است.
این مقاله با دسترسی آزاد توسط دانشگاه علوم پزشکی و خدمات بهداشتی - درمانی تبریز تحت مجوز کریپتو کامنز (Creative Commons BY 4.0) منتشر شده که طبق مفاد آن هرگونه استفاده تنها در صورتی مجاز است که به اثر اصلی به نحو مقتضی استناد و ارجاع داده شده باشد.

مقدمه

به شدت کاهش می‌یابد (۸). در حالی که به نظر می‌رسد تمرينات مقاومتی انسدادی محرک فیزیولوژیک برای سازگاری‌های عضلانی را فراهم می‌کنند، استفاده از شدت پایین، آسیب عضلانی قابل توجهی به همراه ندارد. این استراتژی ممکن است برای ورزشکاران حرفه‌ای با کاهش ظرفیت برای ریکاوری ناشی از ورزش با شدت بالا مفید باشد (۸). در این شیوه تمرينی قسمت پروگریمال توسط یک کاف الاستیک با فشار بین ۱۰۰ تا ۳۰۰ میلی‌متر جیوه بسته و با محدودیت یا انسداد در بازگشت وریدی جریان خون، باعث ایجاد حوضچه خونی در اطراف عضله درگیر می‌شود (۹). این عمل با ایجاد ایسکمی میزان متابولیت‌ها را افزایش می‌دهد (۱۰). مکانیسم احتمالی تمرينات مقاومتی کم شدت همراه با محدودیت جریان خون بر رشد و توسعه عضلانی را افزایش می‌دانند متابولیت‌ها درون عضلانی (لاکات، یون هیدروژن و آدنوزین مونو فسفات)، تحریک عوامل رشد موضعی و مسیرهای سیگنالی درون‌سلولی، و فراخوانی بیشتر تارهای تند انقباض در شرایط هایپوکسیک بیان کرده‌اند (۱۰). در نتیجه افزایش سوخت‌وساز بدن و استرس متابولیک منجر به پاسخ هورمونی آنابولیک قدرتمندی پس از ورزش می‌شود (۸). عوامل متعددی در هایپرتروفی و تنظیم سنتز و لیز پروتئین‌های عضلانی شناسایی شده‌اند. به طور معمول، مطالعه‌هایی که پاسخ‌های هورمونی کودکان به تمرين مقاومتی را بررسی کرده‌اند، بیشتر بر هورمون‌های درگیر در رشد و ترمیم بافت (تستوسترون، هورمون رشد، فاکتور رشد شبه انسولینی) و پاسخ به استرس (به عنوان مثال، کورتیزول، کاتکول آمین‌ها) متمرکز شده‌اند (۳). هورمون رشد (GH) یک هورمون پیتیدی چند اثر است که دارای چندین گونه (۲۲ کیلو دالتون، ۲۰ کیلو دالتون) است و می‌تواند پس از ترجمه به انواع زیرگونه‌های متراکم (مونو، دایمر، ترایمر) تغییر شکل بدهد. نقش اولیه هورمون رشد تنظیم سوخت و ساز بدن، از طریق افزایش فراخوانی و اکسیداسیون چربی و بهبود سنتز کلائز در بافت عضلات است. این هورمون اثرات خود را به صورت مستقیم و غیر مستقیم بر متابولیسم و سنتز پروتئین، از طریق دایمر گیرنده هورمون رشد و یا تحریک سیستمیک بافت ویژه و رهاسازی فاکتور رشد شبه انسولینی، می‌گذارد (۱۱). ترشح هورمون رشد تحت تاثیر تعديل کننده‌های متعدد (کاتکول آمین‌ها، کورتیزول، گلوکز، و غیره) و همچنین با ورزش قرار می‌گیرد (۱۲). عامل رشد شبه انسولینی (IGF-1) در تکثیر سلولی، تمايز و آپوپتوز درگیر می‌شود. مقادیر زیادی از IGF-1 در گردش خون به پروتئین‌های خاص (BP) متصل است و تعامل بین IGF-1 و این پروتئین‌های حامل، اثرات فیزیولوژیک آن را تعیین می‌کند (۱۲). محور هورمونی GH-IGF-1 در کودکی و بزرگسالی برای سیستم اسکلتی عضلانی مهم در نظر گرفته شده است. این محور شامل هورمون (هورمون رشد)،

تمرين مقاومتی اشاره به یک روش ویژه آماده‌سازی دارد که به موجب آن یک فرد علیه طیف گسترده‌ای از بارهای مقاومتی، به منظور افزایش سلامت، تناسب‌اندام و عملکرد، کار می‌کند. امروزه این نوع تمرينات اغلب توسط ورزشکاران جوان برای بهبود عملکرد استفاده می‌شود (۱). سطوح قدرت و توان عضلانی نوجوانان پس از مشارکت در تمرينات مقاومتی افزایش یافته و عملکرد ورزشی آن‌ها بهبود می‌یابد (۲). همچنین گزارش شده است که تمرينات مقاومتی در کودکان و نوجوانان دارای اثرات مفیدی بر قدرت و توان عضلانی، پیشگیری و توانبخشی صدمات، آمادگی قلب و عروق، ترکیب بدن، تراکم مواد معدنی استخوانی، پروفایل چربی خون و همچنین سلامت روان و عزت نفس است (۳). به طورکلی عقیده بر آن است که تمرينات مقاومتی با شدت زیاد یا تمرينات قدرتی سنتی (۸۰-۷۰ درصد یک تکرار بیشینه) برای هیپرتروفی و افزایش قدرت عضله موردنیاز است و تمرين با شدت کم، توانایی ایجاد تشکیل کافی به منظور افزایش قدرت و حجم عضلانی را نخواهد داشت (۴). كالج آمریکایی پزشکی ورزشی توصیه می‌کند که افراد برای دست‌یابی به افزایش قدرت و حجم عضلانی با شدتی معادل یا بیشتر از ۶۵ درصد یک تکرار بیشینه به فعالیت ورزشی بپردازنند (۴). از طرفی تمرينات مقاومتی با شدت زیاد احتمال آسیب را افزایش می‌دهد و اجرای تمرينات مقاومتی با شدت بالا برای گروههای سنی خاص مانند کودکان به علت صدمات صفحات رشد و دیسک‌های کمر توصیه نمی‌شود (۵). تصورات گوناگون در رابطه با انجام تمرينات مقاومتی شدت‌بالا توسط کودکان وجود دارد. نگرانی‌های اولیه در مورد امنیت تمرينات مقاومتی شدت‌بالا در جوانان ریشه در داده‌های سال ۲۰۰۶ که شامل ۲۲۹۲۶ آسیب ورزشی مربوط به وزنه‌برداری یا کار با وزنه برای افراد ۸ تا ۱۹ سال در ایالات متحده دارد (۵). صدمات نادر صفحات رشد و صدمات وارد به دیسک‌های کمر معمولاً در نتیجه تکنیک ضعیف، وزنه‌های بیش از حد سنگین، یا لیفت‌های پرتابی است و بیشترین آسیب‌های جدی به کمر هنگام استفاده از وزنه‌های آزاد رخ می‌دهد (۵). همچنین تمرين مقاومتی با شدت‌بالا ممکن است برای برخی از افراد، از جمله افراد مبتلا به آرتروز یا پوکی استخوان یا کسانی که دوره نقاوت بعد از عمل جراحی را طی می‌کنند و یا سالمدان مشکل باشند. علاوه بر این، اغلب افراد تمایل زیادی به شرکت در تمرينات مقاومتی شدت‌بالا را ندارند (۶). بنابراین، مداخلات جایگزینی مورد نیاز است که فرد با انجام فعالیت ورزشی با شدت کم‌تر همچنان قادر به حفظ عملکرد عضلات اسکلتی باشد. از این‌سو محققان تمرينات مقاومتی انسدادی را که با شدت کم‌تر همچنان افزایش قدرت و بهبود توده عضلانی را در بی دارد، پیشنهاد کردند (۸،۷). علاوه بر این احتمال بروز آسیب‌های ناشی از تمرين با بارهای سنگین نیز

با محدودیت جریان خون با تمرینات مقاومتی شدت بالا طراحی و اجرا گردید.

روش کار

این تحقیق به روش نیمه تجربی و به صورت طرح تحقیقی در دو نوبت پیش آزمون و پس آزمون اجرا گردید و اثر پاسخ سنجیده شد. جامعه آماری این پژوهش را تعداد ۳۶ نفر از کودکان پسر ۱۰ تا ۱۴ ساله ژئومناستیک کار شهرستان قزوین با سابقه تمرینی بین ۳ تا ۵ سال، که حداقل در شش ماه اخیر بی تمرین نبوده اند، (با میانگین وزن $۳۷/۱۱ \pm ۸/۱۱$ کیلوگرم، قد $۱۴۵/۱۶ \pm ۱/۵۸$ متر، شاخص توده بدن $۱۷/۴۰ \pm ۱/۷۷$ کیلوگرم بر مترمربع) تشکیل دادند. تمامی آزمودنی ها به همراه والدین در یک جلسه آشنایی با روند تحقیق شرکت کردند و تکمیل فرم رضایت نامه شرکت در تحقیق و پرسشنامه های سلامت توسط والدین انجام شد. پس از جمع آوری پرسشنامه ها و بررسی آن ها، ۳۶ نفر از افراد، دارای شرایط تعیین شده برای شرکت در مراحل بعدی تحقیق بودند، که به طور تصادفی به سه گروه تمرین مقاومتی شدت بالا (۱۲ نفر)، تمرین مقاومتی شدت پایین با محدودیت جریان خون (۱۲ نفر) و تمرین مقاومتی شدت پایین بدون محدودیت جریان خون (۱۲ نفر) تقسیم شدند. گروه کنترل در این تحقیق در واقع همان گروه تمرین مقاومتی شدت پایین بدون انسداد بود. هیچ یک از آزمودنی ها از مکمل ورزشی یا داروی خاصی تا یک ماه قبل از شروع دوره تحقیق نباید استفاده کرده باشند. همچنین از آن ها خواسته شد هیچ گونه مکمل غذایی یا دارویی از دو هفته قبل از اجرای پروتکل تمرینی مصرف نکند. البته برنامه غذایی ۲۴ ساعت قبل از آزمون ورزشکاران برای جلوگیری از مصرف کافئین، توسط پرسشنامه خود گزارشی و توصیه رژیم غذایی کنترل شد. آب آشامیدنی به صورت آزادانه و به اختیار آزمودنی ها با احساس تشنجی مصرف می گردید. آزمودنی ها در یک جلسه آشنایی با مراحل تمرین و آموزش تکنیک صحیح حرکت شرکت کردند و سه روز پس از آن سنجش حداکثر قدرت پویا انجام گرفت. فاصله آزمون حداکثر قدرت پویا و آزمون اصلی حداکثر یک هفته بود. از آزمودنی ها خواسته شد که هیچ فعالیت ورزشی را ۲۴ ساعت قبل از آزمون اصلی انجام ندهند. برای محاسبه حداکثر ضربان قلب از روش متداول ۲۲۰ منهای سن استفاده گردید. همچنین تغییرات ضربان قلب آزمودنی ها در حین تمرین توسط ساعت ضربان سنج مچی پولار (Polar RCX5 Run Model) با استفاده از فرستنده هیرییدی کنترل شد. حداکثر قدرت پویا در سه حرکت فلکشن آرنج، اکستنشن زانو و پرس خوابیده انجام گرفت. آزمودنی ها هر کدام با حرکات پویا و کشش عضلات در گیر و اجرای چند تکرار از حرکت با حدود ۵۰٪ یک تکرار بیشینه گرم کردند. سپس به دنبال

عوامل رشدی (فاکتور رشد شبه انسولینی)، پروتئین های متصل شونده و گیرنده های اختصاصی است. همه این عوامل نقش مهمی در فرآیندهای حیاتی فیزیولوژیکی رشد و توسعه، سوخت و ساز بدن و بازسازی بافت دارند. هورمون رشد، سنتز فاکتور رشد شبه انسولینی را در کبد تحریک می کند. IGF-1 که به صورت موضعی در بافت تحریک شده، مانند عضله اسکلتی، تولید می شود، مسئول بسیاری از اعمال آنابولیک و رشدی هورمون رشد است. با این حال، هورمون رشد نیز به طور مستقل از IGF-1 در متابولیسم بافت و تمایز عمل می کند (۱۲، ۱۳). با توجه به دامنه گسترده اعمال سوخت و سازی، آنابولیکی و اثرات رشدی محور GH-IGF-1، مطالعه اثرات بالقوه تمرین مقاومتی بر این سیستم بسیار مورد علاقه قرار گرفته است. در کودکان، محور GH-IGF-1 عمدهاً در پاسخ به ورزش های هوایی مورد بررسی قرار گرفته است (۱۳). در پژوهش های مختلف، فعالیت مقاومتی شدت بالا سطوح هورمون رشد را در بزرگسالان افزایش می دهد. به طور مشابه، گزارش شده هورمون رشد به دنبال یک وهله ورزش مقاومتی در نوجوانان (۱۴) و کودکان (۱۵) افزایش می یابد. با این حال، این افزایش همواره مقدار ثابتی نیست. در یک مطالعه Pullinen و همکاران افزایش مشابهی در هورمون رشد پس از نوجوان و بزرگسالان پس از یک جلسه از ورزش مقاومتی نشان دادند (۱۴). با این حال، در یک مطالعه دیگر همان نویسنده اگر افزایش دادند که، طی یک جلسه ورزش مقاومتی و امانده ساز، افزایش هورمون رشد در مردان مشاهده شد، اما در پس از نوجوان این چنین نبود (۷). همچنین پس از یک جلسه تمرین مقاومتی شدت بالا، افزایش IGF-1 در نوجوانان و کودکان پس از مشاهده شده است (۱۳). از طرفی مطالعات مربوط به تاثیر تمرینات مقاومتی کم شدت همراه با محدودیت جریان خون بر هورمون رشد و IGF-1 در بزرگسالان محدود و تقریباً متناقض اند، به طوری که در پژوهشی یک وهله فعالیت ورزشی مقاومتی همراه با محدودیت جریان خون در مردان جوان با شدت $\frac{1}{30}$ منجر به افزایش هورمون رشد، عامل رشد شبه انسولینی شد (۱۶). هر چند در مطالعه ای دیگر عدم تغییر قابل ملاحظه ای در سطوح سرمی IGF-1 پس از تمرینات مقاومتی انسدادی گزارش شد (۱۷). بنابراین با توجه به مطالعه ارائه شده، اولاً نتایج مربوط به محور هورمونی GH-IGF-1 در کودکان در پاسخ به تمرین مقاومتی محدود و دارای تناقض است و اکثر مطالعات در مردان بالغ به اجرا در آمده اند و از طرفی اهمیت تمرینات مقاومتی برای بهبود عملکرد ورزشکاران در سنین رشد به اثبات رسیده است. ثانیاً با توجه به این که تمرینات مقاومتی شدت بالا توسط کودکان در سنین رشد در صورت عدم اجرای تکنیک صحیح، ممکن است با خدمات جیران ناپذیر به دیسک های کمری و صفحات رشد همراه باشد، مطالعه حاضر با هدف مقایسه اثر بخشی تمرینات مقاومتی کم شدت همراه

جیوه (۲۰ میلی متر جیوه کمتر از فشار خون سیستولی) تنظیم کردیم. سپس فرد سه ست پرس سینه روی نیمکت با فاصله استراحتی ۴۵ ثانیه اجرا کرد. تا تمام تمامی ستهای پرس سینه کاف روی بازو بسته ماند (۲۰). پس از تمام حرکت پرس سینه کافها از بازوها باز کردیم و بعد از سه دقیقه استراحت کافها را در قسمت فوقانی پاها بسته و به همین ترتیب حرکت اکستشن زانو را انجام دادند. فشار کاف برای پاها ۱۴۰ میلی متر جیوه بیشتر از فشار خون سیستولی) جیوه بود. دوباره کافها را به بازوها بسته تا فلکشن بازو را انجام دهند.

گروه تمرینی (ج) به عنوان گروه کنترل، همان پروتکل گروه (ب) را اجرا کردند. با این تفاوت که از کاف برای محدود کردن موضعی جریان خون استفاده نکردند.

تجزیه و تحلیل آماری: توزیع داده‌های پیش آزمون با استفاده از آزمون شاپیرو-ویلک بررسی و همگنی واریانس‌ها با آزمون لون مورد بررسی قرار گرفت. به منظور تجزیه و تحلیل یافته‌های تحقیق از آمار توصیفی (شامل میانگین و انحراف استاندارد)، و از آزمون‌های تحلیل واریانس یک راهه برای بررسی تفاوت‌های بین گروهی و از آزمون تی وابسته برای بررسی تفاوت‌های درون گروهی استفاده شد. همچنین درصد تغییرات در هر گروه از مرحله پیش آزمون به پس آزمون محاسبه گردید. کلیه محاسبات آماری با بهره‌گیری از نرم‌افزار SPSS نگارش ۲۱ انجام گرفت.

یافته‌ها

آزمون شاپیرو-ویلک نرمال بودن توزیع داده‌ها را در سه گروه مورد مطالعه در مرحله پیش آزمون نشان داد. همچنین آزمون لون همگنی واریانس‌ها را تایید کرد. نتایج نشان داد که تغییرات درون گروهی هورمون رشد در پاسخ به یک جلسه فعالیت، در گروه‌های تمرین مقاومتی شدت بالا ($P=0.182$)، تمرین مقاومتی انسدادی ($P=0.195$) و کنترل ($P=0.317$) علی‌رغم افزایش تغییر معنی داری را نشان نداد. همچنین تغییرات درون گروهی عامل رشد شبه‌انسولینی-۱ در پاسخ به یک جلسه فعالیت مقاومتی، در گروه‌های تمرین مقاومتی شدت بالا ($P=0.381$) و کنترل ($P=0.574$) عدم افزایش معنی دار و در گروه تمرین مقاومتی انسدادی ($P=0.004$) افزایش معنی داری را نشان داد. در مقایسه بین گروهی، نتایج تحلیل واریانس یک راه عدم اختلاف معنی داری را بین هر سه گروه تمرینی در دو متغیر هورمون رشد ($P=0.195$) و عامل رشد شبه‌انسولینی-۱ ($P=0.831$) نشان داد.

سه دقیقه استراحت افراد در آزمون حداکثر قدرت پویا شرکت کردند. مقدار وزنه توسط آزمودنی و با راهنمایی آزمون گیرنده انتخاب شد. اگر پس از انجام حرکت تا واماندگی، تعداد تکرار از ۵ بیشتر می‌شد به آزمودنی ۵ دقیقه استراحت داده شد و آزمون مجدد با وزنه‌ای سنگین‌تر گرفته شد. آزمون مجدد تا زمانی که تکرارها به زیر ۵ برسرد، انجام شد. حرکاتی شمارش شدند که در دامنه کامل و بدون کمک انجام گیرند. از فرمول برزیسکی برای محاسبه حداکثر قدرت پویا استفاده شد (۵).

{ تعداد تکرارها \times (۰/۰۲۷۸ \times ۰/۰۲۷۸) \times (۱/۰۲۷۸)} / مقدار وزنه= یک تکرار یشینه برای تعیین انسداد نسی، فشار خون افراد در ساعت ۸ تا ۹ صبح به صورت درازکش اندازه گیری شد. فشار نسی انسداد بازو ۲۰ میلی متر جیوه زیر فشار خون سیستولی و فشار نسی انسداد ران ۲۰ میلی متر بالاتر از فشار سیستولی افراد انتخاب شد (۱۸). خون گیری‌ها از ورید کوبیتال میانی در دو مرحله (هر مرحله ۵ دقیقه) برای سنجش هورمون رشد و فاکتور رشد شبه‌انسولینی-سی‌سی) برای سنجش هورمون رشد و فاکتور رشد شبه‌انسولینی-۱ (۰/۳۰ دقیقه قبل و ۳۰ دقیقه بعد از اجرای پروتکل تمرینی) انجام گرفت. و نمونه‌های خونی در آزمایشگاه دانشگاه علوم پزشکی قزوین جهت جداسازی سرم و پلاسمما با سرعت ۳۵۰۰ دور در دقیقه و به مدت ده دقیقه سانتریفیوژ و سپس بخش سرمی آن در دمای منفی ۲۰ درجه سانتی‌گراد فریز گردید. پس از جداسازی پلاسمما براساس دستورالعمل کیت مربوط به شرکت ایمونوتک با حساسیت ۱/۱۰۰۰۰، عمل شد. سنجش مقدار هورمون رشد و فاکتور رشد شبه‌انسولینی-۱ به وسیله روش رادیو ایمونوآسی و دستگاه گاماکانتر صورت گرفت.

پروتکل تمرینی: همه آزمودنی‌ها قبل از انجام تمرین اصلی به مدت ۱۰ دقیقه با شدت ۷۰ درصد حداکثر ضربان قلب روی تردمیل دویلند و سپس با دو سطح چند تکراری با ۴۰ درصد یک تکرار یشینه عضلات در گیر در برنامه تمرینی را گرم کردند و پس از پنج دقیقه استراحت در آزمون شرکت کردند. آهنگ اجرای حرکت برای همه آزمودنی‌ها با سرعت یک ثانیه در بخش برون‌گرای انتباخت و یک ثانیه در بخش درون‌گرای انتباخت بود. افراد به سه گروه، (الف) تمرین مقاومتی شدت بالا (۰/۷۵)، (ب) تمرین مقاومتی شدت پایین (۰/۳۰) همراه با محدودیت جریان خون، (ج) تمرین مقاومتی شدت پایین (۰/۳۰٪) تقسیم شدند. حجم تمرین آزمودنی‌ها (مقدار وزنه جابجا شده در کل جلسه آزمون) برای هر سه گروه تقریباً برابر شد:

$$(۱۰+۱۰+۱۰)\times(۰/۷۵)=۱۵+۱۵+۱۵=۴۵$$

روش اجرا به این صورت بود که فشار سنج مانومتر را روی قسمت فوقانی بازوهای آزمودنی بسته و فشار را روی ۱۰۰ میلیمتر

جدول ۱: برنامه تمرینی گروه‌های مورد مطالعه

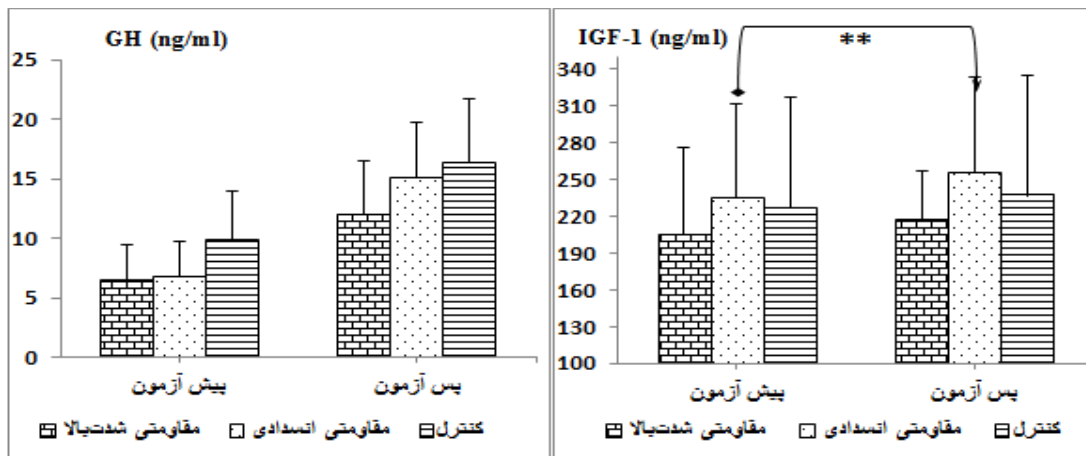
گروه‌ها	حرکت	تعداد سنت	تعداد تکرار	استراحت بین ست	استراحت بین حرکت
گروه الف	پرس سینه نیمکت	۳	۱۰	۲ دقیقه	۵ دقیقه
	اکستنشن زانو	۳	۱۰	۲ دقیقه	۵ دقیقه
	فلکشن بازو	۳	۱۰	۲ دقیقه	۵ دقیقه
گروه ب	پرس سینه نیمکت	۴	۳۰-(۳*۱۵)	۴۵ ثانیه	۳ دقیقه
	اکستنشن زانو	۴	۳۰-(۳*۱۵)	۴۵ ثانیه	۳ دقیقه
	فلکشن بازو	۴	۳۰-(۳*۱۵)	۴۵ ثانیه	۳ دقیقه

جدول ۲: ویژگی‌های فردی آزمودنی‌های مورد مطالعه

گروه	سن(سال)	قد(سانتی متر)	وزن(کیلوگرم)	شاخص توده بدن	تعداد آزمودنی‌ها
مقاومتی شدت بالا	۱۲/۸۹±۱/۲۱	۱۴۳/۱۲±۴/۵۷	۳۵/۱۵±۳/۴۸	۱۶/۹۴±۱/۷۵	۱۲
مقاومتی انسدادی	۱۱/۸۵±۱/۰۲	۱۴۸/۱۲±۴/۱۷	۳۸/۸۹±۳/۷۸	۱۸/۰۳±۱/۱۹	۱۲
کنترل	۱۲/۲۱±۱/۷۷	۱۴۴/۲۰±۶/۲۳	۳۶/۳۱±۴/۱۴	۱۷/۲۳±۱/۶۶	۱۲

جدول ۳: نتایج آزمون‌های تی وابسته (درون گروهی) و تحلیل واریانس یک راهه (بین گروهی) در گروه‌های مختلف تحقیق در مراحل پیش و پس آزمون

P _{گروهی}	f _{گروهی}	درصد تغیرات	P _{درون گروهی}	t _{مقدار}	پس آزمون	پیش آزمون	متغیر	گروه
۰/۱۹۵	۱/۷۳۹	۴۶/۰۴	۰/۱۸۲	-۱/۴۰۲	۱۲۰/۱±۴/۴۸	۶/۴۸±۳/۰۱	مقاومتی شدت بالا	GH (ng/mL)
		۵۵/۰۹	۰/۱۹۵	-۱/۴۴۸	۱۵/۱±۴/۶۲	۶/۷۸±۲/۹۲	مقاومتی انسدادی	
		۳۹/۵	۰/۳۱۷	-۱/۰۵۹	۱۶۳۴±۵/۴۲	۹/۸۷±۴/۰۶	کنترل	
۰/۰۸۱	۰/۱۹۱	۵/۶	۰/۳۸۱	-۲/۳۳۴	۲۱۶/۸۳±۴۰/۶۰	۲۰۴/۹۳±۷۱/۴۹	مقاومتی شدت بالا	IGF-1 (ng/mL)
		۸/۲۷	*۰/۰۰۴	-۱/۱۱۵	۲۵۵/۶±۷۷/۵۱	۲۳۴/۴۶±۷۷/۷۱	مقاومتی انسدادی	
		۴/۳۱	۰/۵۷۴	-۰/۶۶۶	۲۳۶/۸۶±۹۸/۴۹	۲۲۶/۶۳±۸۹/۸۹	کنترل	

*نماینده معنی داری در سطح $P < 0.05$ ** تفاوت معنی دار در سطح $p = 0.004$ در مقایسه با پس آزمون همان گروه (آزمون تی وابسته، درون گروهی).

نمودار ۱. اختلاف میانگین گروه‌های مختلف پژوهش از مرحله پیش آزمون به پس آزمون

بحث

درصد یک تکرار بیشینه به فعالیت ورزشی بپردازند (۴). به تازگی، مطالعات متعدد از افزایش مشابه در حجم عضلانی مردان بالغ در پاسخ به تمرینات مقاومتی انسدادی در مقایسه با تمرینات مقاومتی

تمرين مقاومتی به عنوان موثرترین روش برای افزایش توده عضلانی شناخته شده است. توصیه شده که افراد برای دست یابی به افزایش قدرت و حجم عضلانی با شدتی معادل یا بیشتر از ۶۵

کودکان بسیار دشوار است (۱۲). هورمون رشد به شیوه‌ای ضربانی ترشح می‌شود، که با بالاترین ترشح در هنگام خواب، به خصوص در کودکان همراه است (۱۲). در مردان، یک جلسه ورزش مقاومتی در بعد از ظهر، الگوی ترشح هورمون رشد را در هنگام خواب تحت تاثیر قرار می‌دهد. در حالی که متوسط ترشح هورمون رشد را تغییر می‌دهد، یک نرخ پایین‌تر از ترشح در نیمه اول خواب و نرخ بالاتر از ترشح هورمون رشد در نیمه دوم خواب را به وجود می‌آورد. این می‌تواند یک اثر مستقیم تمرين مقاومتی بر روی ترشح هورمون رشد، یا یک اثر غیر مستقیم بر کیفیت خواب باشد (۲۶). با توجه به اهمیت ترشح هورمون رشد هنگام شب در طول دوران کودکی و نوجوانی، اثرات مختلف تمرين مقاومتی در طول زمان‌های مختلف روز ممکن است اثرات مهم بر کیفیت خواب یا به طور مستقیم در الگوی ترشح هورمون رشد بگذارد (۲۶). به همین ترتیب، ممکن است الگوی ترشح ضربانی هورمون رشد در طور بالقوه حتی رشد خطی را تحت تاثیر قرار دهد؛ با این حال، این اثرات مورد بررسی قرار نگرفته است (۲۶). یافته‌های مطالعه حاضر همسو با پژوهش Pullinen و همکاران (۲۰۱۱) (۷) و Rubin و همکاران (۲۰۱۴) (۱۵)، و ناهمسو Pullinen و همکاران (۲۰۰۲) (۲۰۰۲) بود. عدم افزایش قابل توجه هورمون رشد در پسران نوجوان می‌تواند به علت مقادیر پایه بالاتر، تنوع مشاهده شده در سطوح خونی در نوجوانان مختلف و بار تمرين باشد (۱۵). همچنین در یک وهله ورزش نسبتاً مشابه واحدهای حرکتی نوع II کودکان به میزان کمتر نسبت به بزرگسالان فعال می‌شود، که ممکن است سطح لاكتات به طور معمول کمتر کودکان را توجیح کند. بنابراین، انتظار می‌رود افزایش کمتری در هورمون رشد کودکان، حتی در بار کار بالا مشاهده شود (۲۸). همچنین شدت تمرين نیز در تغییر هورمون رشد موثر است، به طوری که افزایش هورمون رشد در مردان بزرگسال بر اثر یک جلسه ورزش مقاومتی با ۸۵٪ مشاهده شده است، در صورتی که هیچ افزایشی باشد (۲۹). همچنین مطالعاتی که به مقایسه این دو شیوه تمرينی در بزرگسالان پرداخته‌اند، به دنبال یک جلسه تمرين مقاومتی کم شدت (۲۰٪) یک تکرار بیشینه (۱۷٪) همراه با محدودیت جریان خون و تمرين شدت‌بالا (۸۰٪) یک تکرار بیشینه (۱۷٪)، پاسخ GH بزرگتری در در گروه انسدادی گزارش کردند (۲۰).

نتایج تحقیق حاضر افزایش IGF-1 در گروه تمرينی شدت بالا (۲۵/۶درصد)، گروه انسدادی (۲۷/۶درصد) و در گروه کنترل (۴/۳۱درصد) را نشان داد. عامل رشد شبه‌انسولینی (IGF-1) در طول روز نسبتاً پایدار باقی می‌ماند و به طور ویژه در تکثیر سلولی، تمايز و آپوپتوز درگیر می‌شود. مقادیر زیادی از IGF-1 در گردش خون به پروتئین‌های خاص (BP) متصل است و تعامل بین IGF-1 و این پروتئین‌های حامل، اثرات فیزیولوژیک آن را تعیین می‌کند.

شدت بالا حمایت کرده‌اند (۲۰-۲۲). به نظر می‌رسد تمرين مقاومتی شدت‌پایین به همراه محدودیت جریان خون یک جایگزین ایمن و موثر برای تمرينات با شدت بالاتر است، که ممکن است پتانسیل افزایش آسیب و امکان مبتلا شدن به پدیده بیش‌تمرينی را داشته باشد (۲۳). سه مکانیسم اولیه که تصور می‌شود تمرين مقاومتی انسدادی از طریق آن عمل کند: تورم سلولی، افزایش استرس متابولیک، و افزایش فراخوانی تارهای عضلانی است (۲۳). اگر چه مکانیسم تمرين مقاومتی انسدادی کاملاً درک نشده است، ولی پیشنهاد شده که تورم سلول ممکن است از طریق تجمع خون، تجمع متابولیت، و پرخونی واکنشی رخ دهد (۲۳). تصور می‌شود که تورم سلولی باعث فعال شدن گیرنده‌های افزایش حجم سلولی می‌گردد، که ممکن است منجر به تحريك مسیرهای سیگنالینگی مختلف آنابولیک شود (۲۳). پژوهش‌ها همچنین نشان می‌دهد که تمرين مقاومتی شدت‌پایین با محدودیت جریان خون استرس متابولیک را افزایش می‌دهد، در نتیجه منجر به افزایش بیشتر در عوامل رشدی می‌گردد (۲۴). علاوه بر این، تجمع متابولیت‌ها می‌تواند فراخوانی تارهای عضلانی را از طریق تحريك گروه سوم و گروه پنجم اعصاب آوران افزایش دهد (۲۵). از آنجا که اجرای مداوم تمرينات شدید برای برخی از افراد قابل انجام نیست (۶)، این پژوهش با هدف تعیین این که آیا تمرين مقاومتی کم شدت همراه با محدودیت جریان خون می‌تواند یک جایگزین پیشنهادی برای تمرينات مقاومتی شدید باشد، طراحی و اجرا گردید. در نتیجه، مطالعه حاضر عنوان اولین تلاش جهت بررسی اثر حاد تمرين مقاومتی کم شدت همراه با محدودیت جریان خون و مقایسه آن با تمرين مقاومتی شدید بر سطوح هورمون رشد و فاکتور رشد شبه‌انسولینی در آزمودنی‌های نوجوان ۱۰ تا ۱۴ ساله بود.

نتایج تحقیق حاضر بیانگر افزایش در سطوح سرمی GH پس از یک وهله فعالیت ورزشی مقاومتی نسبت به پیش آزمون در گروه‌های تمرينی مقاومتی شدت بالا (۴۶/۰۴)، مقاومتی انسدادی (۵۵/۰۹) و کنترل (۳۹/۵ درصد) بود. ترشح هورمون رشد تحت تاثیر تعديل کننده‌های متعدد (کاتکول آمین‌ها، کورتیزول، گلوكز، وغیره) و همچنین با ورزش قرار می‌گیرد (۱۲). پاسخ هورمون رشد به ورزش و اثرات آن ممکن است تحت تاثیر تغیرات حساسیت گیرنده، تعامل اتصال با پروتئین‌ها، تغییرات در دیگر ایزوفرم هورمون رشد، و همچنین تغییر در پتانسیل IGF-1 باشد. علاوه بر این، هورمون رشد در یک الگوی ضربانی هورمون می‌شود، به خصوص در طول سال‌های در حال رشد ترشح این هورمون در اوچ خودش است. در واقع، ترشح ضربانی هورمون رشد برای شتاب دادن به نرخ رشد در دوران بلوغ ضروری است (۱۲). بنابراین، هورمون رشد یک مجموعه هورمونی است که به علت طبیعت ضربانی آن، تفسیر سطح آن در خون، بهویژه در

ورزشکاران جوان می‌توانند برای جلوگیری از بروز مشکلات وابسته، از این شیوه تمرینی بهره ببرند.

قدرتمندی

این مقاله متوجه از پایان‌نامه کارشناسی ارشد گرایش فیزیولوژی ورزشی با شماره ۳۰۵۲۹۹ دانشگاه تهران است که بدین‌وسیله از هیئت ژیمناستیک شهر قروین و کلیه کسانی که در انجام این پژوهش به ما یاری رساندند، تقدیر و تشکر می‌گردد.

منافع متقابل

مؤلفان اظهار می‌دارند که منافع متقابلی از تالیف یا انتشار این مقاله ندارند.

مشارکت مؤلفان

س، ج؛ ع، ا و همکاران طراحی، اجرا و تحلیل نتایج مطالعه را بر عهده داشته و همچنین مقاله را تالیف نموده و نسخه نهایی آن را خوانده و تایید کرده‌اند.

ملاحظات اخلاقی

شامل نمی‌شود.

منابع مالی

ندارد.

مستقل از هورمون رشد، افزایش IGF-1 ناشی از ورزش نیز پس از ورزش هوایی و بی‌هوایی در کودکان و نوجوانان دیده می‌شود (۱۳). نتایج این پژوهش با مطالعات Takano و همکاران (۲۰۰۵) (۱۶)، Eliakim و همکاران (۲۰۱۳) (۱۳)، Hemosu و با گزارش Manini و همکاران (۲۰۱۲) (۱۷)، Nahemso بود. بیان شده ورزش حاد منجر به افزایش IGF-1 می‌شود ولی اگر ورزش به اندازه کافی شدید باشد ممکن است با عدم تغییر یا کاهش همراه باشد. افزایش آنی ممکن است در نتیجه رها شدن آن از ذخایر در دسترس تر و ترشح موضعی از عضلات فعال، از طریق مکانیسم پاراکرین یا اتوکرین باشد. سطوح خونی ممکن است نشان دهنده اثرات ورزش بر IGF-1 باشد و لزوماً با سایر عوامل رشدی مربوط نباشد (۱۳)؛ بنابراین، عوامل متعددی در ترشح و آزادسازی عامل رشد شبه انسولینی-۱ در خون موثر است و تحلیل نتایج را دشوار می‌گردد.

نتیجه‌گیری

به‌طور کلی نتایج تحقیق حاضر نشان داد که یک و هله فعالیت مقاومتی کم‌شدت همراه با محدودیت جریان خون تاثیر به نسبت مشابهی با تمرینات مقاومتی شدت بالا بر سطوح سرمی GH و تاثیر بیشتری بر IGF-1 دارد و به همین دلیل، جهت سازگاری‌های هایپرتروفیک ناشی از GH و IGF-1، بهبود در عملکرد عضلانی متعاقب با آن، همانند تمرینات مقاومتی شدت بالا مناسب به نظر می‌رسد. از طرفی با توجه به احتمال بروز آسیب‌های ناشی از تمرین با وزنه‌های سنگین به علت تکنیک‌های نادرست و لیفت‌های پرتابی به دیسک‌های کمری و صفحات رشد،

References

- Lee S, Deldin A R, White D, Kim Y, Libman I, Rivera-Vega M, et al. Aerobic exercise but not resistance exercise reduces intrahepatic lipid content and visceral fat and improves insulin sensitivity in obese adolescent girls: a randomized controlled trial. *Am J Physiol Endocrinol Metab* 2013; **305**(10): 1222-1229. doi: 10.1152/ajpendo.00285.2013
- Faigenbaum A D, Kraemer W J, Blimkie C J, Jeffrey's I, Micheli L J, Nitka M, et al. Youth resistance training: updated position statement paper from the national strength and conditioning. *J Strength Cond Res* 2009; **23**(5): 60-79. doi: 10.1519/JSC.0b013e31819df407
- Young W K, Metzl J D. Strength training for the young athlete. *Pediatr Ann* 2010; **39**(5): 293-299. doi: 10.3928/00904481-20100422-10
- American College of Sports Medicine. American College of Sports Medicine position stand. Progression models in resistance training for healthy adults. *Med Sci Sports Exerc* 2009; **41**(3): 687-708. doi: 10.1249/MSS.0b013e3181915670
- Dahab K S, McCambridge T M. Strength training in children and adolescents: raising the bar for young athletes?" *Sports Health* 2009; **1**(3): 223-226. doi: 10.1177/1941738109334215
- Lees F D, Clark P G, Nigg C R, Newman P. Barriers to exercise behavior among older adults: a focus-group study. *J Aging Phys Act* 2005; **13**(1): 23-33. doi: 10.1123/japa.13.1.23
- Pullinen T, Mero A, Huttunen P, Pakarinen A, Komi P V. Resistance exercise-induced hormonal response under the influence of delayed onset muscle soreness in men and boys. *Scand J Med Sci Sports* 2011; **21**(6): 184-194. doi: 10.1111/j.1600-0838.2010.01238.x
- Scott B R, Loenneke J P, Slattery K M, Dascombe B J. Blood flow restricted exercise for athletes: A review of available evidence. *J Sci Med Sport* 2015; **19**(5): 360-367. doi: 10.1016/j.jams.2015.04.014
- Abe T, Loenneke J P, Fahs C A, Rossow L M, Thiebaud R S, Bemben M G. Exercise intensity and muscle hypertrophy in blood flow-restricted limbs and non-restricted muscles: a brief review. *Clinical*

- physiology and functional imaging* 2012; **32**(4): 247-252. doi: 10.1111/j.1475-097X.2012.01126.x
10. Mohamadi Sh, Khoshdel A, Naserkhani F, Mehdizadeh R. The Effect of Low- Intensity Resistance Training with Blood Flow Restriction on Serum Cortisol and Testosterone Levels in Young Men. *J Arch Mil Med* 2015; **3**(3): 283-296. doi: 10.5812/jamm.28306
 11. Doessing S, Holm L, Heinemeier K M, Feldt-Rasmussen U, Schjerling P, Qvortrup K, et al. GH and IGF1 levels are positively associated with musculotendinous collagen expression: experiments in acromegalic and GH deficiency patients. *Eur J Endocrinol* 2010; **163**(6): 853-862. doi: 10.1530/EJE-10-0818
 12. Kraemer W J, Nindl B C, Gordon S E. *Resistance exercise: acute and chronic changes in growth hormone concentrations*. In: *The Endocrine System in Sports and Exercise*, Vol. XI, WJ Kraemer and AD Rogol (Eds.). Malden, MA: Blackwell Pub. 2006; PP: 110-121. doi: 10.1002/9780470757826.ch9
 13. Eliakim A, Nemet D. The endocrine response to exercise and training in young athletes. *Pediatr Exerc Sci* 2013; **25**(4): 605-615. doi: 10.1123/pes.25.4.605
 14. Pullinen T, Mero A, Huttunen P, Pakarinen A, Komi P V. Resistance exercise-induced hormonal responses in men, women, and pubescent boys. *Med Sci Sports Exerc* 2002; **34**(5): 806-813. doi: 10.1097/00005768-200205000-00013
 15. Rubin D, Castner D, Pham H, Ng J, Adams E, Judelson D. Hormonal and metabolic responses to a resistance exercise protocol in lean children, obese children and lean adults. *Pediatr Exerc Sci* 2014; **26**(4): 444-453. doi: 10.1123/pes.2014-0073
 16. Takano H, Morita T, Iida H, Asada K, Kato M, Uno K, et al. Hemodynamic and hormonal responses to a short-term low-intensity resistance exercise with the reduction of muscle blood flow. *Eur J Appl Physiol* 2005; **95**(1): 65-73. doi: 10.1007/s00421-005-1389-1
 17. Manini T M, Yarrow J F, Buford T W, Clark B C, Conover C F, Borst S E. Growth hormone responses to acute resistance exercise with vascular restriction in young and old men. *Growth Horm IGF Res* 2012; **22**(5): 167-172. doi: 10.1016/j.ghir.2012.05.002
 18. Dorneles G P, Colato A S, Galvão S L, Ramis T R, Ribeiro J L, Romão P R, et al. Acute response of peripheral CCR5 chemoreceptor and NK cells in individuals submitted to a single session of low intensity strength exercise with blood flow restriction. *Clin Physiol Funct Imaging* 2015; **36**(4): 311-317. doi: 10.1111/cpf.12231
 19. Fahs C A, Loenneke J P, Rossow L M, Thiebaud R, Bemben M G. Methodological considerations for blood flow restricted resistance exercise. *Journal of Trainology* 2012; **1**(14): 14-22. doi: 10.17338/trainology.1.1_14
 20. Abe T, Yasuda T, Midorikawa T, Sato Y, Kearns C F, Inoue K, et al. "Skeletal muscle size and circulating IGF-1 are increased after two weeks of twice daily KAATSU resistance training". *Int J Kaatsu Training Res* 2005; **1**(4): 6-12. doi: 10.3806/ijktr.1.6
 21. Takarada Y, Sato Y, Ishii N. Effects of resistance exercise combined with vascular occlusion on muscle function in athletes. *Eur J Appl Physiol* 2002; **86**(4): 308-314. doi: 10.1007/s00421-001-0561-5
 22. Takarada Y, Tsuruta T, Ishii N. Cooperative effects of exercise and occlusive stimuli on muscular function in low-intensity resistance exercise with moderate vascular occlusion. *Jpn J Physiol* 2004; **54**(6): 585-592. doi: 10.2170/jjphysiol.54.585
 23. Loenneke J P, Fahs C A, Rossow L M, Abe T, Bemben M G. The anabolic benefits of venous blood flow restriction training may be induced by muscle cell swelling. *Med Hypotheses* 2012; **78**: 151-154. doi: 10.1016/j.mehy.2011.10.014
 24. Loenneke J P, Abe T, Wilson J M, Thiebaud R S, Fahs C A, Rossow L M, et al. Blood flow restriction: An evidence based progressive model. *Acta Physiol Hung* 2012; **99**: 235-250. doi: 10.1556/APhysiol.99.2012.3.1
 25. Yasuda T, Abe T, Brechue W F, Iida H, Takano H, Meguro K, et al. Venous blood gas and metabolite response to low-intensity muscle contractions with external limb compression. *Metabolism J* 2010; **59**: 1510-1519. doi: 10.1016/j.metabol.2010.01.016
 26. Nindl B C, Hymer W C, Deaver D R, Kraemer W J. Growth hormone pulsatility profile characteristics following acute heavy resistance exercise. *J Appl Physiol* 2001; **91**(1): 163-172. doi: 10.1152/jappl.2001.91.1.163
 27. Kraemer W J, Ratamess N A. Hormonal responses and adaptations to resistance exercise and training. *Sports Med* 2005; **35**(4): 339-361. doi: 10.2165/00007256-200535040-00004
 28. Dotan R, Ohana S, Bediz C, Falk B. Blood lactate disappearance dynamics in boys and men following exercise of similar and dissimilar peak-lactate concentrations. *J Pediatr Endocrinol Metab* 2003; **16**(3): 419-429. doi: 10.1515/jpem.2003.16.3.419
 29. Vanhelder W P, Radomski M W, Goode R C. Growth hormone responses during intermittent weight lifting exercise in men. *Eur J Appl Physiol Occup Physiol* 1984; **53**(1): 31-34. doi: 10.1007/BF00964686
 30. Reeves G V, Kraemer R R, Hollander D B, Clavier J, Thomas C, Francois M, et al. Comparison of hormone responses following light resistance exercise with partial vascular occlusion and moderately difficult resistance exercise without occlusion. *J Appl Physiol* 2006; **101**: 1616-1622. doi: 10.1152/japplphysiol.00440.2006

Original Article

Effect of aerobic exercise training along with omega-3 supplementation on CRP and IL-6 in obese older women

Saber Saedmocheshi^{1*}, Lofollah Saed², Ayoub Saiedi³, Zakaria Vahabzade^{4}

¹phd Student in Sport Biochemistry and Metabolism, Faculty of Physical Education, University of Birjand, Iran

²Faculty of Medicine, Kordestan University of Medical Sciences, Kordestan, Iran

³Phd Student in Sport Biochemistry and Metabolism, Faculty of Physical Education, University of Mazandaran, Iran

⁴Liver & Digestive Research Center, Department of Biochemistry, Faculty of Medicine, Kordestan University of Medical Sciences, Kordestan, Iran

*Corresponding author; E-mail: Physical2012@yahoo.com

Received: 26 July 2017 Accepted: 4 November 2017 First Published online: 7 September 2019

Med J Tabriz Uni Med Sciences Health Services. 2019 October- November; 41(4):49-55

Abstract

Background: lack of mobility has an important role in the development of obesity in the elderly population. The purpose of this study was to investigate the effect of regular aerobic exercise and omega-3 supplementation on serum levels of CRP and IL-6 in elderly women were obese.

Methods: In a double-blind study, 40 obese women ($BMI \geq 30$) 61.65 ± 7.42 years old were selected as easily-accessible way and randomly categorized into 4 groups of 10 subjects an exercise, supplementation, exercise – supplementation (combination), and placebo (control) groups. Subjects in the supplement and combination groups consumed 2080 mg omega-3 supplement daily for 8 weeks and control groups used sunflower oil as placebo produced in Zachariah Company. Exercise program included aerobic activity at 45 to 55 percent of maximum heart rate for 8 weeks, 40 minute and 3 sessions per week. Blood samples before and 24 hours after the training period in the fasting state were collected. Data analysis was done by paired-t test and two-way ANOVA test using SPSS software (version 16).

Results: Statistical test results showed that the concentration of IL-6 and CRP were significantly decreased in the groups of exercise with supplements ($p<0.05$).

Conclusion: The result of this study, carried out 8 weeks of aerobic training with omega-3 supplementation improves the inflammatory status Caused by exercise training combined with omega 3.

Keyword: Obese Older Women, Aerobic Exercise, Fatty Acid Omega -3, IL-6, CRP

How to cite this article: Saedmocheshi S, Saed L, Saiedi A, Vahabzade Z. [The effect of aerobic exercise training along with omega-3 supplementation on CRP and IL-6 in obese older women of sanandaj]. Med J Tabriz Uni Med Sciences Health Services. 2019 October- November; 41(4):49-55. Persian.

مقاله پژوهشی

تأثیر مکمل امگا-۳ و هشت هفته تمرين هوایی منظم بر برخی عوامل التهابی در زنان سالمند چاق

صابر ساعده‌موچشی^{۱*}، لطف الله ساعد^۲، ایوب سعیدی^۳، ذکریا وهاب زاده^۴

دانشجوی دکتری بیوشیمی و متابولیسم ورزشی، دانشکده تربیت بدنی، دانشگاه بیرجند، بیرجند، ایران
دانشجوی دکتری بیوشیمی و متابولیسم ورزشی، دانشکده تربیت بدنی، دانشگاه سمنان، سمنان، ایران
دانشجوی دکتری بیوشیمی و متابولیسم ورزشی، دانشکده تربیت بدنی، دانشگاه مازندران، مازندران، ایران
مرکز تحقیقات گوارش، گروه بیوشیمی بالینی، دانشگاه علوم پزشکی کردستان، ستندج، ایران
نویسنده مسؤول؛ ایمیل: Physical2012@yahoo.com

دریافت: ۱۳۹۶/۵/۴ پذیرش: ۱۳۹۶/۸/۱۳ انتشار پرخط: ۱۳۹۷/۶/۱۶
مجله پژوهشی دانشگاه علوم پزشکی و خدمات بهداشتی - درمانی تبریز. مهر و آبان ۱۳۹۸؛ ۴۱(۴):۵۵-۴۹.

چکیده

زمینه: عدم تحرک نقش مهمی در بروز چاقی در جمعیت سالمند دارد. بنابراین، هدف از تحقیق حاضر بررسی تأثیر تمرين منظم هوایی و مصرف مکمل امگا-۳ بر سطوح CRP (C-Reactive protein) و IL-6 (انترلوکین-۶) سرم در زنان سالمند چاق بود.

روش کار: در یک مطالعه دو سویه کور، ۴۰ زن چاق ($BMI \geq ۳۰$) با میانگین سنی $۶۱/۶۵ \pm ۷/۴۲$ سال به صورت نمونه‌ی در دسترس انتخاب شده و به طور تصادفی در ۴ گروه ۱۰ نفری تمرين، مکمل، تمرين - مکمل (ترکیبی) و دارونما (کترل) قرار داده شدند. آزمودنی‌های گروه‌های مکمل و ترکیبی روزانه ۲۰ میلی گرم امگا-۳، و آزمودنی‌های گروه کترل نیز از شبه داروی روغن آفتاگرگران تولیدی شرکت زکریا به مدت ۸ هفته مصرف کردند. برنامه‌ی تمرينی شامل تمرينات هوایی با شدت ۴۵ تا ۵۵ درصد ضربان قلب بیشینه به مدت ۸ هفته، ۴۰ دقیقه و ۳ جلسه در هفته اجرا شد. نمونه‌های خونی آزمودنی‌ها قبل از شروع دوره در وضعیت ناشتا و ۲۴ ساعت پس از تمام تمرينات جمع‌آوری شدند. تحلیل داده‌ها توسط آزمون تی همبسته و آنالیز واریانس دوراهه با استفاده از نرم‌افزار SPSS نسخه ۱۶ انجام گردید.

یافته‌ها: نتایج آزمون آماری نشان داد که گلاظت IL-6 و CRP در گروه‌های تمرين همراه با مصرف مکمل کاهش معناداری پیدا کرد ($P < 0.05$). نتیجه گیری: بر طبق نتایج پژوهش حاضر، انجام ۸ هفته تمرين هوایی به همراه مصرف مکمل امگا-۳ سبب بهبود وضعیت التهابی بدن ناشی از تمرين هوایی در ترکیب با مکمل امگا-۳ شد.

کلید واژه‌ها: زنان سالمند چاق، تمرين هوایی، اسید چرب امگا-۳، CRP، IL-6.

نحوه استناد به این مقاله: ساعده‌موچشی ص، ساعده ل، سعیدی ا، وهاب زاده ذ. تأثیر مکمل امگا-۳ و هشت هفته تمرين هوایی منظم بر برخی عوامل التهابی در زنان سالمند چاق. مجله پژوهشی دانشگاه علوم پزشکی و خدمات بهداشتی - درمانی تبریز. ۱۳۹۸؛ ۴۱(۴):۵۵-۴۹.

حق تألیف برای مؤلفان محفوظ است.
این مقاله با دسترسی آزاد توسط دانشگاه علوم پزشکی و خدمات بهداشتی - درمانی تبریز تحت مجوز کریپتو کامنز (Creative Commons License) آزاد است. (http://creativecommons.org/licenses/by/4.0)
متشر شده که طبق مفاد آن هرگونه استفاده تنها در صورتی مجاز است که به اثر اصلی به نحو مقتضی استناد و ارجاع داده شده باشد.

مقدمه

آزمودنیهای انسان به التهاب پاسخ نشان دهد، هنوز ناشناخته است (۱۹). جدیدترین مقالات نیز اشاره دارند که هنوز هیچ روش درمانی موثری در جلوگیری یا کاهش علائم التهاب معرفی نشده است و این امر می‌تواند به علت عدم درک صحیح از عارضه باشد. بنابراین، هدف از انجام این تحقیق بررسی اثرات ترکیبی تمرین هوایی متخب و مصرف مکمل امگا-۳ بر شاخص‌های التهابی در زنان سالمند چاق بود.

روش کار

مطالعه حاضر از نوع نیمه‌تجربی پیش‌آزمون - پس‌آزمون با گروه کنترل می‌باشد. آزمودنی‌های این پژوهش از زنان غیر فعال ۹۴-۵۵ ساله عضو خانه سالمندان شهرستان سنتدج در سال ۹۴ بودند که در طی دو سال قبل سابقه‌ی هیچ گونه فعالیت ورزشی منظمی نداشتند. این افراد به شیوه‌ی نمونه در دسترس از خانه سالمندان انتخاب شدند. تعداد کل زنان سالمند این مرکز ۵۰ نفر بودند که بر اساس جدول مورگان تعداد ۴۴ نفر باید انتخاب می‌شدند، اما چون ملاک انتخاب آزمودنی‌ها به عنوان افراد چاق براساس تعریف سازمان بهداشت جهانی افرادی با درصد چربی بدنی بالای ۲۵ بود (۲۰)، فقط ۴۰ نفر این تعداد قابلیت شرکت در پژوهش را داشتند. در جلسه‌ای با حضور مدیریت، پزشک و پرستاران مرکز سالمندان و نیز همه آزمودنی‌ها، اهداف و روش اجرای تحقیق تشریح و به همه افراد دعوت‌نامه‌ای شامل هدف و چگونگی اجرای پژوهش، فرم رضایت‌نامه و شرکت‌داوطلبانه، پرسشنامه‌ی سلامت و ریسک بیماری داده شد. زنان شرکت‌کننده فاقد هرگونه عالیم ظاهری و بالینی بیماری‌های قلبی - عروقی، دیابت و پرفسارخونی بودند و سابقه‌ی مصرف هیچ گونه داروی خاص، مکمل غذایی و دارویی را نداشتند (۲۱) اطلاعات تن سنجی مربوط به آزمودنی‌ها در جدول ۱ رائه شده است.

پرتوکل تحقیق

آزمودنی‌ها در قالب طرح نیمه تجربی چند گروهی دوسویه کور و به صورت تصادفی در ۴ گروه ۱۰ نفری تمرین، مکمل، ترکیبی و کنترل تقسیم شدند. آزمودنی‌های گروه مکمل و ترکیبی روزانه (صبح و شب) ۲۰۸۰ میلی گرم مکمل امگا-۳-به صورت دو کپسول (EPA ۳۱۰ و DHA ۲۱۰) با مارک (Viva Omega - 3) مربوط به کاهش Fish Oil (F) ساخت کشور کانادا به مدت ۸ هفته مصرف کردند. گروه پالاسبو نیز از دارونمای تولید شرکت زکریا که ۲۱۰۰ میلی گرم روغن آفتابگردان حاوی ۱۲ درصد اسید چرب اشباع، ۱۶ درصد اسید چرب غیر اشباع با یک باند دوگانه و ۷۱ درصد اسید چرب غیر اشباع با چند باند دوگانه و از نظر ظاهری کاملاً مشابه با کپسول‌های امگا-۳-بود را مصرف کردند (۲۱). Atavia و همکاران داده‌های لازم در زمینه‌ی دریافت غذایی آزمودنی‌ها با استفاده از یادآمد ۲۴ ساعته‌ی خوراک (دو روزکاری و یک روز تعطیل هفته، جهت تعیین میانگین مواد مغذی دریافتی) آزمودنی‌ها

چاقی یکی از بیماری‌های می‌باشد که به صورت یک ایدمی چند بعدی تمام کشورهای توسعه یافته و پیشرفته را تحت تاثیر خود قرار داده، و در طی چند دهه گذشته نسبت به سایر بیماری‌ها نمود بیشتری داشته است. بر طبق اعلام سازمان بهداشت جهانی، چاقی به صورت توده چربی زیاد در بدن نمایان می‌باشد که می‌تواند بر سلامتی اثر بگذارد و سبب توزیع نامتعادل انرژی در بدن می‌شود و با افزایش ذخایر چربی بدن همراه می‌باشد. فرایند چاق شدن با التهاب مزمن در بافت چربی و افزایش سایتوکاین‌های التهابی در جریان گردش خون همراه می‌باشد (۱-۴).

التهاب، پاسخی فیزیولوژیک به محركهای گوناگون مثل عفونت، جراحات بافتی و ترومای بدنی است که با تجمع لکوستیها در جایگاههای التهاب، اتساع عروقی و افزایش نفوذنیزیری عروق همراه می‌باشد. این فرایند با تغییر در میزان پروتئینهای پلاسمای مشخص می‌شود (۶۰-۶۵٪). محققان در مورد سبب شناسی این بیماریها دو دسته عوامل خطرزا را مسئول می‌شناسند: دسته‌ی اول عواملی که طی سالها مورد پژوهش قرار گرفته‌اند از جمله هایپرلیپیدمی، دیابت، سیگار و سابقه خانوادگی بیماری قلبی و دسته دوم عواملی که به تازگی مورد توجه قرار گرفته‌اند و شاخص‌های التهابی جدیدی هستند که زمینه‌ساز بیماریهای قلبی - عروقی می‌باشند، شامل هموسیستین، فیرینوژن، هاپتوگلوبین، سایتوکاین‌ها، آمیلوبلید A سرم، CRP و مولکول چسبان سلولی مثل sICAM-1 و sVCAM-1 (۶۰-۶۷٪). این التهاب مزمن مرتبط با چاقی می‌تواند منجر به گسترش مقاومت انسولین، بیماری‌های کرونری قلب، سرطان، هایپرلیپیدمی و بیماری‌های سندروم متابولیک شود (۹-۱۱). بهر حال، مداخلات ضد التهابی می‌توانند در درمان چاقی کمک کننده باشد (۱۲ و ۱۳). اثر فعالیت ورزشی بر سطوح شاخص‌های Huerta‌الهای، در پژوهش‌های متعددی بررسی شده است. مطالعه و همکاران نشان می‌دهد که مداخله‌ی ورزش استقامتی به کاهش شاخص‌های التهابی منجر می‌شود. برخی از کارشناسان تغذیه معتقدند که اسید چرب امگا-۳ باعث بهبودی علائم التهاب می‌شود. امگا-۳ از خانواده‌ی ضروری اسیدهای چرب غیر اشباع است که توسط بدن ساخته نمی‌شود و باید آن را از طریق تغذیه وارد بدن کنیم (۱۴). نقش دقیق اسید چرب امگا-۳ در سلامت انسانها هنوز به طور دقیق شناخته نشده است. مدارکی وجود دارد که امگا-۳ یک نقش مهم در تکامل مغز و عملکرد آن، کاهش التهاب و کاهش خطر بیماری حاد دارد (۱۶ و ۱۵٪). پژوهشگران معتقدند که مکمل اسید چرب امگا-۳ می‌تواند سطوح سایتوکاین‌های التهابی سرم را کاهش دهد و تحمل ورزشی را افزایش دهد (۱۷ و ۱۸٪). از جمله در مطالعه‌ای که توسط راسیک و همکاران انجام گرفت مشخص شد که تجویز روزانه ۲/۴ گرم اسیدهای چرب EPA و DHA به بیماران همودیالیزی در مدت ۸ هفته سبب کاهش معنی دار فاکتورهای التهابی TNF- α ، IL-6 و فیرینوژن می‌شود (۱۶٪). مکانیسمی که نشان دهنده چگونگی ترکیب تمرین ورزشی با مکمل روغن ماهی روی

شدن، نمونه‌ها سانتریفیوژ شده و سرم حاصل جهت اندازه گیری سطح سرمی ۶-۶ و CRP مورد استفاده قرار گرفت. سطح سرمی ۶-۶ توسط روش الایزای ساندویچی و با استفاده از کیت انسانی شرکت فرانسوی (Diacalone, Besancon, France) اندازه گیری شد. حساسیت روش ۲ پیکوگرم در میلی لیتر و ضریب تغییرات درون آزمونی ۵ درصد بود. سطح سرمی CRP نیز توسط روش الایزای ساندویچی و با استفاده از کیت انسانی شرکت آمریکایی (Monobind Inc, Lake Forest, USA) اندازه گیری شد. حساسیت روش ۰/۲ میکروگرم در میلی لیتر و ضریب تغییرات درون آزمونی ۴ درصد بود. در راستای تجزیه و تحلیل داده‌ها، ابتدا برای آزمون فرض طبیعی بودن توزیع متغیرها از آزمون کولموگروف اسمیرنوف و برای توصیف اهداف توصیفی مانند وزن و قد و مصرف اکسیژن مصرفی و نسبت دور کمر به باسن از میانگین و انحراف معیار استفاده شد. در مدل خطی عمومی از آزمون آنالیز واریانس دوراهه برای تعیین اثر متقابل دو عامل تمرين و مکمل بر متغیرهای پژوهشی استفاده شد. در صورت معناداری تست آنالیز واریانس از آزمون تعیینی بون فرونوی جهت تعیین تفاوت‌های بین-گروهی استفاده شد. جهت تعیین تفاوت موجود بین مقادیر پیش-آزمون با پس آزمون در هر گروه نیز از آزمون تی همبسته استفاده شد. سطح معناداری نیز در سطح خطای الگای ۵ درصد ($P < 0.05$) در نظر گرفته شد.

یافته‌ها

با توجه به آزمون آنالیز واریانس یک‌طرفه مشخص شد که بین شاخص‌های وزن، سن، قد و BMI آزمودنی‌های ۳ گروه اختلاف معنادار آماری وجود ندارد ($P > 0.05$) که در جدول ۱ نشان داده شده است.

به دست آوردن. بدین صورت که از تمامی افراد خواسته شد تمام خوردنی‌ها و آشامیدنی‌هایی را که در طی ۲۴ ساعت گذشته مصرف کرده بودند، ذکر کنند. جهت کمک به افراد برای یادآوری دقیق‌تر مقادیر مواد غذایی خورده شده، از ظروف و پیمانه‌های خانگی استفاده شد. این پرسش‌نامه برای هر یک از آزمودنی‌ها در ۲۴ نوبت غیر متوالی (هفت‌های ۳ بار در طول ۸ هفته) تکمیل شد. مقادیر ذکر شده‌ی غذاها با استفاده از راهنمای مقیاس‌های خانگی به گرم تبدیل شدند (۲۲). سپس هر غذا طبق دستورالعمل برنامه‌ی نرم افزار کامپیوتری پردازش غذا کدگذاری شد و جهت ارزیابی انرژی و مواد مغذی آنها؛ توسط کارشناسان تغذیه مورد تجزیه و تحلیل قرار گرفت (۲۳). برنامه‌ی تمرين هوایی شامل ۸ هفته به صورت سه جلسه در هفته با شدتی بین ۴۵ تا ۵۵ درصد ضربان قلب بیشینه آزمودنیها بود. تمرينات با شدت ۳۵ درصد در هفته‌ی اول شروع و در نهایت به ۵۵ درصد در هفته‌ی هشتم رسید. هر جلسه تمرين شامل ۱۰ دقیقه گرم کردن با حرکات کششی، چرخشی و جهشی (ساختار اصلی تمرين از ۱۰ دقیقه در اولین جلسه تا ۴۵ دقیقه در آخرین جلسه) و ۱۰ دقیقه سرد کردن با حرکات کششی و دوی نرم بود (۲۱). ضربان قلب بیشینه برای هر آزمودنی با استفاده از فرمول ۲۰۰ منهای سن محاسبه شد (۲۰). با استفاده از ساعت پولار (مدل پوکس ۱۰۰۰ ساعت کشور ژاپن) نیز ضربان قلب آزمودنی‌ها کنترل می‌شد. نمونه گیری خون در دو مرحله (۲۴ ساعت قبل از اولین جلسه تمرين و ۴۸ ساعت پس از آخرین جلسه تمرين) در ساعت ۷ تا ۸ صبح، متعاقب ۱۰ تا ۱۲ ساعت ناشایی انجام گرفت. قبل از هر نوبت خون‌گیری، آزمودنی‌ها چند دقیقه در حالت نشسته به استراحت پرداختند و سپس از ورید بازویی آنها ۱۰ میلی لیتر خون گرفته شد (۵). نمونه‌های خونی در لوله‌های آزمایشی بدون ماده ضد انعقادی ریخته شد و پس از لخته

جدول ۱: میانگین مقادیر تغییرات پیش آزمون - پس آزمون متغیرهای تن سنجی در چهار گروه تحقیق.

متغیر	تمرين- مکمل (ترکیبی)			
	تمرين	مکمل (ترکیبی)	تمرين- مکمل (کنترل)	دارونما (کنترل)
	گروه ورزش - مکمل	گروه ورزش - مکمل	مکمل	دارونما (کنترل)
سن (سال)	۶۱/۶۵±۷/۴۲	۶۰/۷۱±۴/۸۱	۵۹/۶۶±۴/۳۹	۶۰/۳۸±۵/۳۳
قد (سانتی متر)	۱۶۲/۲۵±۷/۴۴	۱۵۹/۲۵±۴/۲۶	۱۵۸/۹۵±۴/۹۹	۱۵۹/۶۶±۶/۴۶
وزن (کیلو گرم)	۸۷/۷۸±۵/۴۱	۸۴/۹۴±۶/۲۲	۸۵/۳۶±۵/۱۲	۸۷/۴۲±۴/۱۳
درصد چربی بدنی	۸۴/۹۴±۵/۲۱ [#]	۸۲/۳۹±۴/۴۱ [#]	۸۴/۲۱±۴/۱۳	۸۹/۴۸±۵/۴۱
شاخص توده‌ی بدنی	۳۳/۷۸±۳/۶۰	۳۲/۶۸±۳/۵۹	۳۰/۶۲±۴/۰۷	۳۱/۰۳±۲/۹۶
کیلو گرم بر متر مربع (کیلو گرم بروزنه بیشینه)	۲۹/۲۱±۵/۰۴ [#]	۳۰/۱۲±۴/۲۲ [#]	۲۹/۲۴±۵/۱۲	۳۲/۱۶±۴/۳۵
(میلی لیتر به ازای کیلو گرم وزن بدن در دقیقه)	۲۲/۵۶±۲/۳۷	۲۲/۸۱±۲/۱۰	۲۲/۲۴±۳/۶۷	۲۲/۲۰±۲/۳۳
دور کمر (سانتی متر)	۱۱۲/۲۵±۴/۸	۱۱۰/۲۰±۶/۲	۱۰۹/۰۹±۴/۹	۱۱۰/۶۸±۵/۸
نسبت دور کمر به لگن	۱/۰۹±۰/۳	۱/۰۸±۰/۵	۱/۰۸±۰/۴	۱/۰۲±۰/۴
	۱/۰۱±۰/۱ [#]	۱/۰۱±۰/۳ [#]	۱/۰۷±۰/۴	۱/۰۳±۰/۵

ق: مقادیر پیش آزمون، ب: مقادیر پس آزمون؛ مقادیر به شکل انحراف معیار ± میانگین بیان شده است.

[#] معناداری نسبت به مقادیر پیش آزمون در هر گروه ($P < 0.05$).

جدول ۲: مقایسه متغیرهای بیوشیمیایی بین گروههای مورد مطالعه

متغیرها	گروههای مورد مطالعه
CRP (میکرو گرم در میلی لیتر)	تمرین - مکمل
	تمرین - دارونما
	مکمل
	دارونما
IL-6 (پیکوگرم در میلی لیتر)	دارونما
	مکمل
	تمرین - دارونما
	تمرین مکمل

در مردان هیپرتری گلیسریدمیک می‌شود (۲۶). مکانیسم دقیق کاهش شاخص‌های التهابی بر اثر مصرف مکمل امگا-۳ هنوز بخوبی روشن نشده است. برخی متخصصین علم تغذیه معتقدند که امگا-۳ می‌تواند سبب بهبود نشانه‌ها و علایم التهابی شود. محققین معتقدند که مصرف این مکمل سبب کاهش سطح سرمی سایتوکاپین‌های التهابی شود و سبب پیشگیری و درمان آترواسکلروز و پلاکت‌های خونی شود و سبب کاهش رشد لخته‌ها در پی افزایش تحمل فعالیت ورزشی همراه با مصرف مکمل می‌شود (۱۱ و ۲۱). در این رابطه بررسی‌ها نشان داد که تمرین هوایی همراه با مصرف مکمل امگا-۳ منجر به کاهش معنی‌دار فاکتور‌های التهابی می‌شود (۱۷). فعالیت هوایی منظم از طریق چندین مکانیسم مانند کاهش سطح CRP و کاهش بافت چربی و عملکرد آنتی اکسیدانی سبب کاهش اکسیدان‌ها می‌شود (۲۸). همچنین امگا-۳ منجر به تعدیل مارکر‌های التهابی و توقف فرایند‌های التهابی می‌شود که سبب حفظ ساختار غشا می‌شود. بهادران و همکاران نشان دادند که پودر بروکلی سبب کاهش CRP و IL-6 در مبتلایان به دیابت نوع دو می‌گردد (۲۸). همکاران در مطالعه ۹ هفته تمرین هوایی به همراه مولتی ویتامین سبب کاهش CRP و IL-6 آمی شود. همانطور که مشاهده می‌شود نتایج متضادی در تحقیقات مشاهده می‌شود که علت این امر می‌تواند در متغیر‌های تمرینی مانند شدت، حجم و مدت تمرین و همچنین دوز‌های مصرف مکمل می‌باشد (۲۸ و ۲۱). در تضاد با یافته‌های حاضر، Tofighi و همکاران در بررسی اثر بیکربنات همراه با فعالیت وامانده ساز بر CRP مشاهده کردند که پاسخی به تمرین و مصرف مکمل نشان نداد (۲۹). شواهد علمی نشان می‌دهد که تداوم فعالیت ورزشی سبب کاهش مقادیر CRP می‌شود. Beydilli و همکاران نشان دادند که میزان آمادگی جسمانی ارتباط معکوسی با مقدار CRP دارد (۳۰). مکانیسم دقیق کاهش شاخص‌های التهابی بر اثر مصرف مکمل امگا-۳ هنوز بخوبی روشن نشده است (۳۰). اما با توجه به یافته‌های مطالعات پیشین و مطالعه حاضر به نظر می‌رسد هر چه غلظت اولیه عوامل التهابی در

IL-6 سطوح IL-6 بعد از ۸ هفته تمرین هوایی همراه با مصرف امگا-۳ در گروه ترکیبی ($P = 0.001$) در پس‌آزمون نسبت به پیش‌آزمون کاهش نشان داد. تغییرات سطوح IL-6 در گروه کنترل معنی‌دار نبود ($P = 0.12$). نتایج در جدول ۲ آمده است. CRP: میزان CRP فقط در گروه تمرین هوایی همراه با مصرف مکمل امگا-۳ در پس‌آزمون، نسبت به پیش‌آزمون (تغییرات درون‌گروهی) به طور معنی‌داری کاهش یافت ($p = 0.05$). این در حالی بود که مقادیر CRP در گروههای تمرین (۰/۱۲ = p)، گروه مکمل ($P = 0/10$) و کنترل ($p = 0.452$) تغییر معنی‌داری نکرد. نتایج در جدول ۲ آمده است.

بحث و نتیجه‌گیری

در تحقیق حاضر تاثیر تمرین هوایی منظم همراه با مصرف مکمل امگا-۳ بر سطوح IL-6 و CRP سرم در زنان سالمند چاق بررسی شد. مقایسه‌ی درصد چربی بدن، وزن، شاخص توده بدن، دور کمر و نسبت دور کمر به دور لگن پیش و پس‌آزمون افراد در مطالعه‌ی حاضر نشان داد که در گروه تمرین و همچنین گروه ترکیبی کاهش این متغیرها به طور معنی‌داری در زنان سالمند چاق دیده شد. میانگین این کاهش در گروه ترکیبی به نسبت سایر گروه‌ها بیشترین بود (جدول ۱). یکی دیگر از یافته‌های مهم این پژوهش، اثر هم افزایی مداخله‌ی دو عامل تمرین و مکمل بر کاهش معنادار مقادیر IL-6 و CRP پلاسمای زنان سالمند چاق بود. در افراد چاق یا مقاوم به انسولین، تولید فاکتورهای التهابی CRP، IL-6 افزایش می‌باشد (۲۴). در تحقیق حاضر مشاهده نظیر CRP شد که اثر ترکیبی ورزش و مصرف مکمل سبب کاهش شاخص‌های التهابی شده است. پژوهشگران در مطالعات اخیر خود گزارش کردند افرادی که از لحاظ بدنی فعال‌اند و آمادگی جسمانی بهتری دارند سطوح پایین‌تری از شاخص‌های التهابی را دارا می‌باشند (۲۷-۲۵). در مطالعه مشابه دیگری Giorgi و همکاران نشان دادند که مصرف روزانه ۳ گرم اسید چرب DHA در مدت ۹۱ روز سبب کاهش معنی‌دار غلظت IL-6 و CRP و FIB سرم

منافع متقابل

نویسنده‌گان اظهار می‌کنند که تضاد منافع وجود ندارد.

مشارکت مؤلفان

س ل طرح موضوع را ارائه دادند. س ص، ا س و ذ و کارهای عملی را باهم انجام دادند. س ل و ذ ک تحلیل آماری را انجام دادند. س ص و ا س مقاله را تکمیل و با نظرارت س ل و ذ و موافقت ایشان ارسال نمودند.

منابع مالی

مقاله کار تحقیقی مؤلفین می‌باشد و حمایت مالی از آن نشده است.

ابتداً پژوهش بالا باشد، احتمال کاهش آنها در اثر مصرف اسیدهای چرب امگا-۳ بیشتر است که با مطالعه بیژه و همکاران همخوان بود (۲۳). به طور خلاصه، نتایج پژوهش حاضر نشان داد که ۸ هفته تمرین هوایی به همراه مصرف مکمل امگا-۳ می‌تواند با از طریق کاهش چربی بدن، توزیع سرمی این عوامل را کاهش دهد و اثرات منفی التهاب را به حداقل برساند.

قدرتمندی

از مدیریت محترم بهداشت و درمان استان کردستان، مادران محترم عضو مرکز سالم‌مندان، مدیریت، پرستاران این مرکز و کلیه عزیزانی که ما را در اجرای این تحقیق یاری نموده‌اند، سپاسگزاریم.

References

- Ellulu M S, Khaza'ai H, Abed Y, Rahmat A, Ismail P, Ranneh Y. Role of fish oil in human health and possible mechanism to reduce the inflammation. *Inflammopharmacology* 2015; **23**(2-3): 79-89. doi: 10.1007/s10787-015-0228-1
- Saltiel A R, Olefsky J M. Inflammatory mechanisms linking obesity and metabolic disease. *The Journal of clinical investigation* 2017; **127**(1): 1-4. doi: 10.1172/jci92035
- Bray G A, Frühbeck G, Ryan D H, Wilding J P. Management of obesity. *The Lancet* 2016; **387**(10031): 1947-1956. doi: 10.1016/s0140-6736(16)00271-3
- Iyengar N M, Gucalp A, Dannenberg A J, Hudis C A. Obesity and cancer mechanisms: tumor microenvironment and inflammation. *Journal of clinical oncology* 2016; **34**(35): 4270. doi: 10.1200/jco.2016.67.4283
- Tall A R, Yvan-Charvet L. Cholesterol, inflammation and innate immunity. *Nature Reviews Immunology* 2015; **15**(2): 104. doi: 10.1038/nri3793
- Hotamisligil G S. Inflammation, metaflammation and immunometabolic disorders. *Nature* 2017; **542**(7640): 177. doi: 10.1038/nature21363
- Guarner V, Rubio-Ruiz M E. Low-grade systemic inflammation connects aging, metabolic syndrome and cardiovascular disease. In *Aging and Health-A Systems Biology Perspective*. Karger Publishers, 2015; PP: 99-106. doi: 10.1159/000364934
- Zuo H, Ueland P M, Ulvik A, Eussen S J, Vollset S E, Nygård O, et al. Plasma biomarkers of inflammation, the kynurenine pathway, and risks of all-cause, cancer, and cardiovascular disease mortality: The Hordaland Health Study. *American journal of epidemiology* 2016; **183**(4): 249-258. doi: 10.1093/aje/kwv242
- Boulangé C L, Neves A L, Chilloux J, Nicholson J K, Dumas M E. Impact of the gut microbiota on inflammation, obesity, and metabolic disease. *Genome medicine* 2016; **8**(1): 42. doi: 10.1186/s13073-016-0303-2
- Deng T, Lyon C J, Bergin S, Caligiuri M A, Hsueh W. A. Obesity, inflammation, and cancer. *Annual Review of Pathology: Mechanisms of Disease* 2016; **11**: 421-449. doi: 10.1146/annurev-pathol-012615-044359
- Iyengar N M, Brown K A, Zhou X K, Gucalp A, Subbaramaiah K, Giri D D, et al. Metabolic obesity, adipose inflammation and elevated breast aromatase in women with normal body mass index. *Cancer Prevention Research* 2017. doi: 10.1158/1538-7445.sabcs16-pd5-05
- Stefanello S, Soares F, Barcelos R. Caffeine supplementation changes inflammatory biomarkers after exercise. *J Yoga Phys Ther* 2016; **6**(240): 2. doi: 10.4172/2157-7595.1000240
- Ticinesi A, Meschi T, Lauretani F, Felis G, Franchi F, Pedrolli C, et al. Nutrition and inflammation in older individuals: focus on vitamin D, n-3 polyunsaturated fatty acids and whey proteins. *Nutrients* 2016; **8**(4): 186. doi: 10.3390/nu8040186
- Huerta A E, Laiglesia L M, Martínez-Fernández L, Moreno-Aliaga M J. (.). Role of Omega-3 Fatty Acids in Metabolic Syndrome. In *Omega-3 Fatty Acids*. Springer, 2016; PP: 189-202. doi: 10.1007/978-3-319-40458-5_14
- Ellulu M S, Patimah I, Khaza'ai H, Rahmat A, Abed Y. Obesity and inflammation: the linking mechanism and the complications. *Archives of medical science: AMS* 2017; **13**(4): 851. doi: 10.5114/aoms.2016.58928
- Lorente-Cebrián S, Costa A G, Navas-Carretero S, Zabala M, Laiglesia L M, Martínez J A, et al. An update on the role of omega-3 fatty acids on inflammatory and degenerative diseases. *Journal of*

- physiology and biochemistry* 2015; **71**(2): 341-349. doi: 10.1007/s13105-015-0395-y
17. Garla P, Garib R, Torrinhas R S, Machado M C, Calder P C, Waitzberg D L. Effect of parenteral infusion of fish oil-based lipid emulsion on systemic inflammatory cytokines and lung eicosanoid levels in experimental acute pancreatitis. *Clinical Nutrition* 2017; **36**(1): 302-308. doi: 10.1016/j.clnu.2015.12.006
 18. Moin A, Zarghami khameneh A. The effect of different levels of short-term Silybum marianum (silymarin) extract supplementation on some of systemic inflammatory markers response in active males induced one-bout of aerobic exercise. *Cmj* 2017; **7**(2): 1862-1873.
 19. Amin M M, Arbid M S. Estimation of the novel antipyretic, anti-inflammatory, antinociceptive and antihyperlipidemic effects of silymarin in Albino rats and mice. *Asian Pacific Journal of Tropical Biomedicine* 2015; **5**(8): 619-623. doi: 10.1016/j.apjtb.2015.05.009
 20. Hassapidou M, Tzotzas T, Makri E, Pagkalos I, Kaklamanos I, Kapantais E, et al. Prevalence and geographic variation of abdominal obesity in 7-and 9-year-old children in Greece; World Health Organization Childhood Obesity Surveillance Initiative 2010. *BMC public health* 2017; **17**(1): 126. doi: 10.1186/s12889-017-4061-x
 21. Tartibian B, Maleki B H, Kanaley J, Sadeghi K. Long-term aerobic exercise and omega-3 supplementation modulate osteoporosis through inflammatory mechanisms in post-menopausal women: a randomized, repeated measures study. *Nutrition & metabolism* 2011; **8**(1): 71. doi: 10.1186/1743-7075-8-71
 22. Atawia R T, Mosli H H, Tadros M G, Khalifa A E, Mosli H A, Abdel-Naim A B. Modulatory effect of silymarin on inflammatory mediators in experimentally induced benign prostatic hyperplasia: emphasis on PTEN, HIF-1 α , and NF- κ B. *Naunyn-Schmiedeberg's archives of pharmacology* 2014; **387**(12): 1131-1140. doi: 10.1007/s00210-014-1040-y
 23. Bizheh N, Jaafari M. The effect of a single bout circuit resistance exercise on homocysteine, hs-CRP and fibrinogen in sedentary middle aged men. *Iranian journal of basic medical sciences* 2011; **14**(6): 568.
 24. Barari A R, Alavi S H, Shirali S, Ghazalian F. Effect of short-term endurance training and silymarin consumption on some of preinflammatory cytokines, growth mediators and immune system performance. *Annals of Biological Research* 2012; **3**(6): 2933-2937.
 25. França-Pinto A, Mendes F A, de Carvalho-Pinto R M, Agondi R C, Cukier A, Stelmach R, et al. Aerobic training decreases bronchial hyperresponsiveness and systemic inflammation in patients with moderate or severe asthma: a randomised controlled trial. *Thorax* 2015; thoraxjnl-2014-206070. doi: 10.1136/thoraxjnl-2014-206070
 26. Giorgi V S I, Peracoli M T S, Peracoli J C, Witkin S S, Bannwart-Castro C F. Silibinin modulates the NF- κ B pathway and pro-inflammatory cytokine production by mononuclear cells from preeclamptic women. *Journal of reproductive immunology* 2012; **95**(1-2): 67-72. doi: 10.1016/j.jri.2012.06.004
 27. Zwetsloot K A, Nieman D C, Knab A, John C S, Lomiwes D D, Hurst R D, et al. Effect of 4 weeks of high-intensity interval training on exercise performance and markers of inflammation and oxidative stress. *The FASEB Journal* 2017; **31**(1_supplement): 831-839.
 28. Bahadoran Z, Mirmiran P, Azizi F. Potential efficacy of broccoli sprouts as a unique supplement for management of type 2 diabetes and its complications. *Journal of medicinal food* 2013; **16**(5): 375-382. doi: 10.1089/jmf.2012.2559
 29. Tofighi A, Saedmocheshi S. C-reactive protein and lactate response to consumption of sodium bicarbonate supplementation and exhaustive in young active. *Journal of Kermanshah University of Medical Sciences* 2013; **17**(2): 97-102.
 30. Beydilli H, Yilmaz N, Cetin E S, Topal Y, Celik O I, Sahin C, et al. Evaluation of the protective effect of silibinin against diazinon induced hepatotoxicity and free-radical damage in rat liver. *Iranian Red Crescent Medical Journal* 2015; **17**(4): 21-27. doi: 10.5812/ircmj.17(4)2015.25310

Original Article

Comparison of temperament and character of patients with major depressive disorder with control group

Alireza Farnam¹ , Elham Razzagh Karimi^{1*} , Morteza Ghojazadeh² , Salman Safikhanlou¹ 

¹Department of Psychiatry, Faculty of Medicine, Tabriz University of Medical Sciences, Tabriz, Iran

²Department of Physiology, Faculty of Medicine, Tabriz University of Medical Sciences, Tabriz, Iran

*Corresponding author; E-mail: elhamrkarimi@yahoo.com

Received: 23 November 2017 Accepted: 10 March 2018 First Published online: 7 September 2019

Med J Tabriz Uni Med Sciences Health Services. 2019 October- November; 41(4):56-63

Abstract

Background: Depression, causes problems in social and individual aspects of life, so is the major disease burden in modern societies. There is complex relationship between personality and depression, so some special forms of personality may predispose the person to the depression, and depression and its symptoms may manifest different as a result of the various personalities.

Methods: This research case control study consisted of 128 patients with major depressive disorder and 131 normal people. Data have been collected through TCI questionnaire and Hamilton scale for depression.

Results: In patients with major depression the Harm-avoidance, Reward-dependence and persistence, Self-Directedness and Cooperativeness have significant differences with normal people. Patients with major depressive disorder experience high levels of Harm-avoidance and Reward-dependence and Persistence, with low levels of Self-directedness and Cooperativeness than normal people.

Conclusion: The depressed patients and normal people are different with temperament and character, and these differences can influence severity of depression.

Keyword: Major Depressive Disorder, Cloninger's Temperament and Character, Harm Avoidance, Reward Dependence, Persistence, Self-Directedness, Cooperativeness

How to cite this article: Farnam A, Razzagh Karimi E, Ghojazadeh M, Safikhanlou S. [Evaluation of temperament and character in the 128 patients with major depressive disorder in Tabriz and comparison with control group]. Med J Tabriz Uni Med Sciences Health Services. 2019 October- November; 41(4):56-63. Persian.

مقاله پژوهشی

مقایسه مزاج و کاراکتر بیماران مبتلا به اختلال افسردگی اساسی با گروه کنترل

علیرضا فرنام^۱, الهام رزاق کریمی^{۱*}, مرتضی قوچازاده^۲, سلمان صفوی خانلو^۳

گروه روانپژوهی، دانشکده پزشکی، دانشگاه علوم پزشکی تبریز، تبریز، ایران
گروه فیزیولوژی، دانشکده پزشکی، دانشگاه علوم پزشکی تبریز، تبریز، ایران
نویسنده مسئول؛ ایمیل elhamkarimi@yahoo.com

دریافت: ۱۳۹۶/۹/۲ پذیرش: ۱۳۹۶/۱۲/۱۹ انتشار برخط: ۱۳۹۸/۶/۱۶
مجله پزشکی دانشگاه علوم پزشکی و خدمات بهداشتی - درمانی تبریز. مهر و آبان ۱۳۹۸: (۴۱): ۵۶-۶۳

چکیده

زمینه: افسردگی با ایجاد اختلال عملکرد در حوزه های مختلف زندگی فردی و اجتماعی، در بین اختلالات روانپژوهی بزرگترین عامل بار بیماری جوامع در عصر حاضر می باشد. با توجه به وجود ارتباط پیچیده بین شخصیت و افسردگی، برخی اشکال شخصیت ممکن است فرد را مستعد افسردگی نماید و از طرف دیگر افسردگی و عالیم آن در شخصیتهای متفاوت به صورتهای مختلف بروز می یابد.

روش کار: مطالعه از نوع مورد شاهدی بوده و جامعه آماری شامل ۱۲۸ بیمار مبتلا به اختلال افسردگی اساسی و ۱۳۱ فرد عادی می باشد که داده ها از طریق پرسشنامه مزاج و کاراکتر کلونینگر و مقیاس افسردگی همیلتون جمع آوری شده و در نرم افزار SPSS18 مورد تجزیه و تحلیل قرار گرفتند.

یافته ها: در مقایسه بین دو گروه مشخص گردید افراد مبتلا به افسردگی اساسی از نظر مزاج های خطرپرهیزی، پاداش خواهی و پشتکار، کاراکتر های خود راهبری و همکاری با افراد عادی تفاوت معنی داری می باشند. افراد دارای افسردگی اساسی خطرپرهیزی، پاداش خواهی و پشتکار بالا و خود راهبری و همکاری پایین تری نسبت به افراد عادی تجربه می کنند.

نتیجه گیری: نتایج نشان داد افراد افسرده و عادی از نظر کاراکتر و مزاج، از یکدیگر متفاوت بوده و این عوامل می توانند در شدت افسردگی موثر باشند.

کلید واژه ها: اختلال افسردگی اساسی، مزاج و کاراکتر کلونینگر، خطرپرهیزی، پاداش خواهی، پشتکار، خود راهبری، همکاری

نحوه استناد به این مقاله: فرنام، رزاق کریمی، ا، قوچازاده، م، صفوی خانلو، س. بررسی مزاج و کاراکتر در ۱۲۸ بیمار مبتلا به اختلال افسردگی اساسی در شهر تبریز و مقایسه با گروه کنترل. مجله پزشکی دانشگاه علوم پزشکی و خدمات بهداشتی - درمانی تبریز. ۱۳۹۸: (۴۱): ۵۶-۶۳

حق تأثیف برای مؤلفان محفوظ است.

این مقاله با دسترسی آزاد توسط دانشگاه علوم پزشکی و خدمات بهداشتی - درمانی تبریز تحت مجوز کریتو کامتر (CC BY 4.0) منتشر شده که طبق مفاد آن هرگونه استفاده تنها در صورتی مجاز است که به اثر اصلی به نحو مقتضی استناد و ارجاع داده شده باشد.

مقدمه

مطالعات زیادی طی سال‌های اخیر صورت پذیرفته که همگی روی ارتباط بین افسردگی و شخصیت بوده است و گزارشات زیادی حاکی از ارتباط کاراکتر خود راهبری، همکاری و پشتکار با افسردگی در بیماران بوده است (۴). اختلالات شخصیت و صفات همراه همچون کاراکتر خود راهبری پایین، فرد را مستعد اختلالات روانپژشکی (همچون سوء مصرف مواد، خودکشی، اختلالات خلقی، اسکیزوفرنی و دیگر اختلالات سایکوتیک، اختلالات کترول تکانه، اختلالات خوردن و اختلالات اضطرابی) می‌کند. از طرفی دیگر بهبود کیفیت زندگی افراد مبتلا به اختلالات روانپژشکی، با صفات مثبت شخصیت مثل کاراکتر خود راهبری بالا مرتبط است (۴). با توجه به مطالب ذکر شده و شیوع بالای افسردگی و حجم بالای مراجعین مبتلا به افسردگی به درمانگاه‌های روانپژشکی و هم‌زمان باز سنگینی که این بیماری بر جامعه و فرد وارد می‌کند و همینطور ارتباط پیچیده شخصیت با افسردگی، مطالعه حاضر طراحی و اجرا گردید و در نهایت مشخص شد که کدامین ساختار شخصیتی در مردم بیشتر مستعد افسردگی می‌باشد.

روش کار

مطالعه از نوع مورد شاهدی با جامعه آماری کلیه بیماران مبتلا به افسردگی اساسی مراجعه کننده به کلینیک‌های روانپژشکی وابسته به دانشگاه علوم پزشکی تبریز و مرکز آموزشی درمانی رازی تبریز در حال بسترهای سرپایی طی سال‌های ۱۳۹۴-۱۳۹۵ می‌باشد. نمونه‌گیری به روش نمونه‌گیری در دسترس در هر دو گروه، با استفاده از مطالعه پایلوت با در نظر گرفتن ۵ برابر با ۰/۰۵، توان ۸۰ درصد و اختلاف قابل قبول ۱۰ درصد، حجم نمونه ۱۱۴ نفر برآورد گردید و با در نظر گرفتن احتمال ریزش و براساس مطالعه پایلوت، تعداد مورد نیاز برای مطالعه، ۱۲۸ نمونه و ۱۲۸ فرد بدون افسردگی در نظر گرفته شد. معیارهای ورود به مطالعه در گروه بیماران افسرده عبارتند از: نداشتن سابقه درمان دارویی ضد افسردگی، فقدان سابقه تشخیص عمدۀ روانپژشکی دیگر (سایکوز، دوقطبی، اختلالات شخصیت و...)، حداقل تحصیلات سوم راهنمایی، سن ۱۸-۶۵ سال، نمره بالاتر از ۷ در پرسشنامه همیلتون، عدم وجود بیماری مزمن جسمی هم‌زمان، عدم وجود سابقه اعیاد، عدم وجود سوابق جزایی مکرر و رضایت به شرکت در مطالعه و امضای رضایت‌نامه آگاهانه کنی. با توجه به اینکه افراد مبتلا به اختلال شخصیت، پروفایل خاص مزاج و کاراکتر دارند، به منظور کاهش این اثر مخدوش کننده، افراد با اختلال شخصیت وارد مطالعه نگردیدند و با توجه به شیوع بالای صفات مربوط به اختلال شخصیت در بین افراد وابسته به مواد و سوابق جزایی مکرر، این موارد نیز وارد مطالعه نگردیدند تا بتوانیم تا حد امکان مانع از سوگیری نتایج به سمت پروفایل خاص شخصیتی گردیم. معیارهای ورود به مطالعه

بیماری‌های روانی بزرگترین معضل بهداشتی عصر حاضر هستند به طوری که صرفاً افسردگی حتی پا از پیش‌بینی‌ها فراتر گذاشته و به بزرگترین عامل بار بیماری تبدیل شده است (۱). بر اساس مطالعات انجام یافته اختلال شخصیت شیوعی بین ۱۰-۲۰ درصد در جمعیت عمومی و حدود ۵۰ درصد در بیماران روانپژشکی دارد. افراد مبتلا، در کار و عشق ورزیدن مشکل داشته و تحصیلات کمتری دارند و با احتمال بیشتری وابسته به مواد شده و مجرد مانده و مشکلات زناشویی می‌باشند. رثیک و محیط هر دو بر شخصیت تاثیر می‌گذارند (۲). همچنین ارتباطی پیچیده بین شخصیت و افسردگی وجود دارد به طوری که برخی اشکال شخصیت ممکن است فرد را مستعد افسردگی نماید و از طرف دیگر افسردگی و علایمش در نتیجه شخصیت‌های متفاوت به صورت‌های مختلف بروز می‌یابد (۳). از مهمترین آثار سوء افسردگی، آسیب‌های آن به فرد، خانواده و جامعه است. لذا پیش‌بینی، تشخیص زود هنگام و درمان موثر افسردگی و رفتارهای ناشی از آن بسیار اهمیت دارد. مطالعات زیادی طی سال‌های اخیر روی ارتباط بین افسردگی و شخصیت انجام گرفته است و گزارشات زیادی حاکی از ارتباط منش خود راهبری (Cooperativeness, CO)، همکاری (Self-directedness, SD) و پشتکار (Persistence, PE) با افسردگی در بیماران بوده است (۴). با توجه به مطالب ذکر شده و شیوع بالای افسردگی و حجم بالای مراجعین مبتلا به افسردگی به درمانگاه‌های روانپژشکی و هم‌زمان باز سنگینی که این بیماری بر جامعه و فرد وارد می‌کند و همینطور ارتباط پیچیده شخصیت با افسردگی، مطالعه حاضر طراحی گردید. در این پژوهش مشخص گردید کدامین ساختار شخصیتی در مردم بیشتر مستعد افسردگی است و با دانستن این موضوع می‌توان در کار بالینی در روان‌درمانی بیماران موفق تر بوده و حتی در مراجعین فاقد افسردگی، اقدامات پیشگیرانه نیز انجام داد. شخصیت طبق تعریف رابت کلونینگر دارای سه جزء مزاج، کاراکتر و خودآگاهی می‌باشد که مطالعه حاضر به بررسی دو جزء مزاج و کاراکتر در افراد مبتلا به اختلال افسردگی اساسی و افراد سالم پرداخته است. مزاج که جزء رثیکی شخصیت است می‌تواند به ارت بررسد و شامل چهار جزء می‌باشد:

- خطرپر هیزی (Harm avoidance, HA)
- نوجویی (Novelty seeking, NS)
- پاداش خواهی (Reward dependence, RD) و پشتکار (Persistence, PE).

کاراکتر که جزء مفهومی شخصیت است و با تعلیم و تربیت کسب می‌شود شامل سه جزء زیر می‌باشد:

- خود راهبری (Self-directedness, SD)
- همکاری (Cooperativeness, CO) و خود داعلایی (Self-transcendence – ST).

روابی مقیاس‌های فوق به ترتیب با ضریب آلفای ۰/۷۵، ۰/۷۲، ۰/۷۶، ۰/۹۰، ۰/۸۷، ۰/۶۶، ۰/۸۰ و همبستگی‌های درونی مقیاس‌ها به ترتیب با ضریب آلفای ۰/۷۲، ۰/۸۴، ۰/۸۰، ۰/۵۵، ۰/۸۳، ۰/۸۰، ۰/۵۰ و ۰/۷۲ افزایش شده است (۱۷). همچنین در یک مطالعه میان فرهنگی (Cross cultural) که در ایران انجام شده است، روابی و پایایی نسخه فارسی مورد تایید قرار گرفته است (۱۸). در مطالعه حاضر، ابتدا بیماران سرپایی مراجعه کننده به درمانگاه و یا بیماران بستری بخش بعد از اخذ رضایت‌نامه آگاهانه کتبی، توسط متخصص اعصاب و روان ویزیت شده و بر اساس مصاحبه بالینی ساختار یافته (SCID) برای اختلالات DSM-IV-TR مورد ارزیابی قرار گرفتند. در صورت تشخیص اختلال افسردگی اساسی، عدم همراهی اختلال روانپژشکی مژوثر دیگر، عدم سابقه درمان دارویی ضد افسردگی و داشتن تمایل شخصی وارد مطالعه شدند. ضمناً بیمارانی که به عنوان نمونه گروه آزمایش انتخاب شدند در پرسش‌نامه ۲۴ سوالی همیلتون نمره بالاتر از ۷ را کسب کردند. سپس اجزای شخصیت توسط پرسش‌نامه ۱۲۵ سوالی TCI ارزیابی شدند. در گروه شاهد (افراد بدون افسردگی) نیز بعد از اخذ رضایت‌نامه آگاهانه کتبی از همراهان مراجعتین به درمانگاه‌ها، ارزیابی به واسطه مصاحبه بالینی ساختار یافته (SCID) توسط متخصص اعصاب و روان انجام گرفته و بعد از رد سایه‌های اختلالات روانپژشکی و کسب نمره ۷ یا کمتر در تست همیلتون و همینطور کسب سایر معیارهای ورود گروه افراد سالم، وارد مطالعه شده و پرسش‌نامه TCI را تکمیل می‌نمودند. داده‌های بدست آمده از مطالعه در محیط نرم افزار آماری SPSS 18 و با بهره‌گیری از روش‌های آمار توصیفی (میانگین \pm انحراف معیار، فراوانی، درصد و ...) و روش‌های آمار استنباطی مورد بررسی قرار گرفتند. در بخش بررسی تفاوت‌ها، متغیرهایی که دارای توزیع نرمال بودند با آزمون تفاوت میانگین‌برای گروه‌های مستقل (Independent Sample's t test) و در صورتی که دارای توزیع نرمال نبودند با آزمون‌های غیر پارامتریک (یومان ویتنی) مورد تجزیه و تحلیل قرار گرفتند. در بخش بررسی ارتباط بین متغیرها، در داده‌های دارای توزیع نرمال از ضریب همبستگی پیرسون و در صورت نداشتن توزیع نرمال از ضریب همبستگی اسپیرمن استفاده شده است. در مطالعه حاضر مقدار $P<0/05$ از لحاظ آماری معنی دار تلقی گردید.

ما فتھا

در مطالعه حاضر ۱۶۰ بیمار و ۱۴۵ فرد نرمال انتخاب و تحت ارزیابی قرار گرفتند. در ادامه به دلیل ریزش و انصراف برشی از شرکت کنندگان، نموده های انتخابی به ۲۵۹ نفر (۱۲۸ نفر بیمار مبتلا به اختلال افسردگی اساسی و ۱۳۱ فرد عادی) تعدیل یافت که شامل ۹۵ نفر مرد و ۱۶۴ نفر زن بودند. در گروه افراد افسرده میانگین سنی شرکت کنندگان 61 ± 9 سال سن و در گروه افراد عادی میانگین سنی شرکت کنندگان 99 ± 9 سال سن می باشد. نتایج جدول ۲

در گروه افراد عادی عبارتند از: نداشتن سابقه بیماری روانپردازشکی، حداقل تحصیلات سوم راهنمایی، سن ۱۸-۶۵، نمره ۷ یا پایین‌تر در پرسشنامه همیلتون، عدم وجود سوابق جزایی مکرر و رضایت به وجود سابقه اعتیاد، عدم وجود سوابق جزایی مکرر و رضایت به شرکت در مطالعه و امضای رضایت‌نامه آگاهانه کتبی. معیارهای خروج از مطالعه عبارتند از: وجود علاطم و یا شروع علاطم سایکوتیک برای گروه افراد افسرده. مصاحبه ساختاری یافته که امکان تشخیص بر اساس DSM-IV را فراهم می‌آورد و دارای دو نسخه اصلی SCID-I و SCID-II می‌باشد. در ایران برای تمام تشخیص‌ها به جز کل اختلالات اضطرابی، کاپا بالاتر از $4/0$ بوده است. در اکثر تشخیص‌ها ویژگی بالاتر از $85/0$ و در نیمی از این تعداد بالای $9/0$ بوده است که نشان‌دهنده ویژگی مطلوب است. تشخیص حساسیت تا حدودی پائین‌تر بوده است (۵). این ابزار در تعدادی از مطالعات به عنوان استاندارد طلایی در تشخیص بالینی، استفاده شده است (۶-۸). مقیاس افسردگی همیلتون جزء ارزیابی بالینی برای سنجش افسردگی می‌باشد (۹-۱۰). در برخی بررسی‌ها نقطه برش ۱۶ برای این مقیاس تعیین گردیده است. در بررسی‌های همیلتون پایابی آن از طریق همبستگی بین ارزیاب ابزارها از $94/0$ تا $90/0$ گزارش شده است. اعتبار مقیاس از طریق همبستگی با سایر ابزارها از $80/0$ تا $84/0$ و اعتبار سنجش درونی از $84/0$ تا $90/0$ بوده است. Gharaee و همکاران ضریب پایابی این مقیاس را با مقیاس درجه‌بندی اضطراب همیلتون با استفاده از روش بازآزمایی $85/0$ تا $89/0$ گزارش نمودند. ضریب همبستگی مقیاس افسردگی بک و مقیاس همیلتون توسط توزنده جانی و عبدالهیان $65/0$ درصد گزارش گردیده است (۱۱). در مطالعات اخیر ضریب پایابی درونی $8/8$ بدست آمده است (۱۲). بر اساس مطالعات انجام شده روایی و پایابی آن تایید شده است (۱۳-۱۵). پرسشنامه مزاج و کاراکتر کلونینگر (Temperament and Character Inventory - TCI) توسط رایرت کلونینگر در سال ۱۹۹۳ تدوین شده و مزاج را در چهار بعد نوچی، اجتناب از آسیب، پاداش خواهی و پشتکار و کاراکتر را در سه بعد خودراهبری، همکاری و خود اعتلایی می‌سنجد. روایی و پایابی آن تایید شده است (۱۶). طبق مطالعه کاویانی و پورناصح نتایج همبستگی نشان‌دهنده پایابی قوی بین نمرات مقیاس‌ها در مرحله آزمون و بازآزمون مقیاس‌های هفتگانه می‌باشد. همبستگی معنی‌دار بالاتر از 40% درصد بین NS و RD وجود ندارد که نشان می‌دهد چهار بعد مزاجی از یک دیگر مستقل هستند. همچنین بین ابعاد کاراکتر و مزاج همبستگی‌های ضعیف تا متوسط کمتر از 40% درصد وجود دارد، به غیر از همبستگی خودراهبری و آسیب‌پذیری که بیش از 40% درصد است. تنها همبستگی بالاتر از 40% درصد بین ابعاد سه گانه کاراکتر مربوط به همکاری و خودراهبری است. همچنین طبق مطالعه Kaviani و Pournaseh ضرایب پایابی آزمون-بازآزمون مقیاس‌های فرم کوتاه در مقیاس‌های NS, HA, RD, PE, CO, SD, ST با ضرایب آلفای $64/0$, $80/0$, $86/0$, $90/0$, $87/0$, $88/0$, $83/0$, $80/0$, $79/0$, $78/0$ و ضرایب

گام به گام مورد تجزیه و تحلیل قرار گرفتند و بصورت معنی دار وارد معادله شدند و در گام ششم اجتناب از آسیب به دلیل اینکه رابطه معنی داری نداشت از معادلات حذف شد. جدول ۴ نشان می دهد که ضریب همبستگی چندگانه برای مدل آخر (۶) برابر با $R=0.71$ بوده که مجذور آن $R^2=0.51$ و ضریب تعیین اصلاح شده برابر با 0.49 Adjust R می باشد و نشان می دهد که این مدل می تواند ۵۱٪ افسردگی را در این افراد پیش بینی نماید. از طرفی نتایج تحلیل واریانس رگرسیون (آزمون معنی داری خط رگرسیون) نشان داد $P<0.001$ اثر رگرسیون یا اثر متغیرهای مستقل نسبت به اثر باقی مانده کاملاً معنی دار بوده و خطی بودن مدل را تأیید می کند.

نشان می دهد که افراد افسرده و عادی در مزاج های خطرپر هیزی، پاداش خواهی و پشتکار با یکدیگر دارای تفاوت معنی دار هستند و فقط مزاج نوجویی تفاوت معنی دار ندارد. از طرفی دو گروه در کاراکترهای خود راهبری و همکاری با یکدیگر دارای تفاوت معنی دار بوده و در کاراکتر خود اعاتلایی تفاوت معنی داری ندارند. برای بررسی قدرت پیش بینی کنندگی افسرده ای تو سط اجزای مزاج و کاراکتر، از مدل رگرسیون خطی استفاده شد. جهت بررسی پیش بینی کنندگی افسرده ای، افسرده ای از عنوان متغیر ملاک و نوجویی، اجتناب از مدل رگرسیون خطی استفاده شد. همچنان که می توان از این مدل برای بررسی افسرده ای از پاداش خواهی و پشتکار، خود راهبری، همکاری و خود فراری به عنوان متغیرهای پیش بین استفاده شده و در رگرسیون

جدول (۱): متغیرهای مورد مطالعه

مقاس (Scale)	نحوه اندازه گیری	نوع متغیر	عنوان متغیر
اسمی	چک لیست و پرونده بیمار	کمی/ اسمی	گروههای مورد مطالعه
فاصله ای	پرسشنامه همیلتون	وابسته	اختلال افسرده ای اساسی
فاصله ای	TCI	وابسته	سرشت نوجویی (Novelty Seeking)
فاصله ای	پرسشنامه	وابسته	سرشت اجتناب از آسیب (Harm Avoidance)
فاصله ای	TCI	وابسته	سرشت پاداش خواهی (Reward Dependence)
فاصله ای	پرسشنامه	وابسته	Persistence
فاصله ای	TCI	وابسته	مش خود راهبردی (Self Directedness)
فاصله ای	پرسشنامه	وابسته	مش همکاری (Cooperativeness)
فاصله ای	TCI	وابسته	مش خود فراری (Self Transcendence)

جدول (۲): مشخصات دموگرافیک افراد مورد مطالعه

متغیرها	نمره افسرده گی همیلتون	گروه افسرده	گروه افراد عادی	کل شرکت کنندگان
جنسیت	۹۵ (۷۳۶/۶۸)	۴۲ (۷۳۲/۸۱)	۵۳ (۷۴۰/۴۶)	۷۸ (۷۶۳/۳۲)
سن	۱۶۴ (۷۶۳/۳۲)	۸۶ (۷۶۷/۱۹)	۷۸ (۷۵۹/۵۴)	۳۲/۲۰ ($\pm 9/80$)
نمره افسرده گی همیلتون	۳۲/۲۰ ($\pm 9/80$)	۳۲/۶۱ ($\pm 9/61$)	۳۱/۷۹ ($\pm 9/99$)	۳۱/۳۱ ($\pm 9/15$)
میانگین نمره افسرده گی همیلتون در گروه افسرده $19/06 \pm 7/42$ و در گروه افراد عادی $2/92 \pm 2/47$ می باشد...	۳۲/۶۴ ($\pm 8/70$)	۳۳/۵۹ ($\pm 9/93$)	۳۱/۷۶ ($\pm 10/15$)	۳۱/۳۱ ($\pm 9/15$)
طبق نتایج تی مستقل بین گروه افراد افسرده و عادی از نظر سن تفاوت معنی دار نبود ($P=0.49$).	۳۳/۵۹ ($\pm 9/93$)	۱۹/۰۶ ($\pm 7/74$)	۲/۹۲ ($\pm 2/47$)	۳۱/۷۶ ($\pm 10/15$)
میانگین نمره افسرده گی همیلتون در گروه افسرده $19/06 \pm 7/42$ و در گروه افراد عادی $2/92 \pm 2/47$ می باشد...	۱۹/۰۶ ($\pm 7/74$)	۱۹/۰۶ ($\pm 7/74$)	۲/۹۲ ($\pm 2/47$)	۱۰/۹۹ ($\pm 5/11$)
میانگین نمره افسرده گی همیلتون در گروه افسرده $19/06 \pm 7/42$ و در گروه افراد عادی $2/92 \pm 2/47$ می باشد...	۱۹/۰۶ ($\pm 7/74$)	۱۸/۹۵ ($\pm 7/73$)	۲/۹۴ ($\pm 2/68$)	۱۰/۹۵ ($\pm 5/21$)
طبق نتایج تی مستقل بین گروه افراد افسرده و عادی از نظر سن تفاوت معنی دار نبود ($P=0.49$).	۱۹/۰۶ ($\pm 7/74$)	۱۹/۱۱ ($\pm 7/31$)	۲/۸۹ ($\pm 2/33$)	۱۱ ($\pm 4/82$)

جدول (۳): میانگین متغیرهای آزمون کلونینگ در افراد مورد مطالعه

متغیرها	میانگین	انحراف استاندارد	گروه افسرده	انحراف استاندارد	گروه افراد عادی	انحراف استاندارد	آماره من و تئی	مقدار P
مزاج خطرپر هیزی (HA)	۱۲/۲۳	۴/۰۹	۷/۸۶	۴/۷۶	۴۱۸	<0.001		
مزاج نوجویی (NS)	۹/۱۳	۳/۸۸	۸/۱۷	۳/۴۷	۷۲۶۶/۵۰	0.06		
مزاج پاداش خواهی (RD)	۱۰/۴۴	۲/۶۰	۹/۸۳	۲/۸	۷۲۱۱	0.05		
مزاج پشتکار (PE)	۲/۸۸	۱/۲۳	۲/۵۲	۱/۴۱	۷۱۹۳/۵۰	0.04		
کاراکتر خود راهبردی (SD)	۹/۸۶	۴/۹۴	۱۷/۱۰	۴/۳۶	۲۴۱۰/۵۰	<0.001		
کاراکتر همکاری (CO)	۱۶/۰۸	۴/۷۳	۱۷/۰۰	۴/۳۵	۶۴۰۵	0.001		
کاراکتر خود اعاتلایی (ST)	۷/۳۹	۳/۲۶	۷/۶۹	۳/۳۸	۸۰۴۲/۵۰	0.05		

مدل	متغیرهای وارد شده	ضریب همیستگی چندگانه R	ضریب تعیین اصلاح شده R	ضریب تعیین R^2	خطای معیار Adjust R
۱	مش خودراهبردی	۰/۶۸	۰/۴۶	۰/۴۶	۷/۲۰
۲	مش خودراهبردی جتناب از آسیب	۰/۶۹	۰/۴۸	۰/۴۷	۷/۰۹
۳	مش خودراهبردی اجتناب از آسیب	۰/۷۰	۰/۴۹	۰/۴۹	۷/۰۱
۴	پشتکار مش خودراهبردی اجتناب از آسیب پشتکار پاداش خواهی	۰/۷۱	۰/۴۹	۰/۴۹	۶/۹۶
۵	پشتکار پاداش خواهی نوجوئی مش خودراهبردی	۰/۷۱	۰/۵۱	۰/۵۰	۶/۹۱
۶	پشتکار پاداش خواهی نوجوئی	۰/۷۱	۰/۵۱	۰/۴۹	۶/۹۲

به عنوان عامل محافظتی و بهبود برای بسیاری از اختلالات روانپژشکی بشمار می‌روند. در این راستا و مطابق با یافته‌های Sadock در مطالعه حاضر کاراکتر خودراهبردی و همکاری در بیماران دارای افسردگی نسبت به افراد عادی به طور معنی‌دار پائین می‌باشد (۲). در اکثر مطالعات از بین اجزای مزاج به مزاج پشتکار اشاره چندانی نشده ولی در این مطالعه، مزاج پشتکار در بیماران مبتلا به اختلال افسردگی اساسی به طور معنی‌داری بالاتر از افراد عادی گزارش گردید. از طرفی Celikel و همکاران، Smith و همکاران و Nerry و همکاران خطرپرهیزی بالا و کاراکتر خود راهبردی پائین را به عنوان مارکر پیش‌بینی کننده احتمال ابتلاء به افسردگی معرفی کردند (۳). یافته‌های مطالعه حاضر در راستای یافته‌های فوق نشان می‌دهد در افراد دارای افسردگی اساسی نمرات خطرپرهیزی بالا و خودراهبردی پائین می‌باشد اما در افراد عادی خطرپرهیزی پائین و کاراکتر خودراهبردی بالا می‌باشد. در مطالعه Mochcovitch و همکاران سازگاری بین مزاج خطرپرهیزی و کاراکتر خود راهبردی را در اختلالات افسردگی تأیید کردند. در این راستا مطالعه ما بین خطرپرهیزی و خودراهبردی رابطه منفی معنی‌دار به دست آورده است. همچنین Mochcovitch به این نتیجه اشاره کرده است که ارتباط بین مزاج نوجویی پائین و کاراکتر خودراهبردی بالا با شروع اضطراب و افسردگی وجود دارد و قدرت پیش‌بینی افسردگی با مزاج خطر پرهیزی به همراه کاراکتر خودراهبردی بالاتر است که در این راستا مطالعه ما متناقض بوده و قدرت پیش‌گویی افسردگی را با نوجویی و خودراهبردی بالاتر ارزیابی نموده به طوری که خطرپرهیزی سهمی در پیش‌بینی نداشته و از معادله خارج شده است (۲۲). در مطالعه

با بهره‌گیری از ضریب بتای معادله رگرسیونی که نتایج آن در جدول (۴) ارائه شده است با توجه به آخرین مدل انجام شده مش خودراهبردی با بتای $-0/۷۱$ در سطح $p=0/001$ بیشترین سهم را در تبیین افسردگی داشته و از طرفی دیگر سرشت پاداش خواهی با بتای $0/۱۳$ در سطح $p=0/003$ ، سرشت نوجوئی با بتای $-0/۱۳$ در سطح $p=0/001$ و پشتکار با بتای $0/۱۱$ در سطح $p=0/01$ به ترتیب سهم‌های بعدی را در پیش‌بینی افسردگی (شدت افسردگی) ایفا می‌کنند.

بحث

معیارهای سختگیرانه ورود به مطالعه از نظر تشخیص بیماری، همبودی بیماری روانپژشکی دیگر، مشکل در کسب رضایت و همکاری آزمودنی‌ها منجر شد در گروه افسردگی ۳۲ نفر و در گروه افراد عادی ۱۴ نفر از مطالعه خارج گردند. این ارقام به نوبه خود نشان می‌دهد سطح همکاری افراد عادی نسبت به افراد دارای افسردگی نسبتاً بالاتر می‌باشد. سرانجام ۲۸ بیمار مبتلا به افسردگی و ۱۳۱ فرد عادی مرحل ارزیابی را به صورت کامل طی نمودند. در گروه بیماران افسردگی ۴۲ نفر ($81/۲\%$) درصد از شرکت‌کنندگان را زنان تشکیل داده‌اند. آمار حاضر نشان می‌دهد شرکت‌کنندگان را زنان تشکیل داده‌اند. آمار حاضر نشان می‌دهد همso با نتایج Sadock می‌باشد که شیوع افسردگی را در مردان $67/19\%$ درصد از مردان و در زنان 86% نفر در زنان $19/20\%$ درصد از سبب‌شناسی افسردگی عامل جنسیت را موثر دانسته است (۱۰).

معتقد است کاراکتر خودراهبردی و کاراکتر همکاری بالا Sadock

همکاری پایین‌تری نسبت به افراد عادی تجربه می‌کنند. در این مطالعه سایر متغیرهای دموگرافیک اجتماعی زیستی نظری تحصیلات، وضعیت اقتصادی، مدت زمان بیماری، نوع اشتغال لحاظ نگردیده و فاز درمان مورد بررسی قرار نگرفته است، هرچند که در مطالعه حاضر حداقل تحصیلات سوم راهنمایی معیار وارد لحاظ گردید تا از درک مفاهیم سوال توسط شرکت‌کنندگان اطمینان حاصل شود، لیکن تاثیر تحصیلات در نحوه پر کردن پرسش‌نامه‌ها و احتمال تفاوت درک سؤالات لحاظ نگردیده است و مطالعات بیشتر با در نظر گرفتن این فاکتور نیاز می‌باشد. همچنین از دیگر محدودیت‌های مقاله حاضر این مسأله می‌باشد که با توجه به تغییرات ایجاد شده در نگرش فرد نسبت به خود و دنیای اطراف در اثر اختلال افسردگی مازور، ممکن است پاسخ فرد به پرسش‌نامه‌ها در فاز افسردگی متفاوت باشد لذا مطالعات بیشتری نیاز است تا تاثیر این موضوع نیز بررسی گردیده و لحاظ گردد.

قدرتانی

یافته‌های پژوهش حاضر از پایان‌نامه دکتری تخصصی روانپژوهی خانم دکتر الهام رزاق کریمی با شماره ۹۴۳-۹۱۷ استخراج گردیده است. بدین‌وسیله از کلیه شرکت‌کنندگان و همچنین افرادی که در گرداوری و تدوین پایان‌نامه و مقاله حاضر نقش داشته‌اند، تشکر و قدردانی می‌گردد.

ملاحظات اخلاقی: پروتکل این مطالعه در کمیته اخلاق منطقه‌ای استان آذربایجان شرقی در تاریخ ۹۵/۰۵/۲۵ به شماره مرجع IR.TBZMED.REC.1395.515

منابع مالی: حمایت مالی از این طرح تحقیقاتی تحت شماره ۱۳۹۵/۰۶/۰۶ از طرف مرکز تحقیقات روانپژوهی و علوم رفتاری دانشگاه علوم پزشکی تبریز صورت پذیرفته است.

منافع متقابل: مؤلف اظهار می‌دارد که منافع متقابلی از تأثیف یا انتشار این مقاله ندارد.

مشارکت مؤلفان: ع. ف و همکاران، طراحی و اجرا و تحلیل نتایج مطالعه را بر عهده داشته و همچنین مقاله را تألیف نموده و نسخه نهایی آن را خوانده و تأیید کرده‌اند.

حاضر نتایج نشان داد افراد دارای افسردگی اساسی در مزاج خطرپرهازی به طور معنی دار نمره بالاتر و در کاراکتر خودراهبری به طور معنی دار پایین‌تر از افراد عادی می‌باشند. در این راستا مطالعه Smith و همکاران نیز مزاج خطرپرهازی بالاتر و کاراکتر خودراهبری پایین‌تر در بیماران افسرده (حتی بعد از درمان موثر) نسبت به گروه شاهد را گزارش کرده‌اند (۲۰). مطالعه Meroroi و همکاران و همچنین Celikel Klein و همکاران در بیماران افسرده اساسی سطوح مزاج خطرپرهازی بالاتر و کاراکتر خودراهبری پایین‌تر نسبت به گروه شاهد سالم گزارش کرده‌اند (۲۳). در راستای دو مطالعه مذکور، یافته‌های مطالعه ما نیز مطابق باود و سطوح بالاتر خطرپرهازی و سطوح پائین خودراهبری را در بیماران افسرده اساسی نسبت به افراد عادی گزارش کرده است. در حالی که Smith و همکاران مزاج خطرپرهازی و خودراهبری را پس از درمان در بیماران افسرده غیر طبیعی گزارش کرده‌اند اما مطالعه ما دارای فاز درمانی نبوده و صرفاً در یک مرحله انجام شده و سطوح بالای خطرپرهازی و پائین خودراهبری به دست آمده است. Winter و همکاران دارندگان مزاج خطرپرهازی بالا را مستعد اختلال افسردگی اساسی دانسته‌اند (۲۴) در حالی که خطرپرهازی بالا در مطالعه ما در کنار خودراهبری، پشتکار، پاداش خواهی پیش‌بینی‌کننده افسردگی می‌باشد و به محض اینکه نوجویی به آنها اضافه گردد، خطرپرهازی پیشگوئی کننده معنی داری نبوده و از معادله حذف می‌گردد. در این راستا طبق گزارش Poutanen و Kampman از Abram، معتقدند خطرپرهازی پیشگوی قابل اعتمادی برای درمان ضد افسردگی در افسردگی اساسی و دیس تایمی می‌باشد (۲۵). در حالی که مطالعه ما فاز درمان و پس از درمان را بررسی ننموده و در فاز افسردگی خطرپرهازی را تا حدی به عنوان پیش‌بینی‌کننده افسردگی گزارش کرده است.

نتیجه‌گیری

نتایج مطالعه حاضر نشان داد افراد مبتلا به اختلال افسردگی اساسی از نظر مزاج‌های خطرپرهازی، پاداش خواهی و پشتکار، کاراکترهای خودراهبری و همکاری با افراد عادی دارای تفاوت معنی داری می‌باشند. براین اساس افراد مبتلا به اختلال افسردگی اساسی خطرپرهازی، پاداش خواهی و خودراهبری و

References

- Wittchen HU, Jacobi F, Rehm J, Gustavsson A, Svensson M, Jönsson B, et al. The size and burden of mental disorders and other disorders of the brain in Europe 2010. *European Neuropsychopharmacology* 2010; (21): 655-679. doi: 10.1016/j.euroneuro.2011.07.018
- Sadock B J, Sadock V A. *Kaplan & Sadock's Comprehensive Textbook of Psychiatry*. 9th ed. LWW, 2009; PP: 2000-3000. doi: 10.4067/s0717-92272002000300011
- Celikel F C, Kose S, Cumurcu B E, Erkorkmaz U, Sayar K, Borckardt J J, et al. Cloninger's temperament and character dimensions of personality in patients with major depressive

- disorder. *Comprehensive Psychiatry* 2009; **50**: 556-561. doi: 10.1016/j.comppsych.2008.11.012
4. Bensaeed S, Jolfaei A G, Jomehri F, Moradi A. The relationship between major depressive disorder and personality traits. *Iran J Psychiatry* 2014; **9**(1): 37-41.
 5. Sharifi V, Asaadi S M, Mohammadi M, Amini H, Kaviani H, Semnani Y, et al. Reliability and feasibility of the Persian version of the Structured Clinical Interview for the Diagnostic SCID. *Advances in cognitive science, 2004 ACECR Scientific Information Database* 2003; **6**(22): 20-22.
 6. Steiner J I, Tebes J K, Sledge W H, Walker M L. A comparison of the Structured clinical interview for DSM-III-R and clinical diagnosis. *Nerv Ment Dis* 1995; **183**: 365-369.
 7. Lobbbestael J, Leurgans M, Arntz A. Inter-rater reliability of Structured Clinical Interview for DSM-IV Axis I Disorders (SCID I) and Axis II Disorders (SCID II). *Clinical psychology and psychotherapy* 2011; **18**: 75-79. doi: 10.1002/cpp.693
 8. Sharifi V, Assadi S M, Mohammadi M R, Amini H, Kaviani H, Semnani Y, et al. A persian translation of Structured Clinical Interview for Diagnostic and Statistical M annual of Mental Disorders. *Comprehensive Psychiatry* 2009; **50**: 86-91. doi: 10.1016/j.comppsych.2008.04.004
 9. Hamilton M. A rating scale for depression. *Neurology and Psychiatry* 1960; **23**: 56-62. doi: 10.1136/jnnp.23.1.56
 10. Hamilton M. Development of a rating scale for primary depressive illness. *British Journal of Psychology* 1967; **6**: 278-296. doi: 10.1111/j.2044-8260.1967.tb00530.x
 11. Gharaee B, Mehriar A, Mehrabi F. Attribution style in patients with comorbid anxiety and depression. *Journal of Iran psychiatry and clinical psychology* 1379; **20**: 37-42.
 12. Bech P, Tanghoj P, Andersen H, Overo K. Citalopram dose-response revisited using an alternative psychometric approach to evaluate clinical effects of four fixed citalopram doses compared to placebo in patients with major depression. *Psychopharmacology* 2002; **163**: 20-25. doi: 10.1007/s00213-002-1147-6
 13. Knescovich J W, Biggs J T, Clayton P J. Validity of the Hamilton Rating Scale for depression. *British Journal of Psychiatry* 1977; **131**: 49-52. doi: 10.1192/bjp.131.1.49
 14. Reynold S, William M, Kobak K, Kenneth A. Reliability and Validity of Hamilton depression inventory. *Psychological Assessment* 1995; **74**: 472-483. doi: 10.1037/1040-3590.7.4.472
 15. Trajkovic G, Starčević V, Latas M, Leštarević M, Ille T, Bakumirić Z, et al. Reliability of the Hamilton rating Scale for depression: A meta analysis. *Psychiatry Research* 2011; **189**: 1-9. doi: 10.1016/j.psychres.2010.12.007
 16. Cloninger C R, Svarkic D M, Przybeck T R. A Psychobiological model of temperament and character. *General Psychiatry* 1993; **50**: 975-990. doi: 10.1001/archpsyc.1993.01820240059008
 17. Kaviani H, Pournaseh M. Reliability and validity of Cloninger's temperament and character questionnaire in Iranian publication *Journal of medicine faculty* 2003; **63**(2): 89-98
 18. Richter J, Brandstorm S, Emami H, Ghazinour M. An Iranian (Farsi) version of the temperament and character inventory: A cross-cultural comparison. *Psychological reports* 2007; **100**: 1218-1228. doi: 10.2466/pr0.100.4.1218-1228
 19. Sadock BJ, Sadock V A. *Kaplan & Sadock's Synopsis of Psychiatry*. 10, LWW, 2007; PP: 350-750
 20. Smith D J, Duffy L, Stewart M E, Muir W J. Blackwood D.H.R. High harm avoidance and low self-directedness in euthymic young adults with recurrent, early-onset depression. *Journal of affective disorders* 2005; **87**: 83-89. doi: 10.1016/j.jad.2005.03.014
 21. Nery F G, Hatch J P, Nicoletti M A, Monkul E S, Najt P, Matsuo K, et al. Temperament and character traits in major depressive disorder: influence of mood state and recurrence of episodes. *Depression and anxiety* 2009; **26**: 382-388. doi: 10.1002/da.20478
 22. Mochcovitch M D, Nardi A E, Cardoso A. Temperament and character dimensions and their relationship to major depression and panic disorder. *RBP Psychiatry* 2012; **34**: 342-351. doi: 10.1016/j.rbp.2012.03.002
 23. Klein D N, Kotov R, Bufferd S J. Personality and depression explanatory models and review of the evidence. *Clin psychol* 2011; **7**: 269-295. doi: 10.1146/annurev-clinpsy-032210-104540
 24. Winter R F P, Wolterbeek R, Spinrhoven P, Zitman F G, Goekoop J G. Character and temperament in major depressive disorder and a highly anxious-retarded subtype derived from melancholia. *Comprehensive psychiatry* 2007; **48**: 426-435. doi: 10.1016/j.comppsych.2007.04.002
 25. Kampman O, Poutanen O. Can onset and recovery in depression be predicted by temperament? *Journal of affective disorders* 2011; **135**: 20-27. doi: 10.1016/j.jad.2010.12.021

Original Article

Comparison of apoptotic markers and protamine deficiency in sperm of infertile individuals with varicocele and fertile men

Shaghayegh Foroozan-Borojeni¹ , Marziyeh Tavalaee^{1*} , Mohammad Hossein Nasr-Esfahani^{1,2} 

¹Department of Reproductive Biotechnology, Reproductive Biomedicine Research Center, Royan Institute for Biotechnology, ACECR, Isfahan, Iran

²Isfahan Fertility and Infertility Center, Isfahan, Iran

*Corresponding author; E-mail: Tavalaee.m@royaninstitute.org

Received: 26 September 2017 Accepted: 13 January 2018 First Published online: 7 September 2019

Med J Tabriz Uni Med Sciences Health Services. 2019 October- November; 41(4):64-72

Abstract

Background: Heat and oxidative stress are the main pathophysiological elements of varicocele. One of the most important molecular pathways which is triggered by them is apoptosis and can be identified by various markers such as phosphatidylserine externalization and DNA fragmentation. Protamine deficiency is another phenomenon associated with varicocele. Therefore, the aim of this study was to evaluate apoptotic markers in infertile men with varicocele and correlation of these markers with sperm parameters and chromatin maturation.

Methods: In the current study, semen samples of 15 infertile men with varicocele and 15 fertile men who referred to Isfahan fertility and infertility center were used. Firstly, sperm parameters (sperm concentration, motility and morphology) were assessed based on World Health Organization guidelines (2010). Phosphatidylserine translocation, DNA fragmentation and protamine deficiency were evaluated by flow cytometry, TUNEL assay and chromomycin A3 (CMA3) staining, respectively.

Results: The results showed that mean values of sperm parameters have reduced significantly in varicocele group compared to fertile group. Phosphatidylserine externalization showed no difference between two groups but percentage of DNA fragmentation and protamine deficiency was significantly higher in study group compared to control group.

Conclusion: In infertile men with varicocele, increase in levels of DNA fragmentation, protamine deficiency and low quality of sperm parameters may be due to disturbance of testicular thermos-regulation. Further studies are needed to confirm these results. Moreover, no difference was observed in phosphatidylserine externalization which can be due to the small sample size of this study or result of transition of sperm from early to late stages of apoptosis.

Keyword: Varicocele, Apoptosis, Phosphatidylserine, DNA Fragmentation, Protamine Deficiency

How to cite this article: Foroozan-Borojeni Sh, Tavalaee M, Nasr-Esfahani M H .[Evaluation of sperm apoptotic markers and protamine deficiency in sperm of infertile individuals with varicocele compared to fertile men]. Med J Tabriz Uni Med Sciences Health Services. 2019 October- November; 41(4):64-72. Persian.

مقاله پژوهشی

مقایسه مارکرهای آپوپتوزی و کمبود پروتامین در اسپرم افراد نابارور دچار واریکوسل با افراد بارور

شایقی فروزان بروجنی^۱، مرضیه تولانی^{۱*}، محمد حسین نصر اصفهانی^۲

^۱پژوهشگاه رویان، پژوهشکده زیست فناوری جهاددانشگاهی، مرکز تحقیقات پزشکی تولید مثل، گروه زیست فناوری تولید مثل، اصفهان، ایران
^۲مرکز باروری و ناباروری اصفهان، اصفهان، ایران
نویسنده مسئول؛ ایمیل Tavalaeem@royaninstitute.org

دریافت: ۱۳۹۶/۷/۴ پذیرش: ۱۳۹۶/۱۰/۲۲ انتشار برخط: ۱۳۹۸/۶/۱۶
مجله پژوهشگاه علوم پزشکی و خدمات بهداشتی-درمانی تبریز. مهر و آبان ۱۳۹۸؛(۴):۶۴-۷۲

چکیده

زمینه: به نظر می‌رسد که استرس گرمایی و استرس اکسیداتیو فاکتورهای اصلی پاتوفیزیولوژی واریکوسل هستند. یکی از مهم‌ترین مسیرهای مولکولی که در اثر آن‌ها به راه می‌افتد، آپوپتوز است و با نشانگرها مختلفی مانند خروج فسفاتیدیل سرین و قطعه قطعه شدن DNA قابل شناسایی است. کمبود پروتامین از دیگر پدیده‌های مرتبط با واریکوسل است. لذا هدف از انجام این مطالعه بررسی نشانگرها آپوپتوز در افراد نابارور با واریکوسل و ارتباط این نشانگرها با پارامترهای اسپرمی و بلوغ کروماتین بود.

روش کار: در این مطالعه از نمونه مایع منی ۱۵ مرد بارور با واریکوسل و ۱۵ مرد بارور مراجعه‌کننده به مرکز باروری و ناباروری اصفهان، استفاده شد. ابتدا پارامترهای اسپرمی (غلطت، تحرک و مورفوЛОژی اسپرم) بر اساس راهبردهای سازمان جهانی بهداشت (۲۰۱۰) ارزیابی شد. سپس به ترتیب جایه‌جایی فسفاتیدیل سرین با فلوسایتومنتری، قطعه قطعه شدن DNA با روش TUNEL و کمبود پروتامین با رنگ آمیزی کرومومایسین A3 (CMA3) بررسی شدند.

یافته‌ها: نتایج نشان داد که پارامترهای اسپرمی به طور معنی‌داری در گروه واریکوسل نسبت به گروه بارور کاهش یافته است. خروج فسفاتیدیل سرین تفاوتی بین دو گروه نشان نداد اما درصد قطعه قطعه شدن و کمبود پروتامین در گروه مورد نسبت به گروه شاهد به طور معنی‌داری بیشتر بود.

نتیجه گیری: در افراد نابارور با واریکوسل، افزایش سطح آسیب DNA، کمبود پروتامین و کیفیت پایین اسپرم می‌تواند به علت اختلال در تنظیم دمایی بیضهای باشد. مطالعات بیشتری برای تایید این نتایج مورد نیاز است. همچنین تفاوتی بین میزان خروج فسفاتیدیل سرین بین گروه‌ها دیده نشد که شاید به خاطر تعداد محدود افراد شرکت‌کننده در این مطالعه و یا عبور اسپرم‌ها از مراحل اولیه آپوپتوز و ورود آن‌ها به مراحل انتهایی مرگ سلولی باشد.

کلید واژه‌ها: واریکوسل، آپوپتوز، فسفاتیدیل سرین، قطعه قطعه شدن DNA، کمبود پروتامین

نحوه استناد به این مقاله: فروزان بروجنی ش، تولانی م، نصر اصفهانی م. بررسی مارکرهای آپوپتوزی و کمبود پروتامین در اسپرم افراد نابارور با واریکوسل در مقایسه با افراد بارور. مجله پژوهشگاه علوم پزشکی و خدمات بهداشتی-درمانی تبریز. ۱۳۹۸؛(۴):۶۴-۷۲.

حق تأثیف برای مؤلفان محفوظ است.

این مقاله با دسترسی آزاد توسط دانشگاه علوم پزشکی و خدمات بهداشتی-درمانی تبریز تحت مجوز کریپتو کامنز (Creative Commons BY 4.0) منتشر شده که طبق مفاد آن هرگونه استفاده تنها در صورتی مجاز است که به اثر اصلی به نحو مقتضی استناد و ارجاع داده شده باشد.

مقدمه

فاکتورهایی مانند به راه افتادن آبشار آپوپتوزی، فرار از آپوپتوز، شکستهای ترمیم نشده DNA در زمان بازآرایی کروماتین حین اسپرماتوژنر، بسته‌بندی ناقص کروماتین یا استرس اکسیداتیو باشد (۹). محققان نشان داده‌اند که در افراد نابارور میزان اسپرم‌های آپوپتوزیک بیشتر از افراد بارور می‌باشد. همچنین مشاهده شده است که اسپرم افراد مبتلا به واریکوسل نیز سطوح بالایی از آپوپتوز را نشان می‌دهد. با این حال گزارش‌ها در این رابطه ضد و نقیض هستند (۱۰، ۱۱). از این‌رو، هدف از انجام این مطالعه آن بود که نشانگرهای آپوپتوز در افراد نابارور با واریکوسل بررسی شوند و ارتباط این نشانگرهای اسپرمی و بلوغ کروماتین مورد ارزیابی قرار گیرد.

روش کار

در این مطالعه که از نوع مورد-شاهدی بود با توجه به مطالعات پیشین از ۱۵ مرد نابارور با واریکوسل گردید II و III و ۱۵ مرد بارور کاندیدای Genetic PGS (Preimplantation Screening) مراجعت کننده به مرکز باروری و ناباروری اصفهان بین پائیز ۹۴ تا بهار ۹۵، نمونه مایع منی گرفته شد. لازم به ذکر است که از تمام افراد پیش از ورود به مطالعه رضایت‌نامه اخذ گردید و تمامی آن‌ها پرسش‌نامه‌ای مربوط به وضعیت سلامت، بهداشت، سبک زندگی و غیره پر کردند. جمع‌آوری نمونه مایع منی از طریق استمنا و پس از ۳-۵ روز پس از پرهیز جنسی در ظروف مخصوص استریل انجام گرفت و به کارکنان آزمایشگاه آنдрولوژی مرکز باروروی و ناباروروی اصفهان تحویل داده شد. باقی مراحل کار توسط پژوهشگر در آزمایشگاه آندرولوژی پژوهشکده زیست‌فناوری روبان اصفهان صورت گرفته است. نمونه به مدت ۳۰-۱۵ دقیقه در دمای محیط قرار گرفت تا مایع شدگی رخ دهد. پس از آن ابتدا حجم نمونه توسط ترازوی دیجیتال اندازه‌گیری شد و سپس قسمتی از نمونه به منظور بررسی پارامترهای اسپرمی (تعداد، تحرک و مورفو‌لوزی اسپرم) بر اساس راهبردهای سازمان جهانی بهداشت (WHO, 2010) برداشته شد (۱۲). باقی مانده نمونه جهت بررسی جایی فسفاتیدیل سرین با فلوسایتومنتری، قطعه قطعه شدن DNA با روش TUNEL و کمبود پروتامین با رنگ‌آمیزی کرومومایسین A3 (CMA3) استفاده گشت (۱۳). معیارهای خروج از مطالعه عبارت بودند از: سن بالای ۵۰ سال، استعمال دخانیات، مشروبات الکلی و مواد مخدر، ناباروری ثانویه، لوکوسیتو اسپرمی، آزو اسپرمی، تب بالا تا ۹۰ روز قبل از نمونه گیری، مشکلات هورمونی، مشکلات آناتومیک، اختلاف سایز بیضه‌ها، سندروم کلاین-فلتر، سرطان، واریکوسل گردید I بازگشت واریکوسل، عفونت مجاری ادراری-تناسلی، سابقه‌ی آسیب یا جراحی کیسه بیضه و مواجهات شغلی. به منظور بررسی

به اتساع و پیچش غیرطبیعی وریدهای طناب اسپرماتیک واریکوسل گفته می‌شود که حدوداً در ۳۵-۵۰ درصد جمعیت مردان با ناباروری اولیه و ۸۰ درصد جمعیت مردان با ناباروری ثانویه دیده می‌شود. از این‌رو در میان فاکتورهای ناباروری مربوط به مردان، واریکوسل از شیوع بالاتری برخوردار است (۱). محققان عواملی همچون استرس گرمایی، استرس اکسیداتیو، عدم تعادل هورمونی، هایپوکسی وغیره را عوامل مرتبط با پاتولوژی واریکوسل می‌دانند. البته به نظر می‌رسد که در این زمینه بازیگران اصلی دو عامل استرس گرمایی و استرس اکسیداتیو باشند (۲). در صورت رخداد این شرایط استرس زاء، یکی از مسیرهای مولکولی که در اسپرم فعال می‌گردد، آپوپتوز یا مرگ برنامه‌ریزی شده سلول یک مسیر حفاظت‌شده در طول تکامل به‌منظور حذف سلول‌های ناکارآمد و آسیب‌دیده است. آپوپتوز شامل رویدادهای بیوشیمیایی است که منجر به تغییرات مورفو‌لوزیک و درنهایت حذف سلول توسط فاگوسیت‌ها یا سلول‌های مجاور می‌شود. درنتیجه به‌منظور تمیز دادن سلول‌های سالم از سلول‌های آپوپتوزی به نشانگرهایی در سطح سلول نیاز است (۴). غشاها زیستی از صدھا لبید مختلف تشکیل شده‌اند که با یکدیگر در زنجیره‌های اسید چرب، چیدمان ستون فقرات و گروههای سر تفاوت دارند. از میان لبیدهای متفاوتی که در غشاها زیستی یافت می‌شوند می‌توان به فسفولیپیدهای فسفاتیدیل کولین (PC)، فسفاتیدیل سرین (PS)، و فسفاتیدیل اتانول آمین (PE)، اسفنگولبید اسفنگومیلین (SPH) و کلسترول اشاره کرد. مدت‌های طولانی است که توزیع غیرمتقارن فسفولیپیدهای مختلف در دو سوی غشای پلاسمایی سلول‌های پستانداران شناخته شده است، واقعیتی که برای اولین بار در گلبول‌های قرمز کشف شد (۵). از این میان PS و PE بیشتر در نیم لایه درونی، و PC و SPH بر روی سطح بیرونی دیده می‌شوند و شایع‌ترین مورد سنجش، توزیع PS است. این مسئله شاید به این خاطر است که پروتئین‌هایی که به طور اختصاصی به این فسفولیپید متصل می‌گردند، در دسترس هستند (۶). قرار گرفتن PS در سطح سلول در حیوانات چند سلولی علل و پیامدهای مهم فیزیولوژیک دارد. از میان این علل و پیامدها می‌توان به نقش خروج PS در لخته شدن خون، فیوژن میوبلاست‌ها، لفاح اسپرم با تخمک، حذف اریتروسیت‌ها و حذف آپوپتوزی سلول‌ها اشاره کرد (۶). خروج فسفاتیدیل سرین و رفتان آن به سطح خارجی غشا پلاسمایی از مهم‌ترین نشانگرهای مراحل اولیه آپوپتوز و سیگنالی برای فاگوسیتوز سلول آپوپتوزی می‌باشد. همچنین قطعه قطعه شدن DNA یکی از شناخت‌شده‌ترین نشانگرهای مرتبط با DNA در انتهای آپوپتوز است (۷، ۸). امکان قطعه قطعه شدن مراحل انتها ای آپوپتوز دارد و می‌تواند در اثر در تمامی مراحل اسپرماتوژنر وجود دارد و می‌تواند در اثر

گرفتند. پس از گذشت این زمان ادامه فرآیند آنزیمی با اضافه کردن محلول SSC به مدت ۱۵ دقیقه در دمای اتاق مهار گشت. پس از شستشوی لامها با PBS^{۲۰} لامها با استفاده از عدسی X ۱۰۰ میکروسکوپ فلورسنت (الیمپوس، ژاپن) مورد بررسی قرار گرفتند. در هر لام حداقل ۲۰۰ اسپرم شمارش شد و درصد اسپرم‌های قرمز (TUNEL مثبت با DNA قطعه قطعه) محاسبه و اسپرم‌های سبز (TUNEL مثبت با DNA قطعه قطعه) مایع و نتایج به صورت درصد قطعه قطعه شدن DNA گزارش شد (۱۳). CMA3 یک آنتی‌بیوتیک گلیکوزیدی با خاصیت ضد قارچی و ضد توموری است که به صورت برگشت‌پذیر به شیار کوچک DNA متصل می‌شود. می‌توان از این ماده به عنوان یک رنگ فلورسنت رنگ کننده کروموزوم، برای شناسایی غیرمستقیم کمبود پروتامین اسپرم استفاده کرد. در این رنگ‌آمیزی اسپرم‌هایی که کمبود پروتامین داشته باشند به رنگ زرد براق و اسپرم‌های محتوی پروتامین طبیعی به رنگ زرد کدر و یا قهوه‌ای دیده می‌شوند. به منظور انجام این رنگ‌آمیزی ابتدا نمونه مایع منی با PBS با دور rpm ۳۰۰۰ به مدت ۵ دقیقه دو بار شستشو داده شد. سپس نمونه و فیکساتیو کارنوی (نسبت ۳:۱ از متابولو و اسید استیک) به نسبت ۱:۱ حجمی مخلوط شدند و به مدت ۵ دقیقه در دمای ۴ درجه سانتی‌گراد قرار گرفتند. از این مخلوط بر روی لام اسپیر تهیه گشت و پس از خشکشدن اسپیر، ۱۰۰ میکرولیتر از محلول رنگ CMA3 (سیگما، آمریکا) (۰/۲۵ mg/ml) در بافر مک الین (میلی‌لیتر اسید سیتریک ۰/۱ مولار، ۳۲/۹ میلی‌لیتر Na₂HPO₄.۷H₂O ۰/۲ مولار، ۱۰ میلی‌مولار MgCl₂ pH=۷) بر روی اسپیرها ریخته و به مدت ۲۰ دقیقه در تاریکی زمان داده شد. پس از گذشت این زمان لامها با PBS دو بار شستشو داده شدند و با استفاده از عدسی X ۱۰۰ میکروسکوپ فلورسنت مورد بررسی قرار گرفتند. در هر لام حداقل ۲۰۰ اسپرم شمارش و درصد اسپرم‌های CMA3 مثبت گزارش شد (۱۳). اطلاعات حاصل در نرم افزار SPSS 22/۰ به وارد شد و پس از بررسی نرمال بودن داده‌ها به وسیله‌ی تست Shapiro-Wilk با استفاده از آنالیزهای آماری Two-tailed Pearson correlation برای مقابله میانگین بین دو گروه و مورد ارزیابی قرار گرفت. نمودارها در Microsoft Excel 2013 ترسیم گردید. در صورتی که $P\text{-Value} < 0.05$ بود، تفاوت داده‌ها از لحاظ آماری معنی‌دار محسوب شد.

یافته‌ها

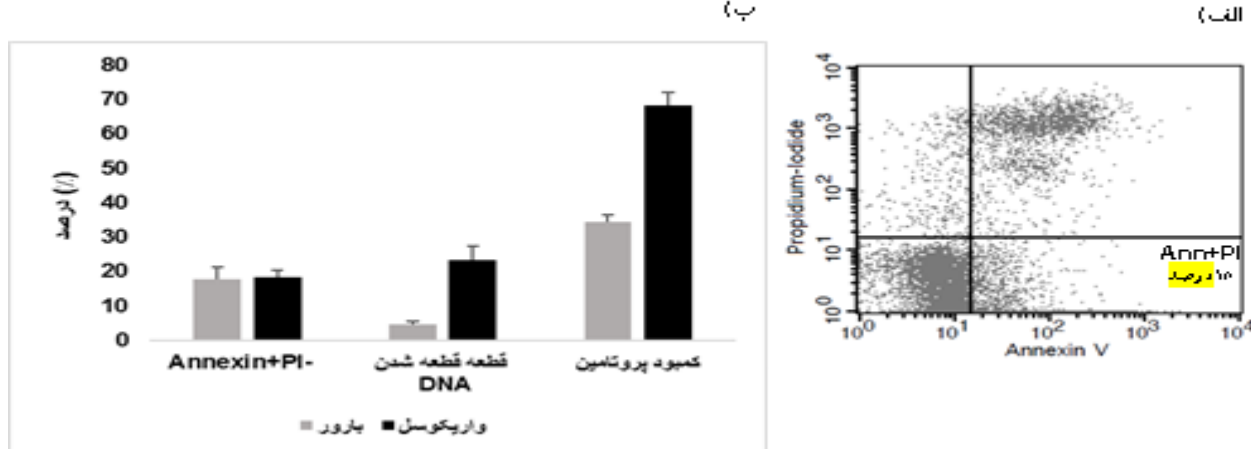
مقایسه پارامترهای اسپرمی میان افراد نابارور با واریکوسل و بارور نشان داد که میانگین غلظت اسپرم در افراد نابارور با واریکوسل به طور معنی‌داری کمتر از افراد بارور بود ($P < 0.001$). همچنین میانگین تحرک کل اسپرم نیز در این افراد به صورت معنی‌داری

میزان جایه‌جایی فسفاتیدیل‌سرین از کیت annexin V (products، هلند) استفاده شد. AnnexinV یک پروتئین سلولی وابسته به کلسیم است که به طور اختصاصی به فسفاتیدیل‌سرین متصل می‌شود و در نتیجه می‌توان از آن برای شناسایی و اندازه‌گیری فسفاتیدیل‌سرینی که از نیمه داخلی غشا به نیمه خارجی غشا آمده است، استفاده نمود. به طور خلاصه و بر اساس پروتکل، حدود ۲-۱ میلیون اسپرم از مایع منی با ۱ میلی‌لیتر از بافر کلسیم X ۱ و در دور rpm ۳۰۰۰ به مدت ۵ دقیقه سانتریفیوژ و مایع رویی ریخته شد. سپس ۱۰ میکرولیتر از AnnexinV به FITC اضافه گردید و سوسپانسیون سلولی به مدت ۲۰ دقیقه روی یخ در تاریکی قرار گرفت. پس از گذشت این زمان به سوسپانسیون ۱ میلی‌لیتر بافر کلسیم X ۱ اضافه و در دور rpm ۳۰۰۰ به مدت ۵ دقیقه سانتریفیوژ شد. پس از دور ریختن مایع رویی، ۹۰ میکرولیتر بافر کلسیم X ۱ و ۱۰ میکرولیتر رنگ Iodide (PI) اضافه گردید و سوسپانسیون به مدت ۱۰ دقیقه در تاریکی بر روی یخ قرار گرفت. پس از گذشت این زمان، سلول‌ها سریعاً توسط فلوسایتو‌متری شمارش شدند (۱۳). AnnexinV متصصل به FITC از خود فلورسانس سبز نشان می‌دهد. میزان رنگ سبز با فلوسایتو‌متری با لیزر آرگونی با طول موج ۴۸۸ نانومتر خوانده شد. برای هر نمونه ۱۰۰۰۰ سلول شمارش شد. جمعیت اسپرمی ممحضور، انتخاب و فلورسنس سبز و قرمز (PI) شناسایی و اندازه‌گیری شد. سپس درصد اسپرم‌های زنده و AnnexinV مثبت (+) یا همان اسپرم‌های آپوپتوزی گزارش شد (۱۳). روشهای مناسب و با دقت بالا برای اندازه‌گیری میزان آسیب DNA اسپرم است. در این روش به انتهای OH-۳ آزاد شکسته شده در سلول‌ها، به کمک آنزیم دئوکسی‌نوکلئوتیدیل ترانس‌فراز انتهایی، یک dUTP متصصل به فلوروروسین اضافه می‌شود. سپس DNA dUTP ای که توسط آنزیم با به طور مستقیم زیر میکروسکوپ فلورسنت مشاهده شده است را می‌توان مطالعه بر اساس دستورالعمل کیت مربوطه (پرومگا، آلمان) به طور خلاصه به صورت زیر عمل شد. ابتدا نمونه مایع منی با PBS phosphate buffered saline (PBS) با دور rpm ۳۰۰۰ به مدت ۵ دقیقه دو بار شستشو داده شد و سپس از آن اسپیری بر روی لام تهیه گشت. اسپیرها با محلول پارافرمالدئید ۴ درصد به مدت ۲۰ دقیقه فیکس شدند و پارافرمالدئید اضافی از نامه PBS نشسته شد. سپس به منظور نفوذپذیر کردن غشا اسپرم‌ها محلول Triton X-۱۰۰ درصد به مدت ۵ دقیقه در دمای اتاق به اسپیرها اضافه گردید. پس از شستشو لام با PBS بافر به مدت ۵ دقیقه به اسپیرها اضافه شد. سپس مخلوطی از نوکلئوتیدهای نشاندار و آنزیم rTdT بر روی لامها ریخته شد و لامها به مدت ۹۰ دقیقه بر روی حمام آبی در دمای ۳۷ درجه سانتی‌گراد قرار

بررسی شد. همان‌گونه که در جدول ۲ مشخص است، بین پارامترهای اسپرمی (غلاظت، تحرک، مورفولوژی غیرطبیعی) و درصد اسپرم‌های زنده با خروج فسفاتیدیل‌سرین رابطه‌ی معنی‌داری دیده نشد (به ترتیب: $P = 0.19$, $P = 0.54$, $P = 0.31$). بین غلاظت اسپرم با درصد مورفولوژی غیرطبیعی اسپرم، درصد قطعه قطعه شدن DNA و کمبود پروتامین، روابط منفی معنی‌داری (به ترتیب: $P = 0.001$, $P = 0.01$, $P = 0.001$) دیده شد ولی با درصد تحرک کل اسپرم رابطه‌ی مثبت و معنی‌داری مشاهده شد ($P = 0.01$). بین درصد تحرک کل اسپرم نیز با درصد قطعه قطعه شدن DNA و همچنین کمبود پروتامین، روابط منفی معنی‌داری دیده شد (به ترتیب: $P = 0.004$, $P = 0.001$). علاوه بر این بین درصد مورفولوژی غیرطبیعی اسپرم با کمبود پروتامین، رابطه مثبت و معنی‌داری وجود داشت ($P = 0.007$). درصد اسپرم‌های زنده با خروج فسفاتیدیل‌سرین تنها با کمبود پروتامین رابطه مثبت و معنی‌داری نشان داد ($P = 0.009$) (جدول ۲). علاوه بر روابط ذکر شده در بالا، درصد قطعه قطعه شدن DNA با کمبود پروتامین نیز رابطه مثبت و معنی‌داری داشت ($r = 0.007$, $P = 0.007$).

کمتر از افراد بارور مشاهده شد ($P < 0.001$). میانگین درصد مورفولوژی غیرطبیعی اسپرم در افراد نابارور با واریکوسل به صورت معنی‌داری بیشتر از افراد بارور بود ($P = 0.01$) (جدول ۱). خروج فسفاتیدیل‌سرین به سیله پروتئین AnnexinV و با استفاده از روش فلوسایتو‌متری ارزیابی و درصد اسپرم‌های زنده با خروج فسفاتیدیل‌سرین (AnnexinV+PI-) گزارش شد. در شکل ۱-الف، نمودار فلوسایتو‌متری برای خروج فسفاتیدیل‌سرین نشان داده شده است. همان‌گونه که در شکل ۱-ب نیز مشخص است، ارزیابی خروج فسفاتیدیل‌سرین با استفاده از فلوسایتو‌متری حاکی از آن است که تفاوت معنی‌داری در میانگین درصد خروج فسفاتیدیل‌سرین بین افراد نابارور با واریکوسل (18.3 ± 2) و افراد بارور (3.6 ± 0.8) وجود نداشت ($P = 0.08$) (نتایج حاصل از تست TUNEL نشان داد که میانگین درصد قطعه قطعه شدن DNA در افراد نابارور با واریکوسل (23.3 ± 4.2) به طور معنی‌داری نسبت به افراد بارور (0.9 ± 0.9) بالاتر بود ($P = 0.001$) (شکل ۱-ب). نتایج به دست آمده از رنگ‌آمیزی CMA3 نشان داد که میانگین درصد کمبود پروتامین در افراد نابارور با واریکوسل (68.3 ± 27) به صورت معنی‌داری بیشتر از افراد بارور (2.2 ± 0.9) بود (شکل ۱-ب) (ارتباط بین پارامترهای اسپرمی، مارکرهای آپوپتوز و کمبود پروتامین

پارامتر	بارور (میانگین + خطای استاندارد)	واریکوسل (میانگین + خطای استاندارد)	N=۱۵
P-value			
$P < 0.001$	25.0 ± 8.4	129.2 ± 17.4	غلاظت اسپرم (۱۰ ^۶ در هر میلی لیتر)
$P < 0.001$	36.9 ± 5.5	65.4 ± 4.4	تحرک کل اسپرم (درصد)
$P = 0.01$	97.9 ± 0.3	94.8 ± 0.9	مورفولوژی غیرطبیعی اسپرم (درصد)



شکل ۱: نتایج حاصل از بررسی خروج فسفاتیدیل‌سرین (Annexin+PI-), قطعه قطعه شدن DNA و کمبود پروتامین بین مردان بارور و افراد نابارور با واریکوسل. الف) نمودار فلوسایتو‌متری برای خروج فسفاتیدیل‌سرین (AnnexinV+PI-) مقایسه میانگین اسپرم‌های زنده با خروج فسفاتیدیل‌سرین (Annexin+PI-)، اسپرم‌های با DNA قطعه قطعه و اسپرم‌های با کمبود پروتامین بین مردان بارور و افراد نابارور با واریکوسل (* نشان‌دهنده $P < 0.05$, ** نشان‌دهنده $P < 0.01$).

غلفت اسپرم در یک میلی لیتر)	تحرک کل اسپرم (درصد)	غلفت اسپرم در ۱۰ ^۹ اسپرم	مورفولوژی غیرطبیعی اسپرم (درصد)	-Annexin+PI (درصد)	قطعه قطعه شدن کمبود پروتامین (درصد)	DNA
۱۰ ^۹ (۱ در یک میلی لیتر)	۰/۴۷ [*]	۱	-۰/۸۱ ^{**}	-۰/۲۵	-۰/۴۷ [*]	-۰/۴۷ [*]
۰/۴۷ [*]	۱	۰/۴۷ [*]	-۰/۲۸	-۰/۱۲	-۰/۶۵ ^{**}	-۰/۴۷ [*]
۰/۵۶ ^{**}	-۰/۲۸	-۰/۱۱ ^{**}	۱	۰/۱۹	۰/۳۶	۰/۵۶ ^{**}
۰/۵۶ ^{**}	-۰/۱۲	-۰/۰۵ ^{**}	۱	-۰/۰۷	-۰/۰۷	-۰/۵۶ ^{**}

* ارتباط در سطح P-Value کمتر از ۰/۰۵ معنی دار در نظر گرفته شده است.
** ارتباط در سطح P-Value کمتر از ۰/۰۱ معنی دار در نظر گرفته شده است.

بحث

معنی دار تحرک اسپرم را در مبتلایان به واریکوسل در مقایسه با افرادی که به این وضعیت دچار نبودند، گزارش کردند (۱۰). اسپرماتوژنر یک فرآیند بسیار منظم و پیچیده از تقسیم، تمایز و بلوغ سلول‌های جنسی نر است. به علاوه طی این فرآیند به منظور دست‌یابی به جمیعتی از اسپرم‌های سالم و با DNA آسیب ندیده، مرگ طبیعی سلول زایا یا آپوپتوز در اسپرماتوگونی‌ها رخ می‌دهد که نقش مهمی در تولید و بلوغ اسپرم در بیضه دارد (۱۹). در سال ۱۹۹۹ Sakkas و همکاران تئوری‌ای تحت عنوان «فرار از آپوپتوز» ارائه کردند. طبق این نظریه اسپرم‌هایی که باید در روند مرگ سلولی حذف شوند از این روند خارج و به صورت ناقص دستخوش فرآیند آپوپتوز می‌شوند و درنهایت همراه دیگر اسپرم‌ها در مایع منی حضور پیدا می‌کنند. در بیضه افراد بالغ، طی یک اسپرماتوژنر طبیعی سلول‌های زایا دچار تجزیه خود به خودی می‌شوند. تخمین زده شده است که طی این تجزیه، ۲۵-۷۵ درصد این سلول‌ها از دست می‌روند (۲۰). ممکن است تغییر در این پروسه طبیعی، برای ناباروری حاصل از واریکوسل در انسان مهم باشد. تحقیقات پیشین نشان داده‌اند که شرایط استرس‌زا مانند استرس حرارتی، باعث آسیب به سلول‌های زایا در بیضه و به راه افتادن مسیرهای مرگ سلولی درون سلول‌های زایا در بیضه می‌شوند (۳). عدم حذف کامل این سلول‌های آسیب‌دیده در بیضه و فرار آن‌ها از آپوپتوز، می‌تواند توجیه گر میزان بالاتر اسپرم‌هایی با DNA آسیب‌دیده در انزال مردان نابارور با واریکوسل به نسبت افراد بارور در این مطالعه باشد. این مشاهده با سایر مطالعات انجام شده در این زمینه هم خوانی دارد. Ni و همکاران گزارش کردند که در افراد مبتلا به واریکوسل بالینی، هم در مبتلایان با پارامترهای اسپرمی طبیعی و هم در مبتلایان الیگوآستنوزواسپرمی، میزان قطعه قطعه شدن DNA بالاتر است (۲۱). سایر محققان نیز درصد قطعه قطعه شدن DNA را در افراد نابارور با واریکوسل بالاتر از افراد بارور گزارش کردند (۱۱، ۲۲، ۲۳). در رابطه با دیگر مارکر آپوپتوز یعنی خروج فسفاتیدیلسرین، برخلاف Wu و همکاران و Vignera و همکاران در مطالعه حاضر تفاوتی بین میانگین خروج فسفاتیدیلسرین بین دو گروه دیده نشد (۲۲، ۲۳). البته باید خاطر نشان کرد که نمی‌توان به تمامی سلول‌هایی که خروج

با درک بهتر پاتوفیزیولوژی ناباروری مردان به واسطه‌ی واریکوسل می‌توان فهم بهتری از اثرات زیان‌بار واریکوسل بر اسپرماتوژنر چگونگی تبیین استراتژی‌های مؤثر درمانی و همچنین انتخاب مناسب بیمارانی که می‌توانند از این درمان‌ها بهره ببرند، به دست آورد. شواهد موجود از هایپرترمی اسکرتوومی و استرس اکسیداتیو به عنوان عناصر کلیدی در پاتوفیزیولوژی ناباروری بهموجب واریکوسل حمایت می‌کنند (۲). ROS‌ها محصولات جانی متابولیسم اسپرم هستند که نقش‌های مهمی در عملکردهای فیزیولوژیک اسپرم دارند. با این حال تولید بیش از حد ROS منجر به پیری اسپرم و ورود آن به مسیرهای آپوپتوزی می‌شود (۱۴). در مطالعات مختلف رابطه‌ی مستقیم بین درجه حرارت و میزان ROS نشان داده است. در صورت وجود استرس گرمایی تولید ROS از میتوکندری و متعاقب آن غشای پلاسمایی، سیتوپلاسم و پراکسی زوم افزایش پیدا می‌کند. در این رابطه افزایش تولید ROS میتوکندریایی ممکن است به واسطه مهار کمپلکس‌های زنجیره انتقال الکترون میتوکندری در اثر حرارت باشد که منجر به انتقال الکترون به اکسیژن مولکولی، شکل‌گیری ROS و مهار ستنز آدنوزین تری فسفات می‌گردد (۱۵). همچنین شواهدی مبنی بر افزایش تولید نیتریک اکسید ستاز القاء شونده به واسطه گرما، افزایش تولید نیتریک اکسید درنتیجه آن و امکان ارتباط این افزایش با تخریب بیضه در واریکوسل وجود دارد. در این رابطه نشان داده شده است که میزان نیتریک اکسید و نیتریک اکسید ستاز در مایع منی مردان نابارور مبتلا به واریکوسل افزایش می‌یابد. میزان بیش از حد نیتریک اکسید می‌تواند سبب عدم تحرک اسپرم و آپوپتوز اسپرم بیضه‌ای شود (۱۶). از دیگر مکانیسم‌های احتمالی مرتبط با هایپرترمی اسکرتوومی و ROS می‌توان به افزایش تولید فعالیت آنزیم گراتین اکسیداز، مهار هم اکسیژنаз و کمبود پروتئین‌های شوک حرارتی اشاره کرد (۲). در مطالعه حاضر هم راستا با سایر مطالعات مشخص شد که واریکوسل باعث کاهش کیفیت مایع منی ازجمله غلفت، تحرک و مورفولوژی اسپرم می‌شود. در این راستا، Pasqualotto و همکاران و Bahreinian و همکاران نشان داده‌اند که در افراد مبتلا به واریکوسل کیفیت پارامترهای اسپرمی کاهش می‌یابند (۱۷، ۱۸). همچنین Moretti و همکاران کاهش

شاید بتوان نتیجه گرفت که رابطه‌ی ذکر شده بین کمبود پروتامین و خروج فسفاتیدیل سرین در مطالعه حاضر حاکی از این عدم بلوغ است.

نتیجه‌گیری

در کل نتایج این مطالعه حاکی از آن است که در افراد نابارور با واریکوسل، افزایش سطح آسیب DNA و کمبود پروتامین دیده می‌شود که می‌تواند به علت عدم حذف اسپرم‌های غیرطبیعی در بیضه و راه یافتن آن‌ها به مایع منی باشد. همچنین تفاوتی بین میزان خروج فسفاتیدیل سرین بین گروه‌ها دیده نشد که شاید به خاطر عبور سلول‌ها از مراحل اولیه آپوپتوز و ورود آن‌ها به مراحل انتهایی مرگ سلولی (شکستگی DNA) باشد و احتمالاً این میزان از خروج فسفاتیدیل سرین که در دو گروه دیده شد، سطحی پایه با عملکرد فیزیولوژیک می‌باشد که البته تایید این موضوع نیاز به مطالعات بیشتر دارد.

قدرتانی

نویسنده‌گان مرتب تقدیر و تشکر خود را از کارکنان و مسؤولین پژوهشکده زیست فناوری رویان اصفهان و مرکز باروری و ناباروری اصفهان ابراز می‌دارند.

منابع مالی

نتایج این مقاله استخراج شده از طرح تحقیقاتی به شماره ۹۴۰۰۱۶۵ تصویب شده در پژوهشگاه رویان می‌باشد. هزینه‌های این طرح توسط این موسسه تأمین شده است.

ملاحظات اخلاقی

ملاحظات اخلاقی شامل نمی‌شود.

منافع متقابل

مؤلفان اظهار می‌دارند که منافع متقابلی از تأثیف یا انتشار این مقاله ندارند.

مشارکت مؤلفان

ش ف ب، اجرای طرح، جمع‌آوری داده‌ها و تأثیف مقاله را بر عهده داشت. م ح ن الف و م ت استادان راهنما و مشاور طرح بوده، آنالیز داده‌ها، تأثیف مقاله را بر عهده داشته و نسخه نهایی را تائید کرده‌اند.

References

- Alsaikhan B, Alrabeeah K, Delouya G, Zini A. Epidemiology of varicocele. *Asian J Androl* 2016; **18**(2): 179-181. doi: 10.4103/1008-682X.172640
- Cho C L, Esteves S C, Agarwal A. Novel insights into the pathophysiology of varicocele and its association with reactive oxygen species and sperm DNA

فسفاتیدیل سرین دارند، "سلول آپوپتوزی" اطلاق کرد، چرا که خروج فسفاتیدیل سرین می‌تواند نشانگر اتفاقات فیزیولوژیک مانند ظرفیت‌یابی و واکنش آکروزومی نیز باشد (۶). در این رابطه Kotwicka و همکاران گزارش کردند که خروج فسفاتیدیل سرین، در اسپرم‌ها با مورفوولوژی طبیعی و اسپرم‌های پاتولوژیک قابل مشاهده است (۲۴). همچنین Moretti و همکاران تفاوت معنی‌داری در خروج فسفاتیدیل سرین بین گروه مبتلا به واریکوسل و گروهی که مبتلا به واریکوسل نبودند، مشاهده نکردند (۱۰). از آنجایی که در مطالعه حاضر تفاوت معنی‌داری در قطعه قطعه شدن DNA بین دو گروه دیده شد، شاید بتوان این نتیجه‌گیری را نمود که عدم مشاهده تفاوت در خروج فسفاتیدیل سرین بین گروه‌ها در اثر عبور اسپرم‌ها از مراحل اولیه و ورود آن‌ها به مراحل انتهایی آپوپتوز است. مطالعات پیشین افزایش میزان قطعه قطعه شدن DNA را در افرادی که پارامترهای غیرطبیعی اسپرمی دارند، بیان کرده‌اند که این مسئله با روابط دیده شده بین پارامترهای اسپرمی و قطعه قطعه شدن DNA در مطالعه حاضر هم راست است (۲۱). در رابطه با ارتباط خروج فسفاتیدیل سرین و کاهش پارامترهای اسپرمی نتایج مطالعات ضد و نقیض وجود دارند (۲۵). در مطالعه حاضر هم راستا با مطالعاتی همچون Lachaud و همکاران و Martin و همکاران ارتباطی بین پارامترهای اسپرمی و خروج فسفاتیدیل سرین یافت نشد (۲۶)، (۲۷). طی اسپرمیوژنر به منظور حفاظت از کروماتین اسپرم در برابر نوکلئازها و امکان جای گیری آنها در فضای بسیار اندک سر اسپرم ۸۵ درصد هیستون‌ها با پروتامین‌ها جایگزین می‌شوند (۲۸). مشاهدات Navaeian-Kalat و همکاران و سایر محققان حاکی از آن است که در افراد نابارور مبتلا به واریکوسل بسته‌بندی کروماتین با نقص روبه‌رو است (۱۸، ۲۹). در این باره نتایج ما نیز همسو با DNA و کمبود پروتامین رابطه مستقیم معنی‌داری وجود دارد. از آنجایی که در صورت وجود نقص در بسته‌بندی کروماتین اسپرم، مستعد آسیب می‌گردد، می‌توان استنباط کرد که نتایج به دست آمده با واقعیت‌های موجود هم‌خوانی دارند (۳۰). بین کمبود پروتامین و خروج فسفاتیدیل سرین نیز رابطه مثبت معنی‌داری مشاهده گشت. جالب توجه است که Kotwicka و همکاران گزارش کردند که در اکثر موارد خروج فسفاتیدیل سرین در قسمت‌هایی از سلول دیده می‌شوند که بلوغ درستی نداشته‌اند (۲۴). از آنجایی که رنگ‌آمیزی CMA3 می‌تواند به‌طور غیرمستقیم نشان‌دهنده‌ی بلوغ اسپرم باشد،

fragmentation. *Asian J Androl* 2016; **18**(2): 186-193. doi: 10.4103/1008-682X.170441

- Durairajanayagam D, Agarwal A, Ong C. Causes, effects and molecular mechanisms of testicular heat stress. *Reprod Biomed Online* 2015; **30**(1): 14-27. doi: 10.1016/j.rbmo.2014.09.018

4. Fulda S, Gorman A M, Hori O, Samali A. Cellular stress responses: cell survival and cell death. *Int J Cell Biol* 2010; **2010**: doi: 10.1155/2010/214074
5. Verkleij A J, Zwaal R F, Roelofsen B, Comfurius P, Kastelijn D, van Deenen L L. The asymmetric distribution of phospholipids in the human red cell membrane. A combined study using phospholipases and freeze-etch electron microscopy. *Biochim Biophys Acta* 1973; **323**(2): 178-193. doi: 10.1016/0005-2736(73)90143-0
6. Bevers E M, Williamson P L. Getting to the Outer Leaflet: Physiology of phosphatidylserine exposure at the plasma membrane. *Physiol Rev* 2016; **96**(2): 605-645. doi: 10.1152/physrev.00020.2015
7. Klöditz K, Chen Y Z, Xue D, Fadeel B. Programmed cell clearance: From nematodes to humans. *Biochem Biophys Res Commun* 2017; **482**(3): 491-497. doi: 10.1016/j.bbrc.2016.12.005
8. Collins J A, Schandi C A, Young K K, Vesely J, Willingham M C. Major DNA fragmentation is a late event in apoptosis. *J Histochem Cytochem* 1997; **45**(7): 923-934. doi: 10.1177/002215549704500702
9. Sakkas D, Alvarez J G. Sperm DNA fragmentation: mechanisms of origin, impact on reproductive outcome, and analysis. *Fertil Steril* 2010; **93**(4): 1027-1036. doi: 10.1016/j.fertnstert.2009.10.046
10. Moretti E, Collodel G, Mazzi L, Campagna M, Iacoponi F, Figura N. Resistin, interleukin-6, tumor necrosis factor-alpha, and human semen parameters in the presence of leukocytospermia, smoking habit, and varicocele. *Fertil Steril* 2014; **102**(2): 354-360. doi: 10.1016/j.fertnstert.2014.04.017
11. Cortés-Gutiérrez E I, Dávila-Rodríguez M I, Fernández J L, López-Fernández C, Aragón-Tovar AR, Urbina-Bernal LC, Gosálvez J. DNA damage in spermatozoa from infertile men with varicocele evaluated by sperm chromatin dispersion and DBD-FISH. *Arch Gynecol Obstet* 2016; **293**(1): 189-196. doi: 10.1007/s00404-015-3822-y
12. WHO. *World Health Organization Laboratory Manual for the Examination and Processing of Human Semen*. Cambridge, UK: Cambridge University Press. 2010.
13. Tavalaee M, Deemeh MR, Arbabian M, Nasr-Esfahani MH. Density gradient centrifugation before or after magnetic-activated cell sorting: which technique is more useful for clinical sperm selection? *J Assist Reprod Genet* 2012; **29**(1): 31-38. doi: 10.1007/s10815-011-9686-6
14. Moazamian R, Polhemus A, Connaughton H, Fraser B, Whiting S, Gharagozloo P, Aitken R J. Oxidative stress and human spermatozoa: diagnostic and functional significance of aldehydes generated as a result of lipid peroxidation. *Mol Hum Reprod* 2015; **21**(6): 502-515. doi: 10.1093/molehr/gav014
15. Slimen I B, Najar T, Ghram A, Dabbebi H, Ben Mrad M, Abdrabbah M. Reactive oxygen species, heat stress and oxidative-induced mitochondrial damage. A review. *Int J Hyperthermia* 2014; **30**(7): 513-523. doi: 10.3109/02656736.2014.971446
16. Rosselli M, Dubey R K, Imthurn B, Macas E, Keller P J. Effects of nitric oxide on human spermatozoa: evidence that nitric oxide decreases sperm motility and induces sperm toxicity. *Hum Reprod* 1995; **10**(7): 1786-1790. doi: 10.1093/oxfordjournals.humrep.a136174
17. Pasqualotto F F, Lucon A M, de Góes P M, Sobreiro B P, Hallak J, Pasqualotto E B, Arap S. Semen profile, testicular volume, and hormonal levels in infertile patients with varicoceles compared with fertile men with and without varicoceles. *Fertil Steril* 2005; **83**(1): 74-77. doi: 10.1016/j.fertnstert.2004.06.047
18. Bahreinian M, Tavalaee M, Abbasi H, Kiani-Esfahani A, Shiravi A H, Nasr-Esfahani M H. DNA hypomethylation predisposes sperm to DNA damage in individuals with varicocele. *Syst Biol Reprod Med* 2015; **61**(4):179-186. doi: 10.3109/19396368.2015.1020116
19. Shah A, Tripathi R, Mishra D P. Male germ cell apoptosis: regulation and biology. *Philos Trans R Soc Lond B Biol Sci* 2010; **365**(1546): 1501-1515. doi: 10.1098/rstb.2009.0124
20. Sakkas D, Mariethoz E, Manicardi G, Bizzaro D, Bianchi P G, Bianchi U. Origin of DNA damage in ejaculated human spermatozoa. *Rev Reprod* 1999; **4**(1): 31-37. doi: 10.1095/biolreprod66.4.1061
21. Ni K, Steger K, Yang H, Wang H, Hu K, Zhang T, Chen B. A comprehensive investigation of sperm DNA damage and oxidative stress injury in infertile patients with subclinical, normozoospermic, and astheno/oligozoospermic clinical varicocele. *Andrology* 2016; **4**(5): 816-824. doi: 10.1111/andr.12210
22. Wu G J, Chang F W, Lee S S, Cheng Y Y, Chen CH, Chen I C. Apoptosis-related phenotype of ejaculated spermatozoa in patients with varicocele. *Fertil Steril* 2009; **91**(3): 831-837. doi: 10.1016/j.fertnstert.2007.12.058
23. La Vignera S, Condorelli R, Vicari E, D'Agata R, Calogero A E. Effects of varicocelectomy on sperm DNA fragmentation, mitochondrial function, chromatin condensation, and apoptosis. *J Androl* 2012; **33**(3): 389-296. doi: 10.2164/jandrol.111.013433
24. Kotwicka M, Jendraszak M, Jedrzejczak P. Phosphatidylserine membrane translocation in human spermatozoa: topography in membrane domains and relation to cell vitality. *J Membr Biol* 2011; **240**(3): 165-170. doi: 10.1007/s00232-011-9357-7.
25. Almeida C, Sousa M, Barros A. Phosphatidylserine translocation in human spermatozoa from impaired

- spermatogenesis. *Reprod Biomed Online* 2009; **19**(6): 770-777. doi: 10.1016/j.rbmo.2009.10.002
26. Lachaud C, Tesarik J, Cañadas M L, Mendoza C. Apoptosis and necrosis in human ejaculated spermatozoa. *Hum Reprod* 2004; **19**(3): 607-610. doi: 10.1093/humrep/deh130.
27. Martin G, Sabido O, Durand P, Levy R. Phosphatidylserine externalization in human sperm induced by calcium ionophore A23187: relationship with apoptosis, membrane scrambling and the acrosome reaction. *Hum Reprod* 2005; **20**(12): 3459-3468. doi: 10.1093/humrep/dei245
28. Oliva R. Protamines and male infertility. *Hum Reprod Update* 2006; **12**(4): 417-435. doi: 10.1093/humupd/dml009
29. Navaeian-Kalat E, Deemeh MR, Tavalaee M, Abasi H, Modaresi M, Nasr-Esfahani MH. High total acrosin activity in varicocele individuals. *Andrologia* 2012; **44**: 634-641. doi: 10.1111/j.1439-0272.2011.01242.x
30. Aitken R J, Smith T B, Jobling M S, Baker M A, De Iuliis GN. Oxidative stress and male reproductive health. *Asian J Androl* 2014; **16**(1): 31-38. doi: 10.4103/1008-682X.122203

Original Article

Effect of different recovery periods during a high Intensity Training (HIT) session on some hematologic factors and Muscle Damage in active males

Ali Ghasemi Kahrizsangi*, Hasan Faezi, Mohsen Akbarpour

Department of Physical Education and Sport Sciences, University of Qom, Qom, Iran

*Corresponding author; E-mail: a.gh2535@yahoo.com

Received: 15 August 2017 Accepted: 4 November 2017 First Published online: 7 September 2019
Med J Tabriz Uni Med Sciences Health Services. 2019 October- November; 41(4):73-81

Abstract

Background: Recovery periods during intense exercise cause changes in blood flow, such as hematologic factors and Muscle Damage. The aim of present study was to evaluate the effect of different recovery in an high intensity training session changes of platelets, white blood cells and creatine kinase serum before, immediately after and two hours after exhaustive exercise in healthy active men.

Methods: In this stude, 24 healthy men (Age: $21/07 \pm 1/57$, weight: $68/41 \pm 11/75$, body fat percentage: $15/93 \pm 6/11$ and VO_{2max}: $41/83 \pm 5/87$) were selected and randomly divided into three groups including: control, aerobic and stretching PNF recovery were studied. The blood samples were collected from antecubital venous in at pre-test, post-test and follow up. To measure the platelets and white blood cells values, Flowcytometry and equipment Mindray BC-5800 and to measure creatine kinase serum values ELISA technique was used. And to identify significant the data for the analysis of variance with repeated measures with Bonferroni post hoc tests at a significance level of $\alpha=0.05$ was used.

Results: There was a significant difference about the amount of platelets, white blood cells and creatine kinase serum in different periods of pre-test, post-test and follow-up revealed($P<0.001$). The Bonferroni Post-hoc test results showed a significant difference in the control group between post-test and follow-up($P<0.05$), in the PNF group between pre-test and post-test($P<0.05$) and post-test and follow-up($P<0.01$) and in the aerobic group between pre-test and post-test($P<0.001$) and post-test and follow-up periods($P<0.01$). Bonferroni post hoc test creatine kinase serum results, showed significant differences between the control group post-test and follow-up($P<0.05$), PNF group between pre-test and post-test periods($P<0.05$) and post-test and follow-up ($P<0.01$).

Conclusion: There was no effect of aerobic recovery and PNF stretching at rest in a HIT training session on platelets, white blood cells and creatine kinase is, but a change in values before and after training in each group. The advantage of active and passive recovery for changes in some hematological values and no Muscle Damage after an intense training.

Keyword: PNF Stretching, Exercises HIT, Platelets, White Blood Cell, Creatine Kinase Serum, Active Males

How to cite this article: Ghasemi Kahrizsangi A, Faezi H, Akbarpour M. [The effect of the different recovery periods during a session HIT training on amount hematology blood and Muscle Damage active males]. Med J Tabriz Uni Med Sciences Health Services. 2019 October- November; 41(4):73-81. Persian.

مقاله پژوهشی

تأثیر دوره‌های ریکاوری مختلف طی یک جلسه تمرین تناوبی شدید بر برخی عوامل هماتولوژی و آسیب عضلانی مردان فعال

علی قاسمی کهریزسنگی^{*}, حسن فایضی, محسن اکبرپور

گروه علوم ورزشی، دانشگاه قم، قم، ایران
نویسنده مسؤول؛ ایمیل: a.gh2535@yahoo.com

دریافت: ۱۳۹۶/۵/۲۴ پذیرش: ۱۳۹۶/۸/۱۳ انتشار برخط: ۱۳۹۸/۶/۱۶
مجله پژوهشی دانشگاه علوم پزشکی و خدمات بهداشتی - درمانی تبریز. مهر و آبان ۱۳۹۸؛ ۴۱(۴): ۸۱-۷۳.

چکیده

زمینه: دوره‌های ریکاوری در حین تمرینات شدید باعث تغییراتی در جریان خون، مانند عوامل هماتولوژی و آسیب عضلانی می‌شود. هدف از تحقیق حاضر بررسی ریکاوری‌های مختلف در یک جلسه تمرین تناوبی و امانده ساز شدید بر تغییرات مقادیر پلاکت، گلبول سفید خون و کراتین کیاز سرم قبل، پلاکسله و دو ساعت پس از اتمام تمرین در مردان سالم فعال بود.

روش کار: تعداد ۲۴ نفر مرد سالم فعال (سن: $41/83 \pm 5/87$ ؛ $41/93 \pm 6/41$ ؛ وزن: $68/41 \pm 11/75$ درصد چربی: $21/70 \pm 1/57$) انتخاب و به روش تصادفی در سه گروه هشت نفره شامل: گروه ریکاوری غیرفعال کترل، ریکاوری فعل هوازی و کشن PNF مورد مطالعه قرار گرفتند. نمونه‌های خونی در سه مرحله زمانی پیش‌آزمون، پس‌آزمون و پیگیری از سیاهرگ بازوئی جمع‌آوری شد. برای سنجش گلبول‌های سفید و پلاکت خون از روش فلوسایتومتری و دستگاه Mindray BC-5800 و جهت سنجش کراتین کیاز سرم از روش الیزا استفاده شد. جهت تجزیه و تحلیل داده‌های تحقیق از آزمون آماری تحلیل واریانس با اندازه‌گیری‌های مکرر و آزمون تعقیبی بونفرونی در سطح معناداری $\alpha = 0.05$ استفاده شد.

نتایج: نتایج آزمون تحلیل واریانس با اندازه‌گیری‌های مکرر، تفاوت معنی‌داری برای تعداد گلبول‌های سفید، پلاکت خون و کراتین کیاز سرم در دوره‌های مختلف تمرینی پیش‌آزمون، پس‌آزمون و پیگیری نشان داد ($p < 0.001$). نتایج آزمون تعقیبی بونفرونی حاکی از تفاوت معنی‌دار در گروه کترل بین مرحله پس‌آزمون و پیگیری ($p < 0.05$)، در گروه PNF بین مرحله پیش‌آزمون و پس‌آزمون با پیگیری ($p < 0.05$) و در گروه هوازی بین مرحله پیش‌آزمون با پس‌آزمون ($p < 0.001$) و پس‌آزمون با پیگیری ($p < 0.01$) بود. همچنان نتایج آزمون بونفرونی میزان کراتین کیاز سرم تفاوت معنی‌داری بین مرحله پیش‌آزمون و پس‌آزمون ($p < 0.01$) در گروه کترل، بین پیش‌آزمون و پس‌آزمون و پیگیری ($p < 0.05$) و پس‌آزمون و پیگیری ($p < 0.01$) در گروه PNF وجود داشت.

نتیجه گیری: نتایج تحقیق حاکی از عدم تأثیر ریکاوری هوازی و کشن PNF در فواصل استراحتی در یک جلسه تمرین HIT روی پلاکت، گلبول سفید خون و کراتین کیاز می‌باشد، اما باعث تغییر مقادیر در قبل و بعد از تمرین در هر گروه می‌شود. بنابراین نوع ریکاوری فعل و غیرفعال مزیتی جهت تغییر در برخی مقادیر هماتولوژیک و آسیب عضلانی پس از یک جلسه تمرین شدید ندارد.

کلید واژه‌ها: کشن PNF، تمرین تناوبی شدید، پلاکت، گلبول سفید، کراتین کیاز، مردان فعال

نحوه استناد به این مقاله: قاسمی کهریزسنگی ع، فایضی ح، اکبرپور م. تأثیر دوره‌های ریکاوری مختلف طی یک جلسه تمرین تناوبی شدید بر برخی عوامل هماتولوژی و آسیب عضلانی مردان فعال. مجله پژوهشی دانشگاه علوم پزشکی و خدمات بهداشتی - درمانی تبریز. ۱۳۹۸؛ ۴۱(۴): ۸۱-۷۳.

حق تألیف برای مؤلفان محفوظ است.

این مقاله با دسترسی آزاد توسط دانشگاه علوم پزشکی و خدمات بهداشتی - درمانی تبریز تحت مجوز کریپتو کامنز (Creative Commons BY 4.0) منتشر شده که طبق مفاد آن هرگونه استفاده تنها در صورتی مجاز است که به اثر اصلی به نحو مقتضی استناد و ارجاع داده شده باشد.

مقدمه

برخی متغیرهای خونی، التهابی و استرسی مانند لکوسیت‌ها و کراتین کیانز در گروه‌هایی که از نوع ریکاوری فعال استفاده کرده بودند معنادار گزارش شده بود (۱۲-۱۳). همچنین تاثیر فعالیت ریکاوری کششی نیز بر متغیرهای استرسی بعد از تمرینات شدید گزارش شده است (۱۴). با توجه به نتایج ضد و نقیض و نبود تحقیق واحدی در زمینه بررسی دوره‌های ریکاوری فعال هوایی و کششی PNF بر پاسخ متغیرهای هماتولوژی و آسیب عضلانی پس از تمرینات HIT و همچنین با توجه به اینکه بازگشت به حالت اولیه مطلوب اثرات بسزایی در آماده‌سازی ورزشکار برای ولهه بعدی فعالیت دارد. محقق سعی دارد دریابد تمرین HIT به عنوان یک تمرین شدید در کنار کدام یک از روش‌های بازگشت به حالت اولیه فعال هوایی، غیرفعال و کششی PNF اثرات سازنده‌تری در متغیرهای هماتولوژی و آسیب عضلانی خون ورزشکار در فرآیند بازگشت به حالت اولیه سریع‌تر به پیش می‌برد تا در نهایت بتوان روش بازگشت به حالت اولیه سازنده‌تری را در کنار تمرینات تناوبی شدید پیشنهاد داد.

روش کار

پژوهش حاضر از نوع نیمه‌تجربی است که طی سه مرحله (قبل از تمرین در حالت پایه، بلافصله بعد از تمرین و دو ساعت بعد از تمرین) خون‌گیری خون‌آوری انجام شد. جامعه آماری این پژوهش را دانشجویان فعال دانشگاه قم (دانشجویان کارشناسی رشته تربیت بدنی) که در سال تحصیلی ۹۵-۱۳۹۴ مشغول به تحصیل بودند تشکیل می‌داد، که آمادگی خود را برای شرکت داوطلبانه در طرح پژوهش اعلام نمودند. از جامعه آماری فوق آزمودنی‌هایی که داوطلب شرکت در پژوهش بودند، پرسشنامه سنجش آمادگی جسمانی بک (Baecke Physical Activity Questionnaire) جهت ارزیابی افراد فعال، پرسشنامه پزشکی و فرم رضایت‌نامه شخصی را تکمیل و رضایت خود را برای شرکت در این طرح پژوهشی به شکل مکتوب اعلام کردند. سپس از میان داوطلبین تعداد ۲۴ نفر که واجد شرایط تحقیق بودند به صورت نمونه‌گیری در دسترس و طبق امتیازات پرسشنامه بک به عنوان افراد فعال گزینش شده بودند، انتخاب و به روش تصادفی توسط پژوهشگران در سه گروه هشت نفره شامل: گروه ریکاوری غیر فعال (کنترل)، ریکاوری فعال هوایی و کشش PNF تقسیم‌بندی شدند. قبل از شروع پروتکل تحقیقی مقادیر سن، قد، وزن، شاخص توده بدنی، نسبت دور کمر به باسن، درصد چربی و اکسیژن مصرفی پیشینه آزمودنی‌ها اندازه‌گیری شد. معیار خروج از تحقیق داشتن سابقه مصرف داروهای استروییدی و غیراستروییدی (حداقل به مدت ۶ ماه قبل مصرف)، مصرف مکمل‌ها، داشتن بیماری‌ها مانند فشارخون، دیابت، چربی و تری‌گلیسرید خون بالا پروتکل تمرینی و مشکلات قلبی و تنفسی مانند آسم بود. همچنین افرادی که

تمرینات تناوبی شدید (High Intensity Training) نمونه‌ای از تمرینات است، که اثرات فیزیولوژیک موثری همچون افزایش محتوای گلیکوژن استراحتی، حداکثر فعالیت آنزیم‌های اکسایشی، افزایش فعالیت آنزیم‌های گلیکولیتیک، افزایش میزان اکسیژن مصرفی پیشینه $\text{VO}_{2\text{max}}$ و برخی سازگاری‌های فیزیولوژیک را به همراه دارد (۱). از جمله تمرینات ترکیبی دیگر که هم جنبه بازیافت داشته و در ارتقای قدرت، تعادل و هماهنگی و انعطاف Proprioceptive Neuromuscular (PNF) است کشش‌های (Facilitation) می‌باشد که رویکرد موثری در افزایش عملکرد و ریکاوری دارد (۲). اغلب ورزشکاران به یک برنامه تمرینی برای رسیدن به حداکثر آمادگی در یک دوره‌ی زمانی کوتاه به ویژه پس از دوره‌های عدم فعالیت نیاز دارند (۳). تمرینات HIT نمونه‌ای از این نوع تمرینات است که تمرینات با ولههای تکراری فعالیت و استراحت‌های تناوبی در بین ولههای فعالیت در سال‌های اخیر توجه بسیاری را به خود جلب کرده است و تحقیقات بسیاری اثرات آن را در ورزش بررسی کرده‌اند (۴-۵). ولههای تمرینی پیاپی دریک دوره‌ی تمرین باعث پاسخ‌های سازگاری تجمعی می‌شود و در صورت ریکاوری نامناسب می‌تواند باعث خستگی، کاهش سازگاری، کاهش عملکرد در نتیجه فراخستگی یا بیش‌تمرينی شود و خستگی، مهمترین عامل در عدم توانایی فرد برای عملکرد بهتر است، به ویژه در دوره‌های کوتاه مدت تمرینات با شدت زیاد خستگی به طور معمول موجب محدودیت عملکرد و ورزشکار می‌شود و نتیجه دلخواه را به تأخیر می‌اندازد (۵). دو نوع برگشت به حالت اولیه وجود دارد: برگشت به حالت اولیه غیرفعال (Passive Recovery) و برگشت به حالت اولیه فعال (Active Recovery) (۱، ۵). ریکاوری فعال به عنوان یک ولههای تمرین درون‌گرای سبک پس از تمرین و مسابقه‌ی شدید عمومیت دارد و عقیده بر این است که بازگشت به حالت اولیه را بهبود می‌بخشد. نیاز به دوره‌های بازگشت به حالت اولیه مناسب برای سرعت بخشیدن به ترمیم ذخایر بدنی، دفع مواد حاصل از متابولیسم و جلوگیری از کوفتگی و آسیب عضلانی از اهمیت خاصی برخوردار است. تمرین و رقابت‌های شدید همچنین سبب آسیب عضلانی می‌شود، آسیب عضلانی آزاد شدن میانجی و آنزیم‌های التهابی را در پلاسمما تحریک می‌کند و در نتیجه کراتین کیانز سرم که یکی از نشانگرهای اختلال غشای عضلانی می‌باشد، در هنگام آسیب عضلانی آزاد می‌شود (۶). کراتین کیانز یک عامل مهم در فرایند بازگشت به حالت اولیه می‌باشد که آسیب عضلانی پس از ورزش شدید و طولانی منجر به آزاد شدن آن می‌شود و از کاربردی ترین نشانه‌های آسیب عضلانی است (۶). در تحقیقات متعددی تاثیر یک جلسه تمرین شدید بر بخش متغیرهای خونی مشاهده شده است (۷-۹). البته در برخی تحقیقات چنین تغییری مشاهده نشد (۱۰-۱۱). همچنین نوع دوره ریکاوری فعال نیز در بررسی

آزمون) و بلا فاصله پس از تمرین HIT (پس آزمون) و دو ساعت بعد از تمرین HIT (پیگیری) از ورید پیش آرنجی (Antecubital vein) گرفته شد. برای تشخیص غلظت کراتین کیاتاز سرم از روش Human Creatine Kinase (CK) Kit (ELISA) و کیت (CK) (Mindray BC-5800(Full diff, Flowcytometry, laser light scattering chemical dye)) تولید شرکت EASTBIOPHARM استفاده شد. جهت سنجش متغیرهای هماتولوژی از دستگاه Mindray BC-5800(Full diff, Flowcytometry, laser light scattering chemical dye) استفاده شد. به منظور تجزیه و تحلیل آماری، ابتدا از آزمون کلموگراف- اسپیرنف جهت تعیین توزیع طبیعی داده‌ها، جهت بررسی تجانس واریانس داده‌ها در گروه‌های تمرینی از آزمون Levene (Levene) و جهت بررسی پیش‌فرض تساوی کواریانس‌ها از آزمون ام- باکس (M Box) استفاده شد. سپس برای بررسی تفاوت‌های بین گروهی و درون گروهی در مراحل مختلف اندازه‌گیری از آزمون آنالیز واریانس با اندازه‌گیری‌های مکرر (Repeated mesure) و آزمون تعقیبی یونفرونی استفاده شد. تحلیل‌های آماری در سطح معناداری ۰/۰۵ انجام شد.

نتایج

در جدول ۱ میانگین و انحراف معیار ویژگی‌های آنتروپومتریک، پیکرستنجی و همچنین معناداری آن‌ها آورده شده است. مقایسه شاخص‌های پیکرستنجی شرکت کنندگان در ابتدای تحقیق نشان داد که از نظر آماری تفاوت معناداری بین سن، وزن، قدر، نمایه توده بدنی، درصد چربی بدن و VO_{max} بین گروه‌های تحقیق وجود ندارد. بر اساس نتایج آزمون کلموگراف- اسپیرنف میزان معناداری برای مقادیر پلاکت در سه گروه به ترتیب ۰/۹۶۹، ۰/۸۰۸ و ۰/۰۶۷ و برای مقادیر کراتین کیاتاز ۰/۳۴۰، ۰/۱۷۳ و ۰/۰۷۰۲ و برای مقادیر گلبول سفید به ترتیب ۰/۹۴۰، ۰/۰۹۸۵ و ۰/۰۸۹ به ترتیب در گروه‌های کشش فعل هوازی، کشش PNF و کترل بود. بنابراین توزیع داده‌ها طبیعی می‌باشد. همچنین خلاصه نتایج تحلیل واریانس بین و درون آزمودنی‌ها با اندازه‌گیری مکرر میزان کراتین کیاتاز، پلاکت و گلبول سفید آزمودنی‌ها در دوره‌های زمانی مختلف در جدول ۲ آورده شده است.

امتیازات پرسشنامه آن‌ها پایین‌تر از متوسط امتیازات کل پرسشنامه بوده و به عنوان افراد غیرفعال محسوب می‌شوند نیز جزء افرادی بودند که به عنوان آزمودنی محسوب نشده و از انتخاب آن‌ها به عنوان آزمودنی اجتناب می‌شد. نمونه‌گیری‌های خونی در هر سه مرحله در سالن شهید بروجردی دانشگاه قم در تاریخ ۱۳۹۴/۱۰/۱۰ انجام شد. آزمون فعالیت تمرینی شدید: مرحله گرم کردن شامل ۱۰ دقیقه گرم کردن به صورت راه رفت سریع، دویدن آهسته و حرکات کششی، نرمشی با ۴۵-۵۵ درصد ضربان قلب بیشینه بود. پروتکل تمرین HIT شامل یک جلسه تمرین Running-based تناوبی با شدت بیشینه آزمون RAST (Anaerobic Sprint Test) بود که این آزمون در برگیرنده مسافت ۳۵ متر برای ۶ تکرار با فاصله استراحت ۱۰ ثانیه بین هر تکرار بود و با توجه به سطح آمادگی دانشجویان و بصورت تناوبی با نسبت کار به استراحت یک به سه طراحی و اجرا شد (۱۲). ریکاوری کشش PNF شامل ۴ اجرای PNF (همسترنگ، سرینی، خیاطه و چهارسرانی) بود که به صورت فزاینده در مدت یک جلسه در بین دوره‌های استراحتی آزمون RAST انجام می‌شد. ریکاوری هوایی به صورت دویدن با شدت ۵۰ درصد ضربان قلب بیشینه در بین دوره‌های استراحتی آزمون RAST انجام شد (۱۲). گروه ریکاوری غیرفعال نیز در زمان‌های استراحتی فعالیتی نداشت. تعداد آزمون و دوره‌های استراحتی مجموعاً ۱۲ تکرار و نسبت دوره تمرین (کار) و ریکاوری (استراحت) یک به سه در نظر گرفته شد که در مجموع، مدت زمان کل جلسه تمرینی یک و نیم ساعت طبق یک مطالعه مقدماتی تعیین شد. همه اندازه‌گیری‌ها در دما و نور محیطی یکسان انجام شد. به علاوه آزمودنی ۴۸ ساعت قبل از انجام آزمون از انجام هر گونه فعالیت بدنی سنجین اجتناب نموده و وعده‌ی غذایی آن‌ها قبل از آزمون مشابه بود. در انتهای اجرای آزمون، عمل سرد کردن با اجرای دوی نرم، حرکات کششی و نرمشی به مدت ده دقیقه انجام شد. نمونه‌های خونی (چهار میلی لیتر) هر آزمودنی در دو شیشه مجزا (یکی برای متغیرهای هماتولوژی و یکی برای کراتین کیاتاز) به منظور اندازه‌گیری کراتین کیاتاز سرم، تعداد گلبول‌های سفید و پلاکت آزمودنی‌ها طی سه مرحله در حالت پایه قبل از تمرین HIT (پیش

جدول ۱: مقادیر ویژگی‌های آنتروپومتریک و پیکرستنجی آزمودنی‌های تحقیق

متغیر	گروه					
	ریکاوری هوازی			ریکاوری غیرفعال		
P	F	n=۸	PNF	n=۸	ریکاوری هوازی	گروه
۰/۰۵۵	۲/۶۱۴	۲۲/۷۵±۷/۰۷	۲۰/۸۷±۱/۹۵	۲۱/۵±۱/۳۰	سن (سال)	
۰/۰۷۲	۰/۱۳۸	۶۷/۲۵±۱۳/۴۵	۶۷/۷۵±۹/۸۸	۷۰/۲۵±۱۳/۰۲	وزن (kg)	
۰/۰۸۷	۰/۰۴۵	۱۷۶/۷±۷/۶۲	۱۷۶/۰±۴/۶۲	۱۷۲/۸±۷/۵۱	قد (cm)	
۰/۰۱۵	۰/۹۱۸	۲۱/۳۵±۲/۸۷	۲۱/۶۵±۲/۰۴	۲۳/۶۸±۵/۴۵	BMI	
۰/۰۷۸	۰/۰۹۶	۸۲/۷۵±۷/۳۲	۸۰/۱۲±۶/۳۵	۸۴/۰±۱۱/۹۵	دور کمر (cm)	
۰/۰۶۲	۰/۰۸۰۲	۹۶/۵۰±۶/۲۵	۹۶/۳۷±۵/۶۵	۹۹/۷۵±۶/۲۰	دور باسن (cm)	
۰/۰۱۰	۲/۱۸۷	۱۳/۷۵±۵/۲۸	۱۴/۵۵±۲/۸۹	۱۹/۶۸±۸/۲۹	درصد چربی	
۰/۰۶۷	۳/۲۲۴	۴۶/۴۲±۴/۹۷	۴۶/۶۴±۶/۱۱	۴۵/۳۸±۴/۹۰	VO _{2max} (ml/kg/min)	

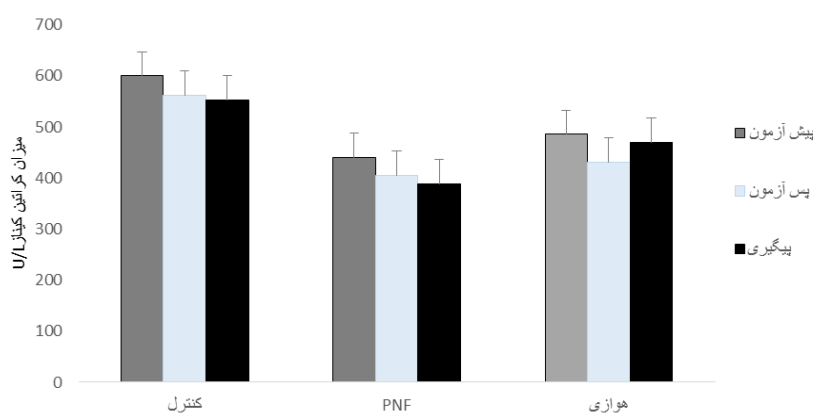
جدول ۲: خلاصه نتایج تحلیل واریانس بین و درون آزمودنی‌ها با اندازه‌گیری مکرر میزان کراتین کیاز، پلاکت و گلبول سفید آزمودنی‌ها در دوره‌های زمانی مختلف

منع تغیرات	شاخص آماری	مجموع مجذورات						
		میانگین مجموع مجذورات	F	سطح معناداری	Eta	توان آزمون		
دورن گروهی (کراتین کیاز)	دوره های زمانی	۰/۴۱۹	۲۴/۵۱۸	۰/۰۰۰۰	۰/۰۵۳۹	۱/۰۰	۰/۰۵۳۹	۰/۰۰۰۰
	اثر تعاملی دوره‌های زمانی * گروه خطا	۳/۴۸۱	۰/۶۸۱	۰/۰۹۰	۰/۰۶۱	۰/۱۹۰	۰/۰۶۱	۰/۰۹۰
(کراتین کیاز)	گروه خطا	۰/۰۱۷	-	-	-	-	-	-
	بین گروهی	۰/۳۵۵	۰/۳۴۴	۰/۷۱۳	۰/۰۳۲	۰/۰۹۸	۰/۰۳۲	۰/۰۹۸
(پلاکت)	دوره های زمانی	۰/۷۱۱	۰/۰۷۱۱	۰/۰۳۲	-	-	-	-
	اثر تعاملی دوره‌های زمانی * گروه خطا	۲۱/۶۷۳	۰/۶۲۵	۳۶/۵۰۰	۰/۰۱۷	-	-	-
(پلاکت)	بین گروهی	۰/۷۱۱	۰/۰۷۱۱	۰/۰۳۲	-	-	-	-
	دورن گروهی (پلاکت)	۲۲۳۶۰/۳۳۳	۱/۷۵۶	۱۲۷۳۳/۸۱۳	۵۱/۰۰۸	۰/۰۷۰۸	۱/۰۰۰	۰/۰۷۰۸
(پلاکت)	دوره های زمانی	۳/۵۱۲	۴/۲۹۲	۰/۰۸	۰/۲۹۰	۰/۰۸۶۴	۰/۰۲۹۰	۰/۰۸۶۴
	اثر تعاملی دوره‌های زمانی * گروه خطا	۹۲۰۵/۷۵۰	۳/۶۲۶/۵۸۳	۲۴۹/۶۴۳	-	-	-	-
(پلاکت)	بین گروهی	۳۹۰۵۷/۵۸۳	۰/۰۷۱۱	۱۹۵۲۸/۷۹۲	۲/۷۳۲	۰/۰۱۲۲	۰/۰۱۸۲	۰/۰۴۱۹
	دورن گروهی (پلاکت)	۱۷۵۸۸۷/۷۵۰	۲۱	۸۳۷۵/۶۰۷	-	-	-	-
(گلبول سفید)	دوره های زمانی	۱۶۵/۹۹۷	۱/۶۳۰	۱۰۱/۸۶۵	۴۵/۸۴۳	۰/۰۰۰	۰/۰۶۸۶	۱/۰۰۰
	اثر تعاملی دوره‌های زمانی * گروه خطا	۵۰۳۸۷	۳/۲۵۹	۱/۶۵۳	۰/۷۴۴	۰/۰۶۶	۰/۰۱۹۸	۰/۰۶۶
(گلبول سفید)	بین گروهی	۹۷۶۸	۰/۷۶۸	۴/۸۸۴	۱/۰۹۵	۰/۳۵۳	۰/۰۹۴	۰/۲۱۶
	دورن گروهی (گلبول سفید)	۹۳/۶۶۵	۲۱	۴/۴۶۰	-	-	-	-

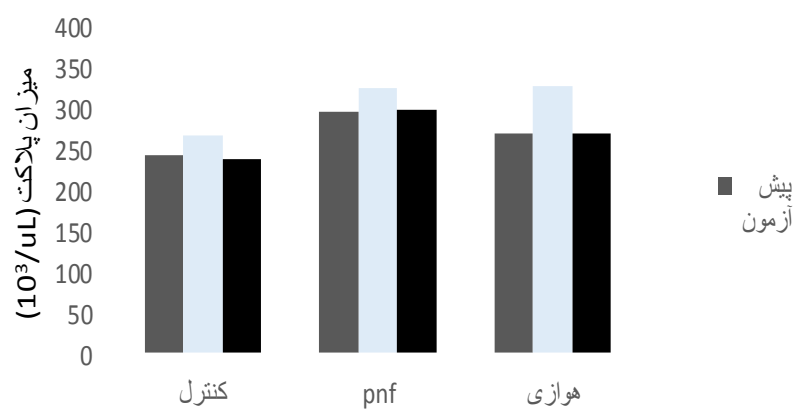
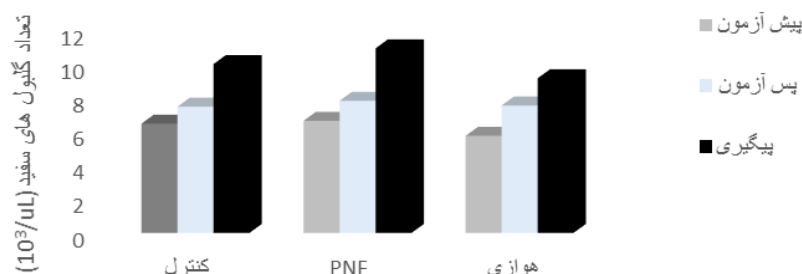
وجود دارد ($P < 0.001$). لذا دوره‌های زمانی پیش‌آزمون، پس‌آزمون و پیگیری بر پلاکت خون در سه دوره‌ی دوره‌ی زمانی تاثیر معناداری داشته است (جدول ۲). نتایج آزمون بونفرونی در سه گروه نشان داد تفاوت معناداری در گروه کترل در مرحله پس‌آزمون و پیگیری وجود داشت ($P < 0.05$) در گروه PNF تفاوت معناداری بین مراحل پیش‌آزمون-پس‌آزمون و پس‌آزمون-پیگیری وجود داشت ($P < 0.05$). در گروه هوازی تفاوت معنی‌داری بین مراحل پس‌آزمون-پیگیری ($P < 0.01$) و پیش‌آزمون-پس‌آزمون-پس‌آزمون-پیگیری ($P < 0.001$) وجود داشت. همچنین در شکل ۳ تعداد گلبول‌های سفید خون آزمودنی‌ها در سه مرحله پیش‌آزمون، پس‌آزمون و پیگیری در سه گروه ریکاوری غیرفعال، PNF و هوازی آورده شده است.

نتایج آزمون لوین جهت تجانس واریانس تعداد گلبول‌های سفید خون با توجه به سطح معناداری ۲/۸۲۸ و ۰/۲۰۹ مورد تایید قرار گرفت. نتایج آزمون کرویت موخلی با سطح معناداری ۰/۰۷۶ حاکی از یکنواختی ماتریس واریانس-کواریانس بود، لذا از اصلاحیه گرین هاووس گریزر استفاده شد. بر طبق نتایج جدول ۲) تفاوت معناداری برای مقادیر گلبول‌های سفید خون بین گروه‌های کشش، هوازی و غیرفعال وجود ندارد. همچنین نتایج درون‌گروهی نشان می‌دهد، بین مقادیر کراتین کیاز سرم در سه مرحله دوره‌ی پیش‌آزمون، پس‌آزمون و پیگیری ($P < 0.05$) وجود ندارد. لذا دوره‌های زمانی پیش‌آزمون، پس‌آزمون و پیگیری بر کراتین کیاز سرم در سه دوره‌ی زمانی تاثیر معناداری داشته است (جدول ۲). نتایج آزمون بونفرونی در گروه‌های تفاوت معناداری نشان داد که تفاوت معناداری در گروه کترل بین مرحله پیش‌آزمون و پس‌آزمون ($P < 0.05$ ، در گروه PNF بین مراحل پیش‌آزمون و پس‌آزمون ($P < 0.01$) و پیش‌آزمون با پیگیری ($P < 0.001$) وجود داشت. شکل ۱ مقادیر کراتین کیاز سرم آزمودنی‌ها در سه مرحله پیش‌آزمون، پس‌آزمون و پیگیری در سه گروه ریکاوری غیرفعال، PNF و هوازی آورده شده است. نتایج آزمون لوین جهت تجانس واریانس مقادیر پلاکت خون با توجه به سطح معناداری ۰/۲۸۶ و ۰/۲۱۰ مورد تایید قرار گرفت. نتایج آزمون کرویت موخلی با سطح معنی‌داری ۰/۶۷۵ حاکی از یکنواختی ماتریس واریانس-کواریانس بود، لذا از اصلاحیه گرین هاووس گریزر استفاده شد. بر طبق نتایج جدول ۲ تفاوت معناداری برای مقادیر پلاکت خون بین گروه‌های کشش، هوازی و کترل وجود ندارد. همچنین نتایج درون‌گروهی نشان می‌دهد، بین مقادیر پلاکت خون بین گروه‌های هوازی آورده شده است. نتایج آزمون لوین جهت تجانس واریانس مقادیر پلاکت خون با توجه به سطح معناداری ۰/۲۲۰ مورد تایید قرار گرفت. نتایج آزمون کرویت موخلی با سطح معنی‌داری ۰/۶۷۵ حاکی از یکنواختی ماتریس واریانس-کواریانس بود، لذا از اصلاحیه گرین هاووس گریزر استفاده شد. بر طبق نتایج جدول ۲ تفاوت معناداری برای مقادیر پلاکت خون بین گروه‌های کشش، هوازی و کترل وجود ندارد. در سه مرحله پیش‌آزمون، پس‌آزمون و پیگیری تفاوت معناداری

نتایج آزمون لوین جهت تجانس واریانس مقادیر کراتین کیاز سرم با توجه به سطح معناداری ۰/۰۹۵ و ۰/۰۶۵ مورد تایید قرار گرفت. نتایج آزمون کرویت موخلی با سطح معنی‌داری ۰/۴۸۵ حاکی از یکنواختی ماتریس واریانس-کواریانس بود، لذا از اصلاحیه گرین هاووس گریزر استفاده شد. بر طبق نتایج جدول ۲ تفاوت معناداری برای مقادیر کراتین کیاز سرم بین گروه‌های کشش، هوازی و کترل وجود ندارد. همچنین نتایج درون‌گروهی نشان می‌دهد، بین مقادیر کراتین کیاز سرم در سه دوره‌ی زمانی تاثیر معناداری داشته است (جدول ۲). نتایج آزمون بونفرونی در گروه‌های تفاوت معناداری نشان داد که تفاوت معناداری در گروه کترل بین مرحله پیش‌آزمون و پس‌آزمون ($P < 0.05$ ، در گروه PNF بین مراحل پیش‌آزمون و پس‌آزمون ($P < 0.01$) و پیش‌آزمون با پیگیری ($P < 0.001$) وجود داشت. شکل ۱ مقادیر کراتین کیاز سرم آزمودنی‌ها در سه مرحله پیش‌آزمون، پس‌آزمون و پیگیری در سه گروه ریکاوری غیرفعال، PNF و هوازی آورده شده است. نتایج آزمون لوین جهت تجانس واریانس مقادیر پلاکت خون با توجه به سطح معناداری ۰/۲۸۶ و ۰/۲۱۰ مورد تایید قرار گرفت. نتایج آزمون کرویت موخلی با سطح معنی‌داری ۰/۶۷۵ حاکی از یکنواختی ماتریس واریانس-کواریانس بود، لذا از اصلاحیه گرین هاووس گریزر استفاده شد. بر طبق نتایج جدول ۲ تفاوت معناداری برای مقادیر پلاکت خون بین گروه‌های کشش، هوازی و کترل وجود ندارد. همچنین نتایج درون‌گروهی نشان می‌دهد، بین مقادیر پلاکت خون بین گروه‌های هوازی آورده شده است. نتایج آزمون لوین جهت تجانس واریانس مقادیر پلاکت خون با توجه به سطح معناداری ۰/۲۲۰ مورد تایید قرار گرفت. نتایج آزمون کرویت موخلی با سطح معنی‌داری ۰/۶۷۵ حاکی از یکنواختی ماتریس واریانس-کواریانس بود، لذا از اصلاحیه گرین هاووس گریزر استفاده شد. بر طبق نتایج جدول ۲ تفاوت معناداری برای مقادیر پلاکت خون بین گروه‌های کشش، هوازی و کترل وجود ندارد. در سه مرحله پیش‌آزمون، پس‌آزمون و پیگیری تفاوت معناداری



شکل ۱: مقادیر کراتین کینаз پیش آزمون، پس آزمون و پیگیری گروههای تحقیق

شکل ۲: مقادیر پلاکت ($10^3/\mu\text{L}$) در دوره‌های پیش آزمون، پس آزمون و پیگیری گروههای تحقیقشکل ۳: تعداد گلوبول‌های سفید ($10^3/\mu\text{L}$) در گروه‌های هوازی، PNF و کنترل

بحث

در تحقیق حاضر نتایج حاکی از افزایش معنی‌دار مقادیر پلاکت، گلوبول‌های قرمز و کراتین کیناز سرم درون گروهها در دوره‌های زمانی پیش آزمون، پس آزمون و پیگیری بود. اما تفاوت معناداری بین گروههای مختلف تمرینی که در بین دوره‌های استراحتی در جلسه تمرینی HIT ریکاوری کششی PNF، هوازی و

نتایج آزمون بونفرنی در سه دوره‌ی زمانی نشان داد تفاوت معناداری در گروه کنترل در مرحله پیش آزمون و پیگیری وجود داشت ($p < 0.01$). در گروه PNF تفاوت معناداری بین مراحل پیش آزمون - پیگیری ($p < 0.01$) و پس آزمون - پیگیری ($p < 0.01$) وجود داشت. در گروه هوازی تفاوت معناداری بین مراحل پیش آزمون - پس آزمون ($p < 0.05$) و پس آزمون - پیگیری ($p < 0.01$) وجود داشت.

گروه نشان داد تفاوت معناداری در گروه کترل در مرحله پس آزمون و پیگیری وجود داشت ($0/05 < p$). در گروه PNF تفاوت معناداری بین مراحل پیش آزمون- پیگیری و پس آزمون- پیگیری وجود داشت ($0/05 < p$). در گروه هوازی تفاوت معناداری بین مراحل پیش آزمون- پیگیری و پس آزمون- پیگیری وجود داشت ($0/01 < p$). در بیشتر تحقیقات در دسترس ماتقريباً متعاقب فعالیت ورزشی شدید افزایش پلاکت دیده شده است که با نتایج برخی تحقیقات همخوانی دارد (Ahmadizad ۱۹-۲۱). نشان داد فعالیتهای ورزشی مقاومتی سبب افزایش تعداد پلاکت‌های خونی شده و این افزایش مستقل از شدت فعالیت ورزشی می‌باشد که با نتایج این تحقیق همسو می‌باشد (Arazi و همکاران به دنبال یک جلسه تمرین موازی استقامتی- مقاومتی تغییر معناداری مشاهده نکردند (۲۳)). تعداد پلاکت‌ها در ورزش افزایش می‌باشد که این افزایش به دلیل رهایی پلاکت‌های تازه از بستر عروقی طحال، مغزاستخوان و دیگر ذخایر پلاکت در بدن می‌باشد. ترشح ابی نفرین موجب انقباض قوی طحال می‌شود؛ یعنی، جایی که حدود یک سوم پلاکت‌های بدن در آن ذخیره شده است، این مکانیزم می‌تواند دلیل افزایش زیاد میزان پلاکت در ورزش را توضیح بدهد. همچنین در مرحله حاد فعالسازی پلاکت، افزایش در حجم پلاکت ممکن است در نتیجه تغییر شکل قطعات مگاکارپوسیت سیتوپلاسم می‌باشد (۲۱). برای تفسیر نتایج تعداد گلبول‌های سفید نیز می‌توان دو ساز و کار مفروض را مطرح نمود؛ اول این که در جریان ورزش، بعضی از لکوسیت‌ها به محل تارهای عضلانی آسیب دیده می‌روند، مشاهده بسیار زیاد لکوسیت‌ها پس از انقباضات برون‌گرا نسبت به انقباضات درون‌گرا، این موضوع را به اثبات می‌رساند، در بحث واکنش‌های التهابی نیز عنوان شده است که پس از فعالیتهایی که باعث بروز کوفتگی عضلانی می‌شوند، تعداد لکوسیت‌ها افزایش می‌یابد (۲۲). البته مکانیسم دقیق افزایش گلبول سفید در جریان ورزش ناشناخته است ولی به احتمال زیاد، برخی عوامل مکانیکی مانند افزایش بروندۀ قلبی و تغییر در سلول‌های اندوتیال مویرگ‌ها در این فرآیند دخالت دارند. دوم این که به روشی مشخص شده است که هورمون‌هایی مانند اپی‌نفرین و کورتیزول توزیع لکوسیت‌ها بین گردش خون و اجزای مختلف بدن مانند کبد، طحال، مغزاستخوان را تحت تأثیر قرار می‌دهد؛ افزایش تعداد لکوسیت‌ها در جریان ورزش به وسیله اپی‌نفرین کترل می‌شود که این افزایش تحت تأثیر شدت فعالیت و بستگی به ظرفیت ورزشی فرد قرار دارد (۲۲). بنابراین به نظر می‌رسد با توجه به اینکه پروتکل تمرینی در تحقیق حاضر از نوع بسیار شدید است این امر منجر به افزایش فشار و استرس به سلول‌های عضلانی و به دنبال آن افزایش گلبول‌های سفید می‌شود.

غیرفعال انجام می‌دادند، یافت نشد. این یافته‌ها نشان می‌دهد ریکاوری کشش PNF و هوازی توانسته است بر برخی فاکتورهای هماتولوژی و آسیب عضلانی اثر گذار باشد. و لذا ریکاوری فعال و غیرفعال بین دوره‌های ریکاوری حین تمرینات بسیار شدید تفاوت و تاثیری بر فاکتورهای تعداد گلبول‌های سفید، پلاکت خون و میزان کراتین کیانز سرم مردان فعال ندارد.

دوره‌های مختلف ریکاوری کشش و ریکاوری هوازی در گروه‌های آزمایش و کترل تاثیر معناداری بر تعداد پلاکت و گلبول‌های سفید خون نداشته است. نتایج تحقیق با برخی تحقیقات همخوانی ندارد (۱۵-۱۳-۱۲). در بیشتر تحقیقات ریکاوری فعال نسبت به ریکاوری غیرفعال در بازسازی منابع انرژی و بازگشت به حالت اولیه اثرات چشمگیرتری داشته است ولی در تحقیق حاضر در مورد اثر انواع مختلف ریکاوری توانست تفاوت خاصی را بر تعداد پلاکت و گلبول‌های سفید خون در سه گروه ریکاوری نشان دهد که شاید به این علت که در این تحقیق ما به دنبال پاسخ یک جلسه تمرین تناوبی شدید همراه با ریکاوری‌های مختلف بودیم و به نظر می‌رسد برای بررسی دقیق تر تاثیر انواع ریکاوری فعال و غیرفعال بر عوامل هماتولوژی بایستی اثر آن را در طول هفت‌های تمرینی که در تحقیقات بالا نیز بدان اشاره شده ارزیابی کرد (۱۵-۱۷). لذا اگر بخواهیم تاثیر نوع ریکاوری در تمرینات شدید را بر عوامل هماتولوژی مشاهده کنیم، احتمال دارد ریکاوری در تمرین شدید را به صورت بلند مدت بر متغیرهای هماتولوژی و ریکاوری بکار ببریم تا اثرات نوع ریکاوری در تمرین شدید مشخص شود. از سوی دیگر به نظر می‌رسد، برای بررسی بهتر اثر انواع ریکاوری فعال یا غیرفعال، باید مدت زمان ریکاوری را تغییر دهیم تا اثرات آن‌ها را بهتر دریابیم. Ramin هم در مقایسه انواع ریکاوری تفاوت خاصی را در انواع ریکاوری پس از یک جلسه تمرین تناوبی شدید مشاهده نکرد (۱۴). Piraki و همکاران نیز نشان دادند که بین دو نوع ریکاوری فعال و غیرفعال پس از انجام آزمون بروس (Bruce) بر سلول‌های خونی سیستم ایمنی ورزشکاران تفاوت معناداری وجود ندارد (۱۸). لذا، به نظر می‌رسد برای ایجاد ریکاوری موثر و مفید بر متغیرهای هماتولوژی احتمال دارد دستکاری شدت و مدت فعالیت و همچنین مدت و نوع ریکاوری می‌تواند باعث اثربخشی روی برخی عوامل هماتولوژی شود.

ولی نتایج تحقیق حاضر در مورد تاثیر دوره‌های زمانی بر تعداد پلاکت و گلبول سفید نشان می‌دهد، که بین نتایج پیش آزمون، پس آزمون و آزمون پیگیری درون‌گروهی تعداد پلاکت و گلبول سفید خون آزمودنی‌های گروه‌های کشش، هوازی و کترل تفاوت معناداری وجود دارد ($0/001 < p$). لذا دوره‌های زمانی مختلف برمیزان پلاکت پیش آزمون، پس آزمون و پیگیری در گروه‌های مختلف تاثیر معناداری داشته است. نتایج آزمون بونفرنی در سه

قدردانی

مقاله حاضر مستخرج از پایان نامه کارشناسی ارشد است. از مدیریت تربیت بدنی دانشگاه قم، دانشجویان شرکت کننده و جناب آقای فتحی جهت همکاری در این پروژه تشکر می شود، همچنین از پرسنل و کارشناسان محترم بخش بیوشیمی آزمایشگاه بوعلی شهر قم قدردانی می گردد.

ملاحظات اخلاقی

تحقیق حاضر با نظارت و تصویب معاونت محترم پژوهشی دانشگاه قم با رعایت ملاحظات اخلاقی و با کسب رضایت کامل از آزمودنی ها انجام شد. آزمودنی ها از کلیه جنبه های تحقیقی اطلاع داشته و هر زمان که می خواستند می توانستند از پروژه تحقیقی خارج شوند.

منابع مالی

کلیه هزینه های تحقیقی اعم از مکمل و هزینه های تشخیصی آزمایشگاهی توسط محققین پرداخت شده است.

منافع مقابله

منافع یا سود مالی شخصی از بابت انتشار این مقاله برای نویسندهای مقاله وجود ندارد.

مشارکت مولفان

میزان مشارکت در مقاله حاضر به صورت زیر می باشد:

- ۱ ع. ق. کلیه مراحل انتخاب آزمودنی ها و مطالعه مقدماتی و انجام پروتکل تمرین هوازی و کششی و همچنین خونگیری پیش آزمون و پس آزمون را بر عهده داشت. همچنین جمع آوری داده ها و تهیه مقاله بر عهده وی بود.
- ۲ ح. ف. کارهای عملی و انتخاب آزمودنی و گرفتن آزمون های مقدماتی و انتخاب افراد فعال و انجام کارهای ورزشی و عملی را انجام داد.
- ۳ م. ا. کارهای آماری و آنالیزهای آزمایشگاهی را بر عهده دار بود.

References

1. Gibala M J, McGee S L. Metabolic adaptations to short-term high intensity interval training. *Exercise and Sport Sciences Reviews* 2010; **36**(2): 58-63. doi: 10.1097/JES.0b013e318168ec1f
2. Musavizadeh M, Ebrahim KH, Nikbakht H. Effects of aerobic training on hematological parameters of female students. *The Scientific Journal of Iranian Blood Transfusion Organization* 2009; **6**(3): 227-231. [Persian]

در رابطه با کراتین کیناز نتایج تحقیق حاکی از عدم تغییر در بین گروههای تحقیق مشاهده شد. Agha Alinejad و همکاران در بررسی اثر ریکاوری فعال و غیرفعال پس از ورزش برون گرای شدید دریافتند که ریکاوری پس از تمرین باعث کاهش کراتین کیناز می شود که در گروه ریکاوری فعال این کاهش بیشتر دیده شد و تغییرات زمانی کراتین کیناز در دو گروه ریکاوری یکسان بود که این امر شاید به دلیل تفاوت در پروتکل تمرینی باشد، و نتیجه متفاوت آن با تحقیق حاضر شاید به دلیل تفاوت در پروتکل تمرینی باشد (۱۲). اما در سایر تحقیقات افزایش کراتین کیناز پس از فعالیت شدید گزارش شده است (۳، ۲۶-۲۴). به نظر می رسد وجود ریکاوری بر کاهش میزان کراتین کیناز موثر باشد. برای نمونه، گاهی در فیرهای عضلانی به دلیل خستگی مقاومت غشا کاهش می یابد و با افزایش یون های کلسیم آزاد درونی، فعالیت مجرای پتانسیم افزایش می یابد (۱۲). از سوی دیگر آسیب موضعی بافت عضلانی به همراه آسیب های سارکومری که حاصل تکه تکه شدن خطوط Z است همچنین تمرین های شدید می تواند به ساختار عضلات اسکلتی صدمه وارد کند و موجب افزایش پس از کیناز تام شود (۲۶، ۱۲). بیشترین افزایش در سطح افزایش پس از فعالیت های ورزشی طولانی مدت، فعالیت های تحمل وزن و انقباض های اکستنریک مشاهده شده است. علاوه بر این ها، فشار وارده در فعالیت های شدید در مقایسه با فعالیت های با شدت متوسط به پایین ممکن است موجب نشت بیشتر پرتوئین و آنزیم های درون سلولی به داخل مایعات خارج سلولی شود (۲۶).

نتیجه گیری

با توجه به نتایج بدست آمده از تحقیق حاضر نوع استراحت در حین یک جلسه تمرینی شدید چه از نوع فعال (هوازی) باشد و چه از نوع غیرفعال (استراحت مطلق یا از نوع کششی PNF) تاثیری بر مقادیر هماتولوژی و آسیب عضلانی افراد فعال و ورزشکار ندارد، اما در دوره های زمانی می تواند باعث کاهش عوامل هماتولوژی و استرسی شود. لذا به نظر می رسد نوع استراحت و ریکاوری در حین و هله های تمرینات شدید بر عوامل خونی بی تاثیر باشد.

3. Babakbayati F, Qarehkhanlou R, Aghaalliezad G. The effects of four weeks of high intensity intermittent exercise on physiological and metabolic indexes active men. *Journal of Sports Sciences* 2010; **6**(11): 107-124. [Persian]
4. Esfarjani F. *The effect of intense interval training on aerobic capacity, blood lactate parameters and the time of the 3000 meters trained*. Dissertation 2005. Faculty of Sport Science and Physical Education TMU. [Thesis]

5. Burke E R. *Optimal Muscle Performance and recovery*. Penguin Putnam Inc. 2003.
6. Brancaccio P, Lippi G, Maffulli N. Biochemical markers of muscular damage. *ClinChem Lab Med* 2010; **48**(6): 757-767.
7. Rabson Ansley P J, Blanin A, Gleeson M. Elevated plasma interleukin-6 levels in trained male triathletes following an acute period of intense interval training. *Euro Journ Appl physiol* 2007; **99**(4): 353-360. doi: 10.1007/s00421-006-0354-y
8. Cordovan M, Escanero A. Iron transferring and haptoglobin levels after a single bout of exercise in men. *Physiol Behav* 1992; **51**(4): 716-722. doi: 10.1016/0031-9384(92)90107-D
9. Gleeson M. Immune functions in sport and exercise. *J Appl Physiol* 2007; **99**(3): 115-124.
10. Natale V M, Maria I, Koren B, Moldoveanu A L, Vasoliu P, Shek P, et al. Effect of three different types of exercise on blood leukocyte count during and following exercise. *Sao Paulo Med J/ Rev Paul Med* 2003; **121**(1): 9-14. doi: 10.1590/s1516-31802003000100003
11. Simonson S R. Immune response to resistance exercise. *Journal of Strength & Conditioning Research* 2001; **15**(3): 378-384.
12. Agha Alinejad H, Molanouri Shamsi M, Azarbayan M, Azarbayan M, Rahimi A, Asghari Jafarabadi M, et al. The Effects of Active Recovery on Serum IL-6, IL-8, IL-10 and CK Concentrations after Eccentric Strenuous Exercise in Active Female. *IJEM* 2009; **11**(5): 553-560. [Persian]
13. Drape N, Ellis L, Bird I, Colemon H. Effects of active recovery on lactate concentration, Heart rate and RPE climbing. *Journal of sports science and medicine* 2006; **5**: 97-105.
14. Ramin V. *Compared the effects of four weeks of training HIT and PNF stretching with HIT and static stretching on the amount of lactate, creatine kinase, cortisol, aerobic power, muscular endurance, speed and flexibility of young taekwondo*. 2014; Thesis. Islamic Azad University.[Thesis]
15. Burgomaster K A, Howarth K R, Phillips S M, Rakobowchuk M, MacDonald M J, McGee SL, et al. Similar metabolic adaptations during exercise after low volume sprint interval and traditional endurance training in humans. *Journal of Physiol* 2008; **586**(1): 151-160. doi: 10.1113/jphysiol.2007.142109
16. Sharma S, Singh D. Effect of intensive internal training on red blood corpuscles and cardiovascular endurance. *International Journal of Sports Science and Engineering* 2012; **2**(6): 111-117.
17. Wigernaes I, Hostmark A T, Stromme S B, Kierulf P. Active recovery and Post-exercise white blood cell cont, free fatty acid, and hormones in endurance athletes. *Eur J of Appl Physiol* 2001; **84**: 358-366. doi: 10.1007/s004210000365
18. Piraki P, Ebrahim KH, Karimi F, Anissian A. Effect of Active and Passive Recovery on Athletes' White Blood Cell Count. *Qom University of Medical Sciences Journal* 2008; **2**(2): 15-21. [Persian]
19. Havil F, Ebrahim KH, Aslankhani M A. Effect of aerobic exercise progresive on the immune system blood of young and adult athletes. *Journal of Harekat* 2003; **17**: 25-43. [Persian]
20. Nezhadpanah M. *The effect of aerobic exercise morning and evening peak on some hematological parameters of athletic young men*. 2012; Thesis. Faculty of Physical Education and Sport Sciences, University of Tehran shahid Rajai Tarbiat Dabir. [Thesis]
21. Qanbariniaki A, Tayyebi M, Alizadeh Q, Qaziani F, Hakimi J. The effects of a resistance training session circular on hematological changes in physical education students. *Journal of Applied Sport Science* 2005; **3**: 77-88. [Persian]
22. Ahmadizad S, El-Sayed M S. The acute effects of resistance exercise on the main determinants of blood theology. *Journal of Sports Science* 2005; **23**: 24-39. doi: 10.1080/02640410410001730151
23. Arazi H, Damirchi A, Mostafaloo A. The effects of one session concurrent training endurance- resistance on hematological changes in athlete males. *Journal of Exercise Physiology. First year* 2009; **2**: 17-26. [Persian]
24. Shavandi N, Afshar R, Samiei A, Sheikh Hoseini R. Effect of one-session vigorous training on muscular damage and renal function markers in elite karate athletes. *Scientific-Research Journal of Shahed University* 2012; **100**: 1-9. [Persian]
25. Nobahar M, Mirdar SH. The effects of progressive exercise training on some of muscle damage enzymes in active girls. *JME (spring and summer)* 2012; **2**(1): 1-12. [Persian]
26. Nazari M, Kordi M R, Choobineh S. The Effect of High Intensity Interval Training (HIIT) on Gelatinase-A (MMP-2) Serum Levels and Muscle Damage Indices in Young Sedentary Girls. *Arak Medical University Journal* 2015; **18**(94): 78-86. [Persian]

Original Article

Relationship between trunk extensor muscle's endurance and static postural stability in hyperkyphotic and normal kyphotic women with osteoporosis

Sanaz Mohebi^{1*}, Giti Torkaman¹, Fariba Bahrami²

¹Department of Physical Therapy, Faculty of Medicine, Tarbiat Modares University, Tehran, Iran

²Department of Electronic and Computer Sciences, Faculty of Engineering, Tehran University, Tehran, Iran

*Corresponding author; E-mail: torkamg@modares.ac.ir

Received: 25 September 2017 Accepted: 19 December 2017 First Published online: 7 September 2019
Med J Tabriz Uni Med Sciences Health Services. 2019 October- November; 41(4):82-91

Abstract

Background: Considering the Importance of Back Extensor Muscles on the Postural Control and Risk of Falling in Osteoporotic Postmenopausal Women, We Investigated the Effects of Back Extensor Endurance on the Thoracic Kyphosis and Static Balance Control in Hyper and Normal Kyphotic Women with osteoporosis.

Methods: a total of 22 Osteoporotic Women, based on the Kyphosis Degree, were evaluated in two groups: Hyperkyphotics (No=10) and Normal Kyphotics (No=12). The Kyphosis Degree Measured by Flexi curve ruler. The Isometric Strength of the Back Extensors measured by a Digital Hand-held Dynamometer. Modified Sorensen Test was used for Back Extensor Endurance Evaluation. Static Balance Parameters Evaluated in Double Stand Position by Force plate.

Results: In the Hyperkyphotic Group, the time duration of Modified Sorensen Test was Significantly Lower than that in the Normal Kyphotic Group ($P=0.029$), there was also a significant negative correlation to the Medio-Lateral Displacement of the center of pressure (Correlation Coefficient: - 0/521, $P = 0.047$). The Multiple Regression test showed a significant effect of the modified Sorensen's time Duration on the increase of thoracic kyphosis ($P = 0.044$). In Hyperkyphotic Group, Standard deviation of the Anterior-Posterior of the Center of Pressure displacement was significantly higher than that in the normal kyphotic Group ($P = 0.05$).

Conclusion: Regarding to the negative correlation between the Trunk Extensor Endurance and Thoracic Hyperkyphosis and also medio-lateral of COP displacement, it suggests the Trunk Extensor Endurance exercise be considered in therapeutic programs of osteoporotic women.

Keyword: Osteoporosis, Thoracic Hyperkyphosis, Modified Sorensen Test, Center of Pressure

How to cite this article: Mohebi S, Torkaman G, Bahrami F. [Evaluation of Relationship between Trunk Extensor Endurance and Static Postural Stability in Hyperkyphotic and Normal Kyphotic Women with Osteoporosis]. Med J Tabriz Uni Med Sciences Health Services. 2019 October- November; 41(4):82-91. Persian.

مقاله پژوهشی

رابطه‌ی استقامت عضلات اکستنسور تنہ و ثبات وضعیتی ایستای زنان یائسه‌ی استئوپروتیک هایپرکیفوتیک و استئوپروتیک نرمال کیفوتیک

سانتاز محبی^{*}, گیتی ترکمان^۱, فریبا بهرامی^۲

اگروه فیزیوتراپی، دانشکده پزشکی، دانشگاه تربیت مدرس، تهران، ایران
اگروه برق و کامپیوتر، دانشگاه تهران، تهران، ایران
^{*}نویسنده مسئول؛ ایمیل torkamg@modares.ac.ir

دریافت: ۱۳۹۶/۷/۲ پذیرش: ۱۳۹۶/۹/۲۸ انتشار برخط: ۱۳۹۶/۶/۱۶
مجله پزشکی دانشگاه علوم پزشکی و خدمات بهداشتی-درمانی تبریز. مهر و آبان ۱۳۹۸؛(۴۱):۸۲-۹۱

چکیده

زمینه: با توجه به اهمیت عضلات پشتی تنہ بر ثبات وضعیتی و خطر افتادن زنان یائسه‌ی استئوپروتیک، به منظور بررسی تاثیر استقامت عضلات اکستنسور پشتی بر پاسچر و تعادل وضعیتی زنان استئوپروتیک، رابطه‌ی استقامت عضلات اکستنسور تنہ و پارامترهای ثبات وضعیتی زنان استئوپروتیک هایپر و نرمال کیفوتیک را مورد مطالعه قرار دادیم.

روش کار: ۲۲ زن یائسه استئوپروتیک، بر اساس درجه‌ی کیفوز در دو گروه هایپرکیفوتیک (۱۰ نفر) و نرمال کیفوتیک (۱۲ نفر) مورد بررسی قرار گرفتند. درجه‌ی کیفوز با خطکش انعطاف‌پذیر و قدرت ایزومنتریک عضلات اکستنسور پشتی بوسیله‌ی دینامومتر دستی دیجیتال اندازه‌گیری شد. استقامت عضلات اکستنسور پشتی از طریق آزمون تغییریافته‌ی Sorensen ارزیابی شد. تعادل ایستا در وضعیت ایستاده، به وسیله‌ی صفحه‌ی نیرو، ارزیابی گردید.

یافته‌ها: زمان آزمون تغییریافته‌ی Sorensen در گروه هایپرکیفوتیک به صورت معنادار کمتر از گروه نرمال کیفوتیک بود ($P=0.029$) و همچنین با دامنه‌ی جابجایی مرکز فشار در راستای داخلی-خارجی، همبستگی منفی و معنادار نشان داد ($P=0.047$). آزمون چندگانه‌ی رگرسیون، تاثیر معنادار زمان آزمون تغییریافته‌ی Sorensen را بر افزایش کیفوز توراسیک نشان داد ($P=0.044$). انحراف از معیار دامنه‌ی جابجایی مرکز فشار در راستای قدامی-خلفی در زنان هایپرکیفوتیک، به صورت معنادار، بیشتر از گروه نرمال کیفوتیک بود ($P=0.05$).

نتیجه‌گیری: با توجه به ارتباط منفی زمان آزمون تغییریافته‌ی Sorensen با پاسچر هایپرکیفوتیک و جابجایی داخلی-خارجی مرکز فشار، پیشنهاد می‌شود تمرینات استقامتی عضلات اکستنسور تنہ در برنامه درمانی زنان استئوپروتیک، لحاظ گردد.

کلید واژه‌ها: استئوپروز، هایپرکیفوز توراسیک، آزمون تغییریافته‌ی Sorensen، مرکز فشار

نحوه استناد به این مقاله: محبی س، ترکمان گ، بهرامی ف. بررسی رابطه‌ی استقامت عضلات اکستنسور تنہ و ثبات وضعیتی ایستای زنان یائسه‌ی استئوپروتیک هایپرکیفوتیک و استئوپروتیک نرمال کیفوتیک (مقطعی). مجله پزشکی دانشگاه علوم پزشکی و خدمات بهداشتی-درمانی تبریز. مهر و آبان ۱۳۹۸؛(۴۱):۸۲-۹۱.

حق تأثیف برای مؤلفان محفوظ است.

این مقاله با دسترسی آزاد توسط دانشگاه علوم پزشکی و خدمات بهداشتی-درمانی تبریز تحت مجوز کریپتو کامنز (Creative Commons BY 4.0) منتشر شده که طبق مفاد آن هرگونه استفاده تنها در صورتی مجاز است که به اثر اصلی به نحو مقتضی استناد و ارجاع داده شده باشد.

مقدمه

موجب محدود شدن دینامیک حرکات تن، سر و گردن و بازوها می شود و در نهایت منجر به کاهش توانایی فرد در حفظ تعادل حین موقعیت های اغتشاشی خواهد شد. لذا به نظر می رسد هایپرکیفوز سینه ای در بی ثباتی وضعیتی زنان استئوپروتیک موثر باشد و خطر افتادن و شکستگی در آن ها را افزایش دهد (۷). در این ارتباط افزایش دامنه و سرعت نوسان مرکز فشار (ارزیابی با صفحه ای نیرو) در جهت قدامی خلفی در افراد هایپرکیفوتیک سینه ای نسبت به افراد سالم همسن، گزارش شده است (۸). ارتباط ضعف عضلات اکستانسور پشتی با افزایش قوس سینه ای در زنان یائسه ای استئوپروتیک (۹) در کنار شواهدی که تاثیر مستقل عملکرد عضلات را بر بی ثباتی وضعیتی و خطر افتادن افراد مسن، نشان می دهدن (۱۰)، اهمیت عضلات تن را در تغییرات پاسچرال ستون فقرات و بی ثباتی های وضعیتی یادآور می شود. اگرچه نقش قدرت عضلات مختلف در بی ثباتی وضعیتی، افتادن و شکستگی های استئوپروتیک، مورد بحث تحقیقات بسیاری بوده است، بررسی تاثیر سایر ویژگی های سیستم اسکلتی عضلانی از قبیل استقامت عضلات تن بر تغییرات پاسچرال و بی ثباتی های وضعیتی، کمتر مورد توجه قرار گرفته است؛ این در حالیست که، تغییرات فیزیولوژیک ناشی از افزایش سن که در زنان یائسه به دلیل تغییرات هورمونی تشیدید می شود، تمام پارامترهای اسکلتی، عصبی و عضلانی افراد را تحت تاثیر قرار می دهد (۱۱). در همین راستا، گزارش افزایش نوسانات پاسچرال بالافاصله بعد از خستگی عضلات اکستانسور تن در افراد مسن و جوان، این احتمال را مطرح می کند که خستگی عضلات اکستانسور تن و یا به عبارت بهتر، کاهش تدریجی ظرفیت تولید نیروی عضلانی در فعالیت های ساب مازکیمال، با بی ثباتی وضعیتی و درنتیجه افتادن و شکستگی در افراد مسن ارتباط داشته باشد (۱۲). اگرچه در تعداد محدودی از تحقیقات که بر روی افراد مسن با محدودیت عملکردی انجام شده است، استقامت اکستانسورهای پشتی، به عنوان پیش بینی کننده معنادار نتایج تست های تعادلی عملکردی، مطرح شده است (۱۳)، اما با توجه به جستجویی که در این زمینه انجام گردید، موردی از بررسی رابطه ای استقامت عضلات اکستانسور پشتی با تغییرات پاسچرال (افزایش قوس سینه ای) و پارامترهای تعادلی صفحه ای نیرو در زنان استئوپروتیک، یافت نشد؛ لذا با توجه به اینکه احتمال داده می شود، استقامت نیز در کنار قدرت عضلات اکستانسور پشتی بر تغییرات پاسچرال تن و بی ثباتی وضعیتی ناشی از آن، تاثیرگذار باشد؛ طی یک مطالعه ای مقطعی رابطه ای نتایج تست تغییر یافته هی Sorensen با برخی پارامترهای تعادلی صفحه ای نیرو در زنان استئوپروتیک هایپرکیفوتیک و نرمال کیفوتیک مورد بررسی قرار گرفت.

استئوپروز یا پوکی یک بیماری استخوانی است که خطر شکستگی استخوان در آن افزایش می یابد. در استئوپروز با کاهش تراکم مواد معدنی (Bone Mineral Density, BMD) روبرو هستیم؛ و مقدار و نوع پروتئین های بافت استخوانی نیز تغییر می یابد شایع ترین مدل پوکی در زنان و بعد از یائسگی رخ می دهد که کمبود استروژن عامل اصلی مکانیسم های دخیل در افزایش بازجذب و کاهش تراکم استخوان می باشد؛ از دیدگاه هورمونال، کاهش حد استروژن منجر به افزایش حساسیت استخوان ها به هورمون پاراتیروئید می شود که سبب افزایش میزان فرایند بازجذب استخوان و در نهایت کاهش تراکم استخوان در زنان یائسه می شود (۱). هزینه های بالای اقتصادی و اجتماعی ناشی از استئوپروز با افزایش شیوع شکستگی های استئوپروتیک مرتبط می باشد؛ به طوریکه پیش بینی شده است، میزان شکستگی های فمور در سال ۲۰۵۰، از مرز ۲۱ میلیون نفر بگذرد؛ در ایران نیز میزان بروز شکستگی های فمور در رتبه هفتم جهان قرار داریم؛ لذا شناسایی عوامل خطر شکستگی های استئوپروتیک، به ویژه در زنان یائسه، یکی از چالش های جدی حیطه سلامت محسوب می شود (۲). تراکم پایین استخوان، به تهایی برای پیش بینی وقوع شکستگی های استئوپروتیک، حساسیت کمی دارد و نیازمند ابزار ارزیابی جامع تری است که در آن علاوه بر BMD، عوامل کلینیکی مستقل از تراکم استخوان نیز در بحث پیش بینی خطر شکستگی های استئوپروتیک، بررسی شوند (۳). افتادن، به عنوان اصلی ترین مکانیسم شکستگی ها در افراد استئوپروتیک مطرح شده است؛ به همین علت در اکثر الگوریتم های طراحی شده جهت پیش بینی خطر شکستگی های استئوپروتیک، عوامل خطر افتادن، به صورت مجزا و در کنار سایر عوامل در نظر گرفته می شوند (۴). اختلالات تعادلی و عملکرد عصبی عضلانی در مطالعات بسیاری به عنوان جدی ترین ریسک فاکتورهای افتادن و شکستگی در افراد مسن فعل، گزارش شده است (۵). شکستگی مهره، مهمترین عارضه ای کلینیکی متعاقب استئوپروز است؛ این عارضه اغلب هموار با ضعف عضلات اکستانسور تن می باشد که بر اساس نظریه ای تطابق واحد استخوان و عضله قابل توجیه است، متعاقب این تغییرات، قوس انحنای سینه ای ستون فقرات افزایش می یابد. همچنین وضعیت هایپرکیفوتیک سینه ای در یک چرخه ممیز، با قرار دادن عضلات اکستانسور تن در وضعیت کشیده، باعث تشیدید تغییرات اسکلتی عضلانی به ویژه در ناحیه ستون فقرات سینه ای می شود (۶). وضعیت هایپرکیفوتیک سینه ای، باعث جابجایی قدامی مرکز ثقل نسبت به مرکز چرخش ستون فقرات می شود؛ لذا در افراد هایپرکیفوتیک برای حفظ مرکز ثقل در محدوده سطح اتفاک، پاسخ های پاسچرال تطابقی شکل می گیرد. این قبیل واکنش ها

دوازدهم سینه‌ایی قرار گرفته و با فشار بر روی پوست، شکل قوس ستون فقرات را می‌گرفت؛ سپس انحنا بر روی کاغذ رسم و محاسبات لازم انجام شد. اندازه‌گیری‌ها دو بار با فاصله‌ی یک دقیقه تکرار شد و مقدار میانگین به عنوان درجه‌ی کیفوز سینه‌ایی افراد ثبت گردید، انحنای کیفوز توراسیک در افراد براساس فرمول $ARCTag_{\frac{L}{L^2H}}$ ، محاسبه گردید (۱۶). قدرت عضلات اکستنسور پشتی با استفاده از دینامومتر دستی دیجیتال Lafayette Instrument Company (Model Handheld 01165SC) به صورت ایزومتریک و بر حسب کیلوگرم ثبت شد. اعتبار و تکرارپذیری این روش به اثبات رسیده است (۱۷). اندازه‌گیری دروضعیت دمرو بصورتیکه، نواحی کمر و اندام‌های تحتانی توسط استرپ کاملاً ثابت شده بودند، انجام شد. در ابتدا حرکت مورد نظر که همان بالا آوردن شانه و بالا تنه از روی تخت است به فرد آموزش داده شد و برای آشنایی و آمادگی فرد برای ایجاد حداقل انقباض ایزومتریک ارادی، یک یا دو انقباض به صورت آزمایشی انجام شد؛ هر انقباض اصلی حداقل ۵ ثانیه و به صورت یکنواخت باید توسط بیمار حفظ می‌شد، انقباض با تشویق کلامی همراه بود، مقاومت دستی توسط دینامومتر و مایبن دو کتف به فرد اعمال می‌شد، پس از آموزش، این آزمون سه بار تکرار شد، فاصله‌ی استراحت بین انقباضات یک دقیقه بود. مقدار میانگین به عنوان قدرت ایزومتریک عضلات اکستنسور پشتی ثبت گردید (۱۸). برای ارزیابی استقامت اکستنسورهای پشتی از تست تغییریافته‌ی Sorensen استفاده شد. بدین صورت که فرد در حالت دم بر روی تخت معاینه خوابیده، به صورتیکه تنہ فوکانی از ناحیه‌ی سینه خارج از تخت و اندام‌های فوکانی در کنار تنہ قرار می‌گرفت. افراد می‌بایست سر و گردن و تنہ خود را تا یک سطح مشخص بالا می‌آوردن. برای جلوگیری از اکستنسیون سر و گردن نیز از افراد خواسته شد تا جهت صورت و دید خود را به سمت زمین، حفظ کرده و تا زمانیکه می‌توانند وضعیت مذکور را حفظ نمایند؛ هر زمانیکه سر بیمار از حد مشخص شده پایین تر قرار می‌گرفت، زمان‌سنج متوقف و زمان مذکور بر حسب ثانیه و به عنوان استقامت عضلات اکستنسور پشتی ثبت می‌گردید. سقف زمانی تست ۵ دقیقه بود. پایداری نتایج آزمون تغییر یافته‌ی Sorensen بررسی شده و نتایج آن با نتایج آزمون استاندار، همبستگی مثبت و معناداری نشان داده است (۱۹). به منظور حذف اثر خستگی، ارزیابی پارامترهای تعادلی در جلسه‌ی دوم و به فاصله‌ی ۲۴ ساعت بعد، انجام شد. ارزیابی تعادل در وضعیت ایستاده بر روی دوپا، در حالتی که پاهای کاملاً در کنار هم و دست‌ها در کنار تنہ قرار گرفته بودند (وضعیت Romberg Feet Together)، انجام شد. برای انجام این آزمون از صفحه‌ی نیرو مدل ۹۲۸۶AB ساخت شرکت Kistler سوئیس استفاده شد. این صفحه‌ی نیرو، مجهز به چهار حسگر پیزوالکتریک در چهارگوشی صفحه‌ایی با ابعاد cm⁹⁰ × cm⁶⁰ می‌باشد. افراد به مدت ۲۰ ثانیه در وضعیت

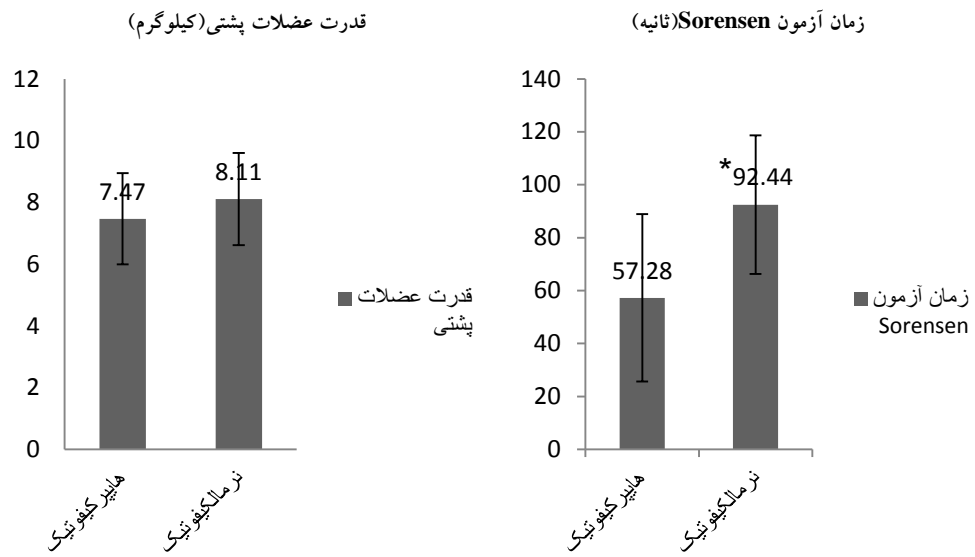
روش کار

این مطالعه در آزمایشگاه طب ورزشی و آنالیز راه رفتن گروه فیزیوتراپی دانشکده‌ی علوم پزشکی دانشگاه تربیت مدرس، از مهرماه ۹۳ لغاًیت شهریور ۹۴ انجام گردید. تحقیق مذکور یک مطالعه‌ی مقطعی و بدون هیچگونه مداخله بود که زن یائسه‌ی ۵۰ تا ۷۰ ساله از طریق مشاوره‌ی حضوری در بخش سنجش تراکم استخوان بیمارستان بقیه الله، توزیع کارت و تبلیغات با طرح اشنا و به صورت داوطلبانه در مطالعه شرکت کردند. لازم به ذکر است روش نمونه‌گیری بصورت انتخابی و محاسبه‌ی حجم نمونه با استفاده از فرمول $N = \frac{(Z1-\alpha/2) \times (S1^2 + S2^2)}{\mu_1 - \mu_2}$ و بر اساس Mean±SD قدرت ایزومتریک اکستنسورهای پشتی در مطالعه‌ی Darbani و همکاران، با اطمینان ۹۵٪ و توان ۸۰٪ محاسبه گردید (۱۴). معیارهای ورود به مطالعه عبارت بود از: زنان یائسه‌ی ۵۰ تا ۷۰ ساله، شناختی توهدی بدنی ۲۲–۳۰ (kg/m²)، حداقل یکسال از یائسگی گذشته باشد، عدم شرکت در فعالیت‌های ورزشی به صورت منظم حداقل از یک سال قبل از زمان شروع مطالعه (منظور از فعالیت منظم، ۲–۳ بار در هفته و حداقل ۳۰ دقیقه در هر نوبت است)، تأیید پزشک متخصص روماتولوژی برای ورود به مطالعه $\leq T-score -2.5$ ، در نواحی سر استخوان فمور یا مهره‌های کمری، عدم گزارش سابقه‌ی شکستگی ناشی از استئوپروز، عدم گزارش بیماری‌های نورولوژیک، وستیولار، نوروماسکولا، بیماری‌های مزمن ارتودپلیک تنه و اندام تحتانی، و هر بیماری که اختلال تعادلی برای افراد ایجاد نموده باشد، پس از ۳۰ زن یائسه‌ی اولیه از بین ۳۰ زن یائسه‌ی استتوپروتیک داوطلب، تعداد ۲۲ نفر با درجات مختلف کیفوز سینه‌ای، شرایط ورود به طرح را داشتند که بر اساس درجه کیفوز (زاویه کیفوز کمتر از ۵۰ درجه به عنوان نرمال کیفوتیک و زاویه بزرگتر مساوی ۵۰ درجه به عنوان هایپرکیفوتیک) (۱۵)، در دو گروه استتوپروتیک هایپرکیفوتیک (۱۰ نفر) و استتوپروتیک نرمال کیفوتیک (۱۲ نفر) مورد بررسی قرار گرفتند. روش به کار گرفته شده در این مطالعه توسط کمیته‌ی اخلاق پزشکی دانشگاه تربیت مدرس تایید شد. هدف و نحوی ارزیابی‌ها برای افراد توضیح داده شد و تمامی افراد فرم رضایت اگاهانه را قبل از شروع جلسه اول امضا کردند. تمامی ارزیابی‌ها توسط یک فیزیوتراپیست آموزش دیده و طی دو جلسه انجام گردید. در جلسه‌ی اول اطلاعات مربوط به متغیرهای آنتروپومتریک، شامل سن، قد (بر حسب متر) و وزن (بر حسب کیلوگرم) افراد ثبت و شناختی توهدی بدنی برای هر فرد محاسبه گردید. جهت اندازه‌گیری درجه‌ی کیفوز سینه‌ای از خطکش انعطاف‌پذیر استفاده شد. اندازه‌گیری مشابه روش Yanagawa و همکاران انجام شد؛ بدین صورت که پس از مشخص کردن زوائد شوکی مهره‌های هفتمن گردند و دوازدهم سینه‌ایی، فرد در وضعیت معمول و راحت ایستاده و پاهای برهمه و به اندازه عرض شانه باز بود، سپس خطکش انعطاف‌پذیر بطور مستقیم، روی پوست، بین مهره‌های هفتمن گردند و

یافته‌ها

ویژگی‌های فیزیکی داوطلبان در جدول ۱ نشان داده شده است. اختلاف معنی‌داری بین متغیرهای سن، Spine T-Score و شاخص توده‌ی بدنه بین دو گروه دیده نشد ($P > ۰/۰۵$). درجه‌ی کیفوتیک توراسیک، به صورت معنادار در گروه استئوپرتویک هایپرکیفوتیک بیشتر از گروه دیگر بود ($P = ۰/۰۰۱$). بر اساس نتایج آزمون T قدرت عضلات استانسسور پشتی در دو گروه، تفاوت معناداری نداشت ($P = ۰/۳۵۱$), در مقابل، مقایسه‌ی میانگین زمان ثبت شده برای آزمون تغییریافته Sorensen در گروه نرمال کیفوتیک، به صورت معنادار بیشتر بود ($P = ۰/۰۲۹$)، (نمودار ۱). میزان جابجاگایی و سرعت جابجاگایی مرکز فشار در راستای قدامی-خلفی در گروه هایپرکیفوتیک بیشتر از گروه نرمال کیفوتیک بود. انحراف از معیار دامنه‌ی جابجاگایی مرکز فشار در راستای قدامی-خلفی، افزایش معناداری نسبت به گروه نرمال کیفوتیک نشان داد ($P = ۰/۰۵$) (جدول ۲). همچنین سرعت جابجاگایی مرکز فشار در راستای قدامی-خلفی، در گروه هایپرکیفوتیک، به میزان قابل توجهی، بیشتر از گروه نرمال کیفوتیک بود هر چند که به سطح معناداری نرسید ($P = ۰/۰۷۹$).

رومبرگ و یا چشمان باز ایستاده و نمونه‌گیری با فرکانس ۱۰۰ هرتز انجام شد. لازم به ذکر است، با توجه به اینکه در وضعیت ایستاده برای پارامترهایی نظیر سرعت و انحراف از معیار نوسان مرکز فشار، پایایی قابل قبولی در زمان‌های کوتاه ثبت، گزارش شده است؛ لذا با درنظر گرفتن سن افراد شرکت‌کننده، زمان ثبت آزمون تعادلی، ۲۰ ثانیه، در نظر گرفته شد (۲۰، ۲۱). پس از انتقال داده‌ها به برنامه محاسباتی تحت متلب، دامنه و سرعت جابجاگایی مرکز فشار و انحراف از معیار آنها در راستای قدامی خلفی و داخلی خارجی برای بررسی بین دو گروه استئوپرتویک محاسبه شد. داده‌ها با استفاده از نرم افزار SPSS نسخه‌ی ۱۶، آنالیز شد. توزیع نرمال داده‌ها با استفاده از آزمون Shapiro-Wilk بررسی شد. با توجه به توزیع طبیعی داده‌ها، مقایسه‌ی بین دو گروه با استفاده از آزمون T مستقل انجام شد. آزمون رگرسیون خطی چندگانه، جهت بررسی میزان تاثیر متغیرهای مفروض مستقل بر متغیرهای مفروض وابسته استفاده گردید. ضریب استاندارد بتا در آزمون رگرسیون چندگانه، امکان مقایسه‌ی میزان تاثیر متغیرهای مستقل بر متغیر وابسته، نسبت به یکدیگر را فراهم می‌کند. آزمون همبستگی پیرسون جهت بررسی رابطه‌ی بین متغیرهای مورد نظر استفاده گردید. سطح معناداری برای تمامی محاسبات، $P \leq ۰/۰۵$ در نظر گرفته شد.



نمودار ۱: قدرت و استقامت عضلات استانسسور پشتی، به ترتیب بر حسب کیلوگرم و ثانیه در گروه‌های مورد مطالعه *افزایش معنادار زمان آزمون Sorensen در گروه نرمال کیفوتیک نسبت به گروه هایپرکیفوتیک

جدول ۱: متغیرهای تن سنجی در دو گروه مطالعه

متغیر	گروه استئوپرتویک هایپرکیفوتیک	گروه استانسسور پشتی	معناداری (P)
سن	$۵/۳۸ \pm ۵/۱۰$	$۶/۳۸ \pm ۵/۱۰$	$۰/۰۵۲$
شاخص توده‌ی بدنه (BMI)	$۳/۶۸ \pm ۲۹/۲۲$	$۳/۹۱ \pm ۲۶/۹۶$	$۰/۲۰۹$
Spine-T Score	$۰/۶۵۰ \pm ۲/۹۱$	$-۲/۶۱ \pm ۰/۹۲۵$	$۰/۴۰۹$
درجه‌ی کیفوتیک توراسیک	$۵/۸۷۵ \pm ۴/۲۵$	$۴/۵/۸۰ \pm ۴/۱۴$	$*۰/۰۰۱$

*اختلاف معنادار بین دو گروه مطالعه

زاویه‌ی کیفوز توراسیک با متغیرهای تعادلی سرعت جایگایی مرکز فشار و انحراف از معیار آن، رابطه‌ی معناداری نشان نداد، در عین حال، افزایش درجه‌ی کیفوز توراسیک با افزایش سرعت نوسان مرکز فشار در راستای قدامی-خلفی و با کاهش سرعت نوسان مرکز فشار در راستای داخلی-خارجی همراه بود هر چند که همبستگی معناداری مشاهده نشد. قدرت عضلات اکستانتسیور پشتی با دامنه و سرعت نوسان مرکز فشار و انحراف از معیار آن همبستگی معنادار نشان نداد. Spine T-Score با سرعت نوسان مرکز فشار و انحراف از معیار آن در راستای داخلی-خارجی، همبستگی مثبت نزدیک به معناداری، نشان داد (به ترتیب $P=0.07$ ، 0.093) (جدول ۴).

زایویه‌ی کیفوز توراسیک با انحراف از معیار دامنه‌ی جابجایی مرکز فشار در راستای قدامی خلفی، همبستگی مثبت و قابل توجهی نشان داد؛ اگرچه به سطح معنadar نرسید ($P=0.08$). قدرت عضلات اکسیانتسور پشتی با دامنه‌ی جابجایی مرکز فشار و انحراف از معیار آن در راستای قدامی خلفی، و با دامنه‌ی جابجایی مرکز فشار و انحراف از معیار آن در راستای داخلی-خارجی همبستگی معنadar نشان نداد.

زمان آزمون تغییریافته‌ی Sorensen با تمام پارامترهای مرتبط با دامنه‌ی جابجایی مرکز فشار، همبستگی منفی نشان داد، ولی این رابطه با دامنه‌ی جابجایی مرکز فشار در راستای داخلی-خارجی به سطح معنadar رسید ($P=0.047$). متغیر تراکم استخوان با پارامترهای دامنه‌ی جابجایی، مرکز فشار رابطه‌ی معنادری نشان نداد (جدول ۳).

متغیرهای تعادلی	جداول ارزیابی با صفحه‌ی نیرو در دو گروه مورد مطالعه
معناداری (P)	گروه استپروتیک نرمال کیفوتیک
۰/۱۴۴	۰/۰۱۷۸±۰/۰۰۷۳
۰/۳۳۵	۰/۰۸۷۸±۰/۰۲۱۲
**۰/۰۵	۰/۰۰۳۶±۰/۰۰۱۰
۰/۷۲۲	۰/۰۱۷۵±۰/۰۰۵۴
۰/۰۷۹	۰/۰۰۸۴±۰/۰۰۴۳
۰/۹۲۳	۰/۴۵۸±۰/۱۷۷
۰/۱۲۳	۰/۰۱۰۹±۰/۰۰۶۲
۰/۸۲۱	۰/۵۷۳±۰/۲۲۴
گروه استپروتیک هایپرکیفوتیک	گروه استپروتیک نرمال کیفوتیک
۰/۰۲۲۵±۰/۰۰۶۳	۰/۰۹۸۶±۰/۰۲۷۰
۰/۰۰۴۸±۰/۰۰۱۷	
۰/۰۱۸۶±۰/۰۰۵۱	
۰/۰۱۱۴±۰/۰۰۲۸	
۰/۴۶۲±۰/۱۶۲	
۰/۰۱۴۵±۰/۰۰۳۶	
۰/۰۵۶۴±۰/۱۹۴	
دامنه جابجایی مرکز فشار در جهت قدامی-خلفی	دامنه جابجایی مرکز فشار در جهت قدامی-خلفی COP displacement in A-P direction
دامنه جابجایی مرکز فشار در جهت داخلی-خارجی	دامنه جابجایی مرکز فشار در جهت داخلی-خارجی COP displacement in M-L direction
انحراف از معیار دامنه جابجایی مرکز فشار در جهت قدامی-خلفی	انحراف از معیار دامنه جابجایی مرکز فشار در جهت داخلی-خارجی Standard deviation of the COP displacement in A-P direction
ساعت جابجایی مرکز فشار در جهت قدامی-خلفی	ساعت جابجایی مرکز فشار در جهت قدامی-خلفی Mean Velocity of the COP displacement in A-P direction
سرعت جابجایی مرکز فشار در جهت داخلی-خارجی	سرعت جابجایی مرکز فشار در جهت داخلی-خارجی Mean Velocity of the COP displacement in M-L direction
انحراف از معیار سرعت جابجایی مرکز فشار در جهت قدامی-خلفی	انحراف از معیار سرعت جابجایی مرکز فشار در جهت داخلی-خارجی Standard deviation of the COP Sway Velocity in A-P direction
انحراف از معیار سرعت جابجایی مرکز فشار در جهت داخلی-خارجی	انحراف از معیار سرعت جابجایی مرکز فشار در جهت داخلی-خارجی Standard deviation of the COP Sway Velocity in M-L direction

جدول ۳: رابطه‌ی زاویه‌ی کیفوز توراسیک، قدرت عضلات پشتی، زمان آزمون تغییریافته‌ی SpineT-Score با متغیرهای دامنه و سرعت جابجایی مرکز فشار و انحراف از معیار آن داده شده است.

دامنه‌ی جابجایی مرکز فشار در جهت قدامی خلفی	دامنه‌ی جابجایی مرکز فشار در جهت داخلي خارجي	انحراف از معیار دامنه‌ی جابجایی مرکز فشار در جهت داخلي خارجي						
PValue	ضریب PCC	PValue	ضریب PCC	PValue	ضریب PCC	PValue	ضریب PCC	
۰/۶۵۹	-۰/۱۰۰	۰/۰۸	۰/۳۷۴	۰/۴۹۷	۰/۱۶۱	۰/۳۱۶	۰/۲۳۰	زاویه‌ی کیفوز توراسیک
۰/۶۳۹	۰/۱۱۲	۰/۲۶۵	-۰/۲۶۲	۰/۴۴۸	۰/۱۹۱	۰/۲۰۸	-۰/۳۰۲	قارتر عضلات اکستنسور پشتی
۰/۲۶۶	-۰/۲۹۶	۰/۱۹۵	-۰/۳۴۲	*۰/۰۴۷	-۰/۵۲۱	۰/۳۴۹	-۰/۲۵۱	زمان آزمون Sorenson
۰/۱۶۱	۰/۳۰۹	۰/۷۷۵	۰/۰۶۵	۰/۱۱۴	-۰/۳۶۵	۰/۹۹۶	۰/۰۰۱	Spinet-Score

جدول ۴: رابطه‌ی زاویه‌ی کیفوز توراسیک، قدرت عضلات پشتی، زمان آزمون تغییریافته‌ی SpineT-Score و Sorensen با سرعت جایجاچی مرکز فشار و انحراف از معیار آن در گروه‌های مورد مطالعه

		انحراف از معیار سرعت جایجاچی مرکز فشار در جهت داخلی-خارجی		سرعت جایجاچی مرکز فشار در جهت داخلی-خارجی		جهت قدامی-خلفی		سرعت جایجاچی مرکز فشار در جهت قدامی-خلفی		انحراف از معیار سرعت جایجاچی مرکز فشار در جهت قدامی-خلفی		زاویه‌ی کیفوز توراسیک		
PValue	PCC	PValue	PCC	PValue	PCC	PValue	PCC	PValue	PCC	PValue	PCC	PValue	PCC	Pearson Correlation Coefficient PCC
۰/۴۰۴	-۰/۱۸۷	۰/۱۹۹	۰/۲۸۵	۰/۴۶۸	-۰/۱۶۳	۰/۱۲۷	۰/۳۳۶	زاویه‌ی کیفوز توراسیک						
۰/۶۳۷	۰/۱۱۲	۰/۲۹۷	-۰/۱۲۵	۰/۵۹۵	۰/۱۲۷	۰/۱۶۴	-۰/۲۶۲	قدرت عضلات اکستنسور پشتی						
۰/۳۸۶	-۰/۲۳۲	۰/۱۲۳	-۰/۳۹۲	۰/۳۸۵	-۰/۲۳۳	۰/۱۹۵	-۰/۳۴۲	زمان آزمون Sorensen						
۰/۰۹۳	۰/۳۶۷	۰/۸۴۹	۰/۰۴۹	۰/۰۷	۰/۳۸۴	۰/۰۷۸	۰/۰۸۵	Spine T-Score						

*همبستگی معنادار

گروه زنان راپنی قدرت عضلات اکستنسور پشتی با کیفوز توراسیک رابطه‌ای نشان نداد؛ درحالیکه با لوردوز لمبار ارتباط مستقل و معنادار بود (۲۲)، که برخلاف یافته‌ی مطالعه‌ی حاضر می‌باشد. لذا به نظر می‌رسد در رابطه‌ی قدرت عضلات پشتی و درجه‌ی کیفوز توراسیک، یافته‌ها متناقض است؛ که این امر می‌تواند ناشی از روش‌های مختلف ارزیابی قدرت و پاسچر باشد. علاوه بر این عدم بررسی پارامترهای موثر دیگر، در رابطه‌ی سیستم عضلانی-اسکلتی و پاسچر ستون فقرات، عامل احتمالی دیگری برای این تناقض می‌باشد. در مطالعه‌ی مروری Roghani و همکاران، کاهش موییلیتی ستون فقرات، کاهش تراکم استخوان، عوامل ژنتیک، اختلال در حس وضعیت مرتبط با افزایش سن، کاهش قدرت و استقامت عضلات اکستنسور تن، به عنوان عوامل احتمالی در افزایش کیفوز توراسیک، مطرح شده‌اند (۲۳). در همین راستا در مطالعه‌ی حاضر، بر اساس نتایج آزمون رگرسیون چندگانه، زمان آزمون تغییر یافته‌ی Sorensen به عنوان متغیر مستقل، در مقایسه با قدرت عضلات اکستنسور پشتی و تراکم استخوان در ستون فقرات، تاثیر معناداری بر وضعیت کیفوز توراسیک، نشان داد؛ به طوریکه کاهش زمان حفظ آزمون مذکور، به صورت معنادار با افزایش درجه‌ی کیفوز توراسیک، مرتبط بود. همچنین در مقایسه‌ی بین دو گروه زنان استئوپروتیک هایپرکیفوتیک در مقایسه با گروه نرمال کیفوتیک، به صورت معنادار، وضعیت آزمون تغییر یافته‌ی Sorensen را برای زمان کوتاه‌تری حفظ کردند. لذا این احتمال مطرح می‌شود که در زنان یائسه‌ی استئوپروتیک که به لحاظ متغیرهای تن‌سنگی، تراکم استخوان و قدرت عضلات اکستنسور پشتی در وضعیت مشابهی هستند، عواملی چون کاهش استقامت عضلات اکستنسور تن به افزایش کیفوز توراسیک مرتبط باشد. در تایید این موضوع، افزایش خستگی پذیری عضلات اکستنسور تن و کاهش ظرفیت تولید نیروی فعال توسط آن‌ها، تئوری محتملی است که برای افزایش کیفوز توراسیک مطرح شده است (۲۴). افزایش خستگی پذیری عضلات منجر به اختلال در آوران‌های حس وضعیت و متعاقباً تاخیر در فراخوانی عضلات ثبات دهنده‌ی ستون فقرات می‌شود

در مقایسه‌ی تاثیر قدرت عضلات اکستنسور پشتی، زمان آزمون تغییریافته‌ی SpineT-Score و Sorensen به عنوان متغیرهای مستقل، با استفاده از آزمون رگرسیون چندگانه و بررسی ضریب Sorensen استاندارد بتا، مشاهده شد که زمان آزمون تغییریافته‌ی SpineT-Score ($P=0/۰۴۴$)، ضریب بتا ($P=0/۰۴۷$)، پارامتری با تاثیرگذاری بیشتر و معنادار نسبت به قدرت عضلات اکستنسور پشتی ($P=0/۲۴۰$)، ضریب بتا ($P=0/۱۳۷$) و Spine T-Score ($P=0/۰۳۱۰$)، ضریب بتا ($P=0/۰۲۷۵$)، ضریب بتا ($P=0/۰۴۴$)، پارامتری با تاثیرگذاری بیشتر و معنادار نسبت به قدرت عضلات اکستنسور پشتی ($P=0/۰۴۳۳$)، ضریب بتا ($P=0/۰۰۶$) و قدرت عضلات پشتی ($P=0/۰۴۳۳$)، تائید گردید.

بحث

در مطالعه‌ی حاضر، زنان یائسه‌ی استئوپروتیک، بر حسب وضعیت کیفوز توراسیک در دو گروه هایپر و نرمال کیفوتیک مورد بررسی قرار گرفتند. متغیرهای سن، شاخص توده‌ی بدنه، SpineT-Score قدرت ایزوومتریک عضلات اکستنسور پشتی، زمان حفظ آزمون تغییریافته‌ی Sorensen و تعادل ایستا در وضعیت Romberg (پاها کاملاً کنارهم) در دو گروه ارزیابی شد. سن، شاخص توده‌ی بدنه، SpineT-Score در دو گروه تفاوت معناداری نشان نداد. در مقایسه‌ی قدرت ایزوومتریک عضلات اکستنسور پشتی در دو گروه تفاوت معناداری مشاهده نشد، اگرچه بررسی رابطه‌ی قدرت ایزوومتریک عضلات پشتی و کیفوز توراسیک نیز معنادار بود، اما در آزمون رگرسیون چندگانه، تاثیر قدرت عضلات پشتی در مقایسه با استقامت عضلات پشتی، تاثیرگذاری کمتر نشان داد. این یافته از جهت رابطه‌ی معنادار قدرت عضلات پشتی و درجه‌ی کیفوز توراسیک، مطابق با نتایج مطالعه‌ی Mika و همکاران می‌باشد، که در آن قدرت عضلات پشتی بر وضعیت کیفوز توراسیک افراد تحت مطالعه تاثیر معناداری گذاشته بود (۹)، در مقابل، در مطالعه‌ی Hongo و همکاران، بر روی زنان استئوپروتیک دو منطقه‌ی جغرافیایی، در

مورد و در راستای قدامی‌خلفی به سطح معنadar رسید. همبستگی مثبت و قابل توجه با پارامترهای Spine T-Score با پارامترهای سرعت نوسان مرکز فشار و انحراف از معیار آن در راستای داخلی‌خارجی (به ترتیب 0.07 ± 0.09 ، $P=0.07$)، علت احتمالی عدم مشاهده تفاوت معنادار در مقایسه‌ی پارامترهای تعادلی دو گروه، به ویژه در راستای داخلی‌خارجی، می‌باشد. به عبارتی به نظر می‌رسد، تاثیر استئوپروز یا وضعیت مشابه تراکم استخوان در گروه‌های تحت مطالعه، حساسیت آزمون T مستقل را برای نمایش تفاوت‌های بین گروهی متغیرهای تعادلی مطالعه، کاهش داده است. در مطالعه‌ی Greig و همکاران نیز، شکستگی‌های مهره‌ایی متعاقب کاهش تراکم استخوان، نسبت به افزایش کیفوز توراسیک، ارتباط بیشتری با بی‌ثباتی وضعیتی افراد استئوپروتیک نشان داد (۲۹). با وجود عدم مشاهده همبستگی معنادار بین قدرت عضلات اکستنسور پشتی و پارامترهای نوسان مرکز فشار، الگوی ثابتی در رابطه با جهت همبستگی‌های مذکور مشاهده گردید؛ بدین صورت که با افزایش قدرت عضلات اکستنسور پشتی، نوسان مرکز فشار در جهت داخلی‌خارجی، افزایش و در جهت قدامی‌خلفی کاهش یافته است؛ به نظر می‌رسد تاثیر متقابل قدرت عضلات اکستنسور پشتی و درجه‌ی کیفوز توراسیک بر یکدیگر و نهایتاً بر تغییرات نوسانات مرکز فشار در جهت همبستگی‌های مشاهده شده، موثر بوده است. برخلاف یافته‌ی مطالعه‌ی حاضر، Sakari و همکاران، بین قدرت ایزومنتریک اکستنسورهای تنہ و سرعت نوسان مرکز فشار در راستای قدامی‌خلفی و داخلی‌خارجی، بصورت معنادار بیشتر است (۳۰). این احتمال وجود دارد که افزایش قدرت عضلات پشتی، با کاهش کیفوز توراسیک، بی‌ثباتی راستای ساجیتال را کترول و متعاقباً بی‌ثباتی و نوسان مرکز فشار در راستای فرونتال افزایش یافته است؛ هر چند سایر پارامترهای پاسچرال ستون فقرات (نظیر لوردوуз لمبار) و همچنین قدرت عضلات شکمی و اندام تحتانی ارزیابی نشده است و باید در مطالعات آینده تاثیر این عوامل نیز بررسی شود.

نتیجه‌گیری

در مجموع با توجه به نتیجه‌ی آزمون رگرسیون چندگانه که تاثیر معنادار استقامت عضلات اکستنسور تنہ بر وضعیت کیفوز توراسیک را نشان داد، به نظر می‌رسد این پارامتر علاوه بر اینکه به صورت غیرمستقیم و از طریق تاثیر بر افزایش کیفوز توراسیک بر بی‌ثباتی وضعیتی زنان استئوپروتیک موثر بوده، به صورت مستقیم نیز بر بی‌ثباتی وضعیتی راستای فرونتال تاثیرگذار بوده است. لذا علاوه بر تاثیر کاهش تراکم استخوان و کاهش قدرت عضلات اکستنسور پشتی بر بی‌ثباتی‌های وضعیتی افراد استئوپروتیک، استقامت عضلات اکستنسور تنہ، پارامتری، تاثیرگذار در بی‌ثباتی وضعیتی زنان یائسه می‌باشد که نیازمند توجه و بررسی‌های

(۲۵). لذا، تغییر حس وضعیت در ستون فقرات، به دنبال کاهش استقامت و افزایش خستگی‌پذیری عضلات اکستنسور تنہ، می‌تواند مکانیسم احتمالی افزایش کیفوز توراسیک در زنان یائسه‌ی استئوپروتیک باشد، که نیاز به بررسی بیشتری دارد. در رابطه با ارزیابی متغیرهای تعادلی در دو گروه، اگرچه نوسان مرکز فشار در راستای قدامی‌خلفی در تمامی پارامترهای مورد بررسی، در گروه هایپرکیفوتیک بیشتر بود؛ اما تفاوت مذکور تنها در مورد انحراف از معیار دامنه‌ی جابجایی مرکز فشار در راستای قدامی‌خلفی به سطح معنادار رسید. علاوه بر این در بررسی رابطه‌ی کیفوز توراسیک با متغیرهای تعادلی از طریق آزمون همبستگی پرسون، مشاهده کردیم که افزایش کیفوز توراسیک با افزایش نوسان مرکز فشار در راستای قدامی‌خلفی و کاهش نوسان مرکز فشار در راستای داخلی‌خارجی همراه است، هر چند همبستگی معناداری مشاهده نشد و تنها همبستگی مثبت نزدیک به معناداری بین زاویه کیفوز پشتی و میزان انحراف از معیار دامنه‌ی جابجایی مرکز فشار در راستای قدامی‌خلفی ($P=0.08$) مشاهده شد که قابل تأمل است. Tsai و همکاران در مطالعه بر روی افراد استئوپروتیک، مشاهده کردند که جابجایی مرکز فشار در افراد هایپرکیفوتیک نسبت به افراد استئوپروتیک نرمال کیفوتیک در دو جهت قدامی‌خلفی و داخلی‌خارجی، بصورت معنادار بیشتر است (۲۶). در مقابل Ostrowska و همکاران، افزایش دامنه و سرعت نوسان مرکز فشار در راستای قدامی‌خلفی و ساپرشن آن در راستای داخلی‌خارجی را متعاقب افزایش درجه‌ی کیفوز توراسیک، گزارش نمودند (۲۷). به نظر می‌رسد در رابطه با افزایش نوسان مرکز فشار در راستای قدامی‌خلفی در افراد هایپرکیفوتیک در اغلب مطالعات، همسو با نتایج مطالعه‌ی حاضر، به استثنای مطالعه‌ی Sinaki و همکاران (۲۸)، اتفاق نظر وجود دارد. در مقابل گزارش تغییرات نوسان مرکز فشار در راستای داخلی‌خارجی متناقض بوده و نیاز است، بررسی‌های بیشتر پیرامون علل و پارامترهای موثر در ثبات وضعیتی فرونتال افراد مسن استئوپروتیک صورت گیرد زیرا افزایش نوسانات داخلی‌خارجی عامل مهمی در افزایش احتمال سقوط و افتادن افراد مسن است. در مطالعه‌ی حاضر، زمان آزمون تغییر یافته‌ی Sorensean، با دامنه‌ی جابجایی مرکز فشار در راستای داخلی‌خارجی، همبستگی منفی و معناداری نشان داد؛ به عبارتی در افراد دو گروه، با افزایش زمان حفظ آزمون تغییر یافته‌ی Sorensean (استقامت بیشتر عضلات اکستنسور پشتی)، نوسان مرکز فشار در راستای داخلی‌خارجی، کاهش یافته است. با وجود تاثیر افزایش کیفوز توراسیک بر افزایش نوسان مرکز فشار در راستای قدامی‌خلفی و تاثیر کاهش استقامت عضلات اکستنسور پشتی (کاهش زمان آزمون تغییر یافته‌ی Sorensean)، بر افزایش نوسان مرکز فشار در راستای داخلی‌خارجی، برخلاف انتظار در بررسی بین دو گروه تفاوت‌های نوسان مرکز فشار، تنها در یک

قدرتمندی

با تشکر از دست اندکاران تحقیق حاضر، دکتر گیتی ترکمان و دکتر فریبا بهرامی، که تمامی مراحل طراحی و اجرا و در نهایت تالیف مقاله تحت نظارت و راهنمائی ایشان صورت گرفته است؛ همچنین قدردان پرسنل بخش سنجش تراکم استخوان بیمارستان بقیه الله هستیم که در بخش جمعیت نمونه حمایتمان نمودند. مقاله‌ی حاضر، مستخرج از پایان‌نامه‌ی کارشناسی ارشد فیزیوتراپی در دانشگاه تربیت مدرس با عنوان بررسی تغییرات COP و موقعیت آن نسبت به سطح اتکا در زنان یائسی استوپروتیک هایپرکیفوتیک و نرم‌مال کایفوتیک، می‌باشد.

ملاحظات اخلاقی طرح:

پروتکل تحقیق حاضر طی نامه‌ی شماره ۵۵۲/۷۰۳۷ در کمیته‌ی اخلاق دانشکده علوم پزشکی دانشگاه تربیت مدرس تهران بررسی و با توجه به اخذ رضایت آگاهانه و محترمانه بودن اطلاعات افراد مصوب گردید.

منابع مالی:

تمام هزینه‌های مرتبط با پژوهش از محل بودجه مربوط به پایان‌نامه و از طریق دانشگاه تربیت مدرس تأمین گردیده است و حامی مالی دیگری نداشته است.

منافع متقابل:

لازم به ذکر است، نویسنده‌گان از تالیف و انتشار مقاله‌ی حاضر منافع متقابله ندارند.

مشارکت مولفان:

س، م و گ. ت. طراحی، اجرا و تحلیل نتایج مطالعه را بر عهده داشته، همچنین مقاله را تالیف نموده و نسخه‌ی نهایی را خوانده و تائید نموده اند.

ف. ب. در بخش تحلیل داده‌های صفحه‌ی نیرو و تدوین برنامه‌ی پردازش شده در فضای متلب مشارکت نموده و همچنین نسخه‌ی نهایی مقاله را خوانده و تائید نموده است.

بیشتری است. اهمیت این موضوع زمانی بیشتر مشخص می‌شود که برخلاف رژیم‌های درمانی متنوع مبتئی بر افزایش قدرت عضلات که در بهبود ثبات وضعیتی افراد استوپروتیک بکار برد می‌شوند، تاثیر بهبود استقامت عضلات تنه بر ثبات وضعیتی کمتر مورد توجه قرار گرفته است؛ در صورتیکه رژیم‌های Slow (تیپ یک، مقاوم به خستگی) که در عضلات پاسچرال اهمیت خاصی دارند، تمرکز بیشتری دارند. به طوریکه مشاهده شده است در ورزشکاران استقامتی، درصد Slow نسبت به فیرهای Fast افزایش می‌یابد، به نظر میرسد محتوا میتوکندریال فیرهای Fast در قبل تمرینات استقامتی افزایش می‌یابد؛ به نحویکه از لحاظ میزان آنزیمه‌ای میتوکندریال، درسطح فیرهای Slow قرار می‌گیرند و درنتیجه مشابه فیرهای مقاوم به خستگی عمل می‌کنند. لذا پیشنهاد می‌شود در مطالعات آتی، تاثیر تمرینات استقامتی عضلات تنه بر بهبود پاسچر و تعادل وضعیتی افراد استوپروتیک بررسی شود. در حققت، تاثیر بهبود استقامت اکستانسورهای پشتی در اصلاح پاسچر (بویژه هایپرکیفوز توراسیک) و افزایش ثبات وضعیتی راستای فرونتال و همچنین ارزیابی آسان و سهل الوصول پارامتر مذکور، می‌تواند آن را به جایگزین و یا مکمل مناسب و اینمی برای رژیم‌های درمانی سنگین‌تر و پرهزینه‌تر در بیماران استوپروتیک تبدیل نماید. از محدودیت‌های مطالعه‌ی حاضر عدم بررسی لوردوز و تیلت لگن، قدرت و تحمل عضلات شکمی و عدم مقایسه گروه‌های استوپروتیک با افراد غیراستوپروتیک هایپر و نرم‌مال کیفوتیک است که باید در مطالعات آتی مورد توجه قرار گیرد. همچنین با توجه به اینکه به نظر می‌رسد در وضعیت ایستاده، پایابی برخی پارامترهای نوسان مرکز فشار، نظری جابجایی مرکز فشار در راستای قدامی-خلفی و داخلی-خارجی، در زمان‌های طولانی‌تر تست افزایش می‌یابد، پیشنهاد می‌شود در مطالعات آتی به منظور افزایش حساسیت آزمون ایستای تعادلی جهت نمایش تفاوت‌های تعادلی زنان استوپروتیک، در صورت امکان، زمان تست رومبرگ افزایش یابد.

References

- Brincat S D, Brincat A, Agius J C. Overview of the pathogenesis and management of postmenopausal osteoporosis. 2016.
- Pisani P, Renna M D, Conversano F, Casciaro E, Di Paola M, Quarta E, et al. Major osteoporotic fragility fractures: Risk factor updates and societal impact. *World journal of orthopedics* 2016; 7(3): 171. doi: 10.5312/wjo.v7.i3.171
- Kanis J A, McCloskey E V, Johansson H, Cooper C, Rizzoli R, Reginster J-Y. European guidance for the diagnosis and management of osteoporosis in postmenopausal women. *Osteoporosis international* 2013; 24(1): 23-57. doi: 10.1007/s00198-008-0812-y
- Ambrose A F, Cruz L, Paul G. Falls and fractures: a systematic approach to screening and prevention. *Maturitas* 2015; 82(1): 85-93. doi: 10.1016/j.maturitas.2015.06.035
- Deandrea S, Lucenteforte E, Bravi F, Foschi R, La Vecchia C, Negri E. Risk Factors for Falls in Community-dwelling Older People: " A Systematic Review and Meta-analysis". *Epidemiology* 2010; 658-668. doi: 10.1093/ptj/85.7.648
- Raeissadat S A, Sedighipour L, Pournajaf S, Vahab Kashani R, Sadeghi S. Effect of posture training with Weighted Kypho-Orthosis (WKO) on improving balance in women with osteoporosis. *Journal of aging research* 2014; 2014. doi: 10.1155/2014/427903

7. de Groot M H, van der Jagt-Willems H C, van Campen J P, Lems W F, Beijnen J H, Lamoth C J. A flexed posture in elderly patients is associated with impairments in postural control during walking. *Gait & posture* 2014; **39**(2): 767-772. doi: 10.1016/j.gaitpost.2013.10.015
8. Johnson C, Bettany-Saltikov J, Ling J. An investigation into the relationship between spinal curvature and postural sway in asymptomatic healthy young adults. doi: 10.1186/1748-7161-4-S2-O25
9. Mika A, Unnithan V B, Mika P. Differences in thoracic kyphosis and in back muscle strength in women with bone loss due to osteoporosis. *Spine* 2005; **30**(2): 241-246. doi: 10.1097/01.brs.000015052 1.10071.
10. Horlings C, Küng U, Van Engelen B, Voermans N, Hengstman G, van der Kooi A, et al. Balance control in patients with distal versus proximal muscle weakness. *Neuroscience* 2009; **164**(4): 1876-1886. doi: 10.1016/j.neuroscience.2009.09.063
11. Hsu W-H, Chen C-l, Kuo LT, Fan C-H, Lee MS, Hsu RW-W. The relationship between health-related fitness and quality of life in postmenopausal women from Southern Taiwan. *Clinical interventions in aging* 2014; **9**: 1573. doi: 10.2147/CIA.S66310
12. Parreira R B, Amorim C F, Gil A W, Teixeira D C, Bilodeau M, Da Silva R A. Effect of trunk extensor fatigue on the postural balance of elderly and young adults during unipodal task. *European journal of applied physiology* 2013; **113**(8): 1989-1996. doi: 10.1007/s00421-013-2627-6.
13. Suri P, Kiely D K, Leveille S G, Frontera W R, Bean J F. Trunk muscle attributes are associated with balance and mobility in older adults: a pilot study. *PM&R* 2009; **1**(10): 916-924. doi:10.1016/j.pmrj.2009.09.009
14. Darbani M, Torkaman G, Movassaghe S, Bayat N. Comparison of the hip, ankle and back extensor muscle strength and its correlation with functional balance in healthy and osteoporotic postmenopausal women. *Journal of Modern Rehabilitation* 2015; **9**(1): 40-52.
15. Fon G T, Pitt M J, Thies J r A. Thoracic kyphosis: range in normal subjects. *American Journal of Roentgenology* 1980; **134**(5): 979-983. doi: 10.2214/ajr.134.5.979
16. Yanagawa T L, Maitland M E, Burgess K, Young L, Hanley D. Assessment of thoracic kyphosis using the flexicurve for individuals with osteoporosis. *Hong Kong Physiotherapy Journal* 2000; **18**(2): 53-57. doi: 10.1016/S1013-7025(00)18004-2
17. Mijnarends D M, Meijers J M, Halfens R J, ter Borg S, Luiking Y C, Verlaan S, et al. Validity and reliability of tools to measure muscle mass, strength, and physical performance in community-dwelling older people: a systematic review. *Journal of the American Medical Directors Association* 2013; **14**(3): 170-178. doi: 10.1016/j.jamda.2012.10.009
18. Bohannon R W. Test-retest reliability of hand-held dynamometry during a single session of strength assessment. *Physical therapy* 1986; **66**(2): 206-209. doi: 10.1093/ptj/66.2.206
19. Reiman M P, Krier A D, Nelson J A, Rogers M A, Stuke Z O, Smith B S. Reliability of alternative trunk endurance testing procedures using clinician stabilization vs. traditional methods. *The Journal of Strength & Conditioning Research* 2010; **24**(3): 730-736. doi: 10.1519/JSC.0b013e3181c06c56.
20. Doyle R J, Hsiao-Wecksler E T, Ragan B G, Rosengren K S. Generalizability of center of pressure measures of quiet standing. *Gait & posture* 2007; **25**(2): 166-171. doi: 10.1016/j.gaitpost.2006.03.004
21. Franchignoni F, Tesio L, Martino M, Ricupero C. Reliability of four simple, quantitative tests of balance and mobility in healthy elderly females. *Aging-Clinical and Experimental Research* 1998; **10**(1): 26-31. doi: 10.1007/BF03339630
22. Hongo M, Miyakoshi N, Shimada Y, Sinaki M. Association of spinal curve deformity and back extensor strength in elderly women with osteoporosis in Japan and the United States. *Osteoporosis International* 2012; **23**(3): 1029-1034. doi: 10.1007/s00198-011-1624-z
23. Roghani T, Zavieh M K, Manshadi F D, King N, Katzman W. Age-related hyperkyphosis: update of its potential causes and clinical impacts-narrative review. *Aging clinical and experimental research* 2017; **29**(4): 567-577. doi: 10.1007/s40520-016-0617-3
24. Greig A M, Bennell K L, Briggs A M, Hodges P W. Postural taping decreases thoracic kyphosis but does not influence trunk muscle electromyographic activity or balance in women with osteoporosis. *Manual therapy* 2008; **13**(3): 249-257. doi: 10.1016/j.math.2007.01.011
25. Davidson B S, Madigan M L, Nussbaum M A. Effects of lumbar extensor fatigue and fatigue rate on postural sway. *European journal of applied physiology* 2004; **93**(1-2): 183-189. doi: 10.1007/s00421-004-1195-1
26. Tsai K H, Lin R M, Chang R I, Lin Y W, Chang G L. Radiographic and balance characteristics for patient with osteoporotic vertebral fracture. *Journal of the Chinese Institute of Engineers* 2004; **27**(3): 377-383. doi: 10.1080/02533839.2004.9670884
27. Ostrowska B, Giemza C, Wojna D, Skrzek A. Postural stability and body posture in older women: comparison between fallers and non-fallers. *Ortopedia, traumatologia, rehabilitacja* 2008; **10**(5): 486-495.
28. Sinaki M, Brey R H, Hughes C A, Larson D R, Kaufman K R. Balance disorder and increased risk of falls in osteoporosis and kyphosis: significance of kyphotic posture and muscle strength. *Osteoporosis international* 2005; **16**(8): 1004-1010. doi: 10.1007/s00198-004-1791-2
29. Greig A, Bennell K, Briggs A, Wark J, Hodges P. Balance impairment is related to vertebral fracture rather than thoracic kyphosis in individuals with osteoporosis. *Osteoporosis International* 2007; **18**(4): 543-551. doi: 10.1007/s00198-006-0277-9.
30. Sakari-Rantala R, Era P, Rantanen T, Heikkilä E. Associations of sensory-motor functions with poor mobility in 75-and 80-year-old people. *Scandinavian journal of rehabilitation medicine* 1998; **30**(2): 121-127. doi: 10.1007/BF03324815

Original Article

Effect of 12 weeks aerobic, resistance and combined trainings on serum levels of NGF in diabetic patients with peripheral neuropathy

Saeed Nikookheslat^{ID}, Javad Vakili^{ID}, Mehdi Aalizadeh^{*}^{ID}

Faculty of Physical Education and Sports Science, University of Tabriz, Tabriz, Iran

*Corresponding author; E-mail: Alizadehmehdi67@yahoo.com

Received: 20 September 2017 Accepted: 19 December 2017 First Published online: 7 September 2019
Med J Tabriz Uni Med Sciences Health Services. 2019 October- November; 41(4):92-100

Abstract

Background: Nerve Growth Factor (NGF) is the most important member of the neurotrophin family that it is essential in the growth and preservation of neuronal phenotype and functional integrity of cholinergic neurons. Purpose of this study was to evaluate the effect of 12 weeks aerobic, resistance and combined training on serum levels of NGF in diabetic patients with peripheral neuropathy.

Methods: In this semi-experimental study cases were randomly selected and divided to four groups: aerobic, resistance, combined and control. Aerobic training includes three sessions per week with intensity 70-75% maximum heart rate for 25 to 45 minutes and resistance training, consists of two sets of upper body muscles and trunk muscles, three sets of lower body muscles with 8 to 12 repetitions, three sessions a week. Combined training includes both aerobic and resistance training, which was performed three sessions per week. In the combined training, aerobic training and then resistance training were performed three sessions per week. Before and after the three-month period of the research, subjects were blood sampled.

Results: The 12 weeks of training in all three groups significantly increased serum levels of NGF ($P<0.05$). Meanwhile, the highest increase was observed in aerobic group.

Conclusion: The regular training increases the levels of NGF and prevents the development of peripheral neuropathy.

Keyword: Aerobic, Resistance, Combined Training, Nerve Growth Factor, Diabetes, Peripheral Neuropathy

How to cite this article: Nikookheslat S, Vakili J, Aalizadeh M. [The effect of 12 weeks aerobic, resistance and combined trainings on serum levels of NGF in diabetic patients with peripheral neuropathy]. Med J Tabriz Uni Med Sciences Health Services. 2019 October- November; 41(4):92-100. Persian.

مقاله پژوهشی

تأثیر ۱۲ هفته تمرین هوایی، مقاومتی و ترکیبی بر سطوح سرمی NGF در بیماران دیابتی مبتلا به نوروپاتی محیطی

سعید نیکو خصلت^{ID}، جواد وکیلی^{ID}، مهدی عالیزاده*

دانشکده تربیت بدنی و علوم ورزشی دانشگاه تبریز، تبریز، ایران
نویسنده مسئول؛ ایمیل: Alizadehmehdi67@yahoo.com

دریافت: ۱۳۹۶/۶/۲۹ پذیرش: ۱۳۹۶/۹/۲۸ انتشار برخط: ۱۳۹۸/۶/۱۶
مجله پژوهشی دانشگاه علوم پزشکی و خدمات بهداشتی-درمانی تبریز. مهر و آبان ۱۳۹۸؛ (۴۱): ۹۲-۱۰۰

چکیده

زمینه: فاکتور رشد عصبی (NGF) مهم ترین عضو خانواده نروتروفین هاست که وجود آن برای رشد و حفظ فوتیپ نورون ها و یکپارچگی عملکردی نورون های کولینرژیک ضروری است. هدف از پژوهش حاضر ارزیابی تأثیر تمرین هوایی، مقاومتی و ترکیبی بر سطوح سرمی NGF در بیماران دیابتی مبتلا به نوروپاتی محیطی بود.

روش کار: پژوهش حاضر از نوع نیمه تجربی و با طرح پیش آزمون-پس آزمون همراه با گروه کنترل بود. بدین منظور آزمودنی ها به طور تصادفی به چهار گروه هوایی، مقاومتی، ترکیبی و کنترل تقسیم شدند. تمرین هوایی شامل سه جلسه تمرین در هفته باشد که در مدت ۷۵ تا ۷۰ دقیقه و تمرین مقاومتی شامل دو سه دقیقه از عضلات اصلی بالاتنه و تنه و سه سمت از عضلات اصلی پایین تنه با ۸ تا ۱۲ تکرار، سه جلسه در هفته بود. تمرین ترکیبی نیز شامل هر دو تمرینات هوایی و مقاومتی می باشد که سه جلسه در هفته انجام شد. قبل و بعد از دوره ماهه پژوهش از آزمودنی ها خونگیری بعمل آمد. برای مقایسه نتایج پس آزمون همراه با کنترل نتایج پیش آزمون به عنوان کوواریانس، از آزمون آماری آنکروا استفاده شد.

یافته ها: نتایج نشان داد ۱۲ هفته تمرین در هر سه گروه باعث افزایش معنی دار سطوح سرمی NGF شد ($P < 0.05$). این در حالی بود که در گروه هوایی بیشترین افزایش مشاهده گردید.

نتیجه گیری: با توجه به یافته های حاضر می توان نتیجه گرفت که تمرین ورزشی منظم باعث افزایش سطوح سرمی NGF شده و احتمالاً این امر از بروز نوروپاتی محیطی جلوگیری کند و یا در صورت بروز، باعث بهبود آن شود.

کلید واژه ها: تمرین هوایی، مقاومتی، ترکیبی، فاکتور رشد عصبی، دیابت، نوروپاتی محیطی

نحوه استناد به این مقاله: نیکو خصلت س، وکیلی ج، عالیزاده م. تأثیر ۱۲ هفته تمرین هوایی، مقاومتی و ترکیبی بر سطوح سرمی NGF در بیماران دیابتی مبتلا به نوروپاتی محیطی. مجله پژوهشی دانشگاه علوم پزشکی و خدمات بهداشتی-درمانی تبریز. ۱۳۹۸؛ (۴۱): ۹۲-۱۰۰.

حق تألیف برای مؤلفان محفوظ است.

این مقاله با دسترسی آزاد توسط دانشگاه علوم پزشکی و خدمات بهداشتی-درمانی تبریز تحت مجوز کریپتو کامنز (Creative Commons License) منتشر شده که طبق مفاد آن هرگونه استفاده تنها در صورتی مجاز است که به اثر اصلی به نحو مقتضی استناد و ارجاع داده شده باشد.

مقدمه

نوروتروفیک و گیرندهای آنها در ابتلا و پیشرفت نوروپاتی دیابت دخیل است (۶). کاهش سطوح این فاکتورها ممکن است در نهایت منجر به آتروفی و نکروز سلولهای عصبی شود چرا که نشان داده شده است که نوروتروفین‌ها نقش مهمی در بقاء، تمایز، ترمیم و عملکرد نوروپاتی دارند. نوروتروفین‌ها رشد آکسونی سلولهای عصبی، شاخه‌زایی پایانه‌های عصبی و بازسازی عصب آسیب دیده را تنظیم می‌کنند. NGF مهم‌ترین عضو خانواده نوروتروفین‌هاست که در رشد و حفظ فتوتیپ نورون‌ها در سیستم عصبی محیطی و یکپارچگی عملکردی نورون‌های کولینرژیک در سیستم عصبی مرکزی ضروری است (۷). تزریق خارجی NGF در نمونه‌های حیوانی، می‌تواند از طریق اثر محافظتی بر نورون‌های سیستم عصبی محیطی، علاطم نوروپاتی را کاهش داده و فعالیت آنها را بهبود بخشد (۷). از سوی دیگر، فعالیت ورزشی منظم به عنوان یکی از راهکارهای مهم برای کنترل دیابت معرفی شده است. امروزه فواید فعالیت بدنی منظم در کنترل گلایسمیک و سایر عوارض ناشی از دیابت مانند بیماری‌های قلبی-عروقی بر کسی پوشیده نیست (۸). تحقیقات متعددی در این زمینه صورت گرفته است. در تحقیقی گزارش شده که برنامه ورزشی شامل تمرینات هوایی و مقاومتی باعث کنترل قند خون و سطح هموگلوبین گلیکوزیله در افراد گروه تجربی نسبت به گروه کنترل می‌شود (۹). همچنین در زمینه تاثیر فعالیت ورزشی منظم بر بروز نوروپاتی محیطی در افراد مبتلا به دیابت نوع دو، تمرینات ورزشی منظم در افراد مبتلا به دیابت بدون علاطم نوروپاتی محیطی، باعث پیشگیری از بروز علاطم نوروپاتی محیطی دیابت می‌شود (۱۰). فعالیت ورزشی منظم علاوه بر کنترل متابولیکی، ممکن است با تغییر در سطوح فاکتورهای نوروتروفیک (Factors Neurotrophic) و نوروزن (Neurogenesis)، در بهبود نوروپاتی دیابتی مؤثر باشد (۱۱). ورزش و محدودیت کالری در رژیم NGF همراه است (۱۱). سطوح فاکتورهای نوروتروفیک مانند NGF همراه است (۱۱). گزارش کرده‌اند که فعالیت بدنی باعث افزایش بیان ژن فاکتورهای رشد عصبی NGF در موش‌ها می‌شود (۱۱). ورزش‌های هوایی شامل حرکات ورزشی استقامه‌نظامی نظریه پیاده‌روی، دویدن، دوچرخه‌سواری، شنا و غیره است. در این تمرینات اکسیژن برای متابولیزه نمودن چربی‌ها و کربوهیدرات‌های ذخیره شده در کبد و عضلات اسکلتی در هنگام تولید انرژی برای ورزش استفاده می‌شود. انرژی هوایی برای مدت طولانی تولید می‌شود، اما سرعت تولید انرژی کم می‌باشد (۱۲). اعتقاد بر این است که تمرینات هوایی موجب تأثیر مطلوب بر عوامل خطرزای متابولیک مانند نیم‌رخ لیپیدی، چربی زیرپوستی و گلوکز خون بیماران دیابتی می‌شود (۱۳). در افراد دیابتی نوع ۲ معمولاً جایگای GLUT4 از عمق به سطح سلول که توسط انسولین تحریک می‌شود، مختل

دیابت یک بیماری متابولیک است که با اختلال در سوخت و ساز گلوکز مشخص می‌شود و با فقدان مطلق یا نسبی انسولین همراه است. دیابت به دو نوع دیابت نوع یک و نوع دو طبقه‌بندی می‌شود که دیابت نوع دو شایع‌ترین آن است به گونه‌ای که بیش از ۹۰ درصد موارد دیابت را شامل می‌شود (۱). در این بیماری سطح بالای قند خون و اختلالات متابولیک منجر به عوارض متعددی از جمله افزایش فشارخون و چربی خون، مشکلات انعقادی، اختلالات کلیوی و بینایی، اختلال در عملکرد اعصاب و بیماری‌های قلبی-عروقی می‌شود (۱). این بیماری به عنوان یکی از عوامل اصلی مرگ و میر زودرس و بیماری‌های قلبی-عروقی، بیماری‌های کلیوی، بیماری‌های عصبی و قطع عضو معروفی شده است (۱). نوروپاتی محیطی یکی از عوارض طولانی مدت دیابت است که در سال‌های اولیه ابتلا به دیابت شروع شده و با گذشت زمان تشدید می‌شود به گونه‌ای که شیوع آن در بین افراد دیابتی از ۵ تا ۸۰٪ است (۲). پلی نوروپاتی قرینه دیستال شایع‌ترین نوع نوروپاتی محیطی دیابت است که یک نوروپاتی حسی و حرکتی وابسته به طول بوده و معمولاً هر دو نوع فیبرهای عصبی کوتاه و طویل را تحت تاثیر قرار می‌دهد. نوروپاتی محیطی دیابتی با از دست دادن حس در پنجه پاها و گسترش آن به سایر نواحی پا و دست‌ها مشخص می‌شود که اصطلاحاً به توزیع جوراب-دستکش (Stocking and Glove Distribution) معروف است (۳). این عارضه با تغییرات ساختاری در اعصاب محیطی مانند تخریب آکسونی، میلین زدایی، کاهش تارهای عصبی و کند شدن روند بازسازی تارهای عصبی همراه است (۳). نوروتروفیک‌ها یکی از عوامل مهم و دخیل در فعالیت نورون‌ها محسوب می‌شوند. خانواده نوروتروفین‌ها (Neurotrophic) در پستانداران شامل فاکتور رشد عصبی (Nerve Growth Factor) و فاکتور Brain-derived Neurotrophic Factor هستند که این مولکول‌ها در اصل به عنوان کلید تنظیمی افزایش ارتباط نورونی و بقای عصبی در طول رشد و بزرگسالی مطرح شده است (۴). رشد، نمو و حفظ سیستم عصبی مهره‌داران توسط عوامل رشد عصبی تضمین می‌شود (۴). عوامل رشد عصبی معمولاً به گیرندهای تیروزین‌کیناز متصل می‌شوند (۴). NGF که از آن به عنوان فاکتور رشد عصبی یاد می‌شود، علاوه بر این که آبشارهای مختلف سیگنانی را برای بهبود وضعیت عصبی فعال می‌کند، باعث کنترل در بقای نورون‌ها می‌شود، هر چند این فعالیت در دوران پیشی کاهش می‌یابد (۵). در افراد مبتلا به دیابت، سطوح فاکتورهای رشد عصبی تحت تاثیر قرار می‌گیرد به گونه‌ای که دیابت از عوامل کاهش‌دهنده بیان و سطوح پلاسمایی فاکتورهای رشد عصبی است (۶). شواهد به دست آمده از تحقیقات حیوانی حاکی از این است که کاهش فاکتورهای

آزمودنی‌ها پس از تأیید کمیته اخلاق با کد همکاران تحقیق در رابطه با آزمون در کلاس توجیهی که توسط شرکت کرده و تمامی موارد مهم در طی آزمون را آموزش دیدند. همچنین در طول تحقیق تمامی موارد آزمایشات در اختیار آزمودنی‌ها قرار گرفت و اطلاعات شخصی آزمودنی‌ها به صورت کاملاً محروم‌مانه بود. تحقیق حاضر در سال ۹۵-۹۶ در دانشکده تربیت بدنی و علوم ورزشی دانشگاه تبریز توسط متخصصین انجام گرفته شد و تمام آزمایشات پژوهشی در آزمایشگاه‌های تخصصی ارزیابی گردیدند. در ابتدا با استفاده از بررسی پرونده پژوهشی افراد، پس از اعلام تمایل به همکاری آزمودنی‌ها، میزان سابقه بیماری آزمودنی‌ها، میزان فعالیت روزانه و عدم منع پژوهشی جهت انجام فعالیت‌های ورزشی با استفاده از پرسشنامه مورد بررسی قرار گرفت. سپس در صورت وجود شرایط اولیه شامل سابقه دیابت بیش از ۵ سال، عدم فعالیت ورزشی روزانه، عدم منع پژوهشی، HbA1c بین ۶/۶ تا ۱۲ درصد، آزمودنی‌ها انتخاب شده سپس توسط متخصص طب فیزیکی و توانبخشی فعالیت الکتروموگرافی ارزیابی شد و یک هفته قبل از شروع تمرین اطلاعات پیکربندی، توان هوایی و قدرت آزمودنی‌ها به مظظر همگن‌سازی گروه‌ها در آزمایشگاه ثبت گردید. سپس ۴۰ نفر با دامنه سنی ۳۵ تا ۶۵ سال به روش تصادفی ساده توسط همکاران تحقیق به چهار گروه هوایی (۱۰ نفر)، مقاومتی (۱۰ نفر)، ترکیبی (۱۰ نفر) و کنترل (۱۰ نفر) برای شرکت در دوره ۳ ماهه تحقیق انتخاب شدند. تمرین هوایی شامل ۳ جلسه تمرین در هفته و به مدت ۱۲ هفته بود. برنامه شامل ۱۵ دقیقه حرکات کششی و فعالیت سبک برای گرم کردن، فعالیت اصلی با شدت ۷۰ تا ۷۵ درصد ضربان قلب بیشینه به مدت ۲۵ تا ۴۵ دقیقه و ۱۰ دقیقه حرکات کششی برای سرد کردن بود. در ابتدای تمرینات، شدت تمرین ۷۰ درصد ضربان قلب بیشینه و مدت آن نیز ۲۵ دقیقه بود که با گذشت هفته‌های تمرینی هم شدت و هم مدت زمان تمرین افزوده گردید. هزینه کالری برای تمرین هوایی ۱۲ کیلوکالری به ازای هر کیلوگرم از وزن بدن انتخاب شد. برای تمرین مقاومتی که با تمرین هوایی ایزوکالریک بود، از حرکات پویا شامل ۲ سست از عضلات اصلی بالاتنه (پرس سینه، پرس شانه، قایقی و زیریغل از جلو)، ۳ سست از عضلات اصلی پایین‌تنه (پرس پا، جلو پا و پشت پا) و ۲ سست از عضلات تنه (شکم و فیله) با ۸ تا ۱۲ تکرار، ۳ جلسه در هفته همراه با گرم کردن و سرد کردن و استراحت ۲ تا ۳ دقیقه‌ای بین سنتها استفاده شد. تمرین مقاومتی نیز در ابتدا با ۱۲ تکرار انجام شد و با گذشت هفته‌های تمرینی تعداد تکرارها کم گردید. تمرین ترکیبی نیز شامل هر دو تمرینات هوایی و مقاومتی بود که ۳ جلسه در هفته به مدت ۱۲ هفته انجام شد. در تمرین ترکیبی ابتدا تمرین هوایی (۳ جلسه در هفته) انجام گردید که مصرف کالری نسبت به تمرین

می‌شود. در این راستا، تحقیقات نشان داده‌اند که در اثر تکرار فعالیت ورزشی، بیان ناقل GLUT4 افزایش یافته و میزان کلی آن در سطح سلول‌های عضلانی بیشتر می‌شود که در نهایت منجر به افزایش حساسیت سلول‌های عضلانی به انسولین، بهبود عمل انسولین و کاهش سطح قند خون به مقادیر طبیعی می‌شود (۱۴). فعالیت بدنی یکی از روش‌های افزایش جریان خون در اندام تحتانی بوده و سرعت هدایت عصبی را در ۳۰ دقیقه اول پیاده روی در افراد سالم افزایش می‌دهد (۱۵). علاوه بر تمرینات هوایی، تأثیر تمرینات مقاومتی بر کنترل قند خون بیماران دیابتی نیز مشاهده شده است (۱۵). این روند، عامل مؤثری در بهبود کارکرد اعضای مختلف بدن از جمله عملکردهای عصبی و عضلانی است (۱۵). در واقع با افزایش فعالیت ورزشی و در نتیجه افزایش کنترل قند خون، آسیب به اعصاب کاهش یافته و می‌تواند منجر به کاهش عوارض ناشی از دیابت شود که در اثر تخریب سلول‌های عصبی رخ می‌دهد (۱۶). در تمرینات بی‌هوایی کربوهیدارت ذخیره شده در بدن می‌تواند بدون استفاده از اکسیژن برای تولید انرژی تجزیه شود. سرعت تولید انرژی در این سیستم بالا بوده، اما ظرفیت تولید انرژی این سیستم محدود است و تنها به مدت چند دقیقه دوام دارد (۱۲). تمرین مقاومتی نیز ابزار درمانی در حال رشدی است که دارای پتانسیل افزایش قدرت عضلانی، استقامت، انعطاف‌پذیری، ترکیب بدن و کاهش عوامل خطر بیماری‌های قلبی عروقی است. افزایش شدت تمرین، تکرار بیشتر یا ترکیبی از حجم و شدت ممکن است مزایای بیشتری را تولید نماید و برای برخی از افراد دیابتی نوع دو مناسب باشد (۱۷). همچنین تمرین مقاومتی با شدت و مدت زمان کافی می‌تواند به تهایی سبب کاهش گلوکز و هموگلوبین گلیکوزیله (Hemoglobin A1c) شود (۱۷). با وجود تحقیقات زیاد، در حدود ۸۰ درصد بیماران دیابتی نوع ۲، فعالیت‌های بدنی کافی برای کسب اثرات مفید تدرستی را نداشته و تمایل زیادی به بازگشت به سبک زندگی بی‌تحرک دارند (۱۸). بنابراین، با توجه به عوامل ذکر شده و همچنین با وجود جستجوی محقق، تحقیقاتی برای مقایسه اثر همزمان سه نوع تمرین بر روی افراد دیابتی دارای نوروپاتی محیطی یافت نشد که تحقیق حاضر به جهت ارزیابی تأثیر سه ماه تمرینات هوایی، مقاومتی و ترکیبی منظم بر تغییرات سطوح NGF در بیماران دیابتی نوع دو با نوروپاتی محیطی انجام شد.

روش کار

پژوهش حاضر از نوع نیمه‌تجربی و با طرح پیش‌آزمون-پس‌آزمون می‌باشد که به شیوه میدانی و آزمایشگاهی اجرا شد. آزمودنی‌ها ۴۰ نفر از مردان دیابتی نوع ۲ مبتلا به نوروپاتی محیطی در شهر تبریز بودند و قبل از شرکت در آزمون‌ها مجوز پژوهشی و فرم رضایت‌نامه شرکت در آزمون را تکمیل کردند. همچنین

استفاده از دستگاه اتوآنالایزر اندازه‌گیری گردید. بخش دیگری از نمونه‌های خونی (۳ سی سی) در تیوب‌های ویژه سرد شد (BD Vacutainer SST II Advance)، جمع‌آوری شد و یک ساعت در دمای معمولی تا لخته شدن باقی ماند و در ادامه پس از سانتریفیوژ سرم به دست آمده در دمای ۸۰- درجه سیلیسیوس منجمد شد. مقدار NGF و انسولین پایه سرم به روش الیزا با کیت‌های ویژه DRG Insulin ELISA kit، (R&D NGF ELISA kit, USA) (USA) با تکرار مصاعف با استفاده از دستگاه الیزا ریدر اندازه‌گیری شد. بعد از جمع‌آوری داده‌ها از آمار توصیفی (میانگین و انحراف استاندارد) برای توصیف داده‌ها استفاده گردید. به جهت تعیین طبیعی بودن توزیع داده‌ها از آزمون شاپیرو ویلک (Shapiro-Wilk) استفاده گردید و از آنجایی که داده‌ها بر اساس ارزیابی تی زوجی معنی‌دار بودند، برای مقایسه نتایج پس آزمون همراه با کترول نتایج پیش آزمون به عنوان کوواریانس، از آزمون آماری آنکووا در سطح معنی‌داری کمتر از ۰/۰۵ استفاده شد. داده‌های جمع‌آوری شده با استفاده از نرم افزار SPSS نسخه ۲۰ تجزیه و تحلیل شد.

یافته‌ها

نتایج اولیه مربوط به ویژگی‌های آزمودنی‌های پژوهش با استفاده از آزمون شاپیرو- ویلک بررسی گردید و داده‌ها طبیعی بودند و تفاوت اولیه نداشتند. ویژگی‌های آزمودنی‌ها در جدول ۱ ارائه شده است.

نتایج تحلیل کوواریانس برای ارزیابی اثر ۱۲ هفته تمرین هوایی، مقاومتی و ترکیبی بر سطوح سرمی NGF در بیماران دیابتی مبتلا به نوروپاتی محیطی نشان داد که تمرین در هر سه گروه باعث افزایش معنی‌دار سطوح NGF شده است. این در حالی بود که در گروه هوایی بیشترین افزایش و در گروه مقاومتی کمترین افزایش در مقایسه با گروه کترول صورت گرفت (جدول ۲ و نمودار ۱).

فقط هوایی ۲ کیلوکالری به ازای هر کیلوگرم از وزن بدن کمتر بود (۱۰ کیلوکالری به ازای هر کیلوگرم از وزن بدن). سپس تمرین مقاومتی (۲ جلسه در هفته) اجرا شد که تعداد سنتراک در تمرین مقاومتی یک سنتراک بود (۱۹ کترول میزان شدت در تمرین هوایی با ضربان سنج پولار ساخت کشور فنلاند و میزان درک فشار بورگ و در تمرینات قدرتی از طریق تعداد تکرار اعمال شد (جدول ۱).

برای بررسی متغیرهای بیوشیمیایی، عمل خونگیری بعد از ۱۲ ساعت ناشتابی و در دو مرحله، یکی قبل از شروع تمرینات هوایی، مقاومتی و ترکیبی و دیگری بعد از ۱۲ هفته تمرینات هوایی، مقاومتی و ترکیبی صورت گرفت. از آزمودنی‌ها درخواست شد که در روز قبل از خونگیری، فعالیت جسمانی شدیدی انجام ندهند و از هیچ نوع مکمل، الكل یا درمان دارویی استفاده نکنند. آزمودنی‌ها در آزمایشگاه تشخیص طبی حاضر شدند و ۵ میلی‌لیتر خون از سیاهه‌گ دست راست آن‌ها در وضعیت نشسته گرفته شد. خون گرفته شده به مدت ۱۲ دقیقه با سرعت ۳۵۰۰ دور در دقیقه سانتریفیوژ گردید و سپس خون در فریزیر منفی ۸۰ درجه سانتی‌گراد نگهداری شد و در زمان لازم استفاده گردید. علاوه بر این جهت اندازه‌گیری پاسخ قدر خون ۲ ساعته، پس از نمونه خونی اول، تمامی آزمودنی‌ها محلول قدمی مشابهی مصرف کرده و مجدداً نمونه خونی پس از ۲ ساعت از آزمودنی‌ها به عمل آمد. برای بررسی نوروپاتی محیطی از دستگاه EMG مدل Myto II ساخت کشور ایتالیا، برای اندازه‌گیری قدرت عضلات از یک تکرار بیشینه (با استفاده از معادله برزیسکی) استفاده شد. غلظت‌های گلوكز، تری‌گلیسرید و کلسترول تام با استفاده از روش کالری‌متري آنژیماتیک اندازه‌گیری گردید. غلظت هموگلوبین گلیکوزیله با استفاده از روش دستگاه اتوآنالایزر اندازه‌گیری شد. در هر بار خون‌گیری، بخشی از نمونه‌های خونی (۲ سی سی) سیاهه‌گ بازوئی در تیوب‌های حاوی ماده ضد انعقاد EDTA جمع‌آوری شد و پس از سانتریفیوژ و جداسازی پلاسماء، مقدار گلوكز خون به روش گلوكز اکسیداز و نیمرخ چربی به روش آنژیماتیک استاندارد (کیت پارس آزمون، کرج، ایران) با

جدول ۱: برنامه تمرینات ورزشی در هر سه گروه تمرین

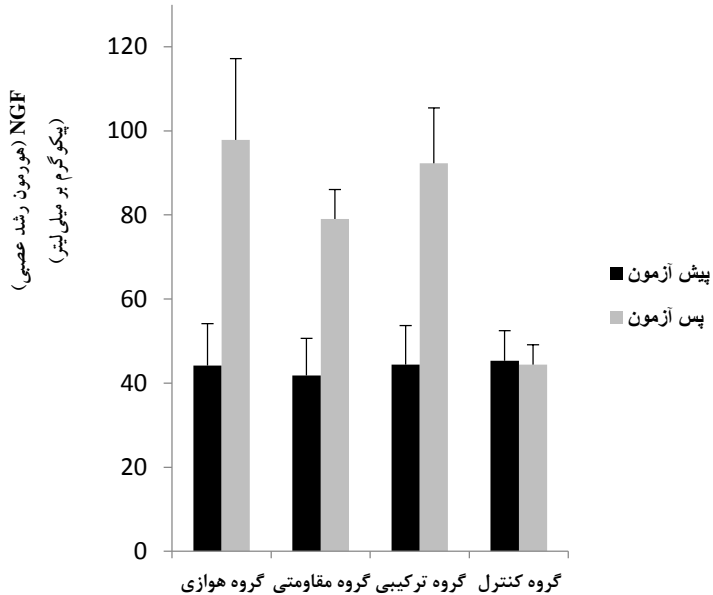
تمرین ترکیبی							تمرین مقاومتی							تمرین هوایی		
تمرین مقاومتی	هوایی	شدت	مدت	جلسه	در هفته	بیشترین	تمرین	شدت	جلسه	در هفته	شدت (درصد ضربان قلب بیشینه)	مدت	مدت	هفتا		
تکرار	ست	شدت	مدت	جلسه	در هفته	تکرار	تکرار	شدت	جلسه	در هفته	شدت (درصد ضربان قلب بیشینه)	مدت	مدت	هفتا		
۱۲	۱	۷۰	۲۵	۳	۱۲	۱۲	۳	۳	۱۲	۳	۷۰	۲۵	۲۵	۲-۱		
۱۲	۱	۷۰	۳۰	۳	۱۲	۱۲	۳	۳	۷۰	۳۰	۳۰	۳۰	۳۰	۴-۳		
۱۲	۱	۷۰	۳۵	۳	۱۲	۱۲	۳	۳	۷۰	۳۵	۳۵	۳۵	۳۵	۶-۵		
۱۰	۱	۷۰	۴۰	۳	۱۰	۱۰	۳	۳	۷۰	۴۰	۴۰	۴۰	۴۰	۸-۷		
۸	۱	۷۰	۴۵	۳	۸	۸	۳	۳	۷۰	۴۵	۴۵	۴۵	۴۵	۱۰-۹		
۸	۱	۷۵	۴۰	۳	۸	۸	۳	۳	۷۵	۴۰	۴۰	۴۰	۴۰	۱۲-۱۱		

جدول ۲: ویژگی‌های آزمودنی‌های پژوهش

متغیرها	میانگین \pm انحراف معیار
سن (سال)	۵۵/۱۱ \pm ۷/۹۶
قد (سانتی‌متر)	۱۷۱/۶۶ \pm ۷/۰۳
وزن (کیلوگرم)	۸۶/۳۲ \pm ۱۳/۶۱
شاخص توده‌ی بدنی (کیلوگرم بر مترمربع)	۲۹/۱۷ \pm ۳/۲۸
مدت ابتلا به دیابت (سال)	۱۲/۸۴ \pm ۶/۳۴
حداکثر اکسیژن مصرفی (ملی لیتر/کیلوگرم/دقیقه)	۲۹/۷۰ \pm ۶/۰۹
گلوكز خون ناشتا (ملی گرم بر دسی‌لیتر)	۱۴۱/۶۴ \pm ۵۲/۲۰
گلوكز خون دو ساعت بعد از صبحانه (ملی گرم بر دسی‌لیتر)	۳۱۴/۱۱ \pm ۷۴/۶۰
کلسترول (ملی گرم بر دسی‌لیتر)	۱۴۳/۳۹ \pm ۳۴/۹۱
تری‌گلیسرید (ملی گرم بر دسی‌لیتر)	۱۵۰/۱۶ \pm ۱۱۳/۴۶
لپوپروتئین پرچگال (ملی گرم بر دسی‌لیتر)	۳۹/۰۶ \pm ۱۰/۰۲
لپوپروتئین کم چگال (ملی گرم بر دسی‌لیتر)	۸۰/۷۹ \pm ۲۴/۳۸
هموگلوبین گلیکوزیله (HgbA1c) (درصد)	۷/۰۰ \pm ۱/۱۱
انسولین (میکرو واحد بر میلی‌لیتر)	۱۴/۴۷ \pm ۱۳/۴۵

جدول ۳: میانگین و انحراف معیار هورمون رشد عصبی در چهار گروه پژوهش

شاخص	گروه‌ها	قبل از شروع طرح	بعد از اتمام طرح	سطح معناداری
	هوایی	۴۴/۲۱ \pm ۹/۹۲	۴۷/۸۲ \pm ۱۹/۳۵	.۰۰۰
	مقاومتی	۴۱/۸۳ \pm ۸/۸۱	۷۹/۰۲ \pm ۷/۰۴	.۰۰۰
	ترکیبی	۴۴/۳۷ \pm ۹/۳۴	۹۲/۳۰ \pm ۱۳/۱۵	.۰۰۰
	کنترل	۴۵/۳۴ \pm ۷/۱۷	۴۴/۳۸ \pm ۷/۷۴	.۰۴۱

* اختلاف معنی دار بین پیش از مون و پس از مون ($P < 0.05$).

نمودار ۱: تغییرات NGF (هورمون رشد عصبی) در چهار گروه پژوهش (قبل و بعد از اجرای طرح)

سه گروه، سطوح NGF بر اثر تمرین افزایش معنی‌داری داشت. این در حالی بود که در گروه هوایی بیشترین افزایش و در گروه مقاومتی کمترین افزایش در مقایسه با گروه کنترل نشان داده شد.

پژوهش حاضر با هدف ارزیابی اثر تمرین هوازی، مقاومتی و ترکیبی بر سطوح سرمی NGF در بیماران دیابتی مبتلا به نوروپاتی محیطی انجام گرفت. نتایج تحلیل کوواریانس نشان داد که در هر

بحث

توسط Bansi و همکاران (۲۰۱۲) با هدف بررسی تاثیر دو نوع پروتکل تمرین استقامتی متفاوت (آبی در مقابل خشکی) بر غلاظت سایتوکاین‌ها و نوروتروفین‌ها در طول ۳ هفته کارآزمایی تصادفی کترول شده انجام شد گزارش کردند که تمرین در آب نسبت به تمرین در خشکی باعث افزایش زیادی در شاخص‌های مذکور از NGF می‌شود (۲۶). در تحقیقی دیگر که توسط Gold و همکاران (۲۰۰۳) مقادیر سرمی پایه و واکنش پذیری NGF و BDNF به ورزش حاد استاندارد انجام شد، مشخص گردید که مقادیر NGF در بیماران مبتلا به ام اس پس از ۳۰ دقیقه فعالیت هوازی افزایش یافت. محققین در این مطالعه عنوان کردند که افزایش میزان NGF با شدت بیماری در ارتباط است (۲۷). همچنین در تحقیقی با هدف بررسی تاثیر ۱۰ روز ورزش اجباری روی تردیمیل بر فاکتورهای نوروتروفیک در حیوانات مبتلا به آنسفالومیلیت خودایمن، Patel و White (۲۰۱۳) گزارش کردند که سطوح NGF در گروه‌های ورزشی نسبت به گروه‌های کترول به طور معنی‌داری افزایش داشت (۲۸). Chae و همکاران (۲۰۰۹) در تحقیقی به بررسی اثر ۶ هفته تمرین منظم روی تردیمیل بر سطوح NGF، گیرنده تیروزین کیناز (TrKA) و فسفاتیدیل اینوزیتول کیناز-۳ (Pi3-K) پرداختند. محققین گزارش کردند که ورزش با فعال کردن مسیرهای سیگنال‌دهی MAPK/ErK1/2 باعث افزایش سطوح NGF در گروه‌های ورزشی دیابتی و ورزشی سالم شده است (۲۹). در تحقیقی دیگر Dakhili و همکاران (۲۰۱۴) با هدف بررسی اثر ۶ هفته تمرین استقامتی بر بیان ژن NGF در بخش حسی رت‌های با نوروپاتی دیابتی گزارش کردند که ۶ هفته تمرین استقامتی به طور معنی‌داری باعث افزایش میزان NGF هم در رت‌های با نوروپاتی دیابتی و هم در رت‌های سالم شد. همچنین نتایج این مطالعه نشان داد که سطوح NGF در گروه دیابتی نسبت به گروه سالم بیشتر بود اما اختلاف بین دو گروه معنی‌دار نبود. محققین در این پژوهش دلایل احتمال این افزایش را نیاز بیشتر به NGF در بخش حسی رت‌های دیابتی در مقایسه با رت‌های سالم و نیز مضاعف بودن فشار تمرین در گروه دیابت به دلیل اختلال و آسیب بر اعصاب محیطی دانستند (۲۴). از سوی دیگر بیشتر تحقیقات موجود در مورد تمرینات مقاومتی گزارش کردند که تمرینات مقاومتی تاثیری بر سطوح NGF ندارد. برای مثال در تحقیقی که توسط Moghadasi و همکاران (۲۰۱۵) تحت عنوان اثر ۸ هفته تمرین قدرتی بر غلاظت پلاسمایی NGF در زنان مبتلا به مالتیپل اسکلروزیس انجام شد، گزارش کردند که تمرینات قدرتی (به مدت ۸ هفته و ۳ جلسه در هفته) تاثیری بر سطوح NGF ندارد (۳۰). چنین به نظر می‌رسد طول دوره تمرین و میزان ناتوانی ناشی از بیماری ممکن است در اختلاف نتایج بدست آمده از تحقیق Moghadasi و همکاران با مطالعه حاضر موثر باشد.

تحقیقات زیادی فواید مثبت ورزش درمانی را به عنوان یک روش کم هزینه در پیشگیری و کمک به کترول دیابت نشان داده‌اند. این تمرینات باعث تنظیم قند خون، افزایش حساسیت به انسولین، کاهش وزن و درصد چربی بدن، و کاهش سطح چربی خون می‌شود (۲۰). فعالیت ورزشی منظم علاوه بر کترول متابولیک ممکن است با تعییر در سطوح فاکتورهای رشد عصبی، باعث تاثیرات مفیدی در بیماران دیابتی شود. تمرین هوازی کترول گلوکز خون را از طریق کاهش مقدار HbA1c بهبود بخشیده، حساسیت انسولین را افزایش داده و عوامل خطر قلبی عروقی را کاهش می‌دهد (۲۱). از طرف دیگر، تمرین مقاومتی حجم، قدرت و توان عضله را بهبود بخشیده و به عنوان یک ابزار درمانی سالم در نظر گرفته می‌شود. همچنین تمرین مقاومتی می‌تواند حساسیت انسولین و مصرف روزانه انرژی را افزایش داده و کیفیت زندگی را بهبود بخشد و از تضعیف عوامل رشد عصبی در افراد مبتلا به دیابت جلوگیری نماید. همچنین تمرین هوازی می‌تواند اثر انسولین را بر هر فیبر عضلانی بدون افزایش فیبر تغییر دهد، در حالی که تمرینات مقاومتی ترجیحاً جذب گلوکز را با افزایش اندازه هر فیبر عضلانی بهبود می‌بخشد. در زمینه تاثیر فعالیت ورزشی منظم بر بروز نوروپاتی محیطی در افراد مبتلا به دیابت نوی ۲، تمرینات ورزشی منظم در افراد مبتلا به دیابت بدون علائم نوروپاتی محیطی، باعث پیشگیری از بروز علائم نوروپاتی محیطی دیابت می‌شود (۱۰). فعالیت ورزشی ممکن است با تعییر در سطوح فاکتورهای نوروتروپیک و نوروژن در بهبود نوروپاتی دیابتی مؤثر باشد (۱۱). گزارش کردند که فعالیت بدنی باعث افزایش بیان ژن فاکتورهای رشد عصبی BDNF و NGF و در موش‌ها می‌شود. فعالیت‌های ورزشی از طریق مکانیسم‌های فرامولکولی مانند نروژن، سیناپتوژن و آتشیوژن (تحت کترول مکانیسم‌های مولکولی مثل IGF-1، BDNF، هورمون‌ها و پیامبرهای ثانویه)، از افت ظرفیت شناختی پیشگیری می‌کند (۲۲). بر اساس نتایج مطالعات تجویز NGF سبب افزایش تعداد آکسون‌های میلین‌دار، ضخامت میلین و بلوغ بیشتر لایه‌های اندوتیال می‌شود. مقدار بالای NGF نه تنها ترمیم را تسريع می‌کند بلکه سبب توقف استحاله‌ی عصب نیز می‌شود (۲۳). فعالیت بدنی منظم، افزایش نوروتروفین‌ها را ارتقا می‌بخشد و از مرگ برنامه‌ریزی شده‌ی سلول‌های عصبی جلوگیری می‌کند (۲۴). فعالیت بدنی ممکن است یک عامل محافظتی قوی در برابر تحلیل عصبی باشد که در اثر افزایش سن رخ می‌دهد (۲۴). در تحقیقی Chae و همکاران (۲۰۱۲) گزارش کردند که یک دوره‌ی چهار هفته و هشت هفته‌ای تمرینات شنا و دویدن موجب افزایش معنی‌دار میزان NGF و گسترش زوائد دندیریتی در هیپوکمپ رت‌ها می‌شود و میزان این تغییرات مشاهده شده بر اثر تمرینات شنا بیشتر از دویدن روی نوارگردان بود (۲۵). همچنین در تحقیقی

ورزشی دانشگاه تبریز می‌باشد. بدین وسیله نویسندهای مرتب سپاس و قدردانی خود را از تمامی عزیزانی که در تحقیق حاضر شرکت داشته یا یاری رسانده‌اند، اعلام می‌دارند. پروتکل این پژوهش در کمیته پژوهشی دانشگاه علوم پزشکی تبریز، استان آذربایجان شرقی به شماره مرجع IR.TBZMED.REC.1396.249 به تایید رسیده است.

تضاد منافع: مؤلفان پژوهش حاضر اظهار می‌دارند که منافع متقابلی از تالیف یا انتشار این مقاله ندارند. همچنین این پایان نامه هیچ حامی مالی نداشته است.

مشارکت مؤلفان: س. ن، ج. و همکاران طراحی، اجرا و تحلیل نتایج پژوهش را بر عهده داشتند. همچنین مؤلفان، مقاله را تالیف نموده و نسخه نهایی آن را خوانده و تایید نموده‌اند.

نتیجه‌گیری

بر اساس یافته‌های این پژوهش و پژوهش‌های قبلی در این حیطه می‌توان چنین ذکر کرد که تمرین علاوه بر کترول متابولیکی، احتمالاً با تحریک مسیرهای سینکنال‌دهی NGF باعث افزایش سطوح NGF شده و متعاقب آن باعث افزایش مقدار آکسون‌های میلین دار، افزایش ضخامت میلین، انعطاف سیناپسی و جلوگیری از مرگ سلولی برنامه‌ریزی شده عصب شود که این عمل باعث جلوگیری از نوروپاتی دیابتی و یا در صورت بروز باعث بهبود آن خواهد شد. برای بررسی اثر تمرین در تحیات آتی می‌توان از شدت‌های مختلف تمرین در دوره‌های متفاوت استفاده کرد و همچنین از آنجایی که برخی مکمل‌های صنعتی و سنتی تاثیراتی را روی ترمیم و بازسازی عصب دارند می‌توان پژوهش‌هایی با مداخله مکمل‌ها انجام داد.

تشکر و قدردانی

این مقاله حاصل رساله دکتری رشته فیزیولوژی ورزشی- بیوشیمی و متابولیسم ورزشی دانشکده تربیت بدنی و علوم

1. Tesfaye S, Selvarajah D. Advances in the epidemiology, pathogenesis and management of diabetic peripheral neuropathy. *Diabetes/metabolism research and reviews* 2012; **28**(S1): 8-14. doi: 10.1002/dmrr.2239
2. Shaw J, Zimmet P, Gries F, Ziegler D. The epidemiology of diabetic neuropathy. *Diabetes Reviews* 1999; **7**(4): 245-252. doi: 10.1016/S1262-3636(07)70157-X
3. Boulton A J, Malik R A, Arezzo J C, Sosenko J M. Diabetic somatic neuropathies. *Diabetes care* 2004; **27**(6): 1458-1486. doi: 10.2337/diacare.27.6.1458
4. Yang X. Physical activity, physical fitness and metabolic syndrome. *An international perspective on topics in sports medicine and sports injury: InTech* 2012. doi: 10.5772/25527
5. Khanbabazade M, Ebrahimi Atri A. Comprision of the effect of aerobic and weight resistance training protocols on balance and neuron growth factor (NGF) on the Neuropathy-Diabetic Men. *SSU_Journals* 2015; **23**(2): 1866-1877.
6. Boucek P. Advanced diabetic neuropathy: a point of no return? *The Review of Diabetic Studies* 2006; **3**(3): 143. doi: 10.1900/RDS.2006.3.143
7. Aloe L, Rocco M L, Bianchi P, Manni L. Nerve growth factor: from the early discoveries to the potential clinical use. *Journal of translational medicine* 2012; **10**(1): 239. doi: 10.1186/1479-5876-10-239
8. Levy J, Atkinson A, Bell P, McCance D, Hadden D. Beta-cell deterioration determines the onset and rate of progression of secondary dietary failure in type 2 diabetes mellitus: the 10-year follow-up of the Belfast Diet Study. *Diabetic Medicine* 1998; **15**(4): 290-296. doi: 10.1002/(SICI)1096-9136
9. Leininger G M, Vincent A M, Feldman E L. The role of growth factors in diabetic peripheral neuropathy. *Journal of the Peripheral Nervous System* 2004; **9**(1): 26-53. doi: 10.1111/j.1085-9489.2004.09105.x
10. Yoo J-S, Lee S-J, Lee H-C, Kim M-J. The effect of a comprehensive lifestyle modification program on glycemic control and body composition in patients with type 2 diabetes. *Asian Nursing Research* 2007; **1**(2): 106-115. doi: 10.1016/S1976-1317(08)60013-4
11. Balducci S, Iacobellis G, Parisi L, Di Biase N, Calandriello E, Leonetti F, et al. Exercise training can modify the natural history of diabetic peripheral neuropathy. *Journal of diabetes and its complications* 2006; **20**(4): 216-223. doi: 10.1016/j.jdiacomp.2005.07.005
12. Yavari A, Najafipoor F, Aliasgarzadeh A, Niafar M, Mobasseri M. Effect of aerobic exercise, resistance training or combined training on glycaemic control and cardiovascular risk factors in patients with type 2 diabetes. *Biology of Sport* 2012; **29**(2): 135. doi: 10.5604/20831862.990466
13. Boule N G, Haddad E, Kenny G P, Wells G A, Sigal R J. Effects of exercise on glycemic control and body mass in type 2 diabetes mellitus: a meta-analysis of controlled clinical trials. *Jama* 2001; **286**(10): 1218-1227. doi: 10.1001/jama.286.10.1218
14. Sigal R J, Kenny G P, Wasserman D H, Castaneda-Sceppa C, White R D. Physical activity/exercise and type 2 diabetes. *Diabetes care* 2006; **29**(6): 1433-1438 doi: 10.2337/dc06-9910.

15. Sparks L M, Johannsen N M, Church T S, Earnest C P, Moonen-Kornips E, Moro C, et al. Nine months of combined training improves ex vivo skeletal muscle metabolism in individuals with type 2 diabetes. *The Journal of Clinical Endocrinology & Metabolism* 2013; **98**(4): 1694-1702. doi: 10.1210/jc.2012-3874
16. Kluding P M, Pasnoor M, Singh R, Jernigan S, Farmer K, Rucker J, et al. The effect of exercise on neuropathic symptoms, nerve function, and cutaneous innervation in people with diabetic peripheral neuropathy. *Journal of Diabetes and its Complications* 2012; **26**(5): 424-429. doi: 10.1016/j.jdiacomp.2012.05.007
17. Dixit S, Alahmari F A. Pharmacological and Nonpharmacological therapies in the Management of Diabetic Peripheral Neuropathy in Type 2 Diabetes: A Comprehensive Review. *Journal of Cardiovascular Disease Research* 2014; **5**(4): 37. doi: 10.5530/jcdr.2014.4.7
18. Nojima H, Watanabe H, Yamane K, Kitahara Y, Sekikawa K, Yamamoto H, et al. Effect of aerobic exercise training on oxidative stress in patients with type 2 diabetes mellitus. *Metabolism* 2008; **57**(2): 170-176. doi: 10.1016/j.metabol.2007.08.021.
19. Church T S, Blair S N, Cocreham S, Johannsen N, Johnson W, Kramer K, et al. Effects of aerobic and resistance training on hemoglobin A1c levels in patients with type 2 diabetes: a randomized controlled trial. *Jama* 2010; **304**(20): 2253-2262. doi: 10.1001/jama.2010.1710
20. Colberg S R, Albright A L, Blissmer B J, Braun B, Chasan-Taber L, Fernhall B, et al. Exercise and type 2 diabetes: American College of Sports Medicine and the American Diabetes Association: joint position statement. Exercise and type 2 diabetes. *Medicine and science in sports and exercise* 2010; **42**(12): 2282-2303. doi: 10.2337/dc10-1548.
21. Arora E, Shenoy S, Sandhu J. *Effects of resistance training on metabolic profile of adults with type 2 diabetes*. 2009.
22. Vanhanen M, Koivisto K, Moilanen L, Helkala E, Hänninen T, Soininen H, et al. Association of metabolic syndrome with Alzheimer disease A population-based study. *Neurology* 2006; **67**(5): 843-847. doi: 10.1212/01.wnl.0000234037.91185.99
23. Farjah GH, Ahi M, Atlasi M, Naeimi M. *An ultra structure study on the effects of nerve growth factor and insulin-like growth factor on rat peripheral nerve regeneration*. 2007.
24. Dakhili A, Gharakhanlou R, Movaheddin M, Khazani A, Keshavarz M. The effect of 6 weeks endurance training on gene expression of nerve growth factor in sensory spinal cord of rats with diabetic neuropathy. *Iranian Journal of Diabetes and Metabolism* 2014; **13**(3): 263-271.
25. Chae C-H, Lee H-C, Jung S-L, Kim T-W, Kim J-H, Kim N-J, et al. RETRACTED: Swimming exercise increases the level of nerve growth factor and stimulates neurogenesis in adult rat hippocampus. *Neuroscience* 2012; **212**: 30-37. doi: 10.1016/j.neuroscience.2012.12.009
26. Bansi J, Bloch W, Gamper U, Kesselring J. Training in MS: influence of two different endurance training protocols (aquatic versus overland) on cytokine and neurotrophin concentrations during three week randomized controlled trial. *Multiple Sclerosis Journal* 2013; **19**(5): 613-621. doi: 10.1177/1352458512458605
27. Gold S M, Schulz K-H, Hartmann S, Mladek M, Lang U E, Hellweg R, et al. Basal serum levels and reactivity of nerve growth factor and brain-derived neurotrophic factor to standardized acute exercise in multiple sclerosis and controls. *Journal of neuroimmunology* 2003; **138**(1): 99-105. doi: 10.1016/S01655728(03)00121-8
28. Patel D I, White L J. Effect of 10-day forced treadmill training on neurotrophic factors in experimental autoimmune encephalomyelitis. *Applied Physiology, Nutrition, and Metabolism* 2013; **38**(2): 194-199. doi: 10.1139/apnm-2012-0303.
29. Chae C, Jung S, An S, Park B, Wang S, Cho I, et al. RETRACTED: *Treadmill exercise improves cognitive function and facilitates nerve growth factor signaling by activating mitogen-activated protein kinase/extracellular signal-regulated kinase1/2 in the streptozotocin-induced diabetic rat hippocampus*. Elsevier 2009. doi: 10.1016/j.neuroscience.2009.09.075
30. Moghadasi M, Edalatmanesh M, Moeini A, Arvin H. Effect of 8 weeks resistance training on plasma levels of nerve growth factor and interlukin-6 in female patients with multiple sclerosis. *ISMJ* 2015; **18**(3): 527-537.

Original Article

Investigation of CTLA-4 +49 A/G gene polymorphism in the Leprosy patients and their effects on type and severity of disease

Khalil Yeghaneh^{1*} , Behrooz Naghili², Zohreh Babalou³, mohamade Raza Ail Paristy³

¹Department of Infectious Diseases, Faculty of Medicine, Tabriz University of Medical Sciences, Tabriz, Iran

²Center of Infectious Disease Research, Faculty of Medicine, Tabriz University of Medical Sciences, Tabriz, Iran

³Department of Immunology, Faculty of Medicine, Tabriz University of Medical Sciences, Tabriz, Iran

*Corresponding author; E-mail: khalilyeghaneh@gmail.com

Received: 24 August 2017 Accepted: 21 September 2017 First Published online: 7 September 2019

Med J Tabriz Uni Med Sciences Health Services. 2019 October- November; 41(4):101-109

Abstract

Background: Leprosy is still a global health problem, especially in developing countries are important, and Iran is an endemic area for leprosy in the Middle East. Leprosy is a disease caused by the intracellular bacterium *Mycobacterium leprae*, is a chronic infectious disease of humans that causes inflammatory lesions in the skin and peripheral nerves with the granuloma. Numerous studies, the important role of host genetics in susceptibility to leprosy are confirmed. CTLA4 gene is one of the four exons. Polymorphisms have been identified in the CTLA4 gene with susceptibility to a wide range of autoimmune and infectious diseases dependent on T cells are connected. The aim of this study was to investigate the relationship between polymorphisms of CTLA-4 +49 A / G and susceptibility to leprosy and its impact on the type and severity of disease.

Methods: In this study, 157 treated leprosy patients living in nursing homes in Tabriz Baba Baghi and 185 healthy human subjects were enrolled as controls. First blood samples (8-10 ml) of patients Gene polymorphism CTLA-4 +49 A / G were determined, and then the genotype frequencies in two groups were compared. In addition, for each patient clinical forms of the disease, the performance, age at onset, duration of illness, symptoms, age, sex and relationship between genotypes and allele polymorphism review was studied.

Results: The average age was 11.90 ± 65.87 years and the highest prevalence of leprosy at the age of 16 to 30 years old. The most common side effects of organ failure, neurological diseases, leprosy protests eye and ear, nose and throat incidence was 33%.

Conclusion: Gene CTLA-4 (+49 A / G) showed that the frequency of AA greater was than the other two types.

Keyword: Leprosy, CTLA-4, Gene polymorphism

How to cite this article: Yeghaneh Kh, Naghili B, Babalou Z, Ail Paristy M R. [Investigation of CTLA-4 +49 A/G gene polymorphism in the Leprosy patients and their effects on type and severity of disease]. Med J Tabriz Uni Med Sciences Health Services. 2019 October- November; 41(4):101-109. Persian.

مقاله پژوهشی

ارتباط پلیمورفیسم ژنی (CTLA-4 +49 A/G) با بیماری جذام (leprosy) و تاثیرات آن بر نوع و شدت بیماری

خلیل یگانه^{*} , بهروز نقیلی^۱, زهره بابالو^۲, محمدرضا علیپرستی^۳

^۱ گروه بیماریهای عفونی، دانشگاه علوم پزشکی تبریز، تبریز، ایران
^۲ مرکز تحقیقات بیماری‌های عفونی و گرم‌سیری، دانشگاه علوم پزشکی تبریز، تبریز، ایران
^۳ گروه اینفلوژی دانشگاه علوم پزشکی تبریز، تبریز، ایران
نویسنده مسؤول؛ ایمیل: khalilayeghaneh@gmail.com

دریافت: ۱۳۹۶/۶/۲ پذیرش: ۱۳۹۶/۶/۲۰ انتشار پرخط: ۱۳۹۸/۶/۱۶
مجله پزشکی دانشگاه علوم پزشکی و خدمات بهداشتی-درمانی تبریز. مهر و آبان ۱۳۹۸؛ ۴۱(۴):۱۰۹-۱۱۰

چکیده

زمینه: جذام هنوز یک مشکل مهم سلامت جهانی مخصوصا در کشورهای در حال توسعه می‌باشد، و ایران یکی از مناطق اندemic برای جذام در خاورمیانه محسوب می‌شود. بیماری جذام که توسط باکتری داخل سلولی مایکوباتریوم لپره ایجاد می‌شود، یک بیماری عفونی مزمن انسان می‌باشد که موجب ایجاد ضایعات التهابی در پوست و اعصاب محیطی همراه با گرانولوم می‌گردد. مطالعات متعدد، نقش مهم رتیک میزان در استعداد ابتلا به بیماری جذام را تایید می‌نمایند. ژن کد کننده CTLA4 انسان از چهار اگزون تشکیل شده است. پلیمورفیسم هایی در ژن CTLA4 شناسایی شده‌اند که با استعداد ابتلا به طیف گسترده‌ای از بیماری‌های مختلف خودایمنی و عفونی وابسته به سلول T در ارتباط می‌باشند.

هدف از این مطالعه بررسی ارتباط پلیمورفیسم CTLA-4 +49 A/G و استعداد ابتلا به بیماری جذام و تاثیرات آن بر نوع و شدت بیماری می‌باشد. روشن کار: در این تحقیق تعداد ۱۵۷ نفر از بیماران جذامی درمان شده ساکن آسایشگاه بابا باغی تبریز و تعداد ۱۸۵ نفر به عنوان گروه کنترل وارد مطالعه شدند. ابتدا با نمونه گیری خون (ml^{۱۰-۸}) از بیماران DNA ژنومی استخراج و سپس پلیمورفیسم ژنی CTLA-4 در ناحیه +49 A/G در آنها تعیین شد، سپس فراوانی ژنوتیپ‌ها در دو گروه با هم مقایسه شدند. همچنین برای هر یک از بیماران اشکال بالینی بیماری، وضعیت کارآیی، سن شروع بیماری، طول مدت بیماری، نشانه‌های بالینی بیماری، سن و جنس بررسی و ارتباط بین ژنوتیپ و الی پلیمورفیسم مورد مطالعه قرار گرفت.

یافته‌ها: میانگین سنی نمونه‌ی مورد مطالعه ۶۵۸۷ سال با تحراف معیار ±۱۱.۹۰ به دست آمد و بیشترین میزان شیوع جذام در سنین ۱۶ تا ۳۰ سالگی مشاهده شد. ترکیب جنسیتی شامل ۹۴ نفر مرد و ۶۳ نفر زن بود. جذام پرموتاور با درصد فراوانی ۵۷.۵٪ بیشترین فراوانی و جذام نوع BT با درصد فراوانی ۱۹٪ کمترین فراوانی را داشت. شایع ترین عوارض ناتوانی اعضاء، علایم عصبی، تظاهرات چشمی و جذام گوش، حلق و بینی با ۳۳ درصد شیوع به دست آمد.

نتیجه‌گیری: بررسی ژنوتایپی حاصل از پلیمورفیسم (CTLA-4 +49 A/G) تفاوت معنی‌داری را بین گروه بیماران و گروه شاهد نشان نداد.

کلید واژه‌ها: جذام، CTLA-4، پلیمورفیسم ژنی

نحوه استناد به این مقاله: یگانه خ، نقیلی ب، بابالو ز، علیپرستی م. ر. ارتباط پلیمورفیسم ژنی (CTLA-4 +49 A/G) با بیماری جذام (leprosy) و تاثیرات آن بر نوع و شدت بیماری. مجله پزشکی دانشگاه علوم پزشکی و خدمات بهداشتی-درمانی تبریز. ۱۳۹۸؛ ۴۱(۴):۱۰۹-۱۱۰.

حق تأثیف برای مؤلفان محفوظ است.

این مقاله با دسترسی آزاد توسط دانشگاه علوم پزشکی و خدمات بهداشتی-درمانی تبریز تحت مجوز کریپتو کامنز (Creative Commons BY 4.0) منتشر شده است. محتوا ممکن است در صورتی مجاز است که به اثر اصلی به نحو مقتضی استناد و ارجاع داده شده باشد.

مقدمه

جایگزینی A به G در ناحیه ترجمه نشونده از اگزون شماره ۱ در جایگاه ۴۹ می‌باشد (۲۶).

پلیمورفیسم CTLA-4 (+49 A/G) منجر به جایگزینی اسید آمینه آلانین به ترئوین کلون ۱۷ از پپتید رهمنا (A17T) (A17T) می‌شود (۲۷). مطالعات اخیر نشان می‌دهند که پلیمورفیسم CTLA-4 در ناحیه A/G +49 توزیع درون سلولی IL-2 و تولید IL-2 را تغییر داده و در نتیجه تکثیر سلول T تغییر می‌دهد (۲۸-۲۹). مطالعات متعددی نقش قوی A/G +49 CTLA-4 را در بیماری‌های مختلف عفونی بواسطه سلول T، مانند عفونت با هپاتیت B، هپاتیت C و مایکوبکتریم توبرکلوزیس نشان می‌دهند (۳۰).

با این حال، تاکنون هیچ مطالعه‌ای مبنی بر ارتباط CTLA-4 A/G +49 و بیماری جذام انجام نگرفته است. بنابراین، هدف از این مطالعه بررسی ارتباط پلیمورفیسم CTLA-4 +49 A/G و استعداد ابتلا به بیماری جذام و تاثیرات آن بر نوع و شدت بیماری در جمعیت خالص آذری در شمال غرب ایران است.

روش کار

این مطالعه از نوع مورد-شاهدی (case-control) می‌باشد که فراوانی پلیمورفیسم‌های ژنی CTLA-4 (+49A/G) با هم مقایسه می‌شوند. این مطالعه از تاریخ اول مهر ماه ۱۳۹۳ تا آخر شهریور ۱۳۹۴ در مرکز بابا باغی شهر تبریز انجام پذیرفت.

با همکاری آسیشگاه بابا باغی تبریز و با نظرارت پزشکان متخصص عفونی، تعداد کل بیماران مستقر در مرکز بابا باغی تبریز که شامل ۱۷۸ نفر از بیماران جذامی درمان شده می‌باشد نمونه گیری شد که با توجه به معیارهای ورود و خروج ۱۵۷ نفر از بیماران وارد مطالعه شدند و ۲۱ بیمار به دلیل داشتن بیماری‌های زمینه‌ای دیگر از مطالعه کنار گذاشته شدند. ۱۸۵ نفر از افراد عادی جامعه بدون سابقه‌ی بیماری نیز به عنوان گروه کنترل مورد مطالعه قرار گرفتند.

۱-۸ خون وریدی نمونه‌گیری شده و در ظروف حاوی ضد انعقاد مناسب مثل EDTA جمع‌آوری شد و در فریزر استفاده از روش Protein kinas k استخراج شد و در فریزر -۸۰°C نگهداری شدند و پلیمورفیسم ژنی A/G +49 در آنها به روش T-ARMS-PCR، تعیین گردید. سپس فراوانی الها و ژنتوتیپ‌ها در بیماران مورد مطالعه و گروه کنترل بررسی شدند. بطور خلاصه $2\mu\text{g}$ DNA با پرایمرهای اختصاصی هر لوکوس و PCR master mix حاوی Taq DNA polymerase مخلوط شد و اجازه داده شد تا واکنش PCR تحت annealing temperature خاص که 56°C می‌باشد، انجام پذیرد.

بیماری جذام (leprosy)، که توسط باکتری داخل سلولی مایکوبکتریوم لپره (M. leprae) ایجاد می‌شود، یک بیماری عفونی مزمون انسان می‌باشد که سیر پیشرفت آهسته‌ای دارد و همچنین موجب ایجاد ضایعات التهابی در پوست و اعصاب محیطی همراه با گرانولوم می‌گردد، این باسیل داخل سیتوپلاسم ماکروفاژها و سلول‌های شوان رشد می‌کند (۱).

جدام هنوز یک مشکل مهم سلامت جهانی مخصوصاً در کشورهای در حال توسعه می‌باشد، به طوری که سالانه بیش از ۲۰۰۰۰۰ مورد بیمار جذامی جدید ثبت می‌شود (۲-۳). ایران یکی از مناطق اندامیک برای جذام در خاورمیانه محسوب می‌شود (۴). مطالعات متعدد، نقش مهم ژنتیک میزان در استعداد ابتلا به بیماری جذام را تایید می‌کند (۵-۶).

جدام یک بیماری طیفی است که تظاهرات آن نسبت به وضعیت سیستم ایمنی فرد مبتلا متغیر است (۷-۸). در جذام توبرکلولیتی (TT)، بیمار یک پاسخ ایمنی سلولی قوی را در پوست و اعصاب محیطی ارتقا می‌دهد، تکوین و فراخوانی لنفوцит‌های T (عدهتا Th1) منجر به واکنش‌های ازدیاد حساسیت تاخیری (DTH) و تشکیل گرانولوما می‌شود (۹-۱۱).

کنش متقابل گیرندهای کمک محرک (co-stimulatory) و کمک مهاری (co-inhibitory) (به عنوان مثال، CD28 و CTLA-4) با لیگاند‌های آن‌ها (به عنوان مثال، CD80 و CD86) که در سطح سلول‌های عرضه کننده آنتی‌ژن بیان می‌شوند، شدت و مدت پاسخ‌های سلول T اختصاصی آنتی‌ژن را تحت تاثیر قرار می‌دهند (۱۲-۱۳). سلول‌های T فعال شده-4 CTLA-4 را (که گیرنده برای CD86 است) بیان می‌کنند که هر دو همولوگ CD28 بوده و عضوی از خانواده بزرگ ایمونوگلوبین محسوب می‌شوند. CTLA-4 با افینیتی ۲۰-۱۰۰ مرتبه بیشتر از CD28 به هر دو مولکول CD80 و CD86 متصل شده و یک سیگنال مهاری را انتقال می‌دهد که با عملکرد CD28 در سطح لنفوцит T مخالفت می‌کند. CD28 و CTLA-4 به لیگاند‌های مشابه CD80 و CD86 متصل می‌شوند ولی سیگنال کمک مهاری و CD28 سیگنال کمک محرک را مهیا می‌نماید (۱۴-۱۵).

ژن کد کننده CTLA4 انسان در بازوی بلند کروموزوم شماره ۲ در جایگاه q332 واقع شده و از چهار اگزون تشکیل شده است (۲۱). پلیمورفیسم‌هایی در ژن CTLA4 شناسایی شده‌اند که با استعداد ابتلاء به طیف گسترده‌ای از بیماری‌های مختلف خودایمنی می‌باشند. چندین پلیمورفیسم تک نوکلوتیدی (SNP) در ناحیه ۲۲۳-۲۴۴ و عفونی (۲۵-۲۶) وابسته به سلول T در ارتباط می‌باشند. چندین پلیمورفیسم تک نوکلوتیدی (SNP) در ناحیه ۱-۳۱۸ C/T، -1661A/G و ۱۷۲۲C/T در ناحیه پرموتور و

استفاده بعمل آمد. کلیه آزمون‌ها دوطرفه و حد معنی داده‌های آماری 0.05% برای آزمون‌ها مدنظر قرار گرفت. تعداد بیماران شرکت کننده در این مطالعه 342 نفر بود. 157 نفر از بیماران مبتلا به جذام به عنوان گروه مطالعه و 185 نفر از افراد عادی جامعه در گروه شاهد وارد شدند. میانگین سنی گروه مطالعه 65.87 سال با انحراف معیار ± 11.90 به دست آمد. جوانترین شرکت کننده در مطالعه‌ی ما 28 ساله و مسن‌ترین شرکت کننده 118 ساله بود. شرکت کنندگان شامل 94 نفر مرد و 63 نفر زن بودند. همچنین در گروه شاهد میانگین سنی شرکت کنندگان 31.3 سال با انحراف از معیار 8.49 سال به دست آمد. از 157 نفر مورد مطالعه، اطلاعات مربوط به اشکال بالینی جذام برای 152 بیمار در دسترس بود که بر اساس طیف ایمونوپاتولوژی در 5 گروه بالینی طبقه‌بندی شدند که این 5 گروه عبارت‌از:

Lepromatous (LL)	-1
Tuberculoid (TT)	-2
Borderline Lepromatous (BL)	-3
Borderline Tuberculoid (BT)	-4
Borderline borderline (BB)	-5

فراوانی بیماری جذام با تفکیک جنسیت بیماران در این تحقیق در نمودار زیر آمده است (نمودار ۱).

برای بیان درصد فراوانی انواع بیماری جذام ارائه شده است؛ که جذام لپروماتوز با درصد فراوانی 67.5% بیشترین فراوانی را دارد، همچنین جذام توبرکلوئیدی با درصد فراوانی 24.2% در جایگاه دوم قرار دارد و همچنین جذام نوع BT با درصد فراوانی 1.9% کم‌ترین فراوانی را دارد. عوارض مختلف بیماری جذام در جدول ۱ آورده شده است.

در این جدول 6 نفر از بیماران در بررسی عوارض بیماری فاقد اطلاعات بالینی بوده‌اند. و درصد موثر فراوانی درصدی است که با در نظر گرفتن 6 نفر حذف شده و با مجموع 151 بیمار محاسبه شده است. در این تحقیق میزان از کارافتادگی بیماران توسط معیار کارنوفسکی که بیانی از سطح کیفیت زندگی روزانه بیماران را ارائه می‌دهد مورد بررسی قرار گرفته‌اند. در این مطالعه از میان 157 بیمار 29 نفر فاقد اطلاعات مربوط به ازکار افتادگی بودند.

همچنین در نمودار زیر دسته‌بندی میزان از کارافتادگی بیماران توسط معیار KPS ارائه شده است: میزان از کارافتادگی در سه حالت ملايم (KPS $100-80$)، متوسط ($KPS 50-70$) و شدید (KPS $40-50$) طبقه‌بندی شدند که این نیز معیاری از کیفیت زندگی بیماران را نشان می‌دهد که طبق این معیار 18.5% از بیماران دارای کیفیت مناسبی از زندگی هستند ولی در مقابل 38.9% بیماران شرایط مطلوب زندگی را ندارند. شیوع بیماری اکثرا در بازه‌ی سنی 16 تا 30 سالگی اتفاق می‌افتد، و شیوع در سن 16 سال به پایین بسیار کم است. اطلاعات مربوط به فراوانی ژنتیک‌های خاص از پلی‌مورفیسم CTLA-4 (+49 A/G) در بیماران و ارتباط آن با خصوصیات بالینی بیماری: در مقایسه فراوانی ژنتیک‌های حاصل

سپس محصول PCR در ژل آگاروز 3% الکتروفورز شد، وجود باندهای اختصاصی ژنتیک‌های AA,AG,GG در دستگاه Gel document (Zier Nour UV مشخص گردید).

همچنین قبل از نمونه گیری از بیماران جذامی، برای هر یک از بیماران اشکال بالینی بیماری

Lepromatous (LL), Tuberculoid (TT), Borderline Lepromatous (BL), Borderline Tuberculoid (BT), Borderline borderline (BB)، وضعیت کارآیی (performance status)، سن شروع بیماری (Onset age of the disease)، طول مدت بیماری، نشانه‌های بالینی (clinical manifestation of disease)، سن و جنس توسط همکاران بالینی طرح مشخص گردید و ارتباط بین ژنتیک و الی پلی‌مورفیسم مورد مطالعه با یافته‌های بالینی فوق با تست آماری Kruskal- One way anova یا Chi square یا Fisher's exact test Wallis test هر کدام که مناسب بودند انجام پذیرفت.

در خصوص معیارهای ورود به مطالعه تمام افراد جمعیت هدف و گروه کنترل پرسشنامه پیوستی را پر نمودند و نیز فرم رضایت‌نامه کتبی را در موقع خون‌گیری امضا کردند. از افراد جمعیت هدف و نیز گروه کنترل $10-8$ خون وریدی نمونه‌گیری شد و در ظروف حاوی ضد انعقاد مناسب مثل EDTA جمع آوری گردید. افراد متخمی که با رضایت شخصی توافق حضور در مطالعه را داشتند وارد مطالعه شدند. برای گروه کنترل شرط نداشتن هیچ گونه ارتباط فامیلی با گروه شاهد مدنظر قرار گرفته است.

همچنین معیارهای خروج بیماران از مطالعه عبارت بودند از بیمارانی که مبتلا به بیماری‌های مزمن، آلرژی، بیماری کلیوی end-stage، بیماری‌های سرکوبگر سیستم ایمنی یا تحت درمان با داروهای سرکوبگر ایمنی بودند از مطالعه حذف شدند.

با توجه به منابع موجود، متغیرهای مخلوش کننده شناسائی نشده‌اند ولی در مطالعات ژنتیکی، متغیر مخلوش کننده مهم هتروژنیته ژنتیکی در جمعیت مورد مطالعه می‌باشد که بویژه در کشورهای مهاجر پذیر از اهمیت خاصی برخوردار است و به نظر می‌رسد در مطالعه فعلی در منطقه این متغیر تاثیر مخلوش کننده گذشتگی قابل بحثی در نتیجه گیری نداشته باشد با این وصف، در مرحله نمونه‌گیری این نکته مد نظر قرار گرفت تا در صورت لزوم تدایر مربوطه اتخاذ گردد.

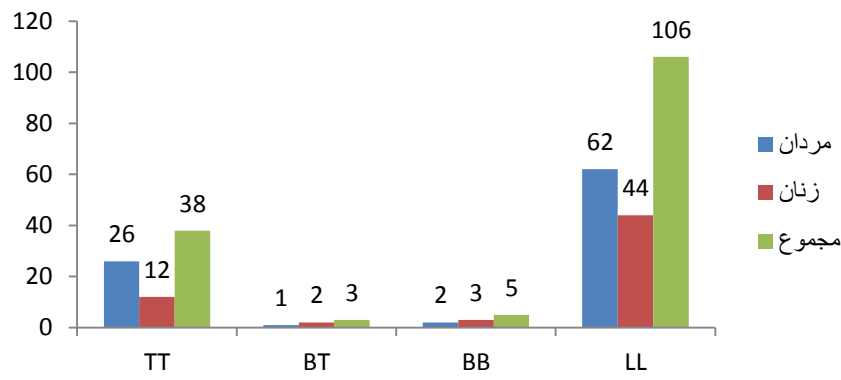
در ابتدا از بیماران مورد مطالعه در این پژوهش توسط شخص آموختش دیده، شرح حال پزشکی و اطلاعات بیماری کسب شد. سپس با استفاده از روش خون‌گیری وریدی، $10-8$ میلی‌لیتر خون از هر بیمار گرفته شد و در ظرف مخصوصی به آزمایشگاه ارسال گردید تا از نظر پایی مورفیسم ژنی مورد بررسی قرار گیرند.

اطلاعات جمع آوری شده، وارد کامپیوترا گردید و با استفاده از نرم‌افزار آماری SPSS 16 تجزیه و تحلیل شد. در تجزیه و تحلیل اطلاعات از گزارش آمارهای توصیفی، میانگین و فراوانی نسبی

همانطور که مشاهده می‌شود بیشترین میزان شروع جذام در سنین ۱۶ تا ۳۰ سالگی است، در مقایسه ژنتیپ‌های حاصل از SNP مذکور در خصوص سن شروع بیماری با اختلاف معنی‌داری مشاهده نشد. ($p=0.32$).

بررسی ارتباط فراوانی ژنتیکی پلیمورفیسم (CTLA-4 (+49 A/G) با اشکال بالینی بیماری جذام در نمودار ۲ ارائه شده است. فراوانی پلیمورفیسم‌های ژن CTLA-4 (+49 A/G) و ارتباط آنها با سابقه بیماری جذام در فamilی خواهیم پرداخت که در جدول ۳ ارائه شده‌اند.

از پلیمورفیسم CTLA-4 (+49 A/G) در بیماران مذکور و موئت اختلاف معنی‌داری دیده شد ($P\text{-VALUE}=0.011$). این اختلاف به علت افزایش فراوانی ژنتیپ GG در بیماران مذکور (۱۳.۹٪) نسبت به بیماران موئت (۰.۳۰٪) و افزایش ژنتیپ AG در بیماران موئت (۰.۴۲۶٪) نسبت به بیماران مذکور (۲۳.۶٪) می‌باشد (جدول ۲). در مقایسه ژنتیپ‌های حاصل از SNP مذکور و وجود سابقه بیماری در فamilی، اختلاف معنی‌داری مشاهده نشد ($p=0.7$). در نمودار زیر بررسی سن شروع بیماری به تفکیک ژنتیپ‌های حاصل از پلیمورفیسم (CTLA-4 (+49 A/G) آورده شده است:



نمودار ۱: بررسی فراوانی انواع بیماری جذام در بیماران با تفکیک جنسیت

جدول ۱: عوارض بیماری جذام در بیماران مورد مطالعه

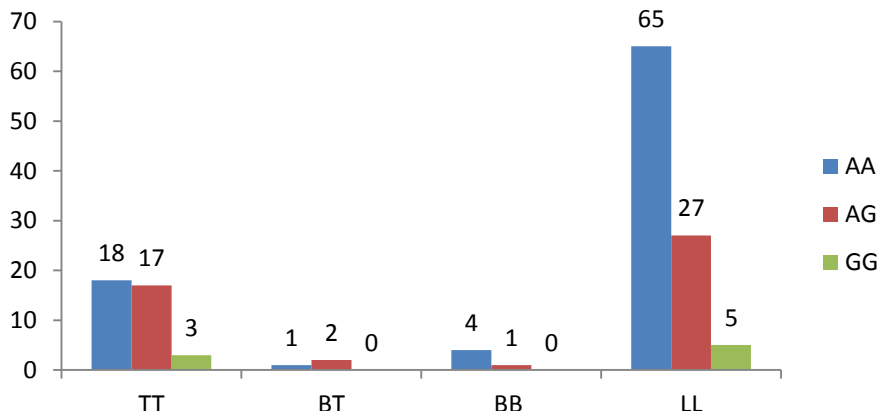
ناتوانی اعضا (دست و پا)	ناتوانی اعضا و علایم عصبی	ناتوانی اعضا و تظاهرات چشمی	ناتوانی اعضا و علایم عصبی	ناتوانی اعضا و تظاهرات چشمی	ناتوانی اعضا و جذام گوش حلق و بینی	ناتوانی اعضا و تظاهرات چشمی	ناتوانی اعضا و جذام گوش حلق و بینی	ناتوانی اعضا، علایم عصبی و تظاهرات چشمی	ناتوانی اعضا، تظاهرات چشمی و جذام گوش حلق و بینی	ناتوانی اعضا، علایم عصبی و جذام گوش حلق و بینی	ناتوانی اعضا، علایم عصبی، تظاهرات چشمی و جذام گوش، حلق و بینی
۷/۳	۷/۳	۷	۱۱								
۱۳/۹	۶/۶	۶/۴	۱۰								
۱۵/۹	۲	۱/۹	۳								
۲۱/۲	۵/۳	۵/۱	۸								
۳۰/۵	۹/۳	۸/۹	۱۴								
۳۹/۸	۹/۳	۸/۹	۱۴								
۴۴/۴	۴/۶	۴/۵	۷								
۴۵/۷	۱/۳	۱/۳	۲								
۵۳	۷/۳	۷	۱۱								
۶۴/۹	۱۱/۹	۱۱/۵	۱۸								
۷۱/۵	۶/۶	۶/۴	۱۰								
۷۸/۱	۶/۶	۶/۴	۱۰								
۱۰۰	۲۱/۹	۲۱	۳۳								
	۱۰۰	۹۶/۲	۱۵۱								
		۳/۸	۶								
		۱۰۰	۱۵۷								
				کل							
					بدون اطلاعات بالینی						
						کل					

جدول ۲: تغییرات CTLA-4 (+49 A/G)

GG	AG	AA	جنس
(٪/۱۳/۹) ۱۳	(٪/۲۳/۶) ۲۲	(٪/۶۲/۳) ۵۸	ذکر
(٪/۳/۳) ۲	(٪/۴۲/۶) ۲۶	(٪/۵۴) ۳۳	مونث
۱۵	۴۸	۹۱	جمع

جدول ۳: بررسی انواع زن (A/G) (+49 A/G) و ارتباطشان با سابقه بیماری در فامیل

انواع زن	دارای زمینه بیماری خانوادگی	عدم زمینه بیماری خانوادگی	کل
AA	۲۹	۵۷	۸۶
AG	۱۵	۳۱	۴۶
GG	۶	۸	۱۴
کل	۵۰	۹۶	۱۴۶



نمودار ۲: دسته بندی انواع بیماری جذام بر اساس ژن های مختلف

زن بودند. در مطالعه‌ی گلفروشان نیز تعداد بیماران مرد با ۶۷٪ نسبت بیشتری را نسبت به زنان با ۳۳٪ به خود اختصاص دادند(۴). جذام لپروماتوز (LL) با درصد فراوانی ۶۷.۵٪ بیشترین فراوانی را دارد، همچنین جذام توبرکلوئیدی (TT) با درصد فراوانی ۲۴.۲٪ در جایگاه دوم قرار دارد. بعد از آن نیز جذام از نوع ۲۴٪ در جایگاه سوم قرار دارد. بعد از آن نیز جذام از نوع borderline (BB) با فراوانی ۳٪ درصد قرار داشت و همچنین جذام نوع borderline tubercloid(BT) با درصد فراوانی ۱.۹٪ کمترین فراوانی را دارد. به طور کلی با اختلاف بسیار زیادی شایع‌ترین نوع جذام در بیماران مورد مطالعه در مطالعه‌ی ما جذام از نوع لپروماتوز بود. در مطالعه‌ای که توسط خان و همکاران (۲۰۰۱) صورت گرفت نشان داد که شایع‌ترین ساب تایپ بیماری جذام لپروماتوس لپروسی بود که با نتایج مطالعه تطابق دارد. همچنین در این مطالعه نیز نسبت مردان به زنان ۴ به ۱ گزارش شد. (۱۳).

در طی بررسی‌ها مشخص شد که بیماران مبتلا به جذام معمولاً ترکیبی از چندین عارضه‌ی مختلف را با خود دارند به

در مقایسه فراوانی ژنتیپ‌های حاصل از SNP مذکور و اشکال بالینی بیماری جذام اختلاف معنی‌داری مشاهده نشد (p=۰/۲۹). مقایسه‌ی ژنتیپ‌های حاصل از پلی‌مورفیسم CTLA- (+49 A/G) ۴ و شدت از کار افتادگی بر حسب KPS : در مقایسه‌ی ژنتیپ‌های حاصل از SNP مذکور و شدت از کار افتادگی اختلاف معنی‌داری مشاهده نشد (p=۰/۵۵).

بحث

تعداد بیماران شرکت کننده در این مطالعه ۱۵۷ نفر بیمار مبتلا به جذام در گروه مطالعه با میانگین سنی ۶۵.۸۷ سال با انحراف معیار ± 11.90 و ۱۸۵ فرد سالم با میانگین سنی ۳۰ سال با انحراف معیار ± 8.49 سال به دست آمد. بیشترین سن شیوع بیماری ۳۰-۱۶ سال بود در حالی که نتایج مطالعه‌ی گلفروشان (۲۰۱۱) حاکی از این امر است که سن اوج بیماری در مطالعه‌ی مذکور مربوط به دهه‌ی چهارم زندگی می‌شد. همچنین ترکیب جنسیتی نمونه‌ی مورد مطالعه‌ی ما نشان داد که بیماران شامل ۹۴ نفر مرد و ۶۳ نفر

فوق الذکر در مبتلایان به جذام پرداختیم و فراوانی ژنوم فوق را در بیماران مبتلا به جذام و انواع زیرگروههای این بیماری مورد بررسی قرار دادیم. بهوضوح فراوانی ژن نوع AA در مبتلایان به جذام بیشتر از دو نوع دیگر است و بعد از آن نیز ژن AG در رتبه دوم قرار دارد و ژن نوع GG با کمترین فراوانی در جایگاه آخر قرار داشت. البته نتایج گروه شاهد نیز مشابه، و تفاوت معنی داری را نشان نداد. نتایج مطالعه‌ی کیس و کانسوا (۲۰۰۵) که به بررسی ژنتیکی جذام پرداختند نیز نشان داد که بیشترین ژن موجود در مبتلایان به جذام ژن AA با ۴۸ درصد شیوع بود. بررسی زمینه‌ی خانوادگی بیماران مبتلا به جذام نشان داد که در مورد تمام ژن‌های فوق‌الذکر تعداد بیماران عدم زمینه‌ی خانوادگی بیش از تعداد بیماران دارای زمینه‌ی خانوادگی است. با این حال مطالعه‌ی آلت و همکاران (۲۰۱۱) اهمیت ژنوم میزان در ابتلا به جذام را مطرح نموده و در نتایج پژوهش خود به تشابه زمینه‌ی ژنتیکی در ابتلا به جذام به عنوان نوعی از بیماری‌های مایکوباتریائی تاکید کرده است (۶). همچنین نتایج مطالعه‌ی مرادی (۱۳۷۳) نیز نشان داد که تنها ۲۰ درصد بیماران مورد مطالعه ساقبه‌ی بیماری ابتلا به بیماری در سایر اعضاء خانوادگی را داشته‌اند (۱۴).

نتیجه‌گیری

میانگین سنی گروه مطالعه ۶۵.۸۷ سال با انحراف معیار ± 11.90 و گروه شاهد ۳۰ سال با انحراف ۸.۴۹ سال به دست آمد. جذام لپروماتوز با درصد فراوانی ۱۹٪ کمترین فراوانی را دارد، همچنین جذام نوع BT با درصد فراوانی ۱۹٪ کمترین فراوانی را دارد. شایع‌ترین عوارض ناتوانی اعضاء، علایم عصبی، تظاهرات چشمی و جذام گوش، حلق و بینی با ۳۳ درصد شیوع به دست آمد. معیار کارنوفسکی برای کیفیت زندگی بیماران نشان داد که طبق این معیار ۱۸/۵٪ از بیماران دارای کیفیت مناسبی از زندگی هستند ولی در مقابل ۳۸/۹٪ بیماران شرایط مطلوب زندگی را ندارند. بررسی ژن (CTLA-4 +49 A/G) نشان داد که در گروه مطالعه و گروه شاهد فراوانی نوع AA بیشتر از دو نوع دیگر است. تفاوت معنی داری در دو گروه از نظر شیوع ژنوتایپ -4 (CTLA-4 +49 A/G) وجود نداشت. عدم زمینه بیماری خانوادگی در تمام ژن‌ها بیشتر از افراد دارای ساقبه‌ی ابتلای خانوادگی بود. بیشترین میزان شیوع جذام در سنین ۱۶ تا ۳۰ سالگی مشاهده شد.

پیشنهادات

با توجه به اینکه جذام همواره یک مسئله مهم بهداشتی و اجتماعی را تشکیل می‌دهد پیشنهاد می‌شود در پژوهش‌های آتی توجه بیشتری به تأثیر ژن (G/A +49 A/G) در انتقال بیماری جذام گردد.

طوری که ۷ درصد از بیماران مبتلا به اختلالات اندام‌ها و حدود ۶/۴ درصد از بیماران دارای علایم عصبی و ۱/۹ بیماران از اختلالات بینایی رنج می‌برند؛ همچنین در ۵/۹ درصد عوارض مربوط به گوش و حلق و بینی مشهود بود. اما شایع‌ترین عارضه‌ی جذام در بیماران موردنظر کیبی از عوارض فوق بود بطوطی که ترکیب ناتوانی اعضاء، علایم عصبی، تظاهرات چشمی و جذام گوش، حلق و بینی در ۲۱ درصد از بیماران مشاهده می‌شود. در مطالعه‌ای که توسط ووریس و همکاران (۱۹۸۲) صورت گرفته بود نشان داد که شایع‌ترین مشکلات، شامل مشکلات پوستی بخصوص پلک‌ها، از دست دادن ابرو و مژه، علایم عصبی بخصوص درگیری عصب اولنار و ریزش موها می‌باشد (۹).

با توجه به مطالعه‌ی وان و همکاران (۱۹۹۹) که بر روی کیفیت زندگی مرتبط با سلامت انجام شد، مشخص گردید که معیار وضعیت عملکردی کارنوفسکی، پیش‌بینی کننده معنی دار ابعاد کیفیت زندگی مرتبط با سلامت می‌باشد. بیمارانی که وضعیت عملکردی بالاتری داشتند، میانگین امتیازات رفاه جسمی، رفاه عاطفی و عملکردی بیشتری را گزارش نمودند (۱۴). در مطالعات پیشین این معیار در دفعات متعددی برای سنجش کیفیت زندگی بیماران مبتلا به سرطان بکار گرفته شده است. به عنوان نمونه مومنی و همکاران (۱۳۹۱) نشان داد که با افزایش یک نمره وضعیت عملکردی کارنوفسکی، میانگین کیفیت زندگی مرتبط با سلامت به میزان ۷۳٪، افزایش می‌یابد و در مجموع کیفیت زندگی ۷۶ درصد بیماران مبتلا به سرطان کولورکتال متوسط و پایین‌تر می‌باشد (۱۵). در این مطالعه نیز دسته‌بندی بیماران توسط معیار KPS که معیاری از کیفیت زندگی بیماران را نشان می‌دهد انجام گرفت. که طبق این معیار ۱۸.۵٪ از بیماران دارای کیفیت مناسبی از زندگی هستند ولی در مقابل ۳۸/۹٪ بیماران شرایط مطلوب زندگی را ندارند. همچنین در طی مطالعه مشخص شد که ۲۴.۲ درصد از بیماران موردنظر از نظر کیفیت زندگی در حد متوسط قرار دارند.

یکی از مؤلفه‌های مهم در مورد بیماری جذام شیوع بالای ابتلا به این بیماری در سنین جوانی است و این بیماری دقیقاً زمانی که فرد حضور فعالی در اجتماع دارد فرد را گرفتار می‌کند و از این رو هزینه‌های بالایی را به جامعه تحمیل می‌کند. همان گونه که در ادامه و در نمودار زیر خواهد دید ۶۳ درصد مبتلایان به جذام در بازه‌ی سنی ۱۶ تا ۳۰ سال به این بیماری مبتلا شده‌اند و تنها ۳۰ درصد از بیماران در زمان ابتلا به بیماری بالای ۳۰ سال سن داشته‌اند. این امر نشان می‌دهد که مبتلایان به جذام در مدت زمان طولانی با عوارض این بیماری درگیر بوده‌اند.

مطالعات مختلف صورت گرفته در مبتلایان به بیماری‌های عفونی بیانگر دخالت ژن (G/A +49 A/G) در شیوع و وحامت حال بیماران است به همین دلیل ما به بررسی ژن‌های

منابع مالی

حمایت مالی از این طرح تحقیقاتی توسط مرکز تحقیقات بیماری‌های عفونی و گرمسیری دانشگاه علوم پزشکی تبریز می‌باشد.

منافع متقابل

مؤلف اظهار می‌دارد که منافع متقابلی از تالیف یا انتشار این مقاله ندارد.

مشارکت مؤلفان

خی، بن و همکاران طراحی، اجرا و تحلیل نتایج مطالعه را بر عهده داشتند و همچنین مقاله را تالیف نموده و نسخه نهایی آن را خوانده و تایید کرده‌اند.

قدرتانی

بدینوسیله از مرکز تحقیقات بیماری‌های عفونی و گرمسیری دانشگاه علوم پزشکی تبریز که در راستای به سرانجام رسیدن این رساله زحمات فراوانی را متحمل شدند و از راهنمایی‌های سودمند ایشان تشکر می‌نماییم.

ملاحظات اخلاقی

قبل از اخذ نمونه، موضوع تحقیق به بیماران توضیح داده شد و رضایت کننده از بیماران اخذ شد. همچنین اصل محترمانه بودن اطلاعات بیماران و اصول اخلاق حرفه‌ای پزشکی بر مبنای مصوبات کمیته اخلاق پزشکی دانشگاه اجرا شد.

References

1. Britton W J, Lockwood D N. Leprosy. *Lancet* 2004; **363**(9146): 1209-1219.
2. Vannberg F O, Chapman S J, Hill A V. Human genetic susceptibility to intracellular pathogens. *Immunological reviews* 2011; **240**(1): 105-116. doi: 10.1111/j.1600-065x.2010.00996.x
3. World Health O. WHO Expert Committee on Leprosy. *World Health Organization technical report series* 2012; **968**: 1-61.
4. Gofurushan F, Sadeghi M, Goldust M, Yosefi N. Leprosy in Iran: an analysis of 195 cases from 1994-2009. *JPMA the Journal of the Pakistan Medical Association* 2011; **61**(6): 558-561.
5. Alcais A, Mira M, Casanova J L, Schurr E, Abel L. Genetic dissection of immunity in leprosy. *Current opinion in immunology* 2005; **17**(1): 44-48. doi: 10.1016/j.coim.2004.11.006
6. Alter A, Grant A, Abel L, Alcais A, Schurr E. Leprosy as a genetic disease. *Mammalian genome: official journal of the International Mammalian Genome Society* 2011; **22**(1-2): 19-31. doi: 10.1007/s00335-010-9287-1
7. Fitness J, Tosh K, Hill AV. Genetics of susceptibility to leprosy. *Genes and Immunity* 2002; **3**(8): 441-453. doi: 10.1038/sj.gene.6363926
8. Ridley D S, Jopling W H. Classification of leprosy according to immunity. A five-group system. *International journal of leprosy and other mycobacterial diseases: official organ of the International Leprosy Association* 1966; **34**(3): 255-273.
9. Van Voorhis W C, Kaplan G, Sarno E N, Horwitz M A, Steinman R M. The cutaneous infiltrates of leprosy: cellular characteristics and the predominant T-cell phenotypes. *The New England journal of medicine* 1982; **307**(26): 1593-1597. doi: 10.1056/nejm198212233072601
10. Faber W R, Leiker D L, Nengerman I M, Zeijlemaker W P, Schellekens P T. Lymphocyte transformation test in leprosy: decreased lymphocyte reactivity to *Mycobacterium leprae* in lepromatous leprosy, with no evidence for a generalized impairment. *Infection and immunity* 1978; **22**(3): 649-656.
11. Yamamura M, Uyemura K, Deans R J, Weinberg K, Rea T H. Defining protective responses to pathogens: cytokine profiles in leprosy lesions. *Science* 1991; **254**(5029): 277-279. doi: 10.1126/science.1925582
12. Murray R A, Siddiqui M R, Mendillo M, Krahnenbuhl J, Kaplan G. *Mycobacterium leprae* inhibits dendritic cell activation and maturation. *J Immunol* 2007; **178**: 338-344.
13. Khan T, Awan A A, Kazmi H S, Shah A A, Muhammad S. Frequency of ocular complications of leprosy in institutionalized patients in NWFP Pakistan. *Journal of Ayub Medical College, Abbottabad JAMC* 2001; **14**(4): 29-33.
14. Wan G J, Counte M A, Celli D F, Hernandez L, Deasy S, Shiromoto G. An analysis of the impact of demographic, clinical, and social factors on health – related quality of life. *Value in health* 1999; **2**(4): 308-318. doi: 10.1046/j.1524-4733.1999.24006.x
15. Momeni M, Ganbari A, Jokar F, Nezhaddalili Ehsan K. The Predictive Predictors of Quality of Life in Patients with Colorectal Cancer. *Comprehensive Nursing and Midwifery Yearbook* 2012; **67**: 53-54.
16. Moradi N. Leprosy and its ten years review in Kermanshah province. *Doctoral dissertation, Kerman University of Medical Sciences and Health Services* 1994.
17. Mahmodi A. *Combination Therapy Examination in the Treatment of Leprosy Patients and Comparison of Side*

- Effects of Drugs.* Leprosy Evaluation in Azadegan Health Center (Tehran Leprosy Center). Doctoral dissertation, Tehran University of Medical Sciences and Health Services, 1993.
18. Dilmec F, Ozgonul A, Uzunkoy A, Akkafa F. Investigation of CTLA-4 and CD28 gene polymorphisms in a group of Turkish patients with colorectal cancer. *Int J Immunogenet* 2008; **35**: 317-321. doi: 10.1111/j.1744-313x.2008.00782.x
 19. Chistiakov D A, Turakulov R I. CTLA-4 and its role in autoimmune thyroid disease. *J Mol Endocrinol* 2003; **31**: 21-36. doi: 10.1677/jme.0.0310021
 20. Liu Y, Liang W B, Gao L B, Pan X M, Chen T Y, Wang Y Y, et al. CTLA4 and CD86 gene polymorphisms and susceptibility to chronic obstructive pulmonary disease. *Hum Immunol* 2010; **71**: 1141-1146. doi: 10.1016/j.humimm.2010.08.007
 21. Ip W K, Wong C K, Leung T F, Lam C W. Plasma concentrations of soluble CTLA-4, CD28, CD80 and CD86 costimulatory molecules reflect disease severity of acute asthma in children. *Pediatric Pulmonology* 2006; **41**: 674-682. doi: 10.1002/ppul.20432
 22. Homann D, Dummer W, Wolfe T, Rodrigo E, Theofilopoulos A N, Oldstone M B, et al. Lack of intrinsic CTLA-4 expression has minimal effect on regulation of antiviral T-cell immunity. *J Virol* 2006; **80**: 270-280. doi: 10.1128/jvi.80.1.270-280.2006
 23. Sutherland R M, Brady J L, Georgiou H M, Thomas H E, Lew A M. Protective effect of CTLA4Ig secreted by transgenic fetal pancreas allografts. *Transplantation* 2000; **69**: 1806-1812. doi: 10.1097/00007890-200005150-00013
 24. Kristiansen O P, Larsen Z M, Pociot F. CTLA-4 in autoimmune diseases-a general susceptibility gene to autoimmunity? *Genes Immun* 2000; **1**: 170-184. doi: 10.1038/sj.gene.6363655
 25. Kim SH, Lee J E, Jee Y K, Kim Y K, Park H S, Min K U, et al. Allelic variants of CD40 and CD40L genes interact to promote antibiotic-induced cutaneous allergic reactions. *Clin Exp Allergy* 2009; **39**: 1852-1856. doi: 10.1111/j.1365-2222.2009.03336.x
 26. Liu C P, Jiang J A, Wang T, Liu X M, Gao L, Zhu R R, et al. CTLA-4 and CD86 genetic variants and haplotypes in patients with rheumatoid arthritis in southeastern China. *Genet Mol Res* 2013; **12**: 1373-1382. doi: 10.4238/2013.april.25.8
 27. Chen D Q, Zeng Y, Zhou J, Yang L, Jiang S, Huang J D, et al. Association of candidate susceptible loci with chronic infection with hepatitis B virus in a Chinese population. *J Med Virol* 2010; **82**: 371-378. doi: 10.1002/jmv.21716
 28. Danilovic D L, Mendes-Correa M C, Lima E U, Zambrini H, Barros R, Marui S. Correlations of CTLA-4 gene polymorphisms and hepatitis C chronic infection. *Liver Int* 2012; **32**: 803-808. doi: 10.1111/j.1478-3231.2011.02694.x
 29. Johnson G C, Esposito L, Barratt B J, Smith A N, Heward J, Di Genova G, et al. Haplotype tagging for the identification of common disease genes. *Nat Genet* 2001; **29**: 233-237. doi: 10.1038/ng1001-233
 30. Domanski L, Bobrek-Lesiakowska K, Kloda K, Pawlik A, Safranow K, Wisniewska M, et al. The impact of rs231775 (49AG) CTLA4 gene polymorphism on transplanted kidney function. *Ann Transplant* 2012; **3**: 16-23. doi: 10.12659/aot.883455

Serum level of PAPPA-A (pregnancy associated plasma protein-A) at first trimester and its relation with adverse pregnancy outcome

Bita Yosefi Khangah¹ , Khatere Tooba^{2*} , Afshan Sharghi³

¹Physician, Ardabil Branch, Islamic Azad University, Ardabil, Iran

²Department of Gynecology, Faculty of Medicine, Ardabil Branch, Islamic Azad University, Ardabil, Iran

³Department of Social Medicine, Faculty of Medicine, Ardabil Branch, Islamic Azad University, Ardabil, Iran

*Corresponding author; E-mail: dr.kh.tooba@gmail.com

Received: 26 June 2018 Accepted: 23 September 2018 First Published online: 7 September 2019

Med J Tabriz Uni Med Sciences Health Services. 2019 October- November; 41(4):110-118

Abstract

Background: PAPP-A is a preterm marker for undesirable pregnancy diagnosis. The relationship between PAPP-A serum levels and maternal health, especially gestational diabetes, which is the most common outcome of pregnancy, is a major issue that needs to be studied. The aim of this study were to evaluate the serum level of PAPP-A and pregnancy outcomes.

Methods: in this study all pregnant women who referred to the pregnancy care clinics during their first 3 months, serum levels of PAPP-A were evaluated. As their PAPP-A serum level were less than 0.4 Mom, they were considered as risk-positive and pregnant women with a serum PAPP-A level of more than 0.4 MM as a control group. In the subjects, maternal age, serum PAPP-A level, type of delivery, gestational age, intrauterine growth restriction, preeclampsia, spontaneous abortion, and gestational diabetes were evaluated.

Results: The mean age of pregnant women were 26.85 ± 4.74 years. There were a significant reverse correlation between serum concentration of first trimesters PAPP-A and preeclampsia ($p=0.003$), pregnancy Diabetes ($p=0.003$), restriction of intrauterine growth ($p=0.005$) and spontaneous abortion ($p=0.04$), but there were not significant corrections between serum level of PAPP-A with early birth ($p=0.102$) and gestation type ($p=0.583$).

Conclusion: A reduced amount of first trimester PAPP-A would used as a probable risk factor in complications of pregnancy or embryo including preeclampsia, Gestational Diabetes, restriction of intrauterine growth and spontaneous abortion.

Keyword: PAPP-A serum level, First trimester of pregnancy, Consequences of pregnancy

How to cite this article: Yosefi Khangah B, Tooba Kh, Sharghi A. [Serum level of PAPPA-A (pregnancy associated plasma protein-A) at first trimester and its relation with adverse pregnancy outcome]. Med J Tabriz Uni Med Sciences Health Services. 2019 October- November; 41(4):110-118. Persian.

مقاله پژوهشی

سطح سرمی پروتئین پلاسمایی وابسته به حاملگی-آ (PAPP-A) در سه ماهه نخست بارداری و ارتباط آن با حاملگی نامطلوب

بیتا یوسفی خانقاہ^۱، خاطره طوبا^{۲*}، افshan شرقی^۳

^۱دانشآموخته رشته پزشکی، دانشگاه آزاد اسلامی واحد اردبیل، اردبیل، ایران
^۲گروه زنان، دانشکده پزشکی، دانشگاه آزاد اسلامی واحد اردبیل، اردبیل، ایران
^۳گروه پژوهشی اجتماعی، دانشکده پزشکی، دانشگاه علوم پزشکی اردبیل، اردبیل، ایران
* نویسنده مسؤول؛ ایمیل: dr.kh.tooba@gmail.com

دریافت: ۱۳۹۷/۴/۵ پذیرش: ۱۳۹۷/۷/۱ انتشار برخط: ۱۳۹۸/۶/۱۶
مجله پژوهشی دانشگاه علوم پزشکی و خدمات بهداشتی-درمانی تبریز. مهر و آبان ۱۳۹۸؛ ۴۱(۴):۱۱۰-۱۱۸

چکیده

زمینه: پروتئین پلاسمایی وابسته به حاملگی-آ (PAPP-A) جفتی به عنوان یک نشانگر پره ترم برای تشخیص و پیش‌آگهی نامطلوب بارداری/جنینی مطرح است. بررسی ارتباط سطح سرمی PAPP-A و سلامت مادر بویژه دیابت بارداری که شایعترین پیامد بارداری است مساله مهمی است که نیاز به مطالعه دارد. از این رو هدف از مطالعه حاضر بررسی ارتباط بین سطح سرمی PAPP-A طی سه ماهه اول بارداری با دیابت بارداری و سایر پیامدهای بارداری می‌باشد.

روش کار: در یک مطالعه کوهورت، ۴۰۰ نفر از زنان بارداری که در طی ۳ ماهه نخست به کلینیک‌های مراقبت بارداری مراجعه می‌کردند، از لحاظ سطح سرمی PAPP-A ارزیابی شدند. در صورتی که سطح سرمی PAPP-A آن‌ها کمتر از $M_{MoM} < 0.4$ بود به عنوان نمونه‌های دارای ریسک فاکتور و گروه زنان بارداری که سطح سرمی PAPP-A آنها بیشتر از $M_{MoM} > 0.4$ بود، نیز به عنوان شاهد قرار گرفتند. در آزمودنی‌ها سن مادر، سطح سرمی PAPP-A، نوع زایمان، سن بارداری، محدودیت رشد داخل رحمی، پره‌اکلامپسی، سقط خود به خودی، و دیابت بارداری مورد ارزیابی قرار گرفت. تعزیزی و تحلیل داده‌ها با استفاده از نرم‌افزار SPSS نسخه‌ی ۱۶ و آزمون آماری کای دو و فیشر انجام گرفت و سطح معنی داری در تمام موارد < 0.05 در نظر گفته شد.

یافته‌ها: میانگین سنی زنان باردار مورد بررسی در این مطالعه، 27.4 ± 8.5 سال بود. بین سطوح سرمی PAPP-A سه ماهه اول بارداری و ابتلا به پره‌اکلامپسی ($P = 0.039$)، دیابت بارداری ($P = 0.003$)، محدودیت رشد داخل رحمی ($P = 0.005$)، و سقط خود به خودی ($P = 0.04$) ارتباط آماری معنی دار معکوسی مشاهده شد ولی بین سطوح سرمی PAPP-A با تولد زودرس ($P = 0.102$) و نوع زایمان ($P = 0.583$) ارتباط معنی داری مشاهده نشد.

نتیجه‌گیری: یافته‌های مطالعه‌ی حاضر نشان داد که پایین بودن میزان PAPP-A در سه ماهه اول بارداری، به عنوان یک ریسک فاکتور احتمالی در بروز عوارض نامطلوب بارداری/جنینی از جمله پره‌اکلامپسی، دیابت بارداری، محدودیت رشد داخل رحمی، و سقط خود به خودی مطرح می‌باشد و لازم است مطالعات دقیق‌تری صورت گیرد.

کلید واژه‌ها: سطح سرمی PAPP-A، سه ماهه اول بارداری، پیامدهای بارداری

نحوه استناد به این مقاله: یوسفی خانقاہ ب، طوبا خ، افshan شرقی ا. سطح سرمی پروتئین پلاسمایی وابسته به حاملگی-آ (PAPP-A) در سه ماهه نخست بارداری و ارتباط آن با حاملگی نامطلوب. مجله پژوهشی دانشگاه علوم پزشکی و خدمات بهداشتی-درمانی تبریز. ۱۳۹۸؛ ۴۱(۴):۱۱۰-۱۱۸.

حق تأثیف برای مؤلفان محفوظ است.
این مقاله با دسترسی آزاد توسط دانشگاه علوم پزشکی و خدمات بهداشتی-درمانی تبریز تحت مجوز کریپتو کامنز (http://creativecommons.org/licenses/by/4.0) منتشر شده که طبق مفاد آن هرگونه استفاده تنها در صورتی مجاز است که به اثر اصلی به نحو مقتضی استناد و ارجاع داده شده باشد.

مقدمه

A و پیامدهای بارداری بدست آمده است. محققان دیگر در مطالعه‌ای به بررسی PAPP-A و گنادوتروپین جفتی بتا در پره‌اکلامپسی Early Onset و Late Onset پرداخته‌اند. در این مطالعه ۱۶۱ زن باردار مبتلا به پره‌اکلامپسی و ۸۸ زن سالم مورد بررسی قرار گرفتند. نتایج نشان داد که دو گروه مبتلا و غیر مبتلا به پره‌اکلامپسی از لحاظ سطوح سرمی PAPP-A فرقی با یکدیگر نداشته‌اند (۹). محققان سطح سرمی β -HCG با PAPP-A در سه ماهه اول بارداری را در ۱۶۲۲ حاملگی تک قلو اندازه‌گیری کرده و نشان دادند که ارتباط معنی‌داری بین سطح سرمی PAPP-A در سه ماهه اول بارداری با محدودیت رشد داخل رحمی وجود دارد (۱۰). در این مطالعه نشان داده شد که درصد موارد دچار محدودیت رشد داخل رحمی در موارد با PAPP-A کمتر از $0/5$ Mom به طور معنی‌دار و قابل ملاحظه‌ای افزایش می‌یابد. نتیجه مشابهی نیز در زمینه زایمان پره‌ترم گزارش شده است (۱۱). در یک مطالعه گذشته‌نگر بین سطح سرمی PAPP-A در سه ماهه اول بارداری با ایجاد اختلال رشد درون رحمی و سایر اختلالات حاملگی در زنان باردار ارتباطی وجود دارد و سطح این هورمون‌ها می‌تواند بعنوان یک شاخص پیشگویی کننده مناسب برای اختلال رشد رحمی و برخی دیگر از اختلالات حاملگی بکار روند (۱۲). به نظر می‌رسد نقش PAPP-A در این زمینه به واسطه تاثیر آن بر IGF باشد، چرا که PAPP-A پروتئین متصل شونده به IGF بوده و IGF خود یکی از فاکتورهای مهم در رشد جنین محسوب می‌گردد.

در سال‌های اخیر، انجمان مخصوصین زنان و زایمان کانادا طی یک مقاله مروری گزارش کردند که پایین بودن قابل توجه سطح IUGR-A (با افزایش ریسک محدودیت رشد داخل رحمی intrauterine growth restriction)، زایمان پره‌ترم، مرگ جنین پس از ۲۴ هفته، پره‌اکلامپسی و سقط خود به خودی مرتبط است PAPP-A ($P < 0/05$) (۱۳). همچنین گزارش شده که زنان با سطح PAPP-A پایین تر از صدک پنجم، با ریسک بیشتری برای ابتلا به SGA (برابر)، زایمان پره‌ترم (۱/۹ برابر)، و مرده‌زایی (۲/۲ برابر) مواجه هستند (۱۴). از سال ۲۰۰۸ به این طرف نیز مطالعات متعددی درباره این مبحث منتشر شده (۱۵) که نشان داده‌اند سطوح پایین PAPP-A اندازه‌گیری شده در اولین سه-ماهه با پیامدهای ناگوار بارداری از جمله SGA و Zygomatic (Zygomatic)، Zygomatic پره‌ترم، Zygomatic پره‌ترم، Zygomatic پره‌اکلامپسی، سقط خود به خودی، و مرده‌زایی در ارتباط است.

هرچند که این مطالعات نتوانستند حساسیت بالای این مارکر را در تعیین پرخطر یا کم خطر بودن بارداری و نتایج ناگوار به اثبات برسانند (۱۶).

غربالگری سه-ماهه اول بین ۱۱ و ۱۳ هفته و ۶ روز از حاملگی انجام می‌شود. مارکرهای مورد استفاده برای محاسبه ریسک خطر،

کاهش سطح سرمی پروتئین پلاسمایی وابسته به حاملگی-آ و زیروحدت بتای گونادوتروپین جفتی انسانی (β -HCG) به طور گسترده‌ای برای سنجش پیامدهای بارداری نامطلوب مورد استفاده قرار می‌گیرد. PAPP-A توسط سینتیتوتروفوبلاستهای جفتی تولید می‌شود و به طور طبیعی با غلظت زیاد در طی بارداری در گردش خون مادر یافت می‌شود (۱). براساس مطالعات گذشته غربالگری‌های اخیر بیماران نشان داده است که PAPP-A کمتر از $0/2$ MOM با امکان بروز ناهنجاری‌های جنینی ارتباط دارند (۱ و ۲). تشخیص زود هنگام اختلالات رشد درون رحمی و تولد با وزن پایین‌تر از حد طبیعی و نیز مشکلات مربوط به مادر می‌تواند نقش موثری در اقدامات درمانی و پیشگیری از ناهنجاری‌های محتمل داشته باشد. با توجه به اینکه این نارسایی‌ها می‌توانند با اختلال در عملکرد جفت در سه ماه اول حاملگی ارتباط داشته باشند، ارزیابی هورمون‌های جفتی در این سه ماه برای تشخیص این نارسایی‌ها مفید می‌باشد (۱-۳). بنابراین، هورمون‌های جفتی اینند زیر واحد بتای گونادوتروپین جفتی انسانی (β -HCG) و پروتئین پلاسمایی وابسته به حاملگی-آ (PAPP-A) ممکن است نشانگرهاشان پره ترم خوبی برای تشخیص پیش‌آگهی نامطلوب باشد، هر چند که نتیجه قطعی در این ارتباط هنوز حاصل نشده است (۴). بررسی‌ها نشان داده‌اند که سطوح مارکرهای سرمی مادر (Pregnancy-Associated Plasma Protein A (PAPP-A) با نتایج ناگوار حاملگی از جمله آنولوپلوبیدی، محدودیت رشد جنین، پره‌اکلامپسی، مرگ جنینی و زایمان پره‌ترم همراه هستند. هر چقدر میزان این مارکر در سرم مادر غیرطبیعی‌تر باشد احتمال رخداد نتایج ناگوار بارداری بیشتر است (عو ۵). PAPP-A نوعی پروتئین می‌باشد که در اتصال پروتئین-۴ به فاکتور رشد شبه انسولین (Insulin-like Growth Factor, IGF) نقش دارد. اگر سطح PAPP-A ناکافی باشد IGF به صورت غیرفعال و آزاد باقی می‌ماند و در نتیجه سبب کاهش رشد جنین و جفت می‌شود. چندین مطالعه همراهی معناداری بین سطوح پایین PAPP-A و پره‌اکلامپسی، سقط جنین، و زایمان پره‌ترم را نشان داده‌اند. بعنوان نمونه، Pummara و همکاران (۵) در مطالعه‌ای در سال ۲۰۱۶ به بررسی ارتباط بین سطح سرمی PAPP-A طی سه ماهه اول بارداری با زایمان پره‌ترم ایدیوپاتیک پرداخته‌اند. مطالعه دیگری بر روی ۲۵۷ حاملگی نشان داد که سطح سرمی پایین PAPP-A طی سه ماهه اول با وزن کم نوزادان و پره‌اکلامپسی ارتباط دارد (۶). در مطالعه‌ی مشابه دیگری به بررسی ارتباط بین سطوح سرمی PAPP-A با تولد پره‌ترم و اختلالات رشد داخل رحم جنین پرداخته شده است (۷). در مطالعه‌ای که اخیراً انجام گرفته، به بررسی ارتباط بین PAPP-A با وزن نوزادان در هنگام تولد PAPP-A پرداخته شده است (۸). در این مطالعات ارتباط بین سطح

زنان باشد. کاهش در PAPP-A سرم مادری با هیچ تغییری در سنتز جفتی این پروتئین مرتبط نیست، زیرا بیان PAPP-A mRNA در جفت‌های سندرم داون به طور قابل ملاحظه‌ای کاهش نیافته است. به علاوه، ارتباطی بین سطح بیان سرمی و بافتی PAPP-A در بارداری‌های داون مشاهده نشده است. این یافته‌ها پیشنهاد می‌دهد که کاهش در PAPP-A سرم مادری posttranslational است و ممکن است ناشی از تغییر مکانیسم‌های رهایش جفتی بوده یا به وسیله تغییر در پایداری پروتئین ترشح شده ایجاد شده باشد. مشخص شده است که PAPP-A در بارداری دوقلویی به طور قابل ملاحظه‌ای بالاتر است. به طور متوسط مقادیر PAPP-A در دوقلوها ۱/۸۶ برابر بیشتر از تک‌قولوها است. هیچ پیامد زایمانی قابل ملاحظه‌ای با افزایش PAPP-A در اولین سه-ماهه توصیف نشده است. مقادیر قابل اندازه‌گیری PAPP-A حتی در مردان و زنان غیر باردار نیز مشاهده شده است که در زنان غیر-باردار، PAPP-A به صورت یک هومو دایمر kDa ۴۰۰ مشاهده شده است. هرچند که این مطالعات نتوانستند حساسیت بالای این مارکر را در تعیین پرخرطه یا کم خطر بودن بارداری و نتایج ناگوار را به اثبات برسانند (۵). با توجه به نیاز به مطالعات و داده‌های بیشتر در مورد جمعیت‌های مختلف منطقه، مطالعه حاضر طراحی شد. هدف از مطالعه حاضر، بررسی ارتباط احتمالی بین سطح سرمی PAPP-A طی سه ماهه اول بارداری با پیامدهای بارداری از جمله نوع زایمان، سن بارداری، محدودیت رشد داخل رحمی، پره‌اکلام‌پسی، سقط خود به خودی و دیابت بارداری می‌باشد.

روش‌کار

در این مطالعه کوهورت، جامعه‌ی آماری شامل زنان بارداری بود که در طی ۳ ماهه نخست بارداری از آبان سال ۱۳۹۵ تا آبان ماه سال ۱۳۹۶ به کلینیک‌های مراقبت‌های بارداری شهر اردبیل مراجعه می‌نمودند. حجم نمونه با استفاده از فرمول کوکران که در زیر آمده است، $n = \frac{(Z_{1-\alpha/2})^2 \cdot P(1-P)}{d^2} = \frac{1.96^2 [0.1(1-0.1)]}{0.03^2} = 384$ (۲۳)

ابزار پژوهش در این مطالعه، عبارت از فرم‌های جمع‌آوری اطلاعات بود. جهت انجام مطالعه زنان بارداری که در طی ۳ ماهه نخست بارداری به کلینیک‌های مراقبت بارداری مراجعه می‌کردند، وارد بررسی و از لحاظ سطح سرمی PAPP-A ارزیابی شدند. در صورتی که سطح سرمی PAPP-A آن‌ها کمتر از 0.4 MoM بود به عنوان ریسک فاکتور برای پیش‌بینی عوارض ناگوار بارداری به

شامل دو مارکر سرمی PAPP-A و $\beta\text{-hCG}$ می‌باشند. کاهش سطح PAPP-A قبل از هفته ۱۴ حاملگی، با افزایش ریسک سندرم داون و تریزوومی ۱۸ مرتبط است. در حالی که افزایش سطح hCG با افزایش ریسک سندرم داون مرتبط است.

PAPP-A یکی از دو مارکر سرمی مادر است که در حال حاضر برای غربالگری بین هفت‌های ۱۱ و ۱۳ هفته و ۶ روز مورد استفاده قرار می‌گیرد. این پروتئین به وسیله سنتیتیوتروفیلاست جفتی و دییدواها تولید می‌شود. PAPP-A زیست‌دسترس پذیری فاکتور رشد شبه انسولین را افزایش می‌دهد که در عوض، تهاجم تروفیلاست را میانجیگری کرده و انتقال PAPP-A گلوكز و آمینواسیدها در جفت را تنظیم می‌کند. همچنین، در سلول‌های گرانولوز تخدمان و در بافت‌های غیر-تولید مثلی، مانند فیبروبلاست‌ها، استئوپلاست‌ها و سلول‌های عضله صاف عروقی بیان شده است (۱۶ و ۱۷).

تقریباً ۹۹ از PAPP-A در طی بارداری، در یک کمپلکس ۲:۲ به صورت کوالانت، به بروفرم پروتئین بازی اصلی (proMBP) اوزینوفیل‌ها متصل شده است. proMBP به عنوان یک مهارکننده فعالیت پروتولوئیک PAPP-A (یک مهارکننده پروتئاز) عمل می‌کند که مکانیسم مهار آن در حال حاضر ناشناخته است. بسترها PAPP-A شامل پروتئین‌های اتصالی فاکتور رشد شبه-انسولین (IGFBPs) ۴ و ۵ هستند که نقش آن‌ها مهار فعالیت‌های بیولوژیک فاکتورهای رشد شبه-انسولین ۱ و ۲ است. PAPP-A مانند یک پروتئاز برای IGFBPs عمل کرده، بنابراین، به رهایش IGF از این پروتئین‌های اتصالی کمک می‌کند به طوری که برای برهم‌کنش با گیرنده‌های سلولی آن به یک شیوه اتوکرین یا پاراکرین آزاد است. گمان می‌رود که IGF نقش مهمی در تهاجم تروفیلاستی و بنابراین تکوین و عروق‌رسانی زود هنگام جفت و بستر جفت ایفا می‌کند (۱۸).

کاهش سطح PAPP-A در ارتباط با کارکرد غیرعادی جفتی یافت شده است که مبنای غربالگری سه-ماهه اول سندرم داون جینی که را شکل داده است. سطح سرمی پایین مادری سه-ماهه اول، نه تنها در تریزوومی ۱۸، تریزوومی ۱۳، بلکه همچنین، در آنپولوئیدی‌های جینی غیر سندرم داون یافت شده است. همچنین گفته می‌شود که PAPP-A رابطه مثبتی با وزن تولد دارد (۱۹). با کاهش PAPP-A، ریسک نوزادان کوچک-برای-سن-حملگی افزایش می‌یابد. سطح PAPP-A در جریان خون در بارداری خارج رحمی افت می‌کند. برخی از عوارض مرتبط با PAPP-A پایین زایمان پره‌ترم، محدودیت رشد داخل رحمی، پرفشاری بارداری با پروتئینوری هستند (۲۰).

مطالعات نشان داده است که تنظیم کاهشی دسترس پذیری فاکتور رشد شبه-انسولین II، ناشی از کاهش سطح سرمی PAPP-A، ممکن است یکی از علل سقط ناگهانی جنین در این

گروه شاهد قرار گرفتند (شکل ۱). نتایج روابط بین سطح سرمی PAPP-A و پیامدهای بارداری به روش کای ۲ در جدول ۱ درج شده است. تفسیر نتایج آزمون ارتباط بین سطح سرمی PAPP-A و پیامدهای بارداری به روش کای دو نشان داد، با وجود اینکه فراوانی زایمان پرهترم در بین زنان با PAPP-A کمتر از $0/4$ MoM بیشتر از زنان با PAPP-A بیشتر از $0/4$ MoM است، اما بین زایمان پرهترم و سطح سرمی PAPP-A در زنان مورد بررسی ارتباط آماری معنی داری وجود نداشت ($P=0/102$). بر اساس یافته های حاصل، بین ابتلا به دیابت بارداری و سطح سرمی PAPP-A در زنان مورد بررسی ارتباط آماری معنی داری دیده شد ($P=0/039$) به طوری که فراوانی دیابت بارداری در بین زنان با PAPP-A کمتر از $0/4$ MoM به طور قابل توجهی بیشتر از زنان با PAPP-A بیشتر از $0/4$ MoM است (جدول ۲).

همچنین بین ابتلا به پره‌اکلامپسی و سطح سرمی PAPP-A در زنان مورد بررسی ارتباط آماری معنی داری وجود داشت ($P=0/003$) به طوری که فراوانی پره‌اکلامپسی در بین زنان با کمتر از $0/4$ MoM PAPP-A بیشتر از زنان با $0/4$ MoM PAPP-A است (جدول ۳).

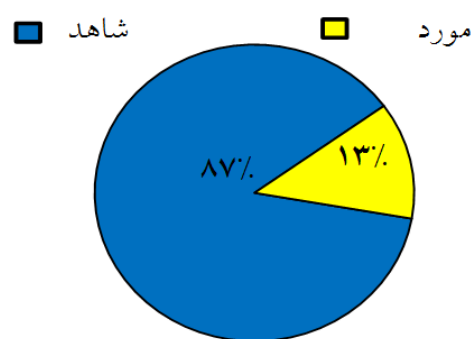
بین نوع زایمان و سطح سرمی PAPP-A در زنان مورد بررسی ارتباط آماری معنی داری وجود ندارد ($P=0/583$). داده ها در مقاله نشان داده اند. بین محدودیت رشد داخل رحمی و سطح سرمی PAPP-A در زنان مورد بررسی ارتباط آماری معنی داری مشاهده شد ($P=0/005$). به طوری که فراوانی محدودیت رشد داخل رحمی در بین زنان با PAPP-A کمتر از $0/4$ MoM به طور قابل توجهی بیشتر از زنان با PAPP-A بیشتر از $0/4$ MoM است.

بحث

یافته های مطالعه ای ما نشان داد که بین ابتلا زنان باردار به پره‌اکلامپسی و سطح سرمی PAPP-A آنها ارتباط آماری معنی داری معکوسی وجود دارد ($P=0/003$) به این معنی که فراوانی پره‌اکلامپسی در بین زنان با PAPP-A کمتر از $0/4$ MoM به طور قابل توجهی بیشتر از زنان با PAPP-A بیشتر از $0/4$ MoM است (16 درصد در مقابل 6 درصد).

تاکنون، در چهار مطالعه ای پیشین، ارتباط بین اختلالات پروفشاری خون در حین بارداری را با سطوح سرمی PAPP-A بررسی کرده اند ($23-26$). دو مورد از این چهار مطالعه که به صورت کو هورت آینده نگر انجام گرفته اند، مطابق با یافته هی ما، رابطه معکوسی را بین سطوح سرمی PAPP-A و پره‌اکلامپسی نشان داده اند؛ در یکی از این مطالعات با 45 زن باردار که بر اساس سطح PAPP-A در دو گروه مورد (شامل 25 نفر با سطوح سرمی PAPP-A کمتر از $0/4$ MoM) و شاهد (شامل 20 نفر با سطوح

حساب آمده و در گروه موافق یافته قرار می گرفتند. زنان بارداری که سطح سرمی PAPP-A آنها بیشتر از $0/4$ MoM بود نیز به عنوان گروه شاهد قرار می گرفتند. همه ایین بیمارانی که وارد مطالعه شده بودند تا موقع زایمان برای مشاهده هرگونه نتیجه ناگوار حاملگی مورد پیگیری قرار گرفتند (شکل ۱).



شکل ۱: توزیع فراوانی زنان باردار مورد بررسی از لحاظ سطح سرمی PAPP-A (سطوح سرمی کمتر از $0/4$ MoM در گروه مورد و سطوح سرمی بیشتر از $0/4$ MoM در گروه شاهد)

سن حاملگی بر اساس تاریخ آخرین قاعدگی و سونوگرافی سه ماهه اول برآورده شد. معیارهای ورود شامل تمایل به شرکت در مطالعه، بارداری های تک قلو، سن حاملگی $11-13$ هفته و 6 روز بود. سن مادر، سطح سرمی PAPP-A، نوع زایمان، سن بارداری، محدودیت رشد داخل رحمی، پره‌اکلامپسی، سقط خود به خودی، و دیابت بارداری متغیرهای مورد بررسی بودند که در پرسشنامه هر بیمار ثبت می گردید. بعد از اتمام دوره بارداری، متغیرهای مورد مطالعه در دو گروه مورد بررسی و ارتباط آن با سطح پلاسمایی PAPP-A ارزیابی شد.

برای تجزیه و تحلیل داده ها از روش های آمار توصیفی شامل دسته بندی اطلاعات، تبدیل اطلاعات دسته بندی شده به جدول فراوانی، تنظیم درصد فراوانی و رسم نمودار استفاده شد. برای آزمون فرضیات آزمون کای دو و فیشر دقیق استفاده شد. تجزیه و تحلیل داده ها با استفاده از نرم افزار SPSS نسخه 16 انجام گرفت و سطح معنی داری در تمام موارد $0/05$ در نظر گرفته شد.

یافته ها

میانگین سنی زنان مورد بررسی در این مطالعه، $26/85$ سال با انحراف معیار $4/74$ سال بود ($26/4 \pm 8/74$ سال) که در بازه سنی 18 تا 35 سال قرار داشتند. از 400 زن باردار مورد بررسی، 51 نفر ($12/75$ درصد) دارای سطوح سرمی PAPP-A کمتر از $0/4$ MoM بودند که در گروه مورد قرار گرفتند و 349 نفر ($87/25$ درصد) دارای سطوح سرمی PAPP-A بیشتر از $0/4$ MoM بودند که در

ارتباط معکوس بین این دو هستند و بعضی نیز هیچ ارتباطی بین این دو نشان نمی دهند، می توان گفت که هنوز شواهد درباره ارتباط بین سطوح PAPP-A و ریسک پره اکلامپسی قطعی نیست و نیاز به مطالعه ای بیشتر در این زمینه وجود دارد (۲۳ و ۲۴).

یافته های مطالعه حاضر نشان داد که بین ابتلا به دیابت بارداری و سطح سرمی PAPP-A در زنان مورد بررسی یک ارتباط آماری معکوس معنی دار وجود دارد ($P=0.039$). مطابق با این یافته، برخی دیگر از مطالعات نیز یک ارتباط آماری معنی دار معکوس بین سطوح پروتئین A پلاسمایی مرتبط با بارداری و دیابت بارداری گزارش کردند؛ در مطالعه Beneventi و همکاران ارتباط آماری معنی داری بین پایین بودن میزان PAPP-A و دیابت بارداری یافت شد (۲۷)؛ در مطالعه دیگری که اخیراً انجام گرفته بود، میزان PAPP-A در سه ماهه اول در افراد با دیابت بارداری به طور معنی داری نسبت به گروه کنترل پایین بود (۲۸).

سرمی PAPP-A بیشتر از 0.4 MoM قرار گرفتند. در مطالعه ای آنها پره اکلامپسی تنها در گروه مورد مشاهده شد (در ۱۳ نفر) و هیچ موردی از پره اکلامپسی در گروه شاهد مشاهده نشد (۲۳). در مطالعه ای بعدی که یافته های مطابق با مطالعه ای ما گزارش کرده است، بررسی 80.51 زن باردار نشان داد که سطح PAPP-A در زنانی که پره اکلامپسی زود هنگام ($P=0.01$) و یا متاخر ($P=0.03$) داشتند به طور قابل ملاحظه ای پایین تر از زنان گروه کنترل بود (۲۶). اما برخلاف یافته های مطالعه ای ما و دو مطالعه ای فوق، دو مطالعه دیگر در این خصوص که هر دو به صورت کوهورت گذشته نگر انجام گرفته و شامل 663 و 25566 زن باردار بودند، هیچ ارتباطی بین سطوح سرمی PAPP-A با پره اکلامپسی مشاهده نکردند؛ مطالعه ای آنها همچنین هیچ مقدار پیش بینی کنندگی برای PAPP-A پایین برای پیش بینی ابتلا به پره اکلامپسی نشان نداد. با توجه به یافته های مجموع مطالعات انجام گرفته در زمینه ارتباط پره اکلامپسی با سطح سرمی A PAPP-A که برخی نشان دهنده

جدول ۱: نتایج ازمون ارتباط بین سطح سرمی PAPP-A و پیامدهای بارداری

P-Value	سطح PAPP-A		پیامد بالینی
	کمتر از 0.4	بیشتر از 0.4	
0.003	(٪ ۶)	(٪ ۱۷/۶)	مبتلا
	(٪ ۹۴)	(٪ ۴/٪ ۸۲)	غیر مبتلا
0.039	(٪ ٪ ۷)	(٪ ٪ ۱۵)	مبتلا
	(٪ ٪ ۹۲)	(٪ ٪ ۸۴)	غیر مبتلا
0.102	(٪ ٪ ۰۵)	(٪ ٪ ۱۱/٪ ۸)	بله
	(٪ ٪ ۹۴)	(٪ ٪ ۸۸/٪ ۲)	خیر
0.083	(٪ ٪ ۳)	(٪ ٪ ۴۷/٪ ۱)	سازاری
			طبعی
0.04	(٪ ٪ ۲)	(٪ ٪ ۹/٪ ۱)	بله
	(٪ ٪ ۸٪)	(٪ ٪ ۹۰/٪ ۲)	خیر

جدول ۲: فراوانی ابتلا به دیابت بارداری در بین زنان مورد بررسی به تفکیک سطح سرمی PAPP-A

P-Value	مجموع	سطح PAPP-A		مجموع
		کمتر از 0.4	بیشتر از 0.4	
0.039	(٪ ٪ ۲۵) ۳۳	(٪ ٪ ۷/٪ ۲) ۲۵	(٪ ٪ ۱۵/٪ ۸) ۸	مبتلا
	(٪ ٪ ۷۵) ۳۶۷	(٪ ٪ ۹۲/٪ ۸) ۳۲۲	(٪ ٪ ۸۴/٪ ۳) ۳۳	غیر مبتلا
	۴۰۰	۳۴۹	۵۱	

جدول ۳: فراوانی ابتلا به پره اکلامپسی در بین زنان مورد بررسی به تفکیک سطح سرمی PAPP-A

P-Value	مجموع	سطح PAPP-A		مجموع
		کمتر از 0.4	بیشتر از 0.4	
0.003	(٪ ٪ ۵) ۳۰	(٪ ٪ ۶) ۲۱	(٪ ٪ ۱۷/٪ ۹) ۹	مبتلا
	(٪ ٪ ۹۵) ۳۷۰	(٪ ٪ ۹۴) ۳۲۸	(٪ ٪ ۸۲/٪ ۴) ۴۲	غیر مبتلا
	۴۰۰	۳۴۹	۵۱	

قابل توجهی بیشتر از زنان با PAPP-A بیشتر از MoM ۰/۴ است (درصد در مقابله ۲/۲ درصد). مهم ترین محدودیت مطالعه حاضر، عدم تمایل برخی از زنان باردار برای شرکت در مطالعه بود که سعی می‌شد با توضیح اهداف و مزایای طرح این نقصه را برطرف کرد. یافته‌های مطالعه‌ی ما و مطالعات دیگران نشان می‌دهد که سطح پایین PAPP-A با سقط جنین خود به خودی و قابلیت زنده ماندن آن می‌تواند مرتبط باشد.

نتیجه‌گیری

یافته‌های مطالعه‌ی حاضر نشان داد که پایین بودن میزان PAPP-A در سه ماهه اول بارداری می‌تواند به عنوان یک ریسک فاکتور احتمالی در بروز عوارض نامطلوب بارداری/جنینی از جمله پره‌اکلامپسی، دیابت بارداری، و محدودیت رشد داخلی رحمی، و سقط خود به خودی باشد، بنابراین می‌توان از سنجش PAPP-A به عنوان یک تست تشخیصی زودهنگام جهت تشخیص زایمان‌هایی که در ریسک بالایی برای ابتلا به عوارض نامطلوب جنینی و مادری قرار دارند، استفاده کرد.

قدرتانی

این مقاله حاصل پایان نامه دانشجوی پزشکی دکتری حرفه‌ای خانم بیتا یوسفی خانقاห به شماره ثبت ۱۱۹۱۰۱۰۹۵۱۰۰۹ می‌باشد. بدینوسیله از همکاری مسئولان دانشگاه آزاد اسلامی اردبیل و خانم یاسمین پهلوان دانشجوی دکتری پزشکی مولکولی بابت ویرایش علمی مقاله سپاسگزاریم.

ملاحظات اخلاقی

این مقاله حاصل پایان نامه دانشجوی دوره دکتری حرفه‌ای به شماره ثبت ۱۱۹۱۰۱۰۹۵۱۰۰۹ می‌باشد.

منابع مالی

منابع مالی ندارد.

منافع متقابل

مؤلف اظهار می‌دارد که منافع متقابلی از تالیف یا انتشار این مقاله ندارد.

مشارکت مؤلفان

بی خ ط و همکاران طراحی، اجرا و تحلیل نتایج مطالعه را بر عهده داشتند. تمام نویسنده‌گان با همکاری هم مقاله را تالیف نموده و نسخه نهایی آن را خوانده و تایید کرده‌اند.

مطالعه‌ی Ramezani و همکاران در قزوین نشان داد که ۳۰/۸٪ از فراد با PAPP-A پایین و ۸/۷٪ از افراد با میزان طبیعی PAPP-A به دیابت بارداری مبتلا شدند که بین دو گروه از نظر ابتلا به دیابت بارداری تفاوت آماری معنی‌داری وجود داشت ($P<0/001$) و خطر ابتلا به دیابت بارداری در گروه با PAPP-A بیشتر از گروه کنترل بود (۲۹). تصور می‌شود که کاهش پروتئین A پلاسمایی مرتبط با بارداری منجر به کاهش فاکتور رشد شباهنسولین می‌شود؛ سطوح پایین فاکتور رشد شباهنسولین نیز به نوعی خود منجر به افزایش انسولین و کلیرانس غیرطبیعی گلوکز شده و باعث ایجاد مقاومت به انسولین و در نهایت ابتلا به دیابت می‌گردد (۲۷، ۲۸).

با وجود اینکه در مطالعه‌ی ما فراوانی زایمان پره‌ترم در بین زنان با PAPP-A کمتر از MoM ۰/۴، بیشتر از زنان با PAPP-A بیشتر از MoM ۰/۴، بود، اما، ما در مطالعه‌ی خود ارتباط آماری قابل توجهی بین سطح سرمی PAPP-A و زایمان پره‌ترم مشاهده نکردیم ($P=0/01$). ارتباط به اندازه کافی مستحکمی جهت تایید استفاده از سطح PAPP-A برای غربالگری زایمان پره‌ترم مشاهده نشد.

یافته‌های مطالعه‌ی ما نشان داد که بین محدودیت رشد داخلی رحمی و سطح سرمی A در زنان باردار یک ارتباط آماری معکوس معنی‌داری وجود دارد ($P=0/005$) به طوری که فراوانی محدودیت رشد داخلی رحمی در بین زنان با PAPP-A کمتر از MoM ۰/۴، به طور قابل توجهی بیشتر از زنان با PAPP-A بیشتر از MoM ۰/۴ است (۱۳/۷ درصد در مقابل ۳/۴ درصد).

با توجه به مجموع مطالعات، شواهد کنونی درباره ارتباط بین سطح PAPP-A زیر پنجمین صدک و SGA نامعلوم باقی می‌ماند و باز هم نیاز به انجام مطالعه بیشتر در این زمینه می‌باشد.

یافته‌های مطالعه‌ی ما ارتباطی بین سطح سرمی PAPP-A و نوع زایمان (سزارین یا طبیعی) در بین زنان باردار مورد بررسی نشان نداد (فراوانی ۴۷/۱ درصدی سزارین در بین زنان با سطح PAPP-A کمتر از MoM ۰/۴ در مقابل فراوانی ۵۸/۲ سرمی درصدی آن در بین زنان با سطح سرمی PAPP-A بیشتر از MoM ۰/۴ و $P=0/135$). با توجه به بررسی متون گذشته، ارتباطی بین PAPP-A و زایمان سزارین یافت نشد. شاید یکی از دلایل عدم ارتباط بین سطح سرمی PAPP-A و نوع زایمان در مطالعه‌ی ما، رواج بالای زایمان سزارین در بین زنان باردار مورد بررسی و در نتیجه شیوع بالای آن در هر دو گروه بود.

یافته‌های مطالعه‌ی ما در خصوص سقط خود به خودی و سطح سرمی PAPP-A نشان داد که بین سقط خود به خودی و سطح سرمی PAPP-A در زنان مورد بررسی ارتباط آماری معنی‌داری وجود دارد ($P=0/04$) به طوری که فراوانی سقط خود به خودی در بین زنان با PAPP-A کمتر از MoM ۰/۴ به طور

References

- Cowans N J, Spencer K. First-trimester ADAM12 and PAPP-A as markers for intrauterine fetal growth restriction through their roles in the insulin-like growth factor system. *Prenat Diagn* 2007; **27**(3): 264-271. doi: 10.1002/pd.1665
- Pummarat P, Tongsong T, Wanapirak C, Sirichotiyakul S, Luewan S. Association of first-trimester pregnancy-associated plasma protein A levels and idiopathic preterm delivery: A population-based screening study. *Taiwanese Journal of Obstetrics and Gynecology* 2016; **55**(1): 72-75. doi: 10.1016/j.tjog.2015.12.007
- Wright D, Silva M, Papadopoulos S, Wright A, Nicolaides KH. Serum pregnancy-associated plasma protein-A in the three trimesters of pregnancy: effects of maternal characteristics and medical history. *Ultrasound in Obstetrics & Gynecology* 2015; **46**(1): 42-50. doi: 10.1002/uog.14870
- Darkhan R F, Asgharnia M, Porkar N F, Alipoor A A. Predictive value of maternal serum β -hCG concentration in the ruptured tubal ectopic pregnancy. *Iranian journal of reproductive medicine* 2015; **13**(2): 101.
- Canini S, Prefumo F, Pastorino D, Crocetti L, Afflitto C G, Venturini PL, et al. Association between birth weight and first-trimester freebeta-human chorionic gonadotropin and pregnancy-associated plasma protein A. *Fertil Steril* 2008; **89**(1): 174-178. doi: 10.1016/j.fertnstert.2007.02.024
- Radoi V, Bohiltea L. Pregnancy associated plasma protein A and pregnancy outcomes. *Gineco* 2009; **5**(1).
- Gundu S, Kulkarni M, Gupte S, Gupte A, Gambhir M, Gambhir P. Correlation of first-trimester serum levels of pregnancy-associated plasma protein A with small-for-gestational-age neonates and preterm births. *International Journal of Gynecology & Obstetrics* 2016; **133**(2): 159-163. doi: 10.1016/j.ijgo.2015.09.022
- Baer R J, Lyell D J, Norton M E, Currier R J, Jelliffe-Pawlowski L. First trimester pregnancy-associated plasma protein-A and birth weight. *European Journal of Obstetrics & Gynecology and Reproductive Biology* 2016; **198**: 1-6. doi: 10.1016/j.ejogrb.2015.12.019
- Karahasanovic A, Sørensen S, Nilas L. First trimester pregnancy-associated plasma protein A and human chorionic gonadotropin-beta in early and late pre-eclampsia. *Clinical chemistry and laboratory medicine*. 2014; **52**(4): 521-525. doi: 10.1515/cclm-2013-0338
- Li W P, Neradilek M B, Gu F S, Isquith D A, Sun Z J, Wu X, et al. Pregnancy-associated plasma protein-A is a stronger predictor for adverse cardiovascular outcomes after acute coronary syndrome in type-2 diabetes mellitus. *Cardiovascular diabetology* 2017; **16**(1): 45. doi: 10.1186/s12933-017-0526-6
- Yaron Y, Heifetz S, Ochshorn Y, Lehavi O, Orr- Utreger A. Decreased first trimester PAPP-A is a predictor of adverse pregnancy outcome. *Prenat Diagn* 2002; **22**(9): 778-782. doi: 10.1002/pd.407
- Johanson M R, Riddle A F, Grudzinskas J G, Sharma V, Collins W P, Nicolaides KH. Reduced circulating placental protein concentrations during the first trimester are associated with preterm labour and low birth weight. *Hum Reprod* 1993; **8**: 1942-1947. doi: 10.1093/oxfordjournals.humrep.a137965
- Krantz D, Goetzl L, Simpson J L. Association of extreme first-trimester free human chorionic gonadotropin- β , pregnancy-associated plasma protein A, and nuchal translucency with intrauterine growth restriction and other adverse pregnancy outcomes. *Am J Obstetr Gynecol* 2004; **191**: 1452-1458. doi: 10.1016/j.ajog.2004.05.068
- Gagnon A, Wilson R D, Audibert F, Allen V M, Blight C, Brock J A, et al. Obstetrical complications associated with abnormal maternal serum markers analyses. *J Obstet Gynaecol Can* 2008; **30**(10): 918-949. doi: 10.1016/s1701-2163(16)32973-5.
- Carbone J F, Tuuli M G, Bradshaw R, Liebsch J, Odibo A O. Efficiency of first-trimester growth restriction and low pregnancy-associated plasma protein-A in predicting small for gestational age at delivery. *Prenat Diagn* 2012; **32**(8): 724-729. doi: 10.1002/pd.3891
- Spencer C A, Allen V M, Flowerdew G, Dooley K, Dodds L. Low levels of maternal serum PAPP-A in early pregnancy and the risk of adverse outcomes. *Prenat Diagn* 2008; **28**(11): 1029-1036. doi: 10.1002/pd.2116 .
- Shiefa S, Amargandhi M, Bhupendra J, Moulali S, Kristine T. First Trimester Maternal Serum Screening Using Biochemical Markers PAPP-A and Free β -hCG for Down Syndrome, Patau Syndrome and Edward Syndrome. *Indian Journal of Clinical Biochemistry* 2013; **28**(1): 3-12. doi: 10.1007/s12291-012-0269-9 .
- Saruhan Z, Ozekinci M, Simsek M, Mendilcioglu I. Association of first trimester low PAPP-A with adverse pregnancy outcomes. *Clin Exp Obstet Gynecol* 2012; **39**(2): 225-228.
- Van Ravenswaaij R, Tesselaar-van der Goot M, de Wolf S, van Leeuwen-Spruijt M, Visser GH, Schielen PC. First-trimester serum PAPP-A and f β -hCG concentrations and other maternal characteristics to establish logistic regression-based predictive rules for adverse pregnancy outcome. *Prenat Diagn* 2011; **31**(1): 50-57. doi: 10.1002/pd.2610
- Goetzinger K R, Cahill A G, Macones G A, Odibo A O. Association of first-trimester low PAPP-A levels with preterm birth. *Prenat Diagn* 2010; **30**(4): 309-313. doi: 10.1002/pd.2452.
- Kirkegaard I, Uldbjerg N, Petersen O B, Tørring N, Henriksen T B. PAPP-A, free β -hCG, and early fetal growth identify two pathways leading to preterm delivery. *Prenat Diagn* 2010; **30**(10): 956-963. doi: 10.1002/pd.2593
- Odibo A O, Zhong Y, Longtine M, Tuuli M, Odibo L, Cahill A G, et al. First-trimester serum analytes, biophysical tests and the association with pathological morphometry in

- the placenta of pregnancies with preeclampsia and fetal growth restriction. *Placenta* 2011; **32**(4): 333-338. doi: 10.1016/j.placenta.2011.01.016
23. Saruhan Z, Ozekinci M, Simsek M, Mendilcioglu I. Association of first trimester low PAPP-A with adverse pregnancy outcomes. *Clin Exp Obstet Gynecol* 2012; **39**(2): 225-228.
24. Katie Morris R, Bilagi A, Devani P, Kilby M D. Association of serum PAPP-A levels in first trimester with small for gestational age and adverse pregnancy outcomes: systematic review and meta-analysis. *Prenatal Diagnosis* 2016; **37**(3). doi: 10.1002/pd.5001
25. Van Ravenswaaij R, Tesselaar-van der Goot M, de Wolf S, van Leeuwen-Spruijt M, Visser GH, Schielen P C. First-trimester serum PAPP-A and fβ-hCG concentrations and other maternal characteristics to establish logistic regression-based predictive rules for adverse pregnancy outcome. *Prenat Diagn* 2011; **31**(1): 50-57. doi: 10.1002/pd. 2610
26. Poon L C, Maiz N, Valencia C, Plasencia W, Nicolaides KH. First-trimester maternal serum pregnancy-associated plasma protein-A and pre-eclampsia. *Ultrasound Obstet Gynecol* 2009; **33**(1): 23-33. doi: 10.1002/uog.6280
27. Beneventi F, Simonetta M, Locatelli E, Cavagnoli C, Badulli C, Lovati E, et al. Temporal variation in soluble human leukocyte antigen-G (sHLA-G) and pregnancy-associated plasma protein A (PAPP-A) in pregnancies complicated by gestational diabetes mellitus and in controls. *Am J Reprod Immunol* 2014; **72**(4): 413-421. doi: 10.1111/aji.12270.
28. Beneventi F, Simonetta M, Lovati E, Albonico G, Tinelli C, Locatelli E, et al. First trimester pregnancy-associated plasma protein-A in pregnancies complicated by subsequent gestational diabetes. *Prenatal Diagn* 2011; **31**(6): 523-528. doi: 10.1002/pd.2733
29. Ramezani S, Ahmadi M, Saqafi H, Alipoor M. Association of Pregnancy-Associated Plasma Protein A (PAPP-A) and Gestational Diabetes. *IJOGI* 2017; **20**(1): 61-69. doi:10.22038/ijogi.2017.8625